

ВАРТАНЯН С.У.

СТРУКТУРНО-ПЕТРОФИЗИЧЕСКИЕ УСЛОВИЯ
РУДООТЛОЖЕНИЯ РУДНЫХ ФОРМАЦИЙ
ЦВЕТНЫХ И БЛАГОРОДНЫХ
МЕТАЛЛОВ АРМЕНИИ

ПЕТРОФИЗИЧЕСКИЙ СПРАВОЧНИК (КАДАСТР)
ГОРНЫХ ПОРОД РУДНЫХ ФОРМАЦИЙ



Горно-металлургический институт

Общество охраны недр



ВАРТАНЯН С.У.

**СТРУКТУРНО-ПЕТРОФИЗИЧЕСКИЕ УСЛОВИЯ
РУДООТЛОЖЕНИЯ
РУДНЫХ ФОРМАЦИЙ ЦВЕТНЫХ И БЛАГОРОДНЫХ
МЕТАЛЛОВ АРМЕНИИ**

**ПЕТРОФИЗИЧЕСКИЙ СПРАВОЧНИК (КАДАСТР)
ГОРНЫХ ПОРОД РУДНЫХ ФОРМАЦИЙ**



Ереван 2008



УДК 55:622
ББК 26.3+33.11
В185

Печатается по решению Геологической секции Горно-металлургического института и
Президиума Общества охраны недр

Издание монографии спонсировано
Фирмой РАКЭ 000; за что автор
Выражает глубокую благодарность.

“RAKE LLC”
000 “PAKE”
Деятельность, связанная
с геологической разведкой
и проектами

Редактор Эмма Сагателян:
доктор геолого-минералогических наук, профессор.

Рецензенты: доктор геолого-минералогических наук профессор Безирганов Б.Г.
Кандидат Геолого- минералогических наук Шамцян Ф.Г.

В 185 Структурно-петрофизические условия рудоотложения рудных формаций цветных
и благородных металлов Армении - Ер.: ЕРЕЯ, 2008.-198 с.

Петрофизический справочник (кадастр) горных пород рудных формаций

Данная монография является первым обобщенным пособием по проблеме исследования структурно-петрофизических условий формирования месторождений и морфо-структурных типов руд цветных и благородных металлов Армении и составления петрофизического справочника-кадастра.

В работе установлена взаимосвязь петрофизических особенностей, деформационной компетентности, фильтрационных свойств пород с развитием разнотипных структурных элементов и степени благоприятности структурно-петрофизических условий рудоотложения месторождений медно-колчеданной, медно-молибденовой, золоторудной, золото-полиметаллической формациям Армении.

Разработаны методические принципы учета петрофизических параметров для количественной оценки степени сложности горно-технических условий отработки месторождений и оптимизации технологических показателей.

По рудным формациям цветных и благородных металлов Армении составлен петрофизический справочник-кадастр, охватывающий комплекс показателей физико-механических параметров, минералого-петрографических особенностей и химический составы исходных и метасоматически измененных вулканогенных, вулканогенно-осадочных, жильных и интрузивных пород рудных районов РА.

Книга предназначена для широкого круга геологов, производственников и научных работников, занимающихся вопросами рудогенеза, поисков, разведки, отработки месторождений, и студентов ВУЗ-ов соответствующего профиля.

ББК 26.3+33.11

ISBN 978-99941-64-25-7

© Вартанян Сурик, 2008г.

I ЧАСТЬ

СТРУКТУРНО-ПЕТРОФИЗИЧЕСКИЕ УСЛОВИЯ РУДООТЛОЖЕНИЯ РУДНЫХ ФОРМАЦИЙ АРМЕНИИ

ПРЕДИСЛОВИЕ

Изучение физических и физико-механических особенностей горных пород и руд и их корреляционной связи с их минеральным, химическим составами и структурой, явилось фундаментом развития нового направления в геологии – РУДНОЙ ПЕТРОФИЗИКИ.

Разные цели научного и практического использования физических и физико-механических свойств пород и руд определили и разные пути их изучения. Петрофизика в разных отраслях горнорудной промышленности характеризуется своими специфическими задачами, своей теорией и методикой интерпретации.

Она является неотъемлемой и составной частью разведочной и прикладной геофизики, гидро-инженерной, нефтегазовой, рудной геологии, горного дела.

В разведочной и прикладной геофизике петрофизика тесно связана с изучением физических свойств пород и руд, создающими физические поля, которые могут измеряться геофизическими методами, обосновывающими выбор постановки геофизических методов и интерпретацию полевых наблюдений.

В гидро-инженерной геологии петрофизика направлена на изучение физико-механических свойств горных пород при проектировании и строительстве различных гидротехнических сооружений, инженерно-геологической оценке как рыхлых, так и полускальных и скальных пород, при водоснабжении и т.д. (И.Попов, А. Демехин В. Аветисян

и др.).

В геологии нефти и газа изучение ведется главным образом по коллекторским особенностям толщ, просачиванию и размещению нефтяных скоплений в осадочных залежах, каротажу скважин и измерению отражающих и переломленных сейсмических волн.

Горная петрофизика, разработанная В. Ржевским, Г. Новик, А. Бахчисарайцевым и др., применяется для получения информации как о свойствах и состоянии массивов горных

пород, как объектов добычи и переработки, так и о воздействии физических полей на горные породы, вызывающих их разрушение и упрочнение.

В рудной геологии применение петрофизических методов исследования вызвано необходимостью решения все еще нерешенных, либо слабо освещенных вопросов, относящихся к влиянию физико-механических свойств пород как на форму проявления тектонических структур, ведущих к выпадению из растворов рудных компонентов и формированию эндогенного оруденения.

Размещение оруденения рудных формаций закономерно подчинено структурным, магматическим, литологическим факторам. Благоприятность данных факторов оценивается как ролью петрохической активности пород при замещении гидротермальными и рудоносными растворами, так и петрофизическими особенностями в ходе разноэтапного формирования структурных элементов, контролирующих рудоотложение, и морфологических типов руд. Влияние химического состава и петрохимическая активность выявлены и установлены в достаточной степени. Однако комплексное изучение и научная обработка петрофизических особенностей пород и структурно-петрофизический анализ месторождений рудных формаций цветных и благородных металлов РА требуют фундаментальных исследований. До настоящего времени им уделялось недостаточное внимание. Представления о физико-механических свойствах горных пород и руд, распространенные среди исследователей, изучающих рудные месторождения и процессы ведущие к их образованию, весьма схематичны. В то же время не следует забывать, что фоном, на котором можно рассматривать процессы рудогенеза со структурных и физико-химических позиций, являются физико-механические свойства горных пород–среды, в которой эти процессы происходят (Ф.Вольфсон, 1961, 1963).

Главными петрофизическими параметрами, изучаемыми в области рудной геологии, являются в комплексе: плотность (объемная масса), пористость (общая и эффективная), водонасыщение, упругость, хрупкость, пластичность, предел прочности на сжатие, характер и степень компетентности к тому или иному типу деформации пород под динамическим напряжением и проявлению трещинных структур. Ибо закономерности развития многочисленных разрывов (трещин) в горных породах представляют собой конечный результат упругих и прочностных деформаций.

По мере развития науки в области электроники, измерительной и вычислительной техники, измерении скоростей упругих ультразвуковых колебаний в породах и т.п., открылись новые возможности осуществления измерений комплексных свойств современной прицзионной аппаратурой, позволяющей преобразование электрических

сигналов в числовые. Особый интерес в изучении петрофизических параметров горных пород приобрел теоретический расчет тектонофизического моделирования, все шире привлекаемый к расшифровке геотектонических наблюдений. Существенную роль при разработке задач тектонофизики играют лабораторные исследования физико-механических свойств горных пород при различных давлениях и температурах-термодинамических условиях, существующих в недрах земли (М.Гзовский, 1975). Петрофизика изучает также свойства горных пород при атмосферном давлении и температуре, т. к. ряд тектонофизических явлений происходят на поверхности земной коры или на небольшой глубине (М.Воларович, 1960; А.Басанин, 1988). При этом, согласно С.Сафонову (1982), рудоносные растворы после отделения их от магматического очага, очевидно, в малой мере воспринимали воздействие окружающей среды. Поэтому проявление процесса гидротермального рудообразования можно ограничивать лишь верхними частями земной коры. Глубина распространения сферы рудообразования по вертикали, в которой играет роль анизотропия литологических и петрофизических особенностей геологической среды, различна.

На роль петрофизических особенностей пород при развитии складчатых и разрывных структур особое внимание обращали Ф.Вольфсон, Л.Лукин, А.Пэк, А.Королев, Л.Звягинцев, Б.Беликов, Б.Залесский, Т.Тулегенов, Ю.Розанов и др. При этом важное место уделяется способности деформационного характера пород (упругой, пластичной, хрупкой). Особо подчеркивается факт, что при преобладании в разрезе пластичных пород (сланцев), динамические напряжения приводят к перераспределению веществ, т.е. образуют куполовидные складки. При дальнейшем развитии деформации складки могут перейти в диапировые, характеризующиеся протыканием вышележащих пород более пластичными нижележащими породами. В случае, если породы сложены в разрезе с резко различными пластичными и упругими породами, проявляется так называемое несогласие или дисгармоническая складчатость. О роли пластичной и упругой деформации пород А.Пэк приводит интересное суждение по золоторудному месторождению Бендиго (Австралия), размещенного в пластичных сланцах и упругих песчаниках.

Исследователи медно-колчеданных месторождений Армении высказывают мнение, что разрядка динамических напряжений в хрупких и жестких вулканогенных юрских образованиях вызывала проявление тектонических структур разрывного характера. Осадочные же породы обладали высокой пластичностью, и в них часто проявлялись изгибы слоев, иногда дисгармонической складчатости, плоскости отслаивания, зоны межформационного и внутриформационного расслаивания. Рудные тела больше всего

приурчиваются к промежуточным границам пород, отличающихся физико-механическими свойствами. В медно-молибденовом месторождении Анкаван П.Яколевым (1960) отмечается связь строения тектонических зон с составом и физико-механическими свойствами пород. Согласно его данным, в хрупких интрузивных и эфузивных породах имеются раздробленные и перетертые зоны. При переходе в более пластичные породы они сменяются редкими маломощными тектоническими поверхностями скольжения.

В лабаратории вулканологии Института геологических наук АН АРМ ССР совместно с лабараторией физико-химических исследований горных пород Киевского университета проведены изучения комплексных характеристик состава (петрографии, петрохимии, геохимии) и физических свойств (магнитных, плотностных, упругих, тепловых) новейших вулканических образований базальт-липаритового ряда Армении (М.Толстой, К.Ширинян и др., 1980). В работе основное внимание уделено вулканическим процессам, связанным с альпийским циклом тектоногенеза. В ней не затронуты вопросы рудной петрофизики.

Все вышеназванные исследователи выдвигали задачу детального изучения комплекса петрофизических параметров горных пород в разрезе, в тесной корреляционной связи с их метасоматическими преобразованиями разных этапов геодинамических и магматических процессов и строением структур.

В настоящее время автором накоплен обширный фактический материал по изучению комплекса петрофизических параметров горных пород и руд.

Фактической основой настоящей монографии явились материалы многолетних полевых и лабараторно-экспериментальных систематических личных исследований автора, выполненных в рудных районах и месторождениях цветных и благородных металлов РА.

Основное внимание уделено исследованию физико-механических особенностей пород на геолого-петрографической основе. В изучении минералого-петрографического состава исходных и метасоматически измененных пород принимали участие Н.Корчагина, М.Бояджян, К. Акопян; химические анализы пород проведены М.Барсегяном К.Минасяном, Г.Поповым, Л.Оганесяном в центрально-аналитической лаборатории НИГМИ (ныне ЗАО “Лернаметаллургияи институт”).

При огромном народнохозяйственном значении полезных ископаемых и горных пород, добываемых практически по всей территории Армении, давно уже назрела необходимость обобщения материалов по исследованию петрофизических условий рудоотложения, формирования морфоструктурных типов руд и составления петрофизического справочника-кадастра.

В работе обобщены результаты комплексных полевых и экспериментальных исследований с использованием обширных литературных данных по геолого-структурным особенностям изученных месторождений рудных формаций. Приведены данные исследований упругих свойств пород и анализа структур, реконструкции тектонофизических условий их формирования и составлены структурно-петрофизические модели месторождений. Они могут быть применены для решения актуальной научной проблемы, связанной с разработкой метода физико-теоретической основы формирования месторождений. Для решения поставленной задачи выполнен ряд методических и экспериментальных исследований, результаты которых изложены в 2-ух частях работы.

I часть-«Структурно-петрофизические условия рудоотложения месторождений рудной формации РА», состоит из следующих четырех разделов:

1. Основные положения методов определения петрофизических параметров.
2. Структурно-петрофизические особенности рудных формаций цветных и блескодных металлов.
3. Некоторые аспекты взаимосвязи петрофизических параметров и метасоматически преобразованных пород.
4. Учет петрофизических параметров при оценке горно-технических условий разработки месторождений и оптимизации технологических показателей.

II часть-“Петрофизический справочник (кадастр) горных пород месторождений рудных формаций Армении”.

Автор отдает себе отчет в том, что данная монография, являющаяся первой сводной работой в области определения петрофизических характеристик пород и анализа структурно-петрофизических условий рудоотложения месторождений рудных формаций Армении и составления петрофизического справочника, далеко не полно охватывает все стороны этой проблемы, поэтому все критические замечания и пожелания будут приняты с благодарностью.

1. ОСНОВНЫЕ ПОЛОЖЕНИЯ МЕТОДОВ ОПРЕДЕЛЕНИЯ ПЕТРОФИЗИЧЕСКИХ ПАРАМЕТРОВ

Под комплексом физико-механических свойств понимаются упругие свойства и, взаимосвязанные с ним - плотность, пористость, проницаемость, прочность.

Методика определения плотности, пористости и прочности горных пород достаточно хорошо изучена, поэтому автор не видит необходимости останавливаться на этой теме в данной работе.

В тоже время, имеет смысл более подробно остановиться на изучении основных положений упругих параметров, т.к. они имеют особое значение в проблеме, касающейся образования тектонических структур. Но их систематическое изучение производилось в незначительных масштабах и достаточно сложно найти данную тематику в геологической литературе.

Согласно теории упругости (Тимошенко, 1969; Беляев, 1965 и др.), упругость одна из основных физических констант, связанная с внутренним строением веществ. Упругость характеризует свойство веществ к сопротивляемости, изменению их объема и формы под воздействием механических напряжений. Она обуславливается возрастанием внутренней энергии вещества. Упругость выражается комплексом физических параметров: модуль Юнга, модуль сдвига и коэффициент Пуассона. Модуль Юнга, или модуль продольной упругости, характеризует свойство вещества сопротивляться изменению его объема и формы и возвращаться к первоначальной форме после снятия воздействия внешних сил. Модуль сдвига характеризует свойство вещества сопротивляться изменению формы при сохранении объема. Он равен отношению касательного напряжения к величине угла сдвига. Коэффициент Пуассона характеризует интенсивность поперечных деформаций при приложении к телу продольных усилий. Коэффициент Пуассона равен абсолютному значению отношения величины относительной поперечной деформации к относительной продольной деформации. Он в известной мере является показателем изменения объема и формы при сжимающих усилиях без разрушения и невозвращения первоначальной формы после снятия внешних сил. Им характеризуется степень пластичности.

Для выявления типа и характера деформации важным является не только определение самих констант и их пределов, но и установление зависимости между ними и отношений их

пределов (Беликов и др., 1960). Характер деформации в определенной степени обусловлен соотношением пределов упругости и прочности. Предел упругости соответствует напряжению, при котором не обнаруживаются первые признаки остаточной деформации. Предел прочности соответствует наибольшей силе, предшествовавшей разрушению тела. Промежуточное значение напряжения между пределами упругости и прочности, при котором деформация тела возрастает без заметного возрастания нагрузки, соответствует пределу текучести – пластичности.

Соотношения пределов указанных параметров выражаются следующим образом: равные значения или небольшая разница между пределами упругости и прочности означают, что вслед за упругой деформации непосредственно следует разрушение тела, минуя пластичное течение. Практически перед разрушением происходит лишь упругая деформация. При низких и близких значениях пределов указанных параметров происходит хрупкое разрушение. Весьма хрупкий материал разрушается почти немедленно после достижения предела упругости (пропорциональности). Заметная разница между пределами упругости и прочности означает, что вслед за упругой деформацией происходит пластичное течение. Чем пластичнее материал, тем дальше отстоит его точка разрушения от точки предела упругости. Пластичная деформация прекращается при достижении напряженного состояния предела прочности.

Для определения упругих параметров горных пород существуют два основных способа: динамический и статический.

Динамический метод основан на возбуждении в образце волновых колебаний в диапазоне ультразвуковых частот и определении скорости прохождения продольных, поверхностных и поперечных волн. Широкое применение в геологии ультразвукового метода изучения горных пород в сочетании с методами, основанными на использовании законов сопротивления материалов и теории упругости, дают большие возможности для углубленного изучения характера деформации, упругости, плотности, пластичности, прочности и других физико-механических свойств горных пород, влияющих на процессы и формы образования рудных месторождений. Для этой цели использовалась импульсная переносная аппаратура–ИПА. Определение велось по методике продольного профилирования, которая применяется при моделировании сейсмических явлений, разработанной Институтом физики Земли (О.Силаева, 1962). Для определения модуля Юнга и коэффициента Пуассона необходимо знать две любые величины скоростей ультразвуковых волн – либо продольных и поверхностных, либо продольных и поперечных. При методе продольного профилирования все точки излучения и приема располагаются на выровненной

поверхности образца по одной прямой. Излучатель устанавливается неподвижно на одном конце образца, а приемник с интервалами в 1 см постепенно передвигается вдоль образца. Длина образца равна 20-25 см. Излучатель и приемник представляют собой пьезоэлектрические датчики поршневого типа из сегнетовой соли (рис.1.1).

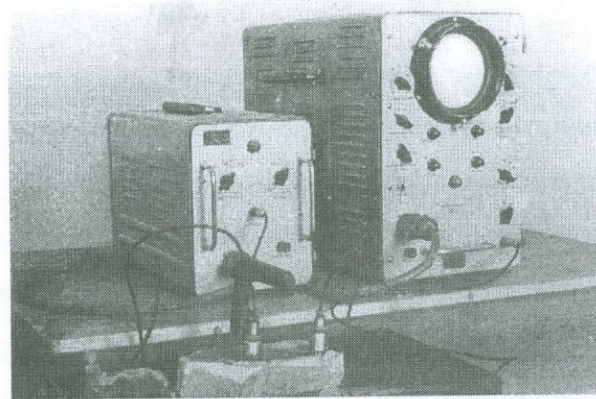


Рис.1.1. Импульсная переносная аппаратура замера ультразвуковых волн

Путем фотографирования с экрана электронно-лучевой трубы ультразвукового прибора получается последовательность сейсмограмм(рис.1.2).

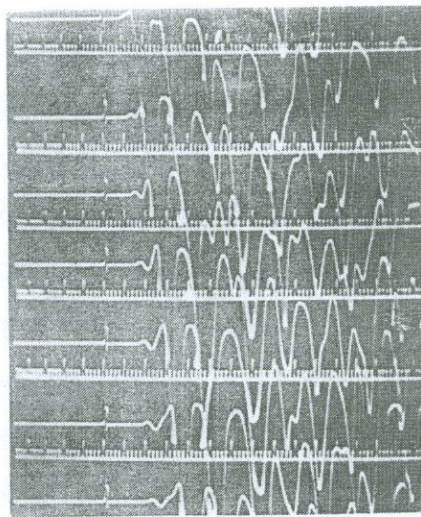


Рис. 1.2. Сейсмограммы ультразвуковых волн.

Применяя известный принцип фазовой корреляции (Гамбурцев, 1954), с помощью выделения индивидуальных волн составляются фазовые годографы (рис.1.3), по которым определяется скорость прохождения продольных V_p и поверхностных V_r волн, по формуле:

$$V_p = \frac{L}{t} \cdot 10^4 \text{ м/сек}$$

$$V_s = \frac{V_p}{V_r}, \text{ где}$$

V_p- скорость продольных волн;

V_s- скорость поперечных волн;

L -длина образца;

t -время прохождения импульса через образец.

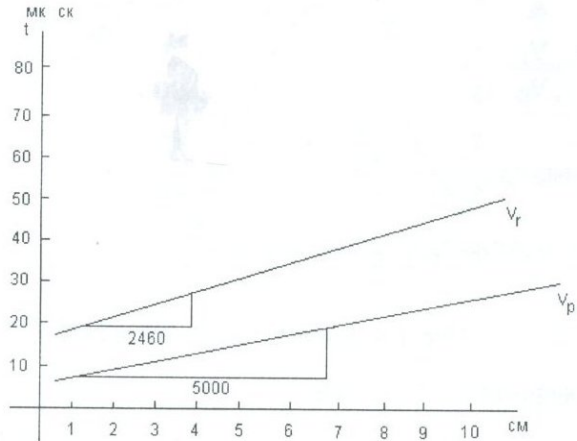


Рис.1.3. Фазовые годографы ультразвуковых продольных и
поверхностных волн

По значению соотношений одного из пар скоростей ультразвуковых волн (V_s/V_p; V_r/V_p; V_r/V_s) с помощью соответствующей кривой на монограмме Кнопова находим значение коэффициента Пуассона "М" (рис.1.4).

Имея значение продольных волн, коэффициент Пуассона и объемную массу породы ρ, по известной формуле теории упругости вычисляется модуль Юнга:

$$F = V_p^2 \rho \frac{(1+\mu)(1-2\mu)}{1-\mu}$$

и модуль сдвига по формуле:

$$G = V_s^2 \rho, \text{ где}$$

V_p- скорость ультразвуковых продольных волн (км/сек);

М - коэффициент Пуассона,

V_s -скорость ультразвуковых поперечных волн (км/сек);

ρ-объемная масса (г/см).

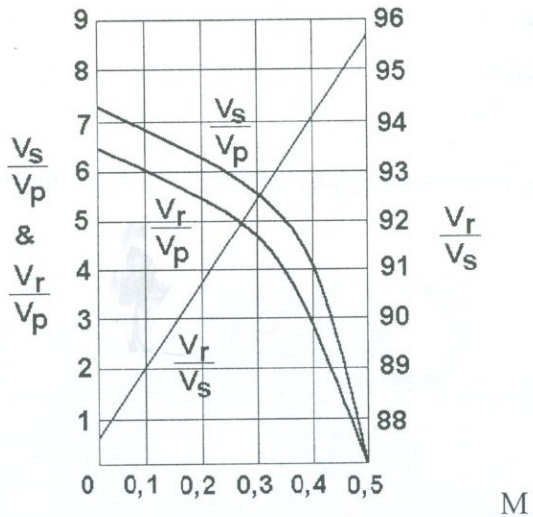


Рис.1.4. Номограмма Кнопова

По оси абсцис М-коэффициент Пуассона.

Следовательно, мы имеем все основные параметры, характеризующие упругие свойства. Статический метод основан на измерении деформации горных пород при сжатии образца формы цилиндра или призм (рис.1.5).

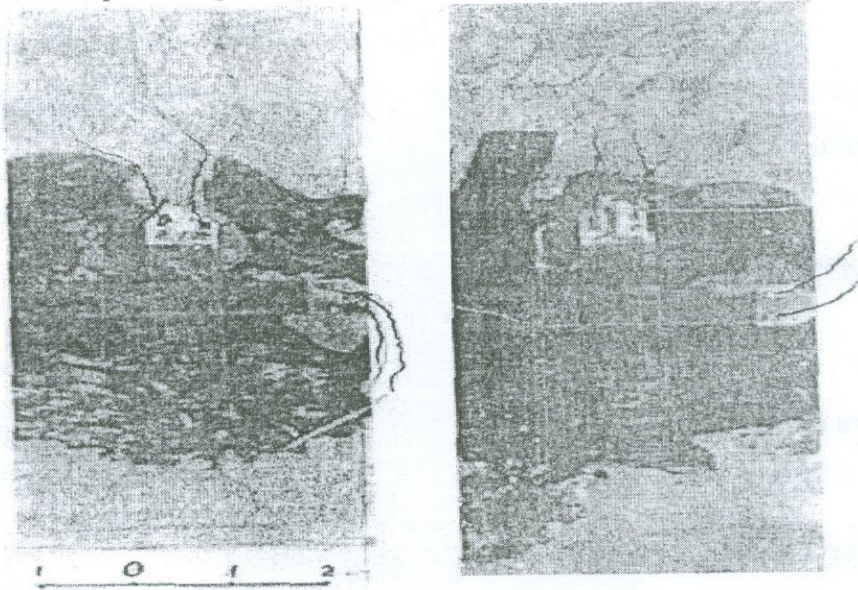


Рис.1.5. Образцы формы призм с датчиком сопротивления

Измерение производится на зеркальном приборе Мартенса с датчиком сопротивления. Принцип действия датчика заключается в том, что будучи прочно приклеенным к образцу, сжимается, вследствие чего изменяется его сопротивление, которое фиксируется соответствующими электроизмерительными приборами механической записью.

Схему характера деформации можно представить графически в виде кривых по величинам модуля Юнга, коэффициента Пуассона, динамического определения и предела прочности (рис.1. 6).

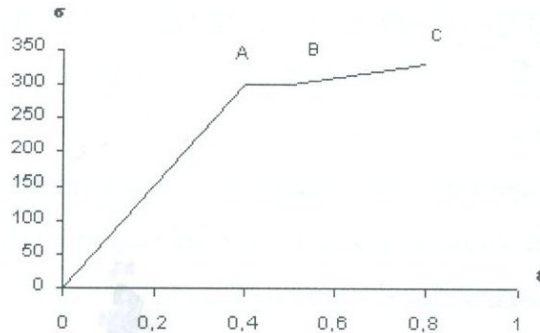


Рис. 1.6. Кривая приращения оси деформации

Кривая приращения длины оси деформации (сопротивляемости), где ($\varepsilon = \frac{\Delta l}{l} \cdot 10^{-5} \text{ см}$)

отображается по горизонтальной оси, а соответствующие силы напряжения ($\sigma = \text{МПа}$) – на вертикальной. На кривой отрезок “О-А” соответствует пропорциональному нарастанию между силой напряжения и осью деформации. Точка “А” – предел пропорциональности (или упругости), соответствующий модулю Юнга. Вслед за точкой “А” нарушается пропорциональное соотношение, т.е. ось деформации опережает силу напряжения. На кривой деформации отрезку “А-В” соответствует пластичное течение. Точка “В” есть предел текучести или пластичности, соответствующая коэффициенту Пуассона. В точке “С” сила напряжения, соответствующая пределу прочности. Проведенные исследования позволили установить числовые значения комплекса упругих и прочностных параметров и по соотношению их предельных значений определить характер деформации разного типа горных пород.

Таблица 1.1

Индексы и единицы измерения петрофизических параметров

	Параметры	Единицы измерения
ρ	Объемная масса (плотность)	$\text{г}/\text{см}^3$
W	Водонасыщение	%
n	Эффективная пористость	%
v_p v_r v_s	Скорость прохождения ультразвуковых волн (продольных, поверхностных, поперечных)	км/сек
E	Модуль Юнга	$n \cdot 10^{-5} \text{ кг}/\text{см}^2$
G	Модуль сдвига	$n \cdot 10^{-5} \text{ кг}/\text{см}^2$
μ	Коэффициент Пуассона	
$R_{сж}$	Предель прочности	$\text{МПа}(0,1 \text{ кг}/\text{см}^2)$

2. СТРУКТУРНО-ПЕТРОФИЗИЧЕСКИЕ ОСОБЕННОСТИ МЕСТОРОЖДЕНИЙ РУДНЫХ ФОРМАЦИЙ.

Исследования петрофизических параметров и структурно-петрофизических условий рудоотложения проведены на месторождениях рудных формаций:

медно-колчеданная – Алаверди, Шамлуг, Капан;

медно-молибденовая – Каджаран, Агарак, Личк, Дастанкерт;

золоторудная – золото-сульфидно-теллуровая – Сотк и Меградзор;

золото-свинцово-сурьмянная – Азатек;

золото-сульфидно-полиметаллическая – Шаумян, Арманис.

2.1. МЕДНО-КОЛЧЕДАННАЯ ФОРМАЦИЯ

Основные вопросы геологического строения, рудоносности медно-колчеданной формации Армении освещены в трудах В.Грушевого, Е.Захарова, К.Паффенгольца, И.Магакьяна, Б.Варданяна, П.Сопко, Э.Малхасяна, Г.Казаряна, В.Акопяна, Э.Хачатуряна, Э.Сагателян, Р.Мелконяна и др.

Медно-колчеданная формация Армении, характерна в основном для Сомхето-Карабахской структурно-металлогенической зоны. На северной ее части размещена Алавердское рудное поле, в южной, юго-западной части Капанского сегмента - Капанское рудное поле. Их объединяют весьма сходные геологические условия образования, в тесной взаимосвязи со структурно-литологической и магматической особенностей.

Месторождения Алавердского и Капанского рудных районов приурочены к вулканогенно-осадочной толще юрского магматического комплекса, сформировавшегося в эвгеосинклинальном этапе, характеризующимся мощным развитием процессов вулканизма.

2.1.1 АЛАВЕРДСКОЕ РУДНОЕ ПОЛЕ

Группа месторождений – Алавердское, Шамлугское медно-колчеданные и Ахтальское барит-полиметаллическое - составляют Алавердский рудный узел. Расположены они в приосевой части Дебетской антиклинали. Основными структурными элементами, контролирующими оруденение, являются частные брахиантеклинальные складки, осложненные разрывными нарушениями разной категории. Ядро антиклинальной складки сложено толщей эпидотизированных андезитов и диабазов дебетской свиты раннего байоса.

Эта толща согласно перекрывается вулканогенной толщей туфобрекций андезитов байоса кошабердской свиты. Туфобрекции андезитов в верхах переходят в более кислые пирокластические, агломератовые, кварцевые дациты, риодакиты. Указанные породы перекрываются комплексом полимиктовых, туфовых песчаников, конгломератов, андезитов шулаверджурской свиты оксфорд-кимериджа верхней юры. Весь разрез среднеюрских образований считается субвулканическими телами альбитизированных липаритов, входящих в состав вехнеюрского и нижнемелового неокомского комплекса. Данные породы по своим петрохимическим особенностям проявляют определенные черты сходства с риодакитами среднеюрского эфузивного комплекса: близкие значения известковистости, перенасыщенность глинометом, натриевая щелочность и т.д. Основной отличительной особенностью риодакитов от липаритов является их резко пониженная щелочность ($a=0,7$ против 11,3 в липаритах), обусловленная выносом щелочей в результате серицитизации и каолинизации полевых шпатов (С.Вартанян, Р.Мелконян, 1969). Обладая чертами минеральной и химической общности липариты и риодакиты резко отличаются характером деформации и отношением к процессу рудоотложения. Кислые рудоносные пирокластические породы, особенно на контакте с перекрывающими их породами, интенсивно раздроблены, брекчированы. В составе брекчий преобладают кремнистые яшмовидные их разности.

Серия тектонических структур второго, третьего порядков и даечные породы кислого и основного составов, возникшие в разное время, составляют важные структурные элементы в формировании рудных жил. Крутопадающие минерализованные трещины развиты преимущественно в приконтактовых частях силл и даек альбитизированных липаритов, диабазов и габбро-диоритов. Существенную роль при этом играло их различие в физико-механических свойствах.

В сторону ядра антиклинальной складки породы Дебетской свиты практически не дислоцированы. По всему рудному району вторичные изменения данных пород выражены зеленокаменной и актинолит-эпидотовой пропилитами. Процесс эпидотизации носит региональный характер и не имеет прямой связи с оруденением (А.Лебедев, Э.Малхасян, 1958).

Породы, перекрывающие рудоносную толщу на самом верхнем горизонте – лавовые крупнообломочные туфы и аркозовые песчаники, а также прорывающие их и перемежающиеся ими субвулканические альбитизированные липариты – не несут на себе воздействия метасоматических процессов и лишены оруденения.

По всему геологическому разрезу проявляется закономерное чередование разнотипных рудоносных структур, литологических разностей и экранирующих поверхностей. Структурно-литологический фактор рудоотложения по горизонтам проявляется в различных масштабах и с разной интенсивностью. В связи с этим определенное значение приобретает выяснение геологических позиций ярусно-этажного строения по взаимосвязи с петрофизическими особенностями. Структурный фактор, влияющий на ход рудоотложения разной интенсивности, весьма ярко проявляется в связи с геодинамическим режимом в том или ином ярусе брахиантклинальной складки. Разные структурные ярусы характеризуются неоднородностью разрядки динамических напряжений из-за контрастности петрофизических особенностей и степени компетентности пород к упругой, пластичной деформации или к хрупкому разрушению.

В этой связи разрез сферы рудоотложения по основным показателям петрофизических параметров и графиков деформации делится на три основные части (сверху вниз).

Первая – породы верхних рудоносных горизонтов (гор. +11, +17, +32). Это кварцевые, кварц-серicitовые метасоматически измененные риодакиты Шамлугского месторождения и агломераты, пирокластические дациты, антдезитодациты Алавердского месторождения. Они отличаются весьма низкими показателями упругости (модуль Юнга $2,43 \cdot 10^5$ кг/см²), пластичности (коэффициент Пуассона 0,16), прочности на сжатие (75 МПа), повышенными показателями пористости (7,38%) и водонасыщения (3,72%). На кривых деформации предел упругости в данных породах достигается при силе напряжения примерно 50-55 МПа. Небольшое нарастание нагрузки 60-70 МПа приводит к нарушению пропорциональности между напряжением и деформацией и следует внезапное разрушение породы. Практически исключается пластичное течение.

Вторая – рудоносные породы более нижних горизонтов. Они составляют комплекс толщ кошабердской свиты (гор. -60, -90, -140, -180, -215, -305). По комплексу петрофизических показателей и характеру деформации проявляются очевидные черты различия между туфобрекчиями кошабердской свиты и вышележащими риодакитами, пирокластическими агломератами. На кривых деформации у хлорит-серicitовых метасоматитов кошабердской свиты предел пропорциональности (отрезок О-А) соответствует силе напряжения, равной 70 МПа. Далее ось деформации нарастает быстрее при небольшом добавлении силы напряжения, и нарушается пропорциональное соотношение. В пределах силы напряжения 100-120 МПа в породе появляются признаки начала растрескивания, достигая предела прочности. Разрушение породы происходит с отделением диагонально перекрестных трещин около краев опорной поверхности образца. Расширение промежутка

между значениями пределов упругости и прочности (отрезок А-В) служит прямым показателем нарастания пластичной деформации. Об относительно высокой пластичности пород данной части можно судить по более высокому значению коэффициента Пуассона, доходящему до 0,25-0,30. Проницаемость, эффективная пористость, водонасыщенность данных пород низки примерно на 25-30% по отношению к верхней части. Низкая проницаемость и более высокая пластичность пород кошабердской свиты в значительной мере связаны с их более высокой степенью хлоритизации и пропилитизации.

Третья – подрудная толща, представлена породами дебедской свиты. Наиболее высокие показатели упругости и прочности особенно фиксируются в сильно эпидотизированных разностях данных пород. Сила напряжения, достигающая предела упругости, в них равна 135-155 МПа, а прочность – 170-200 МПа. Эти показатели свидетельствуют о том, что перед достижением напряжения предела прочности намечается незначительная пластическая деформация. В породе превалирует более упругая деформация. К данному типу по петрофизической характеристике относятся также перекрывающие рудоносную толщу породы верхней юры. Разница между двух указанных толщ заключается в том, что в перекрывающих рудоносную толщу породах пластичность практически не фиксируется. Отсутствие промежутка между пределами упругости и прочности исключает пластическое течение. На кривых деформации предел упругости соответствует силе напряжения 170 МПа, предел прочности – 180-190 МПа.

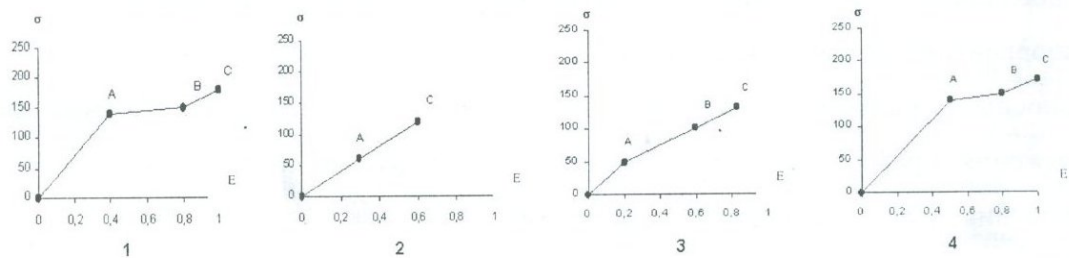


Рис. 2.1.1. 1 Кривые приращения оси деформации пород Алавердского рудного поля

1 – верхний структурно-петрофизический этаж; 2 – верхний подэтаж среднего структурно-петрофизического этажа; 3 – нижний подэтаж среднего структурно-петрофизического этажа; 4 – нижний структурно-петрофизический этаж.



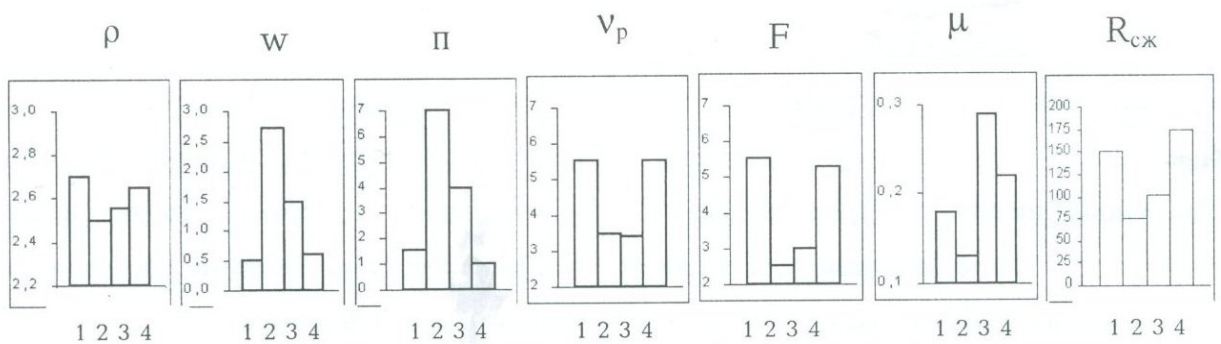


Рис.2.1.1.2 Гистограмма петрофизических показателей пород Алавердского рудного поля

1- верхний структурно-петрофизический этаж; 2-верхний подэтаж среднего структурно-петрофизического этажа; 3-нижний подэтаж среднего структурно-петрофизического этажа; 4- нижний структурно-петрофизический этаж.

Геологическое истолкование полученных данных позволяет представить механизм формирования разнотипных тектонических структур в связи с петрофизическими особенностями пород и деформационной компетентностью толщ по структурным ярусам в следующем виде: в определенной фазе тектогенеза кислые породы рудоносной толщи средней юры в верхах горизонтов складок продольного изгиба оказались в зоне максимального растяжения. Сила напряжения превосходила пределы как упругости, так и прочности пород. Хрупкие риодакиты, пирокластические агломераты в этих условиях раздроблялись интенсивно, превращаясь в зоны тектонических брекчий и разноориентированных зияющих трещин. В условиях подобного напряженного состояния в рудоносных толщах более нижних горизонтов, в нейтральной зоне изгиба уровень силы напряжения превосходил предел упругости, однако не достигал предела прочности и разрушения пород. За упругой деформацией в породе следовала некоторая пластическая деформация. Такое состояние привело к формированию плоскостей скольжения, напластования, трещины скола.

Ниже по разрезу, в сторону ядра складки, в зоне высокого сжатия, в упругих и прочных породах дебетской свиты сила напряжения не достигала уровня пределов как упругости, так и прочности и развивалась по трещинам отдельностей. Аналогичное напряженное состояние, при котором полностью разрушались кислые рудоносные породы – риодакиты, формировались зоны брекчирования, в туфобрекчиях андезитов проявились плоскости скольжения, а в дебетской свите развивались трещины отдельностей. Перекрывающие рудоносную толщу альбитизированные липариты, аркозовые и обломочные песчаники, в

силу их высокой упругости, прочности и плотности, не подвергались подобным остаточным деформациям.

Указанное сочетание отложений пород в разрезе юрских образований, характеризующиеся очевидной контрастностью петрофизических особенностей и характером деформации, обусловили закономерный ряд различной степени проницаемости и структурно-петрофизических условий локализации оруденения соответствующих морфологических типов. Указанный ряд составляет определенные структурно-петрофизические этажи.

Под структурно-петрофизическими этажом подразумевается отчетливо выраженная совокупность в едином плане комплекса толщ с определенными петрофизическими показателями, степенью и характером деформации пород, структурными элементами и метаморфизмом внутри толщ, ограниченных от перекрывающих и подстилающих толщ. Совокупность структурно-петрофизических этажей по всему разрезу и составляет структурно-петрофизическую модель. В этом аспекте структурно-петрофизическая модель сферы рудоотложения месторождений Алавердского рудного района соответственно состоит из трех этажей: верхнего, среднего и нижнего. Характер изменения петрофизических показателей по указанным этажам приведен в таблице 2.1.1.1., рис.2.1.1.1., 2.1.1.2.

Верхний этаж, представленный верхнеюрскими отложениями по комплексу совокупности петрофизических показателей и структурному строению выделяется как экранирующий по отношению к рудоотложению.

Средний этаж состоит из двух подэтажей – верхнего и нижнего. Верхний подэтаж кислых риодацитов занимает положение непосредственно под экранирующей поверхностью. По комплексу вышеприведенных петрофизических показателей, структурному строению и интенсивности метасоматического преобразования пород, данный подэтаж выделяется как самая продуктивная среда для рудоотложения. Нижний подэтаж - породами основного состава кошабердской свиты разграничивается от верхнего подэтажа. По всему комплексу петрофизических показателей (особенно пластичностью), структурным типом метасоматическими изменениями нижний подэтаж предопределен условиями формирования рудных тел в основном жильного типа. Локализация оруденения здесь протекала путем заполнения зияющих сколовых трещин. В сторону крыльев брахиантклинальной складки пластическая деформация пород обусловила смещение блоков по сколовым трещинам. На направление смещения указывают касательные их направления.

Нижний этаж представлен породами дебетской свиты. В связи с изменением здесь условий деформаций, прежде всего с увеличением глубины в зоне максимального сжатия,

плотные и упругие породы становятся менее способными к образованию густой сети трещин.

Таблица 2.1.1.1

Показатели петрофизических параметров пород сферы
Алавердского рудного поля

Породы	Количество определений	Объемная масса, г/см ³	Водонасыщение, %	Эффективная пористость, %	Скорость ультразвука продольных волн, км/сек	Модуль Юнга	Модуль сдвига	Коэффициент Пуассона	Прочность на сжатие, МПа	
									П	*10 ⁻⁵ кг/см ²
I. Верхний структурно-петрофизический этаж										
1	2	3	4	5	6	7	8	9	10	
1. Андезито-базальты (шулаверджурская свита)	28	2,68	1,0	1,80	5,14	5,42	2,46	0,20	150	
2. Грубообломочные туфо-песчаники (алавердская свита)	48	2,71	0,48	1,42	5,37	5,39	3,14	0,20	142	
3. Альбитизированные липариты(альбитофирьи)	90	2,67	0,38	1,03	5,63	5,84	3,15	0,13	160	
Среднее по этажу	166	2,68	0,51	1,27	5,47	5,63	3,03	0,16	153,1	
II. Средний структурно-петрофизический этаж										
А. Верхний подэтаж										
1. Риодациты	100	2,57	1,48	3,91	3,90	3,81	1,50	0,12	100	
2. Кварц-серицитовая фация измененных риодацитов	124	2,38	3,60	9,34	3,27	2,65	1,31	0,10	70	
3. Кварц-серицит-хлоритовая фация измененных риодацитов	77	2,42	3,70	7,38	3,63	2,45	1,14	0,16	87	
Среднее по подэтажу	301	2,45	2,92	6,87	3,60	2,97	1,31	0,13	85	
Б. Нижний подэтаж										
1. Туфобрекции андезитов (кошабердская свита)	91	2,60	0,88	1,82	3,43	3,40	1,58	0,20	115	
2. Кварц-серицитовая фация измененных туфобрекций андезитов	73	2,51	2,12	5,32	3,35	2,0	1,39	0,26	107	
3. Хлорит-кварц серицитовая фация измененных туфобрекций андезитов	76	2,52	1,35	3,40	3,24	2,02	2,20	0,30	75	
Среднее по подэтажу	240	2,55	1,45	3,93	3,34	2,47	1,72	0,25	100	
III. Нижний структурно-петрофизический этаж										
1. Эпидотизированные андезиты (деветская свита)	34	2,70	0,64	1,38	5,35	5,40	2,37	0,24	180	

Спрессованные прямолинейные трещины отдельности служили как бы рудоподводящими каналами для миграции восходящих рудоносных растворов. В условиях высокого давления растворы, наследуя заложенные направления, попадали в верхах в более благоприятные вышеуказанные структурно-петрофизические этажи и отлагали концентрации сульфидной минерализации, формируя массивные залежи неправильной формы, штоки и линзы. К таким рудным телам относятся разработанные штоки "В", "Лун", "Бирибон", "Зюйд-вест", "Даик", "Вест-бис" и др. Алавердского месторождения и штоки "КЛ", "Же", "С", линзы 4, 4а, 9 и др. Шамлугского месторождения.

В более пластичных нижележащих породах основного состава в крутопадающих трещинах скола, путем заполнения рудоносными растворами, формировались выдержаные рудные жилы (15, 9а и др.). Часто рудные жилы составляют нижнее продолжение вышележащих штоков.

Часть рудных жил не имеют связи со штоками. Они по восстанию ограничиваются межпластовыми экранирующими поверхностями, служащими границами двух сред с различными физико-механическими свойствами. Ролью экранирующих поверхностей служат также пологопадающие тектонические, перетертые швы, изгибы пликативных слоев, глиники трения, а также дорудные дайки и силлы плотных альбитизированных липаритов, габбро-диоритов, диабазов. Это ярко выражено на Алавердском месторождении, где в висячем боку меридионального разлома происходило уплотнение пород и жилы упираясь, выклинивались.

Итак, в результате расчленения толщ по их петрофизическим показателям и характеру деформации пород по разрезу устанавливаются причины, обуславливающие в этом отношении развитие разнотипных рудоконтролирующих структур в разных свитах и этажах и формирование определенных морфоструктурных типов руд.

2.1.2 КАПАНСКОЕ РУДНОЕ ПОЛЕ

Капанское рудное поле представляет собой крупное вулканогенное сооружение со сложным строением, обусловленное складчатостью и широким развитием разрывных нарушений. Расположено оно на северо-восточном моноклинальном крыле Капанской антиклинальной складки, сложенной комплексом мезозойских вулканогенных, субвулканических, жерловых образований с подчиненными туфоосадочными образованиями. Ядро антиклинали сложено брекчийдными миндалекаменными андезитами раннего байоса. Выше по разрезу эти породы чередуются комплексом дифференцированного

ряда пород – от среднего андезитобазальтов до умеренно кислого – андезитодацитов, кварцевых андезитов, риодацитов байоса-бата. Будучи рудоносными, эти породы вмещают Капанское медно-колчеданное, Шаумянское золото-полиметаллическое месторождения и многочисленные рудопроявления.

Породы средней юры на юго-западном и северо-восточном крыльях Капанской антиклинали соответственно перекрыты толщей туфоконгломератов и лавами андезитов Хуступ-Чимянской и Тапасар-Кармракарской свит верхней юры (титон-нижний валанжин).

Площадь рудного поля разбита на блоки развитыми здесь крутопадающими разрывами субширотного, близмеридионального и северо-восточного направлений. Вдоль разломов трещинные структуры с пересечением контактов пород с различными физико-механическими свойствами создают сложную структурную форму. В относительно однородной среде трещинные структуры имеют более правильную форму. Сложные системы структур интенсивно сконцентрированы на местах стыковки изгибов толщ и разветвлений разломов обусловливающих морфоструктуры руд штоквергового, жильного и более сложного–жильноштокверкового типов (Саралых, рудник 7-10).

Основные носители оруденения-среднеюрские вулканогенные образования в той или иной степени подвергнуты гидротермальным изменениям. По всему разрезу юрских образований отмечается трехэтапная метасоматическая деятельность (С.Ачикгезян, Р.Саркисян и др., 1978). Первый–ранний этап–региональный. Он связан с инфильтрацией высокотемпературных нейтральных растворов. Метасоматоз выражен слабой пропилитизацией с преобладанием эпидотизации и охватывает лавы брекчиевидных андезитов в низах разреза, над магматическим очагом. Второй этап – предрудный – связан с более низкотемпературными окисленноактивными газо-гидротермами. Это изменение интенсивно выражено в богатых кремнеземом дислоцированных породах умеренно кислого состава – андезитодацитов, кварцевых андезитов – в более поверхностных условиях. Метасоматитам данного этапа присущи кварц-серицитовые, хлорит-серицитовые, хлорит-карbonатовые фации пропилитов стадии кислотного выщелачивания и вторичные кварциты кварц-серицитовой фации. Вторичные кварциты составляют отдельные площади (Каварт). Третий этап – рудный с окаторудным изменением.

Степень и характер метасоматического преобразования пород каждого этапа соответствуют интенсивности и характеру остаточной деформации их среды. Продуктам последующих этапов метасоматических изменений (высоко-и низкотемпературных) присуща отчетливо выраженная петрофизическая специализация. Регионально-метасоматически преобразованные породы, особенно по мере повышения в их составе степени насыщенности

эпидотом, характеризуются повышенной плотностью. Эпидот выступает как бы в роли цемента, обволакивая и цементируя породообразующие минералы, создавая сплошную монолитную среду. Это обеспечивает высокую скорость прохождения упругих – ультразвуковых волн и высокую упругость (табл. 2.1.2.1). При ассоциации эпидота с хлоритом возрастает пластичность породы .

На кривых приращения оси деформации (рис. 2.1.2.1) у эпидотизированных андезитов предел упругости (отрезок “О-А”) достигает значения 135 МПа. За этим пределом начинается весьма слабая пластичная деформация, достигающая напряжения 150 МПа. Судя по форме кривой, фиксируется упруго-пластическая деформация, где превалирует упругость.

Петрофизическая специализация гидротермальных метасоматитов предрудного этапа в верхах разреза среднеурских вулканогенных образований, в силу их частой изменчивости по составу, весьма сложная. По результатам анализа всего комплекса показателей петрофизических параметров пород по горизонтам и блокам устанавливается тенденция: с повышением кислотности пород понижается пластичность, повышается жесткость и упругость. Пластичность пород среднего состава андезито-базальтов выше, чем у кислых. Коэффициент Пуассона у средних андезито-базальтов исчисляется до 0,27. Разница напрягающих усилий между пределами упругости и прочности составляет примерно 80 МПа. Относительно широкий промежуток между указанными пределами и высокое значение коэффициента Пуассона позволяют заметить, что данные породы склонны к пластичной деформации. В более кислых андезито-дацитах и кварцевых андезитах барабатумской свиты промежуток между пределами упругости и прочности заметно узок (10-15 МПа), что указывает на практическое отсутствие в данных породах пластической деформации. За пределами упругой деформации непосредственно следует разрушение породы, минуя пластичное течение. В пользу этого указывает значение коэффициента Пуассона (0,10-0,12).

В метасоматически измененных андезито-дацитах, кварцевых андезитах, риодакитах по мере повышения в составе количества серицита и кварца, происходит разуплотнение породы, понижение его упругих параметров и, наоборот, повышение пористости и проницаемости. Вторичный кварц в составе кварц-сериицитовой фации придает породе жесткость. Особо интенсивному окварцеванию подвергнуты риодакиты. В этих метасоматитах коэффициент Пуассона снижен до 0,09. Подобное поведение петрофизических показателей–разуплотнение, понижение упругости, прочности, и, наоборот, повышение хрупкости, пористости, проницаемости пород верхней части разреза среднеурского комплекса–сыграло существенную роль при формировании благоприятной среды и успешной концентрации сложных жильно-штокверковых рудных тел.

Перекрывающие рудоносную толщу верхнеюрские андезиты, скементированные брекчиями туфоконгломератов, слабо затронуты метасоматическими процессами и не дислоцированы. Они характеризуются высокой скоростью прохождения ультразвуковых волн до 5,0-6,0 км/сек и относительно высокой упругостью и прочностью.

Располагаясь между плотными, прочными и упругими выше- и нижележащими породами, рудоносная толща – метасоматиты среднеюрских андезито-дацитов, риодакитов, кварцевых дацитов – оказались в условиях наиболее интенсивной дислокации, подвергаясь остаточной деформации растрескивания и развитию зон рудоносных трещинных структур. Весь комплекс вышележащих верхнеюрских образований, соответственно с присущими им петрофизическими показателями обусловливали их экранирующую роль над рудоносной толщей. Большинство рудных тел – жилы и штокверки – не имеют выходов на дневную поверхность. Среди известных на месторождении свыше 500 жил, только 60, и 4 штокверка из 14 имеют выход на поверхность. Множество рудных тел (штокверки Катар, Северный, Восточный, Западный и др.) ограничены кровлей вышележащих толщ. Роль экрана играли также висячие бока дорудных–Восточно-Саядкарского, Мец-Магаринского, Каварат-Джурского, Саралыхского разломов и малопроницаемые дайки диабазов, габбро-диоритов и др. Рудные штокверки протяженностью от 200 до 400м, с глубиной от 150 до 500м, при мощности от 10 до 100м (рудники 7/10, 6, им.Комсомола, Саралых, Северный, Катар) кварц-серицитовой фации метасоматитов характеризуются в основном пониженными показателями прочности и упругости. Хрупкие и относительно жесткие породы не требуют больших тектонических усилий для изгиба или разрушений сплошности и формирования структурных элементов разной сложности, создавая благоприятную рудоносную структурно-петрофизическую среду. Штокверковое оруденение на месторождении тяготеет именно к петрофизически дифференцированным, сложным структурам.

По мере перехода на нижние горизонты разреза юрских образований, (более основного состава), с возрастанием хлорит-карбонатовой, хлорит-серицитовой фации метасоматитов, фиксируется повышение пластичности пород. Зоны раздробления и брекчирования пород с глубиной сокращаются и, разветвляясь, переходят в более выдержаные по простирианию и падению трещинные структуры сколового типа, содержащие вытянутые рудные жилы.

В сторону ядра антиклинальной складки в эпидотизированных пропилитах, в силу вышеуказанных структурно-петрофизических показателей, не развиты рудоконцептирующие структуры. По петрофизическим показателям, деформационной способности метасоматитов и структурным элементам весь разрез юрских образований Капанского рудного поля (аналогично Алавердскому) дифференцируется на три структурно-

петрофизических этажа – верхний, средний, нижний, что создает структурно-петрофизическую модель месторождения. Верхний этаж составляют верхнеюрские вулканогенно-осадочные толщи конгломератов, линз песчаников кимериджа и др., по комплексу петрофизических параметров, характеризующие экранирующую роль для рудоотложения. Средний этаж составляет среднеюрская (байос-бат) вулканогенная толща. Находясь в области активных тектонических напряжений и в большей степени расчлененный на тектонические блоки.

Таблица 2.1.2.1

Показатели петрофизических параметров пород Капанского рудного поля

Породы сферы рудоотложения по структурно- петрофизическим этажам	Количество определений	Объемная масса, г/см ³	Водонасыщение, %	Эффективная пористость, %	Скорость ультразвуковых продольных волн, км/сек			Коэффициент Гуассона	Прочность на сжатие, МПа
						Модуль Юнга	Модуль сдвига		
Верхний структурно-петрофизический этаж									
1	2	3	4	5	6	7	8	9	10
<u>Верхняя юра</u>									
1. Туфоконгломераты	20	2,72	0,32	0,86	4,86	5,79	2,76	0,14	150
2. Лавы андезитов (Хуступ-Чимянская свита)	77	2,68	0,70	1,87	5,5	5,8	2,51	0,24	145
3. Лавы андезитов (Тапасар-Кармракарская свита)	80	2,69	1,0	2,6	5,2	5,9	2,87	0,25	155
Среднее по этажу	177	2,69	0,79	2,08	5,29	5,84	2,71	0,23	150
Средний структурно-петрофизический этаж									
<u>Средняя юра</u>									
1. Кварцевые андезиты (барабатумская свита)	114	2,56	1,62	4,16	3,71	4,02	1,87	0,20	95
2. Андезито-базальты (миндалекаменные) Метасоматиты – фации кислотного выщелачивания	110	2,64	0,92	2,64	4,01	3,19	1,56	0,27	100
3. Серицит-хлоритовые	39	2,53	1,89	4,78	3,43	3,31	1,95	0,22	87
4. Кварц-серицит- хлоритовые	40	2,52	1,51	3,51	3,71	3,70	1,92	0,23	80
5. Андезито-дациты	100	2,66	0,95	2,54	4,11	3,91	1,92	0,16	115
6. Андезито-дациты (кварц- серицитовые)	26	2,50	3,2	7,47	3,20	2,71	1,65	0,12	45
7. Андезито-дациты (кварц- хлорит-серицитовые)	24	2,57	2,24	6,72	3,74	3,40	1,62	0,09	72
Среднее по этажу	555	2,60	1,35	3,53	3,89	3,65	1,82	0,16	98
Нижний структурно-петрофизический этаж									
8.Брекчевые эпидотизированные андезиты	64	2,70	0,38	1,05	6,23	5,96	2,62	0,22	150

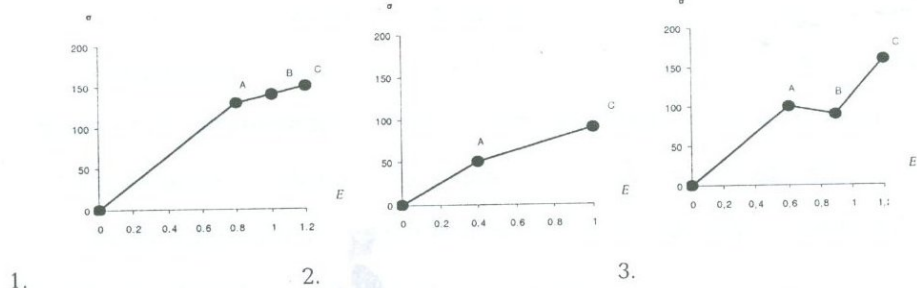


Рис.2.1.2.1 Кривые приращения оси деформации пород

Названия пород см. на рис. 2.1.2.2

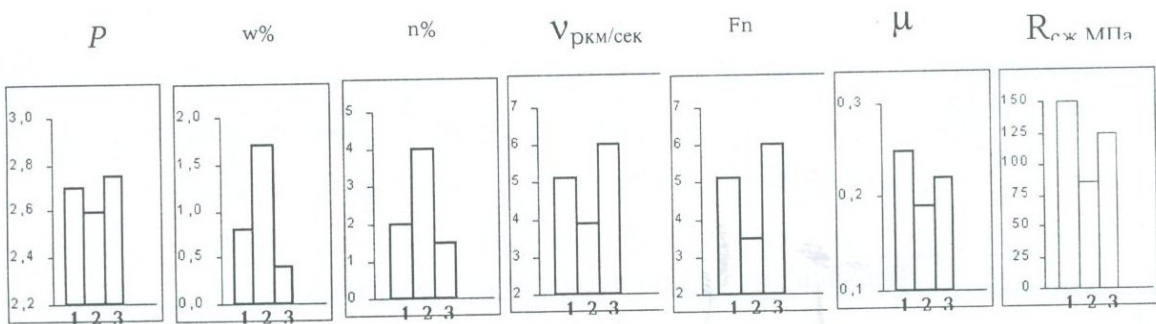


Рис. 2.1.2.2 Гистограммы петрофизических показателей пород Капанского рудного поля

1-Лавы андезитов и туфоконгломераты; 2-кварцевые андезиты и андезито-дациты; 3-эпидотизированные андезиты.

В данном этаже очень часто на одном и том же горизонте чередуются разностепенно измененные и дислоцированные разности метасоматитов. Это явление затрудняет расчленение рудоносной толщи по подэтажам. По комплексу специфических петрофизических показателей и интенсивности концентрации разнотипных структур, данный структурно-петрофизический этаж является носителем основной доли оруденения различных морфологических типов. В верхах преобладают рудные штокверки, а в низах – жилы и прожилки. Нижний этаж по комплексу петрофизических показателей и блоковому строению практически безруден.

Заметим, что разрез юрских вулканогенных отложений Малого Кавказа по К.Паффенгольцу (1970) делится на три толщи (сверху вниз): верхняя вулканогенная толща, свита кварцевых порфиров (плагиопорфировая) и нижняя вулканогенная толща.

Верхняя вулканогенная толща, представлена вулканогенно-осадочной толщей, андезитами, андезито-базальтами, туфоконгломератами, туфопесчаниками верхней юры. По комплексу петрофизических показателей и структурному строению данная толща

соответствует выделенному нами верхнему структурно-петрофизическому экранирующему этажу.

Свита кварцевых плахиопорфиров средней юры, с существенным угловым несогласием трансгрессивно перекрытая верхнеюрской вулканогенной толщой, содержит колчеданное оруденение. Состав кварцевых порфиров несколько меняется в разных районах (зонах). В Капанском рудном поле эти породы представлены андезито-базальтами, кварцевыми андезитами барабатумской свиты, андезито-дацитами и риодакитами.

В Алавердском рудном поле данную свиту составляют: кварцевые и бескварцевые риодакиты (кератофиры), туфобрекции андезитов, алгомераты, кварцевые плахиопорфирь. Вся гамма отмеченных пород по своим специфическим петрофизическим особенностям и структурным строениям соответствует выделенному нами среднему структурно-петрофизическому этажу, составляющему основную рудоносную среду. Нижняя вулканогенная толща выражена зеленокаменным и эпидотизированными пропилитами раннего байоса. Она составляет нижний структурно-петрофизический этаж.

Смена структурно-петрофизических этажей по разрезу соответствует представлению М. Крейтера (1956) о структурной зональности и глубине формирования гидротермальных рудных месторождений. По его представлению, разрывы, формировавшиеся на относительно небольшой глубине, сопровождаются большим количеством трещин и нередко представляют собой зоны дробления с тектоническими брекчиями. На глубине мощность зон брекций уменьшается, и постепенно они меняются зонами скольжения, сопровождаемыми тектонической глинкой. На больших глубинах тектоническая глинка исчезает, заменяясь зонами рассланцевания.

Таким образом, анализ и геологическое истолкование структурно-петрофизических моделей рудных полей и месторождений медно-колчеданной формации Сомхето-Карабахской структурно-металлогенической зоны в целом показывают, что по всему разрезу юрских вулканогенно-осадочных образований—от свода к ядру антиклинальной складки—имеется смена петрофизических особенностей и деформационной контрастности толщ. Эта смена во многом обуславливает неоднородную разрядку тектонических напряжений и формирование разнотиповых структур. При этом сводовая часть складок рассматривается как область концентрации деформирующих усилий от центра в направлении к крыльям. В соответствии со сменой структурно-петрофизических этажей от свода к ядру антиклинальной складки и с неоднородностью разрядки тектонических напряжений обусловлен последовательный ряд проницаемости и интенсивности концентрации оруденения структурно-металлогенической зоны.

2.2 МЕДНО-МОЛИБДЕНОВАЯ ФОРМАЦИЯ

Изучением геологического строения месторождений медно-молибденовой формации занимались многие поколения исследователей; В.Г.Грушевой, В.Н. Котляр, С.А. Мовсесян, С.С. Мкртчян, Г.О. Пиджян, К.А. Карамян, Т. Аревшатян, Р.Н. Таян и др.

К типичным промышленно ценным эксплуатируемым представителям относятся Каджаранско, Агаракское, Личкское месторождения, развитые в Зангезурской рудоносной области, в северном погружении Мегри-Ордубадского батолита, и Дастанертское (ныне отработанное) месторождение на северном склоне Баргушатского хребта. Месторождения характерны для складчатой Армянской зоны, испытавшей тектоно-магматическую активизацию в третичный период.

К более перспективным относится детально разведенное Техутское месторождение в тоналитах Шнох-Кохбского интрузива Сомхето-Карабахской структурно-матааллогенической зоны.

В геологическом строении Зангезурской рудоносной области принимают участие вулканогенно-осадочные образования эоцена, которые прорваны крупными массивами монцонитов и гранитоидов верхнего эоцена – нижнего олигоцена и нижнего миоцена. Интрузивы двух разновозрастных комплексов (монцонитов и порфировидных гранодиоритов) отбиваются по тектонической зоне крупного Дебаклинского разлома, являющегося важной рудоконтролирующей структурой медно-молибденовой формации данной рудоносной области. Разлом с углом падения 45-60° северо-западного простирания отчетливо прослеживается геофизическими данными. Магнитное поле за пределами зоны разлома составляет 350 гамм, электросопротивляемость – 2000-2500 омм. Непосредственно в зоне разлома значение вертикального составляющего магнитного поля снижается до 40-145 гамм, а электросопротивляемость – 250-500 омм (С.Вартанян, 1967).

Имея много сходных черт в геологическом строении, в то же время месторождения имеют между собой отличительные черты в деталях интенсивности дислоцированности, метасоматического изменения, типов вмещающих пород и масштабах оруденения. По степени интенсивности дислокации рудовмещающих пород (в порядке убывания) выделяются монцониты Каджаранского, граносиениты, гранодиориты Агаракского и гранодиорит-порфиры, кварцевые диориты Личкского месторождения.

В результате многоэтапных перемещений крупных блоков пород по главному Дебаклинскому разлому монцониты оказались более податливы к интенсивному дроблению.

По морфологическому типу руд месторождения принадлежат в основном к штокверковому, прожилково-вкрашенному типу с развитием оруденения на значительной

площади. Меньшее значение имеет жильный тип, представленный кварц-сульфидными рудами.

2.2.1 Каджаранское месторождение приурочено к контакту двух разновозрастных интрузий – монцонитов и порфировидных гранодиоритов. Подчиненную роль играют вулканогенные образования – туфы, туфобрекчии андезитов с прослойми осадочных пород раннего эоцена. В приконтактовой полосе в северной части месторождения вулканогенные породы, непосредственно примыкающие к интрузиям, превращены в контактовые роговики, мощностью от 25 до 400 м. Основную часть площади месторождения занимает интрузивный комплекс монцонитов. Монцониты, особенно на центральной части месторождения, интенсивно дислоцированы и гидротермально изменены. Изменение выражено в основном каолинизацией, окварцеванием, биотитизацией и слабой амфиболизацией.

Порфировидные гранодиориты, развитые в западной части рудного поля, сравнительно свежи и лишь в приразломной зоне подвергнуты слабой каолинизации. Они практическинерудные.

Месторождение в целом представляет собой единый громадный штокверк с неравномерным распределением оруденения. Основным вместилищем промышленной концентрации руд меди и молибдена является наложенная трещинная структура, развитая в каолинизированных, кварц-серicitовых монцонитах.

Агаракское месторождение расположено в интенсивно дислоцированных породах в блоке Мегринской синклинали. Оно зажато между двумя крупными субмеридиональными разломами – Спетринским с востока и Агаракским с запада. Значительную часть центрального участка месторождения слагают сиенито-граниты, гранодиорит-порфиры, которые вытянуты в меридиональном направлении вдоль Спетринского разлома и на отдельных участках непосредственно примыкают к нему. На месторождении широко распространены зоны сильно трещиноватых раздробленных пород северо-восточного направления, образующих острые углы с направлением крупных меридиональных нарушений, круто падающих на северо-запад. Рудный штокверк линзовидной формы вытянут в меридиональном направлении примерно на 150 м, при мощности 250-300 м и протяженностью на глубину более чем на 400 м. Жильный тип руд играет незначительную роль. В штокверке рудные прожилки мощностью от нескольких мм до 1-2 см образуют всевозможные переплетения, без какого-либо закономерного распределения.

Личкское месторождение залегает в кварцевых диоритах, гранодиорит-порфирах Мегринского plutона. Рудовмещающие породы составляют исключительно измененные окварцованные, карбонатизированные гранодиорит-порфиры. Месторождение представляет

собой мощную от 1 км шириной, гидротермально измененную зону (Личская зона), прослеживающуюся на 6-7 км в северо-восточном направлении, между Каджаранским и Агаракским месторождениями. К основным структурным элементам месторождения относятся две системы тектонических нарушений – Дебаклинский северо-западного и Личский – северо-восточного простираций. Оруденение приурочено к экзоконтакту интрузии гранодиорит-порфиров, вдоль восточной части Дебаклинского разлома. Штокверк вытянут в восточном – юго-восточном направлении длиной 600 м, шириной (по средней части) 450-500 м. Мощность колеблется от 115 м (на западе) до 150 м (на востоке).

Петрофизические параметры, влияющие на ход формирования рудоконтролирующих структур и на локализацию оруденения, на Каджаранском месторождении особенно характерны пониженными показателями прочности, упругости, плотности для интенсивно каолинизированных, серicitизированных, окварцованных монцонитов ее центральной части (табл.2.2.1.1).

Таблица 2.2.1.1

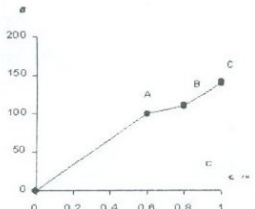
Показатели петрофизических параметров пород Каджаранского, Агаракского и Личского месторождений

Породы	Количество определений	Объемная масса, г/см ³	Водонасыщение, %	Эффективная пористость, %	Скорость ультразвуковых продольных волн, м/с	Модуль Юнга, ГПа		Коэффициент Пуассона	Прочность на сжатие, МПа
						П * 10 ⁻⁵	Модуль сдвига		
Каджаранское месторождение									
1. Монцониты (измененные)	46	2,65	1,08	2,26	5,85	6,36	3,18	0,21	132
2. Монцониты амфибол – эпидот-биотитовые	28	2,72	0,48	1,84	5,2	6,79	3,31	0,24	150
3. Монцониты – кварц-биотизированные	29	2,58	1,65	4,10	3,8	3,7	1,52	0,24	86
4. Монцониты- интенсивно каолинизированные	37	2,46	1,90	4,81	3,46	3,0	1,52	0,17	70
5. Монцониты–кварц-андалузит-каолинизированные	48	2,48	2,27	5,59	3,15	2,30	1,21	0,18	75
6. Порфировидные гранодиориты	42	2,70	0,84	2,20	5,9	6,3	3,1	0,12	135
<u>Жильные породы</u>									
1. Габбро-диориты ортоклазовые	28	2,71	0,49	1,24	6,0	6,41	2,45	0,19	110
2. Габбро ортоклазовое	21	2,78	0,68	1,80	6,47	5,3	3,0	0,12	120
Агаракское месторождение									
1. Граносиениты	52	2,62	0,95	2,65	4,46	4,16	2,17	0,21	142
2. Сиенито-диориты	37	2,67	1,01	2,68	5,0	5,7	2,85	0,16	126

3. Сиенит-диориты-кварц-биотитизированные	22	2,57	1,20	3,04	2,96	3,8	2,21	0,22	116
4. Сиенит-диориты каолин-биотит-серпентизированные	28	2,59	1,30	4,2	4,6	4,3	2,25	0,12	60
5. Гранодиориты	26	2,62	0,9	2,0	5,55	5,3	2,48	0,20	140
6. Гранодиориты биотит-кварц-каолинизированные	42	2,56	1,7	4,29	3,68	4,3	3,0	0,26	98
7. Гранодиориты каолин-карбонатизированные	48	2,57	0,99	2,47	4,2	3,6	2,1	0,20	87
Личкское месторождение									
1. Кварцевые диориты	20	2,64	0,64	1,68	6,85	7,07	4,32	0,16	121
2. Диориты –окварцованные карбонатизированные	10	2,60	0,71	2,01	5,60	6,36	3,18	0,20	120
3. Гранодиорит-порфиры	32	2,62	0,31	0,81	6,92	6,36	3,0	0,16	110
4. Гранодиорит-порфиры окварцеванные	18	2,60	0,90	2,34	4,88	4,52	2,10	0,14	100
5. Гранодиорит-порфиры окварцеванные, карбонатизированные	26	2,58	1,21	3,12	4,88	5,10	2,20	0,20	80
6. Гранодиорит-порфиры кварц-карбонат-хлоритизированные	34	2,52	1,3	3,70	4,52	4,80	2,45	0,26	95
7. Порфировидные гранодиориты	24	2,71	0,90	2,43	6,2	6,5	3,28	0,14	135

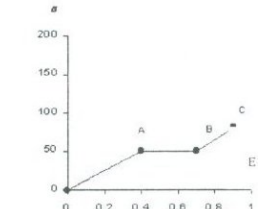
Низкие значения пределов упругости и прочности, а также небольшая разница между их пределами, обусловили хрупкую деформацию пород. Способность к хрупкой деформации привела к развитию интенсивной системы сетчатой трещинной структуры. Обладая высокой пористостью и проницаемостью, хрупкие каолинизированные монцониты обеспечивали среду, в которую внедрялись более поздние мелкие интрузии, и последующие рудоносные растворы, замещающие породы сульфидным оруденением. Наряду со структурным фактором в локализацией оруденения большое значение, естественно, имела химическая активность пород. При допущении условий, что для основного этапа рудоотложения меди и молибдена растворы были близки по характеру и одинаково изменялись во времени – от кислых к нейтральным и слабощелочным, то повышенной активностью обладали монцониты Каджаранского месторождения.

КАЛЖАРАН



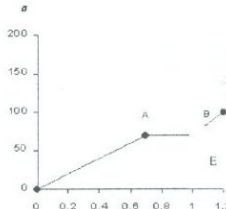
1

АГАРАК

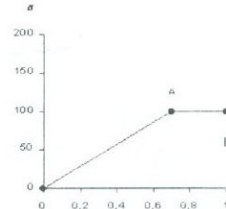


2

ЛИЧК



3



4

Рис. 2.2.1.1 Кривые приращения оси деформации пород Каджаранского, Агаракского и Личкского месторождений

1-порфировидные гранодиориты; 2-измененные монцониты; 3-измененные сиенито-диориты, граносиениты; 4-измененные кварцевые диориты, гранодиорит-порфиры.

В силу относительно увеличенного количества цветных пордообразующих минералов и большей деформированности, в монцонитах произошла активная аккумуляция рудных компонентов, выразившаяся в интенсивном выполнении трещин и в метасоматическом замещении (М.Срапионян, С.Вартанян, 1978). Высокая проницаемость монцонитов обусловлена не только интенсивной мелкой трещиноватостью, но и сравнительно высокой эффективной пористостью (до 5,6%), что в значительной степени связано с гидротермальной переработкой пород. Порфировидные гранодиориты по значениям упругих и прочностных параметров примерно в 2 раза превышают рудоносные монцониты и характеризуются высокой жесткостью (модуль сдвига в них достигает $3,1 \cdot 10^5$ кг/см²) (рис. 2.2.1.1, 2.2.1.2).

Массивы высокопрочных, упругих порфировидных гранодиоритов, залегающих в висячем боку регионального разлома, подверглись меньшей деформации. Особенно в западной части месторождения они являлись как бы экраном для проникновения рудоносных растворов в сторону монцонитов.

Жильно-магматические комплексы диорит-порфиридов, габбро-диоритов, гранодиорит-порфиров и др., будучи дорудными образованиями, характеризуются соответственно высокой плотностью (2,70-2,78 кг/см³), прочностью (до 120 МПа), низкой пористостью (1,2-1,8%) и слабой трещиноватостью. Даечные комплексы труднопроницаемы.

В отличие от монцонитов Каджаранского месторождения, сиенито-диориты, гранодиорит-порфиры и кварцевые диориты Агаракского и Личкского месторождений относительно слабо подвергнуты метасоматической переработке. Изменение данных пород выражено серицитизацией и окварцеванием. Роль литологического и структурного факторов в локализации оруденения однозначна. Рудовмещающие породы Агаракского и Личкского штокверков выделяются относительно более высокими показателями упругих и прочностных параметров, в то же время низкими показателями проницаемости. Насыщенные

кремнеземом породы с низким показателем коэффициента Пуассона (0,12-0,16) придают им жесткость (рис.2.2.2.1, 2.2.3.1). Подобное соотношение петрофизических параметров приводит обычно к интенсивной остаточной деформации. Поэтому понятна исключительная роль развитых структур в виде дробления в Агаракском и Личкском штокверках при ограниченном развитии мелких рудолокализующих структур – сетчатой трещиноватости, наподобие Каджаранского штокверка.

Гистрограммы петрофизических показателей пород

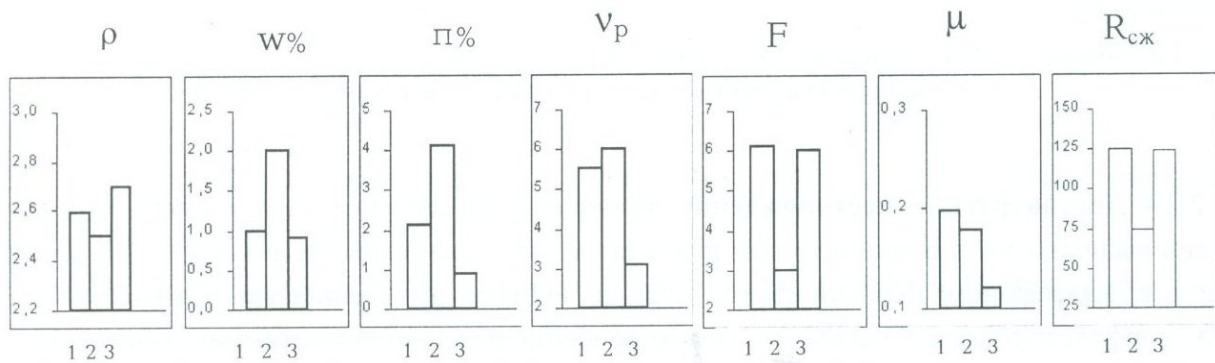


Рис.2.2.1.2 Каджаран: 1-мощниты малоизмененные; 2-интенсивно измененные монцониты; 3-порфировидные гранодиориты.

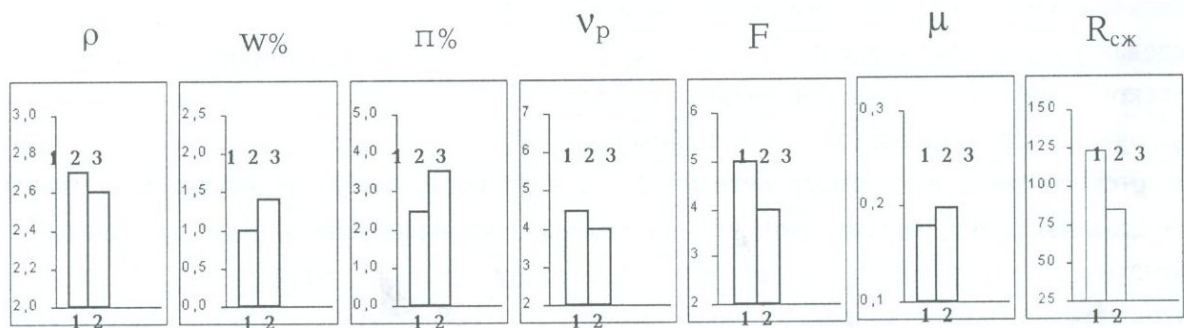


Рис. 2.2.2.1 Агарак: 1-сиенито-диориты, сиенито-граниты, грано-диориты; 2-измененные сиенито-диориты, сиенито-граниты.

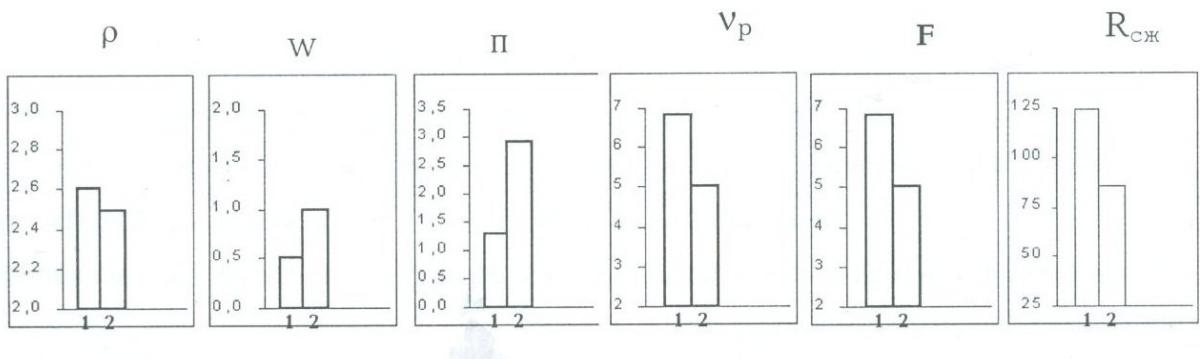


Рис. 2.2.3.1 Личк: 1-кварцевые диориты, гранодиорит-порфиры;
2-измененные кварцевые диориты, измененные гранодиорит-порфиры.

2.2.4 Дастанкертское месторождение размещено на северном склоне Баргушатского хребта и расположено в одной и той же рудоконтролирующей структурной зоне с Агараком, Личком и Каджараном Дебаклинского разлома. Однако по специфике рудовмещающей среды, морфологическим и петрофизическим особенностям оно существенно отличается от вышеотмеченных медно-молибденовых месторождений Зангезурской рудоносной области монцонитовой модели.

В геологическом строении Дастанкертского месторождения принимает участие вулканогенная толща среднего эоцена – андезитов, андезито-дацитов, их туфов и туфобрекчий. Они согласно слагают юго-западное крыло крупной антиклинальной складки. В пределах рудного поля распространены кварцевые диориты и гранодиориты Дастанкерт-Аравусского массивов, граносиениты Ахлатянского массива, а также порфировидные гранодиориты, представленные небольшими телами на восточном контакте и внутри Дастанкертского массива. Непосредственно в центральной части месторождения породы вулканогенной толщи, сохранившиеся над кровлей интрузии, превращены в контактогенетические роговики. Существенное значение среди роговиков имеют амфибол-биотитовые и биотит-плагиоклазовые разности (К.Карамян, 1962). Последующий гидротермальный процесс, наложенный на роговики, вторично изменил их, что выразилось в основном в окварцевании, серицитизации и карбонатизации. Основными путями проявления гидротермальной деятельности явились нарушения, связанные с внедрением интрузии (Э.Гулян, 1967).

Как интрузивные, так и вулканогенные образования прорваны многочисленными жильно-магматическими породами габбро-порfirитов, диоритов, габбро-диабазов, образующих мощные протяженные дайки.

В отличие от штокверковых типов оруденения, медно-молибденовые руды Дастанкертского месторождения морфологически представлены прерывистыми, гнездообразными, местами сплошными или брекчииевидными, реже жилами и прожилково-вкрашенными типами. Основное промышленное оруденение сконцентрировано в тектонически брекчированных зонах пропилитизированных и гидротермально измененных по роговикам кварц-серicitовых пород.

Месторождение формировалось в условиях анизотропной геологической среды, где тесно переплетаются структурные, литологические факторы и предшествующая им интрузивная деятельность.

Развитые в роговиках трещинные структуры на экзоконтактах кварцевых диоритов очевидно связаны с проседанием вулканогенных толщ над остывающим интрузивом. Трешины разного типа, которые максимально развиты в верхней части интрузии и в вулканических покровах, возникли вследствие контракции в процессе охлаждения и повышения содержания кристаллической фазы в кислых магмах. Явления контракции, как показывают исследования А.Осипова (1974, 1978), А.Богацкого, В.Невского (1978), захватывают как магматические, так и вмещающие их вулканические породы. Мощность зон повышенной трещиноватости над остывающей магмой обусловлено морфологией апикальной части интрузии.

Мощность максимальной трещиноватости в надинтрузивном вулканическом останце Дастакертского месторождения достигает порядка 300-350м. Вместе с наличием трещин контракции, в интрузивном провесе кровли, благодаря проскальзыванию более податливых пластичных вулканических пород, по их граням в дальнейшем развивались своеобразные сколовые трещины, сопровождающиеся серией близпараллельных трещин отрыва.

Различные типы трещин отдельностей в роговиках и в массиве кварцевых диоритов явились следствием петрофизической неоднородности среды. Наиболее крупные зоны трещиноватости и остаточной деформации, сгущения более мелких трещин и концентрации медно-молибденового брекчиевидного оруденения более успешно развивались в среде пропилитизированных и измененных роговиков в экзоконтактных кварцевых диоритах. Подобные зоны характеризуются относительно высокой проницаемостью и повышенной эффективной пористостью.

Для выяснения влияния интрузии кварцевых диоритов на характер изменения показателей петрофизических параметров исходных андезитов и андезито-дацитов, более детальному испытанию подверглись роговики, развитые над интрузией в пределах центральной части месторождения. Рассчитан баланс веществ преобразованных роговиков атомнообъемным методом с последующим установлением корреляционной связи их с петрофизическими параметрами (С.Вартанян, Н.Корчагина, 1971).

При преобразовании исходных андезитов и андезито-дацитов в kontaktово-метасоматические роговики в первую очередь изменяется структура породы—от порфировой до гранобластовой и гранолепидобластовой. В составе породы развиваются амфибол и биотит, очевидно за счет перераспределения Mg и Fe амфибola, так как привноса этих

элементов нет. Намечается некоторое увеличение Si (5,7%), что отражается на минералогическом составе – развивается роговиковый кварц. Роговики по плотности выше исходных андезитов. Объемная масса в среднем составляет $2,73 \text{ г/см}^3$, упругость – модуль Юнга – $6,84 \cdot 10^{-5} \text{ кг/см}^2$, прочность – 120 МПа. С понижением температуры в породах развивается процесс пропилитизации, который накладывается на роговики и на другие исходные породы. Пропилитизация выражается в развитии хлорита, альбита, эпидота и калиевого полевого шпата. Эпидот часто замещает зерна плагиоклаза, который при этом переходит в альбит. Калиевый полевой шпат образует ксеноморфные зерна. В показателях петрофизических параметров обоих типов пропилитизированных роговиков фиксируется скачок. Так, заметно повышается пористость 6,60%, и, наоборот, понижается плотность 2,54 г/см², модуль Юнга $4,8 \cdot 10^{-5} \text{ кг/см}^2$ и коэффициент Пуассона 0,14. Дальнейшее гидротермальное преобразование идет с образованием кварц-серицитовых пород, приуроченных в основном к зонам дробления. В составе основную роль играют кварц, серицит и мусковит, реже андалузит и турмалин. В химизме процесса образования кварц-серицитовых пород наблюдается привнос Si (10,3%). Петрофизические показатели данных метасоматически преобразованных разностей пород указывают на резкое их разуплотнение. Объемная масса снижается, составляя в среднем $2,46 \text{ г/см}^3$, упругость модуль Юнга $3,29 \cdot 10^{-5} \text{ кг/см}^2$, т.е. снижается более чем на 40%, и коэффициент Пуассона – 0,20. При этом эффективная пористость, наоборот, повышается, составляя 4,33%.

Дальнейшее преобразование кварц-серицитовых пород идет в сторону образования березитов с равновесной ассоциацией кварца, серицита, анкерита и пирита. При этом несколько снижается количество кварца и серицита. Появляются в больших количествах пирит и карбонат. С развитием карбоната изменяются и физико-механические свойства в сторону уплотнения – $2,71 \text{ г/см}^3$. Несколько повышается упругость – $5,83 \cdot 10^{-5} \text{ кг/см}^2$. Эффективная пористость по отношению к кварц-серицитовым разностям метасоматитов падает примерно вдвое, но остается относительно высокой – 2,88%, пластичность – коэффициент Пуассона – 0,24 (Табл.2.2.4.1, рис.2.2.4.1,2.2.4.2).

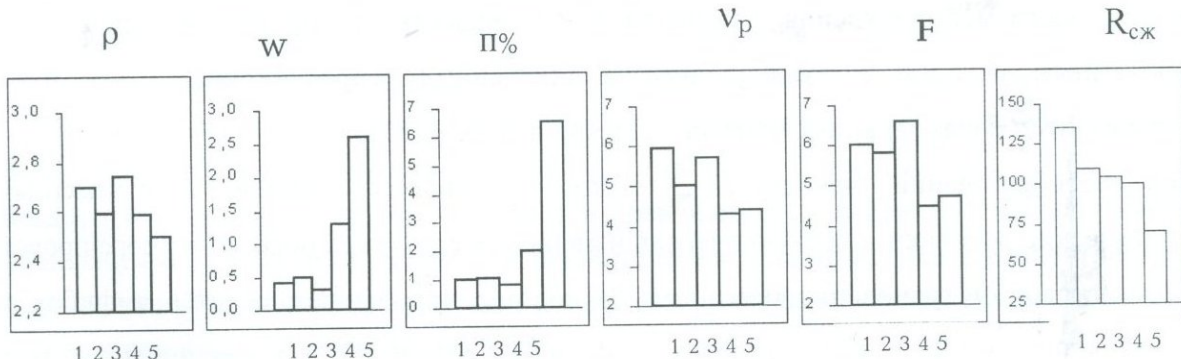


Рис.2.2.4.1 Гистограммы петрофизических показателей пород Дастакертского месторождения

1-гранодиориты; 2-андезиты, андезито-дациты; 3-роговики; 4-измененные андезиты; 5-измененные пропилитизированные роговики.

Можно отметить, что для концентрации промышленного оруденения благоприятной средой служили контакты пород с резко различающимися петрофизическими особенностями.

Приведенные данные показывают, что наиболее низкими показателями упругости, прочности и пластичности обладают кварц-серicitовые метасоматиты. Наиболее высокими показателями комплекса параметров выделяются кварцевые диориты. В этом отношении промежуточное место занимают пропилитизированные роговики.

Таблица 2.2.4.1

Петрофизические показатели пород Дастакертского месторождения

Породы	Количество определений	Объемная масса, г/см ³	Водонасыщение, %	Эффективная пористость, %	Скорость ультразвуковых продольных волн, км/сек	Модуль упругости, ГПа * 10 ⁻⁵ , кг/см ²	Модуль сдвига, ГПа	Коэффициент Пуассона	Прочность на сжатие, МПа
1. Граносиениты	12	2,73	0,3	0,8	5,52	5,6	3,25	0,16	152
2. Гранодиориты	24	2,71	0,18	0,49	6,0	7,3	3,1	0,22	140
3. Порфировидные гранодиориты	22	2,68	0,62	1,34	4,96	6,5	3,75	0,14	125
4. Кварцевые диориты	28	2,66	0,64	1,70	6,12	6,8	3,40	0,20	165
Среднее по интрузивам	86	2,70	0,45	1,14	5,70	6,7	3,37	0,19	146
1. Андезито-базальты (плагиоклаз-пироксеновые)	52	2,67	0,52	1,68	4,96	5,0	2,71	0,24	110
2. Андезито-дациты	32	2,68	0,20	0,54	5,50	6,6	3,27	0,13	120
Измененные андезиты:									
1. Пропилитизированные	70	2,69	0,42	2,21	5,26	5,8	2,89	0,26	105
2. Кварц-серicitовые	42	2,46	1,92	4,33	3,1	3,2	1,21	0,20	82
3. Хлорит-кварц-серicitовые	36	2,65	0,73	3,71	5,1	5,0	3,2	0,21	100
4. Хлорит-карбонатовые	15	2,66	1,68	1,80	5,0	4,3	2,15	0,22	115

						1			
Среднее по измененным андезитам	163	2,62	0,99	2,57	4,42	3,5 7	2,45	0,23	100
Роговики:									
1.Биотит-плагиоклазовые	20	2,72	0,19	0,52	5,12	6,8 8	3,17	0,27	120
2. Амфибол-биотитовые	32	2,75	0,17	0,41	5,5	6,8 0	3,17	0,25	125
Среднее по роговикам	52	2,73	0,18	0,45	5,35	6,8 4	3,17	0,26	123
Измененные роговики кварц-серицит-карбонатные	34	2,54	2,6	6,6	4,5	4,8	2,4	0,14	79
1. Березиты	15	2,71	0,84	2,88	5,83	5,3 3	2,51	0,24	115
1. Габбро-жильные	12	2,79	0,30	0,82	5,85	6,4 7	2,70	0,22	155
2. Габбро-порфириты	12	2,70	0,17	0,47	6,3	6,1 5	2,85	0,18	125
3. Габбро	22	2,94	0,51	1,51	6,5	7,0	3,78	0,20	153

В процессе метасоматического преобразования роговиков, контролируемых тектоническими структурами, образовалась в них как бы метасоматическая зональность. В зонах метасоматически измененных пород резкое увеличение пористости намечается уже в пропилитах, нарастаая в кварц-сериицитовых породах до максимума.

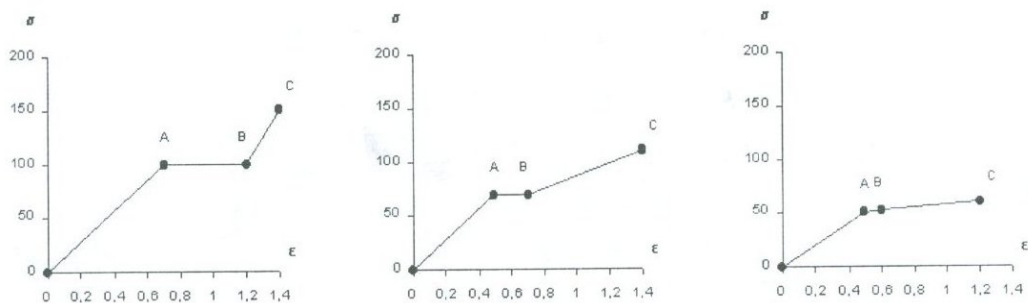


Рис. 2.2.4.2 Кривые приращения оси деформации пород Дастанкертского месторождения 1-кварцевые диориты; 2-роговики; 3-измененные, пропилитизированные роговики.

Неоднократные тектонические нарушения Дастанкерт-Мурхузский, Кыз-Коштинский, Центральный в массивных кварцевых диоритах не сопровождались сопряженными мелкими трещинами. В них промышленная концентрация медно-молибденового оруденения практически не выявлена, о чем свидетельствуют результаты детальных геологических

работ, бурения колонковых скважин, проходка подземных горных выработок, проведенных по всему рудному району. Кварцевые диориты, характеризующиеся как жесткие и упругие породы (табл.2.2.4.1), их контакты служили первичными путями для проникновения гидротерм. Наследуя подводящие каналы, рудоносные растворы под высоким давлением попадали в надинтрузивную благоприятную структурно-петрофизическую кварц-серицитовую среду, и обусловили концентрацию медно-молибденовой сульфидной руды.

Строгая локализация оруденения в кварц-серицитовых метасоматитах в виде жил или отдельных скоплений объясняется отсутствием здесь площадного развития метасоматитов, наподобие штокверков монцонитовой модели месторождений Каджаран, Агарак, Личк. Это объясняется плотностью контактово-метаморфических роговиков, трудно поддающихся проникновению гидротерм. Избирательное метасоматическое изменение протекало по контакту деформированных тектонических структур.

Выявленная взаимообуславливаемая связь петрофизических особенностей со структурным строением месторождений позволила выяснить характер различия морфоструктурных разностей отдельных штокверковых, жильно-массивных сульфидных типов руд по основным месторождениям медно-молибденовой формации Зангезурской рудной области.

2.3 ЗОЛОТОРУДНАЯ ФОРМАЦИЯ

К главным представителям золоторудной формации промышленного значения относятся: золото-сульфидно-теллуровая – Соткское, Меградзорское; золото-свинцово-сурьмяное–Азатекское; золото-сульфидное–Шаумянское, Арманиssкое месторождения (классификация Ш. Амиряна, 1984).

Месторождения золоторудной формации в различной степени связаны почти со всеми интрузивными циклами, развитыми на территории Армении (И.Магакьян, Ш.Амирян, 1967). Интрузивные и жильные породы, с которыми парагенетически связаны золоторудные месторождения, представлены различными по составу породами от ультраосновных (дуниты, перидотиты, серпентиниты), основных (габбро, габбро-нориты) до кислых (гранитоиды, кварцевые порфиры, дакиты).

А. ЗОЛОТО-СУЛЬФИДНО-ТЕЛЛУРОВАЯ РУДА

2.3.1 Соткское месторождение

Район Соткского месторождения входит в Севано-Амасийскую структурно-металлогеническую зону. Месторождение расположено в офиолитовом поясе вдоль северо-восточного борта Армянской зоны.

Соткское месторождение в структурном отношении тяготеет к ядру и южному крылу асимметричной антиклинальной складки северо-западного простирания. Крылья складки сложены вулканогенными отложениями верхнего мела (турон-коньак). Вулканогенная толща прорвана интрузиями гипербазитов, габброидов, реже малыми интрузиями кварцевых плагиопорфиров и гранитоидов. Месторождение отличается широким развитием интрузивов офиолитовой ассоциации.

Геолого-структурная позиция месторождения предопределется приуроченностью его к контактам массивов ультрабазитов и габброидов, вмещающих основную массу промышленного оруденения. Вмещающие оруденения гидротермально измененные породы составляют неустойчивые зоны.

Разрывные нарушения, контролирующие оруденение, пересекают разнородные по физико-механическим свойствам гидротермально интенсивно измененные породы. Геолого-структурные особенности оруденения на месторождении Л.Меликяном (1977) выделяются как самостоятельный специфический тип локализации гидротермального оруденения, который является комбинированным и сочетает в себе отдельные структурные элементы.

Частота рудоконтролирующих структур и концентрации сульфидно-золотоносного оруденения доходит до максимума в приподнятых частях антиклинальной складки, представляющей область концентрации деформирующих и разрушающих напряжений.

Претерпевшие полиметасоматические изменения, породы развитые в единой рудоконтролирующей среде, обусловили сложное строение рудных зон (М.Константинов, В.Грушин, 1978). С полигенным характером метасоматитов синхронно взаимосвязана со спецификой изменения петрофизических особенностей пород.

Относительно неизмененные габброиды и гипербазиты в массивах характеризуются достаточно высокими показателями таких петрофизических параметров, как плотности, прочности, упругости и низкими показателями пористости, водонасыщения (табл. 2.3.1.1). На высокую упругость указывают и кривые деформации (рис. 2.3.1.1). Так, у габброидов под

напряжением вслед за пределом пропорциональности (отрезок “О-А”), соответствующей силе 125-140 МПа, при возрастании силы напряжения до 170 МПа следует внезапное и полное разрушение породы. Практически пластическая деформация не происходит. Наиболее распространенные на месторождении среди ультрабазитов перидотиты, в отличие от габброидов, характеризуются относительно высокой пластичностью.

Таблица 2.3.1.1

Показатели петрофизических параметров пород Сотского месторождения

Породы	Количество определений	Объемная масса, г/см ³	Водонасыщение, %	Эффективная пористость, %	Скорость ультразвуковых продольных волн, км/сек	Модуль Юнга		Коэффициент Пуассона	Прочность на сжатие, МПа
						Π * 10 ⁻⁵ кг/см ²	Модуль сдвига		
Габбро	40	3,0	0,24	0,69	6,17	7,1 5	4,65	0,20	140
Габбро-нориты	24	2,92	0,44	1,28	6,18	8,1 2	4,0	0,20	170
Среднее по габбро	64	2,97	0,31	0,91	6,17	7,5 1	4,40	0,20	151
Перидотит	45	2,90	0,42	1,22	6,8	7,6 2	3,91	0,27	165
Перидотит (гарцбургиты)	44	2,84	0,35	0,99	5,7	6,6 5	3,24	0,30	125
Перидотит (лерцолиты)	38	2,89	0,24	0,69	6,15	5,6 1	3,10	0,27	130
Среднее по перидотитам	77	2,88	0,36	1,05	6,44	6,9 7	3,59	0,28	150
Метаморфизованные породы раннего этапа									
<u>A. По габброидам</u>									
1. Амфибол-эпидотовые	28	3,12	0,16	0,49	7,9	8,0 3	4,16	0,20	165
2. Актинолит-эпидотпренитов	32	3,06	0,26	0,79	6,7	7,6	4,3	0,19	160
Среднее по авброидам	60	3,08	0,21	0,65	7,26	7,8	4,95	0,19	173
<u>B. По гипербазитам</u>									
Хризотил-эпидотовые	30	2,70	1,9	2,15	4,0	5,8	2,4	0,27	120
Гидротермально измененные метасоматиты дорудного этапа									
<u>A. По габброидам</u>									
1. Актинолит-клиноциозит-пренитовые	23	2,68	1,40	3,75	3,95	4,6	2,2	0,21	102
2. Хлорит-карbonатовые	28	2,64	1,05	2,77	3,65	5,5	3,0	0,20	86

3. Пренит-хлоритовые	12	2,67	1,08	2,88	4,5	5,0	2,3	0,26	90
Среднее по габброидам	63	2,66	1,18	3,15	3,73	5,0	2,4	0,22	93
<u>Б. По гипербазитам</u>									
1. Оталькованные серпентиниты	18	2,56	2,4	6,8	4,2	4,0	2,4	0,28	85
2. Перидотит-хризотил-эпидотовый	30	2,70	1,9	2,15	4,0	5,8	2,4	0,27	120
3. Перидотит тальк-карбонатовый	28	2,48	1,20	2,97	2,4	2,1	1,0	0,28	51
4. Серпентинит хризотиловый	28	2,59	1,9	4,94	3,9	3,8	2,1	0,27	95
Среднее по гипербазитам	104	2,58	1,85	4,29	3,62	3,9 2	1,92	0,27	88,0

Околорудно-измененные метасоматиты этапа рудоотложения

<u>A. По габброидам</u>									
Гидрослюдистые	38	2,64	0,96	2,66	3,0	3,4 7	1,6	0,17	80
Аргиллизиты									
<u>Б. По гипербазитам</u>									
Кварц-карбонатовые	35	2,52	2,80	6,55	4,37	3,4 7	1,62	0,18	75
листвениты									

Коэффициент Пуассона в перидотитах достигает 0,26-0,3, а на кривых приращения оси деформации промежуток между пределами пропорциональности и прочности удлинен.

Автометаморфизм у габброидов выражен амфибол-эпидотовой и актинолит-пренитовой субфациями. Петрофизически габброиды проявляют себя как плотные и жесткие породы. На высокую жесткость указывает значение модуля сдвига, достигающее $4,3 \cdot 10^{-5}$ кг/см².

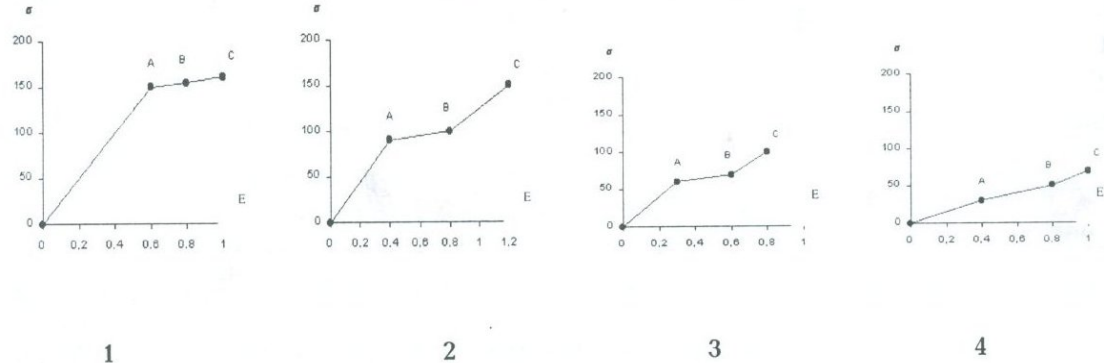


Рис. 2.3.1.1 Кривые приращения оси деформации пород Сотского месторождения 1-габброиды; 2-перидотиты; 3-измененные метасоматиты по габброидам; 4-измененные метасоматиты по перидотитам.

Преобразование ультрабазитов данного этапа выражено прежде всего хризотил-эпидотовой разностями. В отличие от габброидов, перидотиты проявляют снижение плотности примерно на 10-12%, а модулей упругости и сдвига – на 25-30%. Хризотил-эпидотовые разности, в которых преобладает хризотил, проявляют себя как механически более ослабленные и заметно пластичные породы.

Среди гидротермально измененных габброидных комплексов выделяются актинолит-клиноцизит-пренитовые, пренит-хлоритовые, хлорит-карбонатные, а у ультраосновных комплексов пород – оталькованные, апогарцбургитовые серпентинитовые передотиты, тальк-карбонатовые субфации (Г.Саркисян, 1966). Указанные метасоматические фации обеих комплексов – габброидов и ультрабазитов – характеризуются пониженными значениями упругости и прочности и возрастанием пористости и проницаемости, а также пластичности. При испытании на упругие свойства гидротермально измененных метасоматитов фиксируется значительная разница между пределами упругости и прочности. Она особенно заметна у оталькованных, карбонатизированных апосерпентинитов, что указывает на пластическую деформацию, предшествующую разрушению пород. Гидротермально измененные габбро по пластичности явно уступают апоперидотитам. Судя по показателям упругих и прочностных параметров пренит-хлоритовых, хлорит-карбонатовых и клиноцизит-пренитовых метасоматитов габброидного комплекса ясно видно, что эти породы предрасположены к хрупкой деформации. Под напряжением легко происходит трещинообразование, разрушение и образование ослабленных зон. В соответствии с этим рудные тела в измененных габброидах представлены массивными сульфидными жилами и разноориентированными эшелонированными прожилками с четкими зальбандами. При серпентинизации ультрабазитов плотность по отношению к исходным породам снижается примерно на 15-20%, а упругость более чем в 2 раза. Эффективная пористость, наоборот, возрастает более чем пятикратно. Следовательно, апосерпентиновые метасоматиты можно охарактеризовать как высокопористые, проницаемые, пластичные породы с относительно низкими показателями плотности и упругости. В связи с высокой пластичностью серпентинитов, серпентин-карбонатовых и тальк-карбонатовых метасоматитов под тектоническим напряжением в них формировались выдержаные трещины сколового характера. Рудная минерализация в тальк-карбонатовых гипербазитах, в отличие от габброидов, представлена мощными вытянутыми жильными зонами. На фоне постмагматического и дорудного – гидротермального этапов метасоматического преобразования пород, последующий рудный этап сопровождался различными типами окорудных изменений. В гипербазитах за счет предрудных тальк-карбонатовых серпентинитов формировались окологильные листвениты, а за счет пропилитизированных габброидов – гидрослюдистые аргиллизиты. По петрофизической характеристике гидрослюды, аргиллизиты и особенно листвениты оцениваются как разуплотненные, низкопрочные и неупругие породы. При сопоставлении петрофизических параметров исходных пород с их метасоматически измененными разностями, установлено, что

процессы дорудных метасоматических преобразований привели к разуплотнению, снижению прочности, повышению хрупкости и проницаемости. (рис. 2.3.1.2, 2.3.1.3).

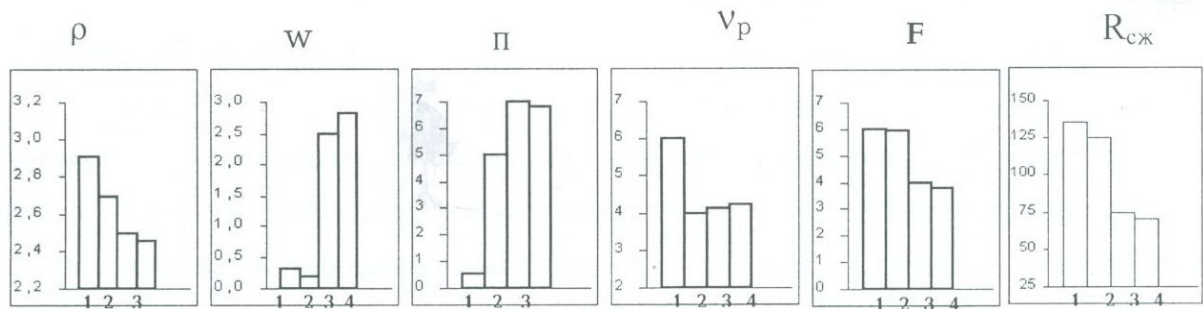


Рис. 2.3.1.2 Гистограммы петрофизических показателей по габброидам Соткского месторождения

1-габбро неизмененные; 2-габбро автометаморфизованные; 3-габбро-гидротермально измененные; 4-габброиды оклорудно-измененные.

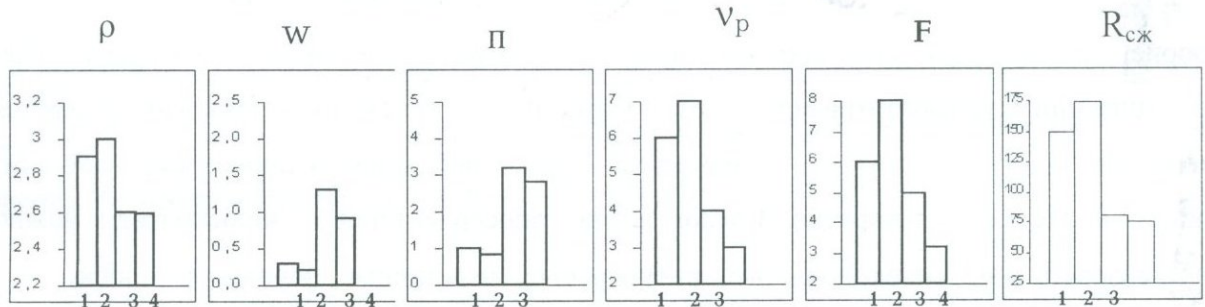


Рис.2.3.1.3 Гистограммы петрофизических показателей по гипербазитам Соткского месторождения

1-перидотиты неизменные; 2-перидотиты автометаморфически измененные; 3-перидотиты гидротермально метасоматически измененные; 4-перидотиты оклорудно-измененные.

В результате подобного изменения пород создавалась более благоприятная среда для хрупкого разрыхления и формирования структур, всевозможных взаимопересекающихся трещин отрыва, приоткрытых полостей, зон милонитизированных тектонических брекчий. Золотоносные зоны Соткского месторождения, в виде протяженных поясов сульфидизированных метасоматитов, часто протягиваются по контактовым полосам неоднородных по петрофизической характеристике лиственитизированных, тальк-карбонатных апосерпентинитов и аргиллитизированных, гидрослюдистых апогабброидов.

При наличии контактовых биметасоматических и соответствующих им бипетрофизических поверхностей среды создавались благоприятные структурно-

петрофизические условия для подготовки и формирования межпластовых рудоподводящих и локализирующих выдержаных каналов. Значение контактовых и приконтактовых поверхностей разнородных пород сохранялось на протяжении всей истории формирования месторождения, начиная с этапа пропилитизации габброидов и серпентинизации ультрабазитов. Особенно явно оно проявилось в сильно анизотропных по физико-механическим свойствам разнотипных дорудных метасоматитах.

2.3.2 Меградзорское месторождение расположено на южном склоне Памбакского хребта на стыке Севано-Амасийской подзоны, в пределах Северного края Армянской зоны. Месторождение приурочено к моноклинальной складке северо-западного простирания с падением на северо-восток под углом 35-45°.

В геологическом строении в низах моноклинальной складки принимают участие слюдистые, кварц-слюдистые, амфиболиты, амфиболовые метаморфические сланцы верхнего протерозоя Анкаванской свиты. На метаморфических сланцах с угловым несогласием залегают вулканогенные, вулканогенно-осадочные породы среднего эоцена кироваканской свиты.

По расслабленным зонам тектонических нарушений в древнюю метаморфическую толщу внедрены интрузивы гранодиоритов, кварцевых диоритов дотурана (неоком, апт). Более молодые третичные интрузии щелочных нефелиновых сиенитов и монцонитов слагают северную часть месторождения. Оруденение приурочено к породам разных генетических типов.

С учетом морфо-структурных особенностей, характера минерализации в рудном поле месторождения выделяются участки в левобережье реки Мармари - Аджаридзорский, Восточно-Меградзорский, Северный, Лусаджурский. На Правобережье – участки Арчасарский и Зарский, сложенные древними метаморфическими сланцами, лейкократовыми гранитами и кварцевыми диоритами. Золотосодержащие кварц-сульфидные жилы, жильные зоны с разной интенсивностью их концентрации на левобережье залегают в вулканогенно-осадочной толще – андезитов, их туфобрекций, интрузивных монцонитов-гранитоидов. Рудные тела на правобережье представлены прожилково-вкрашенной весьма убогой минерализацией, развитой в зонах измененных слюдистых сланцев.

Средне- и низкотемпературное гидротермальное изменение в вулканогенной толще эоцена представлено серицит-хлорит-карbonатовой, кварц-серицитовой субфациями.

Из таблицы 2.3.2.1 видно, что породы эоценового структурного яруса, сложенные на Левобережье северной части рудного поля (участки северный, Лусаджурский, Аджаридзорский), характеризуются относительно повышенной пористостью 3,94-5,2% и

проницаемостью 1,8-2,0%. По упругим свойствам они характеризуются пониженными показателями, модуль Юнга в среднем равен $3,80 \cdot 10^{-5}$ кг/см², а коэффициент Пуассона – 0,16. На кривых деформации отрезок между пределами упругости и прочности весьма незначителен (рис2.3.2.1).

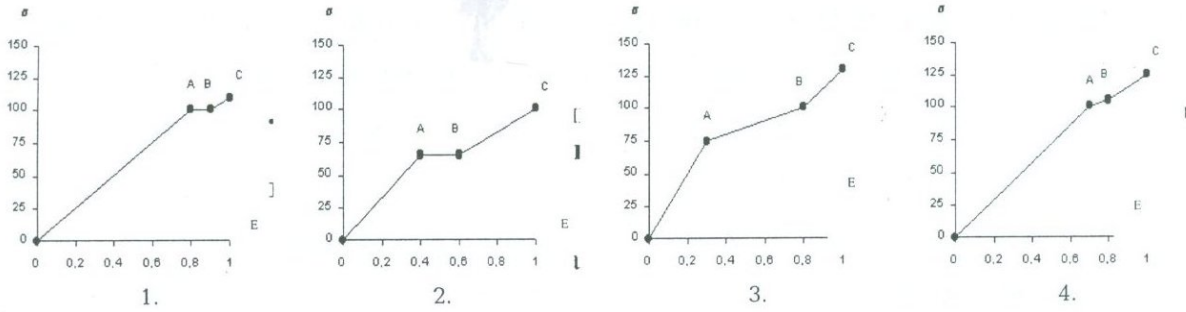


Таблица 2.3.2.1

Показатели петрофизических параметров Меградзорского Месторождения

Породы	Количество определений	Объемная масса, г/см ³	Водонасыщение, %	Эффективная пристость, %	Скорость ультразвука продольных волн, км/сек			Коэффициент Пуассона	Прочность на сжатие, МПа							
						Модуль Юнга	Модуль сдвига									
<u>Левобережье – участки Аджаридзорский, северный, Лусаджурский</u>																
<u>I. Вулканогено-осадочная толща кироваканской свиты эоцена</u>																
1. Андезито-базальты	48	2,64	1,18	2,90	3,86	3,94	2,09	0,16	122							
2. Туфобрекции андезитов	38	2,60	2,0	5,20	4,2	3,8	1,54	0,24	110							
3. Туфоагломераты	30	2,52	1,68	4,0	3,55	3,15	1,42	0,09	85							
Среднее по свите	116	2,60	1,57	3,94	3,89	3,69	1,73	0,16	110							
<u>Интрузивные породы</u>																
1. Монцонитосиениты	11	2,68	0,75	2,07	5,05	6,30	2,82	0,18	140							
<u>II. Гидротермально измененные метасоматиты</u>																
.По андезито-базальтам а.серицит-хлорит-карбонатовые	82	2,58	1,72	4,40	3,71	2,68	1,66	0,25	100							
Б. кварц-серицит-хлоритовые	76	2,51	1,75	6,9	3,24	3,02	2,20	0,28	122							
В. кварц-карбонатовые	62	2,52	2,32	5,06	4,0	3,0	1,5	0,20	90							

2.По андезито-дацитам	22	2,55	1,78	4,74	3,44	3,21	1,70	0,16	120
кварц-серицитовые									
<u>Правобережье – участки Арчасарский, Зарский</u>									
III. Интрузивные породы нижнего мела									
1. Гранодиорит-порфиры	24	2,69	0,7	1,8	4,33	6,15	3,1	0,22	160
2. Кварцевые диориты	28	2,66	0,42	1,16	4,75	5,79	2,95	0,13	180
тоналиты									
3. Гранодиориты	12	2,70	0,44	1,18	6,28	6,8	3,91	0,12	150
Среднее по интрузивным	64	2,68	0,57	1,55	5,10	6,26	3,18	0,16	167
породам									
IV. Метаорфические сланцы протерозоя									
1. Амфиболовые сланцы	22	2,68	0,83	2,22	3,1	6,1	3,6	0,23	125
2. Кварц-слюдистые сланцы	12	2,66	1,0	2,42	5,0	5,25	3,18	0,27	180
3. Слюдистые сланцы	10	2,68	1,10	2,94	5,6	4,8	2,10	0,22	120
Среднее по сланцам	44	2,67	0,94	2,45	4,18	5,57	3,14	0,23	140

Низкие показатели свойственны метасоматически измененным разностям андезито-дацитов, андезито-базальтов и их туфобрекчиям.

Данные породы под низким напряжением подвергаются хрупкому разрушению. Структурные элементы в виде взаимопересекающихся трещин рассеиваются, образуя системы сетчатых трещин. В данных структурно-петрофизических условиях формировались жильно-прожилково-вкрапленные рудные тела.

Древние сланцы палеозой-допалеозойского структурного яруса в правобережье выделяются, в первую очередь, сильной анизотропностью по петрофизическим показателям вдоль и вкrest их сланцеватости. При сжатии под напряжением вдоль сланцеватости предел прочности достигает 120 МПа, а вкrest сланцеватости – 160 МПа, а по скорости прохождения упругих ультразвуковых волн наоборот – вдоль слоистости скорость продольных волн достигает 5,0 км/сек, вкrest напластованию скорость падает до 2,5-3,0 км/сек. Следовательно, разрядка тектонических напряжений в сланцах протекала постепенно и неравномерно. В изгибах низких ярусов, в условиях сильного сжатия, разрвдка напряжения проходила за счет уплотнения сланцев, понижения их пористости и проницаемости и, наоборот, повышения пластичности. Коэффициент Пуассона в них доходит максимум до 0,27(рис.2.3.2.1. 2.3.2.2). В таких условиях межпластовые сжатые полости оказались замкнутыми. Этим объясняются малоблагоприятные структурно-петрофизические условия нижнего яруса для концентрации рудных тел с убогой прожилково-вкрапленной сульфидной минерализацией.

В верхнем ярусе изгибание в слабоупругих, относительно хрупких измененных андезито-дацитах разрядка тектонических напряжений происходила в условиях

динамического растяжения. Это привело к развитию в них сетчатых раскрытых трещинных структур отрыва и зон брекчирования. В этом ярусе создавались оптимально благоприятные структурно-петрофизические условия для концентрации рудоносных зон с сульфидной минерализацией.

Таким образом, Меградзорское рудное поле в целом состоит из двух структурно-петрофизических этажей: верхний этаж составляют породы андезито-базальтов, андезито-дацитов, туфов среднего эоцена, прорванных интрузией сиенитов и монцонитов верхнего эоцена – нижнего олигоцена. Верхний этаж характеризуется как более разуплотненная, высокопористая проницаемая среда. По комплексу упругих параметров, степени хрупкой деформации породы данного этажа благоприятствовали формированию рудоконтролирующих структур. Золоторудное кварц-сульфидное оруденение жильного, прожилково-вкрапленного типа в пределах данного этажа сконцентрировано в хлорит-серицитовых и хлорит-карбонатовых метасоматитах, часто в контактах с интрузией сиенито-монцонитов и в самих интрузивах.

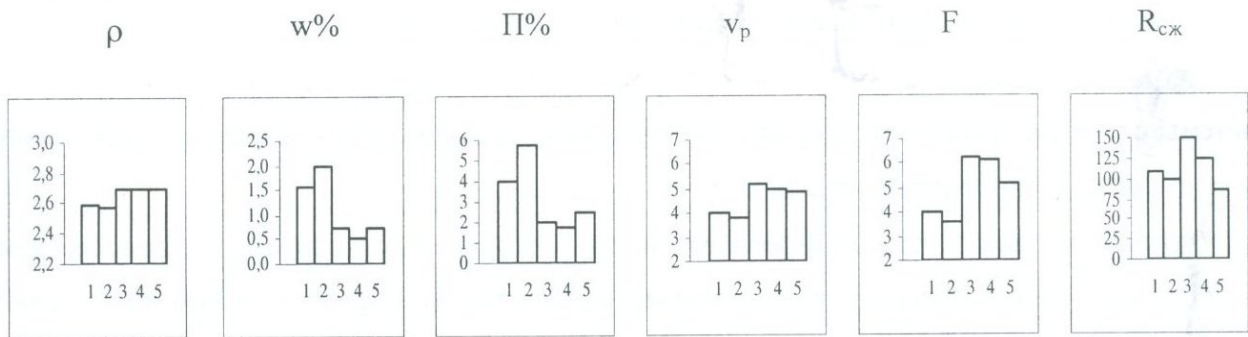


Рис.2.3.2.2 Гистограммы петрофизических показателей пород Меградзорского месторождения.

1.-вулканогенно-осадочная толща сп. эоцена; 2-измененные породы вулканогенно-осадочной толщи; 3-интрузивы сиенитов и монцонитоидов миоцена; 4-интрузивы нижнего мела-(неокома); 5-метаморфические сланцы докембрая.

Нижний структурно-петрофизический этаж – древние метаморфические слюдистые сланцы и внедренные в них плагиограниты, гранодиориты, кварцевые диориты неокома, по показателям комплекса петрофизических параметров – высокая пластичность, низкая проницаемость со сложными замкнутыми полостями – обусловили скопление весьма убогого прожилково-вкрапленного оруденения в их среде.

Б. ЗОЛОТО-СВИНЦОВО-СУРЬМЯНАЯ РУДА

2.3.3 Азатекское месторождение

Азатекское месторождение расположено в Айоцдзорском рудном районе, в центральной части Армянской зоны. В его пределах выделяется ряд положительных и отрицательных структур, имеющих как северо-западное, так и субширотное простижение (Ю.Никольский и др., 1978). В структурном отношении месторождение приурочено к центральной части Аршинской синклинали, сложенной вулканогенно-осадочной толщей среднего эоцена, прорванной гранитоидами Каялинского массива. В вулканогенной толще выделяются отдельные прослои туфопесчанников, туфоконгломератов, алевролитов (Пиджян, Карапентян, 1978). По северо-западному направлению, вдоль реки Арпа, крупным Азатек-Каялинским разломом Азатекское месторождение разделяется на лево и правобережные участки.

Участок Левобережье сложен в основном вулканогенно-осадочной толщей андезитов, андезитобазальтов, туффитов, туфопесчанников среднего эоцена мощностью до 600 м. В отдельных участках породы прорваны небольшими интрузивными телами.

На участке Правобережье широко развиты интрузивы гранитоидного монцонитного состава. В приконтактовой зоне монцонитов и вулканогенных пород вытянута полоса роговиков мощностью до 70 м.

Азатек-Каялинское тектоническое нарушение шириной до 300-700 м состоит из кулисообразно расположенных тектонических трещин, вдоль которых породы сильно изменены. Изменение выражено окварцеванием, серицитизацией, хлоритизацией и пелитизацией.

Тектонические нарушения пространственно контролируют размещение оруденения. Главная рудоносная зона 7-7а развита в основном по Азатек-Каялинскому разлому и прослеживается на обоих участках месторождения на протяжении 4,5-5,0 км. Оруденение представлено кварц-сульфидными жилами с многочисленными тонкими прожилками и вкрашенниками сульфидов, образуя в целом жильные зоны.

Рудные тела приурочены как к вулканогенной толще андезитов, туффитов, туфопесчанников, так и к интрузии монцонитов. Контакты жил и жильных зон в вулканогенно-осадочной толще нечеткие. Жилы и жильные зоны с крутым падением в монцонитовой интрузии имеют четкие контакты.

Всем типам рудных тел свойственны многочисленные ответвления – апофизы, расположенные преимущественно в их висячем боку.

Представляющие промышленный интерес рудное тело 1 с апофизами 3 и 5 в монцонитах и рудное тело 2 с апофизами 4 и 6 в вулканогенной толще, протягиваются по общей зоне в северо-восточном направлении.

Исходя из того, что месторождение представлено лево- и правобережными участками, которые отличаются спецификой геологического строения, генетическими типамиrudовмещающих пород и характером распределения оруденения, структурно-петрофизические особенности месторождения рассматривались по участкам и по их совокупностям, составляя структурно-петрофизическую модель месторождения.

Проведенные испытания упругих свойств пород показали, что интрузивные породы обладают относительно высокой плотностью, прочностью и упругостью. Гидротермально измененные монцониты, монцодиориты, в зависимости от степени интенсивности и характера их изменения, особенно кварц-серицитовые фации, резко разуплотнены. Их плотность – объемная масса – от 2,68 г/см³ снижается до 2,47 г/см³. Разуплотнение приводит к повышению проницаемости. Водонасыщение от 0,55% повышается до 2,94%, а пористость – от 1,3% повышается до 5,68%. В рудосодержащих монцонитах упругие параметры (модули Юнга и сдвига) резко поникаются более чем на 25-30%. В противоположность упругости повышается пластичность. Коэффициент Пуассона от 0,20 достигается 0,27, в среднем 0,25 (табл.2.3.3.1, рис. 2.3.3.1, 2.3.3.2).

Особенностью монцонитов является высокая набухаемость. При увлажнении набухаемость в них достигает 25%. Рентгено-структурные, электронно-микроскопические и термические анализы показали, что в составе монцонитов участвуют такие глиносодержащие минералы, как монтмориллонит, глауконит, галлуазит, гидрослюдя. Наличие данных минералов, очевидно, играло большую роль в повышении пластичности пород .

На кривых приращения оси деформации вырисовывается удлинение интервала между пределами пропорциональности и прочности, свидетельствуя о наличии пластичного течения. В их пределах формировались рудные жилы с четкими контактами. Эффузивные породы Левобережья весьма пестры по составу. По петрофизическим показателям они четко отличаются от интрузивного комплекса правобережья, особенно по проницаемости и низкой пластичности. Гидротермально измененные андезиты и их туфобрекции характеризуются особо пониженней прочностью, относительно высокой проницаемостью и хрупкостью. Практически в данных породах под напряжением не происходит пластичная деформация. За

упругой деформацией непосредственно следует нарушение структуры и хрупкое разрушение. Неоднородная петрофизическая среда обусловила неравномерную разрядку тектонических напряжений. В их среде развиты разнотипные структурные элементы – зоны дробления, брекчирования и рассланцевания.

Таблица 2.3.3.1

Показатели петрофизических параметров пород на различных глубинах (горизонтах) Азатекского месторождения.

Породы	Количество определений	Объемная масса, г/см ³	Водонасыщение, %	Эффективная пористость, %	Скорость ультразвуковых продольных волн, км/сек			Коэффициент Пуассона	Прочность на сжатие, МПа
						Модуль Юнга	Модуль сдвига		
<u>Правобережье</u>									
1. Монцониты	50	2,65	0,55	1,34	5,73	6,45	3,05	0,20	142
2. Монцодиориты	24	2,68	0,43	1,20	5,5	6,85	2,82	0,20	150
3. Гранодиориты	30	2,70	0,48	1,34	6,04	5,51	2,84	0,24	140
4. Граносиениты	12	2,73	0,74	2,13	6,36	5,45	3,19	0,18	155
Среднее	116	2,68	0,52	1,37	5,82	6,18	2,96	0,20	145
Измененные монцониты	28	2,58	1,86	3,20	5,8	4,8	2,60	0,23	125
1. Слабо измененные									
2. Средне-сильно-измененные	90	2,64	2,01	4,18	4,67	4,66	2,45	0,26	105
3. Интенсивно нацело измененные	60	2,47	2,94	5,68	3,02	3,38	1,80	0,27	87
Среднее по зменившимся монцонитам	178	2,57	2,29	4,53	4,29	4,25	2,25	0,25	105
<u>Левобережье</u>									
1. Андезито-базальты	22	2,62	1,72	4,50	3,75	4,40	2,61	0,19	115
2. Диориты	40	2,67	1,39	3,71	5,3	6,0	2,65	0,20	115
3. Андезито-базальты измененные	27	2,60	1,80	4,68	3,2	3,4	1,72	0,22	103
4. Туфопесчаники	44	2,65	1,25	3,31	4,5	4,1	1,95	0,15	95
5. Туффиты	29	2,46	1,25	3,31	4,5	4,1	1,95	0,16	90
Среднее	162	2,61	1,36	3,53	4,51	4,50	2,17	0,18	100
Роговики	19	2,70	0,45	1,21	4,9	6,75	3,23	0,15	160

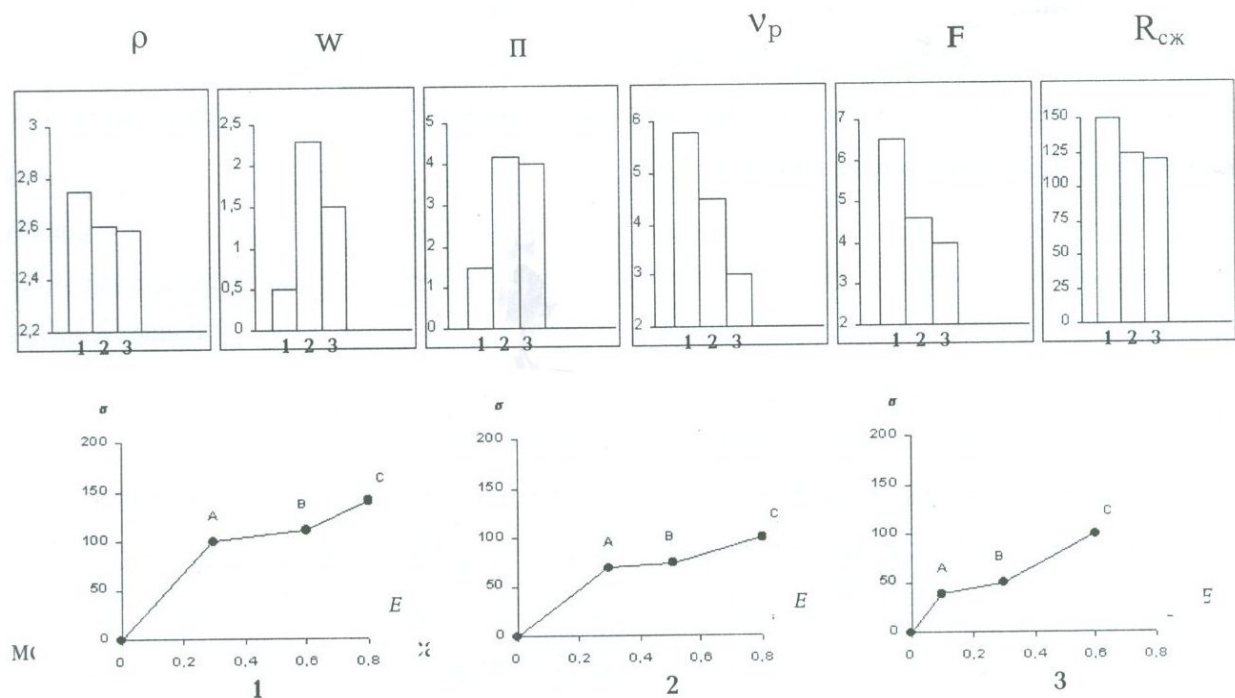


Рис. 2.3.3.2 Кривые приращения оси деформации пород Азатекского месторождения

1-интрузивы гранитоидно-монцонитового состава правобережья; 2-измененные гранитоиды, монцониты; 3-вулканогенно-осадочная толща Левобережья.

Сравнением деформационной компетентности пород двух генетических типов, развитых по обоим бортам Азатек-Каялинского разлома, установлено, что структурно-петрофизические условия рудоотложения в породах эфузивного комплекса левобережья более благоприятны, нежели в монцонитах правобережья. В среде монцонитов тектонические напряжения привели к формированию трещинных структур более прямолинейной конфигурации, местами сжатых притертymi глинками трения по их стенкам. При прочих равных условиях те же напряженные состояния в механически ослабленной неоднородной среде эфузивной толщи привели к формированию широко развитых разветвленных разрывных трещинных структур. В подобной структурно-петрофизической среде локализация оруденения и формирование сульфидных рудных тел протекали более успешно. Рудоотложение по сетчатым трещинным структурам сопровождалось метасоматическим замещением вмещающих боковых пород.

Важное значение имеют изменения показателей петрофизических параметров с глубиной. Изучение их на семи разведочных горизонтах Левобережья и шести горизонтах в подземных горных выработках и керна колонковых скважин Правобережья показало (таблица 2.3.3.2), что с глубиной в монцонитовой интрузии намечается тенденция к повышению пластичности и уплотнения. Это приводит к закупорке путей рудоносных

растворов, что препятствует осаждению полезных компонентов. В эфузивной толще Левобережья углубление особых изменений не вызывает. Структурно-петрофизические же условия для рудоотложения на глубине более благоприятны, чем на верхних горизонтах.

Таблица 2.3.3.2

Показатели петрофизических параметров пород на различных глубинах по горизонтам Азатекского месторождения

Горизонты (в метрах)	Номер выработок	Объемная масса, г/см ³	Водонасыщение, %	Эффективная пористость, %	Скорость ультразвуковых продольных волн, км/сек			Коэффициент Пуассона	Прочность на сжатие, МПа							
						Модуль Юнга П*10 ⁻⁵ кг/см ²	Модуль сдвига									
<u>Левобережье</u>																
<u>Вулканогенно-осадочная толща</u>																
1. 1390	скв. 421	2,60	0,68	1,77	3,13	4,18	2,08	0,17	110							
2. 1280	шт. 8бис	2,58	0,48	1,24	4,51	5,25	2,51	0,13	108							
3. 1266	шт. 48	2,48	2,28	5,65	3,33	3,87	1,78	0,08	105							
4. 1232	шт. 65	2,52	2,40	6,04	3,30	3,40	1,63	0,19	93							
5. 1125	скв. 321	2,58	2,15	5,55	4,0	3,42	1,55	0,10	89							
6. 1050	скв. 562	2,60	1,0	2,60	4,11	4,18	2,01	0,09	78							
7. 980	скв. 542а	2,60	0,76	1,88	4,75	4,84	2,43	0,10	101							
<u>Правобережье</u>																
<u>Монцониты</u>																
1. 1477	шт. 24	2,62	0,33	2,88	5,49	4,28	2,25	0,22	130							
2. 1415	шт. 59	2,52	0,28	1,77	4,11	5,05	2,56	0,21	125							
3. 1357	шт. 64	2,70	0,71	1,91	5,48	6,91	3,84	0,20	128							
4. 1288	шт. 61	2,64	0,63	0,66	5,56	4,78	2,36	0,24	135							
5. 1243	скв. 623	2,66	0,12	0,88	6,31	5,15	2,08	0,27	156							
6. 1123	скв. 464	2,68	0,18	0,28	5,88	6,40	3,50	0,28	145							

По данным проведенных исследований структурно-петрофизических условий, монцониты Правобережья с глубиной менее благоприятны для эндогенного рудоотложения, чем Левобережья.

В. ЗОЛОТО-СУЛЬФИДНО-ПОЛИМЕТАЛЛИЧЕСКАЯ РУДА

2.3.4. Шаумянское месторождение.

Шаумянское месторождение расположено на юго-западном фланге Сомхето-Карабахской зоны в пределах Капанского сегмента. По геологическому строению оно является составной частью Капанского рудного поля. По обособленности и минеральному составу руд месторождение рассматривается как самостоятельное.

Месторождение сложено среднеюрскими (байос-бат) вулканогенно-осадочными, субвулканическими породами. Представлены эти породы кварцевыми андезитами (барабатумская свита), их туфами и инъекционными вулканическими брекчиями. Весь комплекс пород прорван дайками габбро-диабазов, дайкообразными небольшими телами субвулканических кварцевых андезитов. Дайки довольно свежи и часто выделяются из вмещающих пород того же состава, с которыми парагенетически они связаны. Небольшим развитием на верхних горизонтах месторождения пользуются верхнеюрские образования андезито-базальтов, туфов, туфоконгломератов.

В блоках пород, заключенных между крупными тектоническими разломами, в процессах разрядки тектонических напряжений формировались системы зияющих трещин. Подавляющее большинство рудных тел сосредоточено в блоках, заключенных между Центральным и Восточно-Шаумянским разломами. Оруденение в виде сплошных сульфидов представляет собой неравномерные, гнездообразные и жилообразные скопления. Местами рудные жилы или серии жил ориентированы вдоль даек габбро-диабазов и диоритов.

Рудовмещающие породы – кварцевые андезиты, андезито-дациты, поэтапно подвергнуты метасоматическим изменениям. По данным С.Ачикгезяна и др. (1978), изменение выражено общей пропилитизацией, кислотным выщелачиванием и вторичным окварцеванием. Фации метасоматитов представлены эпидот-хлоритовой, хлорит-серицитовой и кварц-серицитовой разностями. На фоне площадного развития пропилитизации вдоль ослабленных разрывных нарушений протягиваются более интенсивно переработанные кислотно-выщелоченные метасоматиты.

Изучение петрофизических параметров пород по трем разведочным горизонтам (820,780 и 700м) показало, что значения параметров в пределах измененных разностей каждого метасоматического комплекса варьируют в довольно широком диапазоне. Анализ сравнительной характеристики петрофизических показателей метасоматических фаций позволил дифференцировать их следующим образом. Инъекционные вулканические брекции

андезито-дацитов выделяются из остальных типов наиболее низкими показателями плотности и, наоборот, высокими показателями водонасыщения и эффективной пористости. По упругости (модули Юнга и сдвига) они характеризуются также низкими значениями. Для данных пород характерна высокая пластичность – коэффициент Пуассона – 0,29. Очевидно, что гидротермальные и рудоносные растворы по инъекционным вулканическим брекчиям могли в основном диффундировать по капиллярно сообщающимся между собой порам, инфильтрация по трещинам имеет подчиненное значение.

Вследствие высокой пластичности, микротрешины оказались закупорены, чем и можно объяснить отсутствие в данных породах зияющих рудоконцентрирующих структурных элементов и практическое отсутствие в них крупных рудных скоплений.

На трех разведочных горизонтах указанные вулканические брекчии содержат лишь весьма убогое полиметаллическое оруденение прожилково-вкрашенного типа. Большой интерес представляет петрофизическая характеристика кварцевых андезитов барабатумской свиты в целом, ибо они пользуются большим развитием в пределах месторождения и по всему рудному полю.

Детальный анализ петрофизических показателей метасоматических фаций кварцевых андезитов показал, что они характеризуются весьма низкой пластичностью – коэффициент Пуассона - 0,17. Однако, с возрастанием содержания хлорита в составе пород намечается повышение пластичности до 0,20 (табл. 2.3.4.1, рис.2.3.4.1).

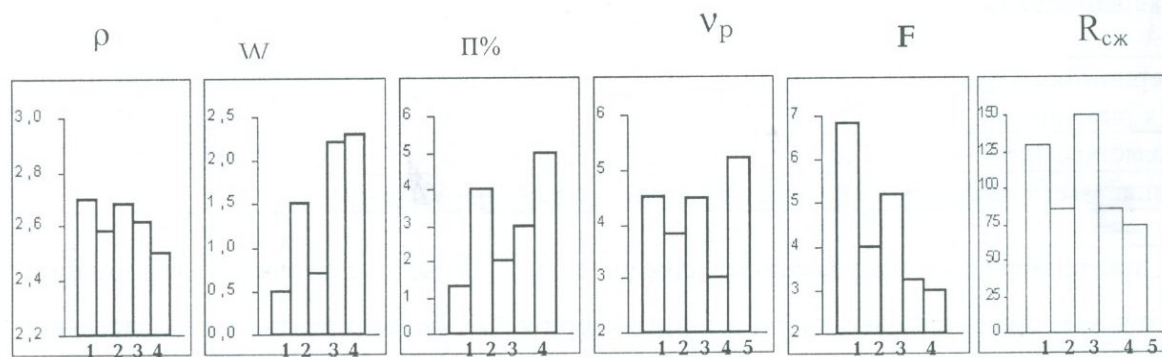


Рис 2.3.4.1 Гистограммы показателей петрофизических параметров пород Шаумянского месторождения

1-туфоконгломераты – верхняя юра; 2-кварцевые андезиты (барабатумская свита); 3-андезито-дациты; 4-инъекционные вулканические брекчии; 5-умеренно измененные метасоматические фации вулканитов.

Таблица 2.3.4.1

Показатели петрофизических параметров пород Шаумянского
Месторождения

Породы	Количество определений	Объемная масса, г/см ³	Водонасыщение, %	Эффективная пористость, %	Скорость ультразвука продольных волн, км/сек			Коэффициент Пуассона	Прочность на сжатие, МПа
						Модуль Юнга	Модуль сдвига		
<u>Верхняя юра (оксфорд-кимеридж)</u>									
1. Туфоконгломераты	24	2,68	0,48	1,28	4,68	6,66	3,31	0,16	145
<u>Средняя юра (байос-бат)</u>									
1. Кварцевые андезиты (барабатумская свита)	39	2,56	1,70	4,3	3,8	3,98	1,9	0,17	95
2. Риодациты	35	2,67	0,8	2,12	4,8	5,42	2,97	0,12	150
3. Инъекционные вулканические брекчии	24	2,60	1,28	3,20	3,3	3,5	1,7	0,29	96
Среднее по вулканогенно-осадочной толще	98	2,60	1,27	3,25	4,03	4,37	2,23	0,15	115
4. Измененные кварцевые андезиты	40	2,48	1,81	4,52	3,71	3,70	1,95	0,10	98
а. Кварц-серицитовая фация									
б. Кварц-серицит-хлоритовая фация	28	2,52	1,74	4,44	3,5	3,17	1,86	0,14	85
в. Хлорит-карbonатовая фация	18	2,50	1,92	4,50	3,33	3,19	1,62	0,20	86
5. Кварц-серицитовая фация измененных риодацитов	26	2,51	3,2	7,5	3,2	2,7	1,65	0,16	85
Среднее по метасоматитам	112	2,50	2,16	5,18	3,47	3,25	1,82	0,16	90,0
6. Габбро-диабазы (жильн.)	18	2,78	0,3	0,83	5,4	6,8	2,7	0,17	170

Под тектоническим напряжением сравнительно легче остаточной деформации подвергаются кварц-серицитовые, кварц-серицит-хлоритовые метасоматиты. Следовательно, более низкая пластичность, высокая хрупкость обусловили формирование в их среде раскрытых зияющих систем трещин, служащих вместилищем рудных скоплений. Рудоносные растворы унаследовали интенсивно деформированные структурные пути, по которым протекала инфильтрация дорудных гидротермальных растворов, замещая вмещающие породы. По сравнению с кварц-серицитовыми и хлорит-серицитовыми, хлорит-карbonатовые метасоматиты являются петрофизическими менее благоприятными по отношению к локализации оруденения. Дайки габбро-диабазов, габбро-диоритов, характеризуемые высокой плотностью, упругостью, прочностью и, наоборот, низкими пористостью и проницаемостью, создавали как бы опорный барьер с разделом двух сред с

различными физико-механическими свойствами. Вдоль лежачего бока экранирующих поверхностей в кварц-серicitовых метасоматитах формировались вытянутые кварц-сульфидные жилы. К экранирующим относятся также надрудные верхнеюрские андезито-базальты, туфоконгломераты. При этом в общем плане по отношению к тектоническим структурам петрофизические показатели пород имеют определенную направленность: в лежачих боках тектонических нарушений породы по упругости, прочности и плотности характеризуются относительно более низкими показателями, а по пористости – повышенными. В висячих же боках разломов они характеризуются более высокими показателями. Так, на горизонтах 820 и 780 м вдоль лежачего бока Центрального разлома породы имеют плотность до $2,50 \text{ г/см}^3$, модуль Юнга – $3,86 \cdot 10^{-5} \text{ кг/см}^2$. Данный разлом падает на юго-запад под углом 80° . В его висячем боку плотность пород исчисляется в $2,68 \text{ г/см}^3$, а упругость – модуль Юнга $5,3 \cdot 10^{-5} \text{ кг/см}^2$ (табл. 2.3.4.2). Установленные закономерности показателей петрофизических параметров характерны и для блоков, ограниченных Западно-Шаумянским и Западно-Тежадинским разломами. Характер изменения пород в блоках, находящихся в лежачих боках разрывных структур, выражен более интенсивно, чем в висячих боках. Это объясняется набором петрофизических параметров, подтверждающих благоприятность концентрации оруденения в лежачих боках и малоблагоприятность структурно-петрофизических условий локализации руд в висячих боках тектонических нарушений. Зафиксированные факты, очевидно, указывают на различную степень напряженности блоков, разную интенсивность остаточной деформации по отношению к разрывным структурам.

Таблица 2.3.4.2

Показатели петрофизических параметров пород по отношению к
тектоническим разломам

Разломы	Количество определений	Объемная масса, г/см^3	Водонасыщение, %	Эффективная пористость, %	Скорость ультразвуковых продольных волн, км/сек	$\text{П} \cdot 10^{-5} \text{ кг/см}^2$		Коэффициент Пуассона	Прочность на сжатие, МПа	
						Модуль Юнга	Модуль сдвига			
1. Центральный	Лежач.	35	2,50	1,5	3,84	3,48	3,86	2,16	0,12	96
	Висяч.	35	2,68	0,6	1,60	5,15	5,86	2,8	0,21	115
2. Западно-Шаумянский	Лежач.	42	2,60	1,8	4,68	4,0	3,5	1,7	0,20	85
	Висяч.	40	2,67	0,5	1,33	5,68	5,1	2,36	0,29	125
3. Западно-Тежадинский	Лежач	38	2,58	2,0	5,16	2,15	3,33	1,56	0,16	95
	Висяч	38	2,65	1,0	2,65	4,32	5,0	2,73	0,20	110

2.3.5 Арманисское месторождение.

Арманисское месторождение расположено в пределах Севан-Амасийской структурно-металлогенической зоны. В строении района месторождения принимают участие мезокайнозойские дислоцированные вулканогенные, вулканогенно-осадочные образования, прорванные разнообразными по составу интрузивными, субвулканическими и жерловыми телами ультраосновного, среднего и кислого составов. Основную роль в строении месторождения играли эффузивы и пирокласты верхнего эоцена, слагающие северо-восточный блок рудного поля и приуроченные к висячему боку Куйбышевского разлома.

Весь комплекс пород геологического разреза меняется от основного в низах – андезиты, андезито-базальты, базальты, туфы, к кислым риодацитам в верхах – лавовые брекчии андезито-дацитов, дацитов, ассоциирующими с субвулканическими телами того же состава (С.Мовсесян, 1979).

Рудовмещающие породы широко подвергнуты процессам как регионального метаморфизма, так и дорудного и рудного этапов метасоматоза. Продукты регионального метаморфизма представлены хлоритизированными пропилитами (Е.Афанасьева, Р.Мовсесян). Процесс хлоритизации сопровождался альбитизацией плагиоклаза с незначительным развитием карбоната и серицита. Вторичные изменения дорудного и рудного этапов выражены серицитизацией, окварцеванием. В приконтактовых частях разрывных нарушений кварц-сериицитовые метасоматиты местами изменены до состояния вторичных кварцитов, несущих богатую сульфидную минерализацию. В среде развития этих метасоматитов преобладают системы параллельных (местами секущих) линейно вытянутых зон дробления и смятия.

Основной рудоконтролирующей структурой являются Куйбышевский региональный и Центральный разломы северо-западного простирания (310 - 330°) с падением на юго-запад под углом 40 - 45° . Рудные тела 11,12 (шт.2,4) приурочены к разветвленным и оперяющим к разлому системам открытых трещин отрыва и скола, и составляют протяженные жилы, жильные зоны и прожилково-вкрашенное оруденение. Сложные системы сближенных жильных зон (4 и 6) в основном крутопадающие (80 - 85°).

В верхнем структурном ярусе породы дацитового состава подвергнуты более интенсивной деформации. Данные породы характеризуются как низкоупругие и практически без следов пластичности. Модуль упругости и коэффициент Пуассона у данных пород проявляют наиболее низкие показатели (табл. 2.3.5.1.).

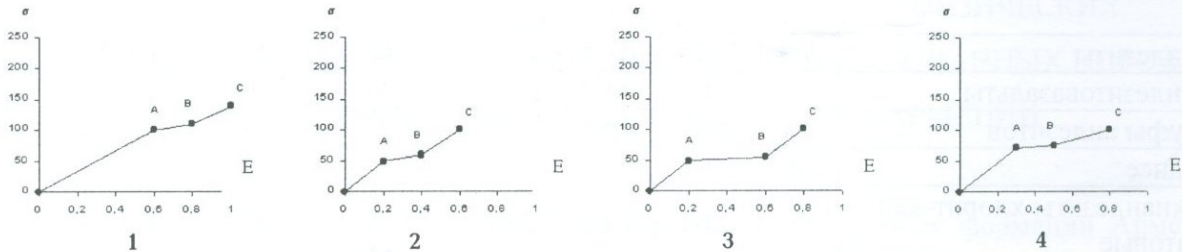


Рис.2.3.5.1 Кривые приращения оси деформации пород Арманинского месторождения

1-кислые вулканиты верхнего этажа; 2-метасоматиты вулканитов верхнего этажа; 3-среднеосновные вулканиты нижнего этажа; 4-метасоматиты вулканитов нижнего этажа.

Невысокому пределу упругости следует непосредственно предел прочности, практически минуя пластическое течение, и породы характеризуются как более жесткие, а их измененные разности – как относительно хрупкие. В нижнем структурном ярусе андезиты, андезито-базальты, их туфы и туфобрекции, в отличие от пород дакитового состава, петрофизически характеризуются сравнительно высокой пластичностью. Коэффициент Пуассона в них достигает 0,30, а на графике оси деформации намечается некоторое удлинение между пределами упругости и прочности (рис. 2.3.5.1, 2.3.5.2). Пластичная деформация данных пород очевидно обусловила развитие в них выдержаных сколовых трещин, контролирующих жильный тип оруденения.

В соответствии с дифференцированными литологическими толщами, степенью метасоматического преобразования, структурным строением и петрофизическими особенностями пород, структурно-петрофизическая модель месторождения представляется двумя – верхним и нижним – этажами.

Таблица 2.3.5.1

Показатели петрофизических параметров пород Арманинского месторождения

Породы	Количество определений	Объемная масса, г/см ³	Водонасыщение, %	Эффективная пористость, %	Скорость ультразвуковых продольных волн, км/сек	Упругость		Коэффициент Пуассона	Прочность на сжатие, МПа
						Модуль Юнга	Модуль сдвига		
Верхний этаж (ярус)									
1. Андезитодациты	21	2,62	0,80	2,10	4,21	3,55	1,64	0,12	121
2. Риодакиты	10	2,60	0,62	1,61	4,38	4,10	2,12	0,10	130
3. Дациты	15	2,64	0,73	1,93	4,01	3,74	1,72	0,14	112
Среднее	46	2,62	0,71	1,93	4,20	3,73	1,77	0,12	120
Кварц-серицитовые метасоматиты по андезитодакитам	20	2,55	1,51	3,51	3,72	3,98	1,60	0,15	100

Нижний этаж									
1. Андезиты	15	2,68	0,74	1,98	5,88	4,68	2,60	0,30	142
2. Андезитобазальты	15	2,64	0,62	1,63	5,31	5,08	2,10	0,26	120
3. Туфы андезитов	18	2,62	0,83	2,17	4,75	5,0	2,2	0,20	130
Среднее	48	2,65	0,73	1,94	5,27	4,98	2,29	0,23	130
Трахиандезиты хлорит-карбонатовые	10	2,64	1,12	3,0	3,70	3,80	1,54	0,30	122
Хлорит-эпидотовые пропилиты	12	2,65	0,72	1,90	4,28	4,0	2,20	0,22	122

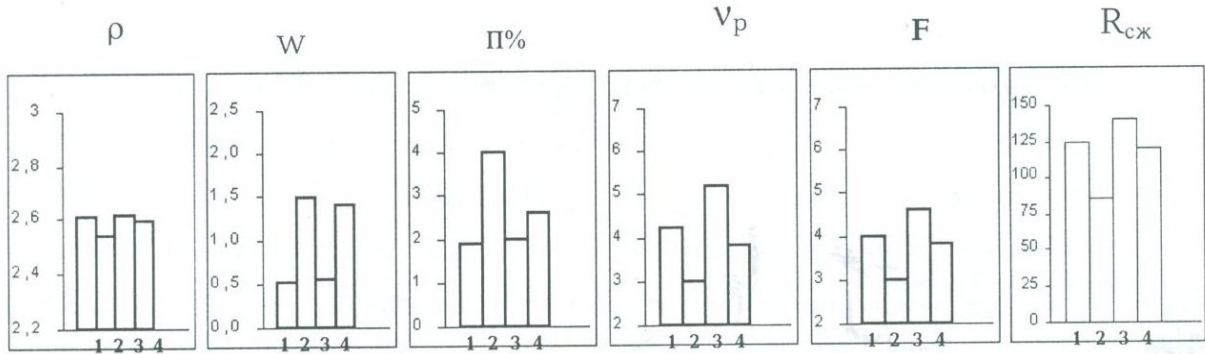


Рис.2.3.5.2 Гистограммы показателей петрофизических параметров Арманинского месторождения (название пород см. на рис.2.3.5.1)

Верхний этаж – андезито-дациты и риодакиты по совокупности комплекса установленных факторов: химической активности, структурному строению (зоны дробления и брекчирования), а также петрофизическим показателям (низкая прочность, большая хрупкость и проницаемость) пород характеризуется как оптимально благоприятный для рудоотложения штокверкового, гнездообразного типов.

Нижний этаж – породы средней основности, по строению структурных элементов (главным образом сколовых трещин) и свойственной им высокой пластичностью характеризуются как относительно благоприятная среда для развития жильного типа оруденения (жилы и жильные зоны).

3. НЕКОТОРЫЕ АСПЕКТЫ ВЗАИМОСВЯЗИ ПЕТРОФИЗИЧЕСКИХ ОСОБЕННОСТЕЙ И МЕТАСОМАТИЧЕСКИ ПРЕОБРАЗОВАННЫХ ПОРОД МЕСТОРОЖДЕНИЙ РУДНЫХ ФОРМАЦИЙ АРМЕНИИ

Изучению метаморфических и метасоматических фаций рудных формаций Армении посвящены работы многих исследователей, выясняющих взаимосвязь между магматическими, постмагматическими и метасоматическими процессами в качестве фактора локализации оруденения и критериев их прогноза (Г.Саркисян, П.Сопко, Э.Налбандян, К.Карамян, Р.Таян, О.Гуюмджян, Р.Мелконян, С.Мкртчян, Э.Хачатуров, А.Карапетян и др.). Установлена многоактность процесса образования гидротермальных рудных формаций, где собственно рудный этап – промежуточный, которому предшествовал ряд метасоматических преобразований, позже затушеванных последующими наложенными процессами. Многоактный процесс метасоматического преобразования пород наложил свой отпечаток на петрофизические особенности и деформируемые способности пород рудоносной среды.

Крайне важным представляется установление комплекса физико-механических особенностей поэтапно преобразованных метасоматитов той среды, на фоне которой протекало непосредственно рудообразование и оценок благоприятствующих условий локализации оруденения.

Петрофизические особенности являются функцией условий образования пород и всех последующих процессов их изменения, обуславливаемых положением в различных структурно-тектонических и металлогенических провинциях. Широкий диапазон изменения и кажущаяся разнохарактерность петрофизических параметров пород в действительности являются результатом их закономерных изменений под действием различных факторов, часто тесно взаимосвязанных между собой и поэтому не всегда просто устанавливаемых (Н.Дортман).

Комплексы исходных пород рудных формаций Армении независимо от их генетических типов, петрофизически характеризуются относительно более высокими показателями плотности, прочности, упругости и соответственно, низкими показателями пористости, водонасыщенния (табл. 3.1).

Процессы поэтапных метасоматических преобразований накладывают отпечаток на петрофизические параметры пород двояко:

а) Процесс метасоматоза пород сопровождается переходом породообразующих минералов (андезин, альбит, олигоклаз, ортоклаз, микроклин, кварц, хлорит, каолин и др.) с более низкими показателями плотности, упругости, прочности к минералам (эпидот, авгит,

мусковит, биотит, амфибол, актинолит, оловин и др.) с высокими показателями указанных параметров. Такой характер изменения приводит к повышению плотности, упругости, скорости прохождения ультразвуковых волн, прочности и, наоборот, к понижению проницаемости пород. Преобразование показателей параметров подобного характера нами выделяется как первый петрофизический тип метасоматоза;

б) Процесс метасоматоза сопровождается обратным эффектом, при котором преобладают новообразования (серicit, альбит каолин, микроклин, ортоклаз, кварц, карбонаты, хлорит, хризотил, серпентин и т.д.) с относительно низкими показателями плотности, упругости. Это изменение приводит к последующему разуплотнению, резкому снижению упругости, прочности и, наоборот, к повышению пористости, водонасыщения, проницаемости породы. В этом случае выделяется как второй петрофизический тип (табл.3.2).

Таблица 3.2

Петрофизические показатели минералов *

Минералы	Показатели петрофизических параметров		
	Удельная масса, г/см ³	Упругость модуль Юнга, $\Pi \cdot 10^{-5}$ кг/см ²	Коэффициент Пуассона
Первый петрофизический тип. Эпидот	3,35-3,45	15,4	0,26
Авгит	3,2-3,6	14,4	0,14-0,26
Мусковит	2,83-3,0	7,9-8,7	0,25-0,35
Биотит	2,7-3,4	6,9-7,0	0,25-0,28
Актинолит	2,9-3,0	8,0	0,27
Оlivин	2,8-3,57	16,0-24,0	0,22-0,23
Второй петрофизический тип. Серицит	2,6-2,7	8,87	0,21
Каолин	2,6-2,63	7,1-7,5	0,27-0,32
Микроклин	2,58-2,64	7,5-8,1	0,27-0,29
Ортоклаз	2,5-2,62	6,3-6,71	0,26-0,28
Хлорит	2,5-3,0	5,0-5,8	0,28-0,33
Хризотил	2,4	-	-
Серпентин	2,5-2,65	7,2-8,0	

Таблица 3.1

Средние показатели петрофизических параметров исходных пород месторождений рудных формаций Армении

Рудные формации	Исходные породы	Объемная масса, г/см ³	Водонасыщение, %	Эффективная пористость, %	Скорость ультразвука продольных волн, км/сек	$\Pi * 10^{-5}$ кг/см ²		Коэффициент Пуассона	Прочность на сжатие, МПа
						Модуль Юнга	Модуль сдвига		
1. Медно- колчеданная	Андезиты, андезито- дациты, риодакиты	<u>2,64</u> 2,62-2,67	<u>0,8</u> 0,6-1,0	<u>2,67</u> 2,60-2,70	<u>4,8</u> 4,2-5,1	<u>5,0</u> 4,2-5,4	<u>2,4</u> 2,1-3,0	<u>0,25</u> 0,22-0,27	<u>120</u> 110-130
2. Медно- молибденовая	Порфировидные гранодиориты, граносиениты, монцониты	<u>2,68</u> 2,65-2,70	<u>1,0</u> 0,7-1,25	<u>2,26</u> 2,0-2,5	<u>5,85</u> 5,6-6,0	<u>6,36</u> 6,0-7,1	<u>3,18</u> 2,9-3,6	<u>0,21</u> 0,18-0,23	<u>140</u> 125-150
3. Золото- рудная	Габброиды, перидотиты	<u>2,90</u> 2,80-3,20	<u>0,41</u> 0,38-0,44	<u>1,18</u> 1,0-1,31	<u>6,60</u> 6,10-7,10	<u>7,64</u> 7,0-8,1	<u>4,12</u> 3,85-4,60	<u>0,24</u> 0,20-0,26	<u>140</u> 120-180
4. Золото- сульфидно- полиметалли- ческая.	Андезитодакиты, кв. андезиты, монцониты	<u>2,65</u> 2,62-2,68	<u>1,15</u> 0,55-1,72	<u>1,70</u> 1,34-2,10	<u>4,75</u> 3,75-5,88	<u>4,65</u> 3,55-6,45	<u>2,6</u> 1,64-3,05	<u>0,16</u> 0,12-0,27	<u>125</u> 105-142

*Справочник физического свойства минералов 1975.

Поэтапным перерождениям метасоматитов синхронно соответствует динамика изменения петрофизических показателей, имеющая зональный характер с условным выделением внешней, средней и внутренней зон (Табл.3.3).

Внешняя зона соответствует регионально-высокотемпературному автометаморфизму раннего этапа, связанному с формированием вулканических толщ.

Средняя зона соответствует наложенному до или предрудному этапу средне- и низкотемпературного метасоматоза, связанному с гидротермальной деятельностью при внедрении малых интрузий.

Внутренняя зона соответствует собственно этапу рудоотложения с образованием приконтактовой полосы окорудно измененной зоны и ореолов рудообразующих и сопутствующих минералов.

Внешняя зона автометаморфического преобразования в вулканогенно-осадочной толще юры, в районах медно-колчеданной формации, пространственно развита в низах разреза. Продукты метаморфизма представлены региональным пропилитом и эпидот-хлоритовой (местами эпидозиты), реже актинолит-эпидотовой фаций.

В интрузивных массивах миоцена, в районах развития медно-молибденовой формации постмагматические автометаморфические изменения выражены слабо. Они представлены главным образом амфибол-эпидот-биотитовой фацией.

Автометаморфизм в породах оphiолитового пояса в районе развития золоторудной формации (Сотк) охватывает верхнемеловой комплекс. Он выражен актинолит-эпидот-пренитовой, хризотил-эпидотовой фациями.

Из таблицы 3.3 видно, что как в эфузивном, так и интрузивном комплексах кислого и основного составов пород внешней зоны автометаморфизмом обусловлены уплотнение, повышение упругости и прочности пород. Так, в эпидотхлоритовой и актинолит-эпидотовой фациях вулканогенно-осадочной толщи юры плотность повышается на 4%, модуль Юнга на 18%. В амфибол-эпидот-биотитовой фации интрузивного комплекса гранодиорит-монцонитового ряда намечается также тенденция уплотнения около 1,5%, с повышением упругости – модуль Юнга на 7% и прочность на 30%.

В актинолит-эпидот, эпидот-пренитовой и амфибол-эпидотовой фациях габброидов плотность в среднем исчисляется в $3,1\text{г}/\text{см}^3$, модуль Юнга - $7,6 \cdot 10^5 \text{ кг}/\text{см}^2$, прочность – 165 МПа.

Продукты преобразования автометаморфических пород раннего этапа внешней зоны по всем рудным формациям относятся к первому петрофизическому типу. Исключение

составляют хризотил-эпидотовые апогипербазиты, в которых фиксируется склонность перехода ко второму петрофизическому типу.

Среднюю зону составляет наложенный средне- и низкотемпературный гидротермальный метасоматоз.

В вулканогенно-осадочных преобразованиях юры медно-колчеданной формации дорудный гидротермальный метасоматоз в кварц-серицитовой, кварц-серицит-хлоритовой фациях привел к разуплотнению пород более чем на 10%, а также понижению пористости, упругости и прочности в среднем на 50 %.

В метасоматитах данного этапа гранодиорит-монцонитового ряда медно-молибденовой формации, особенно в каолин-карбонатовой фации центральной части Каджаранского и отчасти Агаракского штокверков, отмечается понижение плотности от 2,72 г/см³ до 2,48 г/см³, упругости – до $3,0 \cdot 10^{-5}$ кг/см² и прочности – 75 МПа.

На Дастанкертском медно-молибденовом месторождении процесс метасоматоза в андезитах происходит в основном привнос кремнезема с тенденцией к уменьшению калия. Эти изменения отражаются в разуплотнении и снижении их прочности и упругости на 24-28% и повышении пористости на 45%.

Таблица 3.3

Показатели петрофизических параметров пород по метасоматическим зонам

Рудная формация	Фации метасоматитов	Объемная масса, г/см ³	Водонасыщение, %	Эффективная пористость, %	Скорость ультразвука продольных волн, км/сек	Π * 10 ⁻⁵ кг/см ²		Коэффициент Пуассона	Прочность на сжатие, МПа
						Модуль Юнга	Модуль сдвига		
1	2	3	4	5 Внешняя зона	6	7	8	9	10
1. Медно-колчеданная	Эпидот-хлоритовая, актинолит-эпидотовая	2,70 2,66-2,72	0,47 0,16-0,88	1,52 0,5-2,08	5,4 4,9-5,8	5,9 5,2-6,3	2,8 2,5-3,0	0,27 0,24-0,3	145 120-180
2. Медно-молибденовая	Амфиболит-эпидот-биотитовая	2,72 2,62-2,77	0,48 0,42-0,57	1,84 1,6-2,4	5,2 4,8-5,4	6,8 6,4-7,3	3,3 3,0-3,5	0,24 0,22-0,26	160 130-165
3. Золото-рудная (Сотк)	Актиноолит-эпидот-пренитовая по габброидам	3,1 2,98-3,12	0,26 0,20-0,31	0,79 0,70-0,88	6,7 6,1-7,0	7,6 7,1-8,1	4,3 3,5-4,8	0,20 0,18-0,21	165 138-180
	Хризотил-эпидотовая по гиперба-зитам	2,70 2,68-2,76	1,9 1,2-2,6	2,15 1,20-3,0	4,0 3,0-4,7	5,8 5,4-6,0	2,4 2,1-2,6	0,27 0,25-0,3	120 110-135
Средняя зона									
1. Медно-колчеданная	Кварц-серицитовая	2,38 2,28-2,41	3,60 3,0-3,9	9,34 6,6-11,2	3,27 2,5-4,0	2,65 2,25-3,0	1,31 1,1-1,43	0,10 0,08-0,13	70 67-75
	Кварц-сеицит-хлоритовая	2,42 2,38-2,46	3,70 2,7-4,3	7,38 6,1-9,8	3,62 3,0-4,5	2,43 2,1-2,8	1,14 1,0-1,18	0,16 0,13-0,20	85 75-95

1	2	3	4	5	6	7	8	9	10
2. Медно-молибденовая	Кварц-андалузит-каолинизированная	2,48 2,38-2,56	2,27 2,0-2,36	5,85 5,25-6,1	3,15 3,0-3,3	2,30 2,10-2,60	1,21 1,1-1,6	0,18 0,15-0,21	75 70-82
	Сильно каолин-карbonатовая	2,50 2,48-2,56	1,9 1,25-2,10	4,81 4,3-5,2	3,46 3,0-4,0	3,0 2,8-3,3	1,52 1,28-1,81	0,17 0,15-0,19	75
	Роговики кварц-серийт-карбонатизированные	2,60 2,57-2,64	0,93 0,75-1,17	4,35 3,95-5,95	4,3 4,0-4,5	3,94 1,20-2,1	1,53 1,20-2,1	0,23 0,2-0,26	82 72-94
3. Золоторудная(Co тк)	Клиноцизит-пренитовая по габброидам	2,68 2,65-2,70	1,40 1,09-1,75	3,75 2,9-4,8	3,95 3,63-4,2	4,6 4,4-5,0	2,2 2,0-2,6	0,21 0,2-0,23	102 80-110
	Оталькованные серпентиниты по гипербазитам	2,56 2,52-2,58	2,40 2,0-2,7	6,8 5,9-7,2	4,2 3,6-5,0	4,0 3,60-5,3	2,40 2,0-2,7	0,28 0,24-0,3	95 70-110
Внутренняя зона									
1. Медно-колчеданная	Вторичные кварциты	2,66 2,58-2,70	0,7 0,4-1,0	1,75 1,2-2,0	6,5 6,3-7,0	7,1 6,8-7,3	3,5 3,3-4,0	0,08 0,06-0,1	120 100-125
	Массивная руда	2,80 2,76-2,83	0,3 0,21-0,31	0,88 0,80-1,10	7,0 6,8-7,3	8,8 8,3-9,0	4,2 4,0-4,4	0,05 0,03-0,08	140 120-158
2. Медно-молибденовая	Каолин-кварц-карбонат-пренитовая	2,51 2,47-2,56	2,2 2,0-2,51	5,58 5,0-6,0	4,0 3,7-4,4	2,97 2,7-3,13	1,65 1,5-1,8	0,23 0,21-0,24	92 89-111
	Березиты	2,71 2,68-2,74	0,84 0,72-1,21	2,28 1,56-3,4	5,83 4,8-6,9	5,33 5,13-5,76	2,52 2,13-2,76	0,22 0,20-0,24	115 105-122
3. Золото-рудная(Cотк)	Гидрослюдистый аргиллизит по габброидам	2,64 2,60-2,68	1,9 1,2-2,6	5,2 3,9-7,0	4,0 3,0-4,7	3,46 3,2-4,8	1,6 1,2-2,0	0,28 0,26-0,30	100 90-130
	Лиственит-кварц-карбонатовая	2,52 2,48-2,56	0,9 0,61-1,4	2,3 1,6-3,3	4,37 3,65-4,0	4,27 4,0-4,5	2,51 2,0-2,8	0,17 0,12-0,20	80 70-90

Дорудный гидротермальный метасоматоз Сотского золоторудного месторождения, связанный с внедрением малых интрузий гранитоидов и даек того же состава, крайне разнообразен (Г.Саркисян, 1966). Продукты преобразования метасоматитов представлены клиноцизитовой фацией пропилитизированных габброидов и оталькованных, серпентинизированных апогарцбургитов (С.Вартанян, М.Бояджян, Г.Саркисян, 1978).

Несмотря на широкое распространение разнообразных метасоматически переработанных габброидов, часть рудоносных зон сложена продуктами апогарцбургитовых оталькованных, тальк-карбонатовых серпентинов и их переходных разностей. Низкими показателями плотности, прочности, упругости и высокой проницаемостью особо отличаются серпентин-карбонатовые, серпентин-тальк-карбонатовые разности апогарцбургитов.

Анализ приведенных материалов показывает, что по комплексу петрофизических показателей средняя зона резко отличается от исходных, а также метаморфизованных разностей пород внешней зоны. Средняя зона характеризуется пониженными показателями плотности, упругости, прочности и высокими показателями пористости и проницаемости пород. Эта зона во всех рудных формациях по комплексу показателей разностепенно соответствует второму петрофизическому типу.

Собственно рудному этапу с оклорудным изменением во внутренней зоне в медно-колчеданной формации характерны кварц-серицитовые, вторичные кварциты. Развиваясь по приконтактовой полосе рудных жил, по ним образуется прочная монолитная вытянутая среда. Оруденение приурочено к более крупнокристаллическим агрегатам кварца, который не несет на себе заметных следов катаклаза или деформации. На некотором расстоянии от рудного тела, агрегаты кварца постепенно переходят в более мелко- и равномернозернистые. Вместе с тем возрастает количество серицита и хлорита, уменьшается густота сульфидов, переходя в среднюю петрофизическую зону. Приконтактовая полоса внутренней зоны, в силу интенсивного окварцевания и наличия вкрапленных сульфидных минералов, проявляет высокую плотность, упругость, прочность на сжатие при отсутствии пластичности. Коэффициент Пуассона понижается до 0,06-0,1. Стержни рудных жил проявляют повышенную плотность – 2,80-3,0 г/см³, а также упругость и прочность при полном отсутствии пластичности. В интрузивах гранитоидов и монцонитов медно-молибденовой формации оклорудное изменение выражено преимущественно каолин-кварц-карбонат-пренитовым составом с пониженными показателями упругости, прочности и повышенной проницаемостью. В отличие от указанных типов метасоматитов, характерных для Каджаранского и Агаракского штокверков, на Дастанерском месторождении сульфидное

медно-молибденовое оруденение окаймлено березитовыми разностями метасоматитов. С березитами связано начало образования сульфидов, поэтому в минеральном составе повышена роль рудных минералов. Березиты составляют продукты изменения при интенсивной карбонатизации и пиритизации кварц-серицитовых метасоматитов в рудной стадии. Химизм метасоматитов рудной стадии выражен в выносе кремнезема, глинозема, калия, натрия и привносе кальция, магния, железа, одновременно (а может, несколько позже) развитием карбоната (С.Вартанян, Н.Корчагина, 1973). Все это наложило отпечаток на физико-механические свойства, повышая плотность до $2,71 \text{ г}/\text{см}^3$, упругость-модуль Юнга—до $5,3 \cdot 10^5 \text{ кг}/\text{см}^2$. В золоторудной формации Сотского месторождения вдоль рудных жил происходила неоднократная окологильная лиственитизация предрудных тальк-карбонатовых серпентинитов и гидрослюдистых аргиллизитов. Здесь внутренняя зона характеризуется весьма низкими показателями плотности, упругости, прочности и соответствует второму петрофизическому типу. Соотношения поэтапного изменения показателей петрофизических параметров по метасоматитам рудных формаций, выраженные в процентах, приведены в таблице 3.4.

Пetroфизические параметры	1 Граносиенит, монцониты	2 Амфибол-эпидот-серицитовые	3 Кварц-андалузит-серицитовые	4 Каолин-карбонатовые	5 Каолин-биотит-кварц-карбонат-пренитовые	2/1 Амфибол-эпидот-биотитовые к граносиенит-монцонитам	3/2 Кварц-андалузит-серицитовые к амфибол-эпидот-биотитовым	4/3 Каолин-карбонатовые к кварц-андалузит-серицитовым	5/4 Каолин-биотит-кварц-карбонат-пренитовые к каолин-карбонатовым
	Медно-молибденовая формация								
Объемная масса, г/см ³	2,68	2,76	2,58	2,52	2,51	+2,98	-6,6	-2,4	0,4
Водонасыщение, %	0,8	0,48	2,27	1,9	2,2	-40,0	+373	-16,3	+15,0
Эффективная пористость, %	2,67	1,8	5,85	4,81	5,58	-32,6	+225	-17,7	+16,0
Скорость ультразвуковых волн, км/сек	4,8	6,2	3,15	3,46	4,0	+29,1	-49,2	9,8	+15,6
Модуль Юнга, П*10 ⁻⁵ кг/см ²	5,0	6,8	2,30	3,0	2,97	+36,0	-66,2	+30	-1,0
Модуль сдвига, П*10 ⁻⁵ кг/см ²	2,4	3,3	1,26	1,52	1,65	+37,5	-61,82	+25,6	+8,5
Коэффициент Пуассона	0,25	0,24	0,18	0,17	0,23	-4,0	-25	-5,6	+35ъ3
Прочность на сжатие, МПа	140	160	75	75	95	+14,28	-53,1	0,0	+26,6

Петрофизические параметры	1 Габбро	2 Акти-нолит-эпидот-пренитовые	3 Кли-ноцоизит-пренитовые	4 Артиллизиты	2/1 Актинолит-эпидот-пренитовые к габбро	3/2 Клиноноцоизит-пренитовые к актинолит-эпидот-пренитовым	4/3 Артил-лизиты к клиноноцоизит-пренитовым	1 Периллиты	2 Хри-золитил-эпидотовые	3 Оталь-кованные серпентиниты	4 Лиственины	2/1 Хризо-тил-эпидо-тальные к перидотитам	3/2 Огалькованные серпиритиниты к хризотил-эпидотитам	4/3 Листвениты к оталькованным серпентинитам
	Золоторудная формация													
	По габбро							По перидотитам						
	Объемная масса, г/см ³	2,90	3,2	2,68	2,62	+10,3	-16,25	-2,24	2,90	2,70	2,56	-2,52	-6,9	-5,2
Водонасыщение, %	0,41	0,2	1,40	1,90	-51,2	+600,0	+35,7	0,42	1,2	2,40	0,90	+185,7	+100	-62,5
Эффективная пористость, %	1,18	1,14	3,75	5,2	-3,38	+228,9	+38,6	1,25	3,24	6,8	2,3	+159,2	110	-66,1
Скорость ультразвуковых волн, км/сек	6,60	6,0	3,95	4,0	-9,1	-34,1	-1,26	6,8	4,6	4,2	4,37	-32,3	-8,7	+4,0
Модуль Юнга, П*10 ⁻⁵ кг/см ²	7,64	7,0	4,6	3,46	-8,37	-34,2	-24,7	7,36	5,8	4,6	4,27	-21,2	-20,7	-7,17
Модуль сдвига, П*10 ⁻⁵ кг/см ²	4,12	4,1	2,2	1,60	-0,5	-46,3	-27,3	2,91	2,40	2,40	2,51	-17,5	0	+4,6
Коэффициент Пуассона	0,24	0,25	0,21	0,28	-4,16	-16	-33,3	0,27	0,27	0,28	0,17	0	3,7	-39,2
Прочность на сжатие, МПа	140	160	102	100	-14,28	-36,2	-1,96	165	120	95	85	-27,3	20,8	-10,5

Приведенные данные показывают, что в этапе рудоотложения петрофизические показатели вмещающих пород разных рудных формаций, при прочих равных условиях, изменяются неоднозначно. Так, окорудно-измененные кварциты медно-колчеданной формации, а также березиты Дастанкертского медно-молибденового месторождения внутренней зоны относятся к первому петрофизическому типу. Окорудные изменения на месторождениях медно-молибденовой формации монцонитовой модели, а также золоторудной формации имеют тенденцию перехода ко второму петрофизическому типу.

Сравнительная характеристика степени гидротермального метасоматоза пород рудных формаций указывает на то, что продукты средней зоны метасоматитов кварц-андалузит-серицитовой фации медно-молибденовой формации по значениям комплекса петрофизических показателей занимают промежуточное положение между медно-колчеданной и золоторудной формациями.

Анализ представленного материала свидетельствует о том, что каждый этап метасоматического преобразования пород образует взаимопереходящие зоны с характерными петрофизическими показателями и последовательным рядом проницаемости.

Зональное поэтапное развитие метасоматических новообразований с соответствующей специализацией петрофизических параметров составляет модель их взаимосвязи и может служить важным поисковым прогнозным критерием эндогенного оруденения..

4. УЧЕТ ПЕТРОФИЗИЧЕСКИХ ПАРАМЕТРОВ ПРИ ОЦЕНКЕ ГОРНО-ТЕХНИЧЕСКИХ УСЛОВИЙ РАЗРАБОТКИ МЕСТОРОЖДЕНИЙ И ОПТИМИЗАЦИИ ТЕХНОЛОГИЧЕСКИХ ПОКАЗАТЕЛЕЙ (МЕТОДИЧЕСКИЕ РАЗРАБОТКИ)

Технологические процессы горнодобывающих работ, вопросы поддержания выработок и др. требуют знания и обобщения информации о физико-механических особенностей массивов горных пород и руд. Комплекс более важных петрофизических показателей для количественной оценки степени сложности горно-технических условий разработки месторождений целесообразно подразделить на две группы. Первую группу составляют параметры – плотность, упругость, прочность, повышенные значения которых положительно влияют на горно-технические условия, вторую – пористость, влагоемкость, набухаемость, повышенные значения которых отрицательно влияют на эти условия, осложняют их.

Оценка горно-технических условий по величинам указанных факторов сводится к вопросу установления меры преобладания суммарного значения параметров первой петрофизической группы над второй. Так, преобладание суммарного значения параметров первой петрофизической группы над второй будет свидетельствовать о положительных (или простых – с физико-механической точки зрения) условиях ведения горно-проходческих работ, и наоборот. Для этого необходимо определить суммарное значение параметров, входящих в ту или иную петрофизическую группу с последующим определением их соотношения.

Поскольку единицы измерения параметров, входящие в ту и другую петрофизическую группу, разномерны, целесообразно каждый отдельный параметр интервально подразделить на классы, и каждый класс обозначить через индекс. Практически, вполне достаточно для горных пород иметь пять интервалов. Самый низкий класс обозначения индекса равен 1, наивысший класс – 5. Промежуточные классы будут соответствовать индексам 2,3,4 (табл.4.1).

Так как каждая петрофизическая группа в данном случае характеризуется тремя параметрами, то сумма индексов низшего класса по данным трем параметрам в любой петрофизической группе будет равна трем, а сумма индексов высшего класса по тем же трем параметрам – пятнадцати. Суммы индексов промежуточных классов – соответственно 6, 9 и 12. Таким образом, разделяя по классам, физико-механические параметры можно суммировать через соответствующие их индексы.

Таблица 4.1

Ширина классов и соответствующие им индексы параметров двух петрофизических групп

Индекс	ρ г/см ³	F $\Pi * 10^{-5}$ кг/см ²	$R_{cж}$ МПа	W %	П эфф. %	H %
1-я петрофизическая группа				2-я петрофизическая группа		
1	$\leq 2,40$	$\leq 3,0$	45,0	$\leq 0,10$	$\leq 1,0$	$\leq 5,0$
2	2,41-2,50	3,01-4,0	45,1-70,0	0,10-0,5	1,01-2,0	5,1-10,0
3	2,51-2,60	4,01-5,0	70,1-105,0	0,50-1,0	2,0-3,0	10,0-15,0
4	2,61-2,70	5,01-6,0	105,1-140,0	1,0-1,50	3,01-4,0	15,0-20,0
5	$>2,70$	$>6,0$	$>140,0$	$>1,50$	$>4,0$	$>20,0$

Соотношение суммарных значений индексов первой и второй петрофизических групп условно назовем обобщенным петрофизическим показателем (Поб), количественно оценивающим степень сложности горно-техническими условиями разработки месторождения.

$$\Pi_{об.} = \frac{\sum_1^3 n_1}{\sum_1^3 n_2}$$

где n_1 и n_2 – суммарное значение индексов соответствующих классов первой и второй петрофизических групп

При крайне сложных, т.е. неблагоприятных горно-технических условиях, суммарное значение индексов первой петрофизической группы равно 3, а суммарное значение индексов второй петрофизической группы равно 15. Тогда $\Pi_{об}=3/15=0,2$. При наиболее простых, т.е. благоприятных условиях суммарное значение индексов первой петрофизической группы составит 15, а второй – 3. В этом случае $\Pi_{об}=15/3=5$. Промежуточное значение будет варьировать от 0,2 до 5, указывая на сравнительную степень сложности горно-технических условий ведения горно-проходческих работ (табл. 4.2).

Таблица 4.2

Шкала количественной оценки степени сложности горно-технических условий по классам “ $\Pi_{об.}$ ”

Предел $\Pi_{об}$ по классам	Степень сложности
0,2-1,5	Сложная
1,51-3,0	Средняя
3,0-4,5	Благоприятная (простая)
4,5-5,0	Весьма благоприятная (весьма простая)

Таблица 4.3

Оценка степени сложности горно-технических
условий по месторождениям

Место- рождение, горизонты	ρ г/см ³	$\Pi \cdot 10^{-5}$ кг/см ²	МПа	$\sum \Pi_1$	W %	n%	H %	$\sum \Pi_2$	$\Pi_{об}$	Степень сложности условия
	Первая группа	Петрофизическая	Вторая петрофизическая группа							
Шамлуг										
-90м	2,64 4	4,08 3	91,5 3	10	0,44 2	2,00 2	0,0 0	4	2,50	Средние
-140м	2,67 4	4,50 3	105,5 4	11	0,34 2	0,80 1	0,8 1	4	2,75	Средние
-215м	2,71 5	5,29 4	121,0 4	13	0,28 2	0,86 1	1,0 1	4	3,20	Простые
Азатек										
<i>Правобережье</i>										
1490м	2,79 5	5,36 4	72,1 3	12	0,40 2	1,5 2	25,1 5	9	1,33	Сложные
1288м	2,87 5	6,28	108,4 4	14	0,20 1	1,01 2	15,2 3	6	2,30	Средние
<i>Левобережье</i>										
1370м	2,70 4	5,18 4	115,5 4	12	0,31 2	0,82 1	4,2 1	4	3,0	Простые
1264м	2,72 5	5,64 4	140,5 5	14	0,1 1	1,2 2	2,0 1	4	3,5	Простые

По значениям $\Pi_{об}$ рассчитанным по горизонтам Шамлугского и Азатекского месторождений (табл.4.3) количественно оценена степень сложности их горно-технических условий. Величина $\Pi_{об}$ на Шамлугском месторождении варьирует от 2,50 до 3,20. Следовательно, горно-технические условия оцениваются как средние и благоприятные. На нижних горизонтах породы по физико-механическим свойствам становятся более устойчивыми, условия ведения горных работ упрощаются. На это указывает относительно повышенное значение $\Pi_{об}=3,20$ на горизонте -215м.

На Азатекском месторождении на Правобережье ($\Pi_{об}=1,5$) горно-технические условия сложные. Это связано с тем, что здесь интрузивные породы – монцониты – обладают относительно высокой набухаемостью (Н - до 25%) и пористостью (n – 5,36%). Данные параметры входят в состав второй петрофизической группы. Суммарное значение соответствующих им индексов относительно высоко. На более низком горизонте (1288м) установлено относительное уменьшение набухаемости и пористости пород. Это приводит к увеличению значения $\Pi_{об}$ до 2-3, что позволяет оценить горно-технические условия как

средние. На Левобережье значения $\Pi_{об}$ относительно высоки (3,0-3,5), что указывает на благоприятные горно-технические условия. Анализ показал, что здесь суммарное значение индексов, входящих во вторую петрофизическую группу, сравнительно невысоко в связи с весьма низкой набухаемостью, а суммарное значение индексов первой петрофизической группы повышенено в связи с высокими показателями плотности, упругости и прочности пород. При этом на нижнем горизонте месторождения наблюдается некоторое увеличение $\Pi_{об}$.

Следует отметить, что комплекс петрофизических параметров не ограничивается рассматриваемыми. Он может быть расширен в соответствии со специфическими условиями месторождений. Указанным принципом можно оценить горно-технические условия месторождения.

При оценке горно-технических и горно-геологических условий, для выбора научно обоснованной системы отработки и выпуска руд из очистных пространств, одним из наименее важных факторов является также учет петрофизических особенностей для оценки степени склонности руд к *слеживанию*.

Сведения о склонности руд и критериях их учета в литературных источниках недостаточны. Процесс склонивания рудной насыпи, вследствие нахождения ее в длительном, а иногда и относительно коротком промежутке времени в неподвижном состоянии в очистном пространстве или в рудоспусканых выработках, приводит к дополнительным затратам и снижению технологических показателей добычных работ. Как известно, в таких условиях неприемлемы камерные системы разработки с вариантами длительного маганизирования руды (М.Агошков, Г.Малахов, 1966; М.Агошков, С.Борисов, В.Боярский, 1977). На практике склонность проявляется в образовании свода спущшейся массы над выпускными отверстиями, прилипании руды к боковым стенкам, вплоть до образования вертикальных спущшихся слоев. Прилипание происходит более интенсивно при повышении влагоемкости и увеличении давления набухания внутри самой насыпи. Процесс склонивания является следствием появления дополнительных сил сцепления и трения между частицами, что вызвано некоторой консолидацией и повышением прочности насыпной рудной массы. Быстро склониваются насыпи, в которых присутствуют в больших количествах глинистые компоненты в виде тонких, липких фракций (И.Станкевич, М.Хромов, В.Баргатин, 1979).

Основу данной работы составляют теоретические и экспериментальные исследования с анализом факторов, приводящих к склониванию отбитой рудной массы. Это относится к изучению петрофизических параметров, оценивающих степень сыпучести или, наоборот, склонности отбитой руды (С.Вартанян 1991).

Корреляционная зависимость между силой сцепления, трения, набухания и изменением содержания глинистых компонентов, приводящих к слеживанию массы, нами экспериментально установлена следующим образом: в качестве эталонного сыпучего материала выбран силикатный песок, а высокого слеживания – бентонитовая глина. Определены силы сцепления, угол и коэффициент трения и набухаемости глины и песка. Далее эксперименты циклично повторялись на образцах, изготовленных из смеси песка и глины. В результате зафиксировано изменение изучаемых физико-механических параметров в зависимости от пропорционального изменения соотношения в составе смеси содержания глины и песка. Определение прочностных свойств проводилось на приборе ПСГ (рис. 4.1) в условиях завершенной консолидации. Предварительное уплотнение испытуемой массы перед сдвигом осуществлялось на приборе УГПС (рис. 4.2) при трех значениях вертикального давления – 0,1; 0,2; 0,3 МПа. Набухаемость определялась на приборе Васильева(рис. 4.3).

Так как показатели прочности одной и той же массы меняются в зависимости от степени влажности, испытания проводились в двух вариантах. В первом определялось сопротивление сдвигу при естественной влажности, во втором за одни сутки до загрузки прибора добавлялась вода до консистенции предела текучести.



Рис.4.1. Прибор ПСГ

Загрузку прибора производили при выдерживании смеси залитой водой под прессом до полного ее насыщения.

Результаты экспериментальных работ (табл. 4.4 и рис. 4.4) показали, что по мере добавления в состав смеси глинистой фракции и уменьшения доли песка происходит постепенное повышение набухаемости, силы сцепления, в то же время уменьшения угла и коэффициента трения.

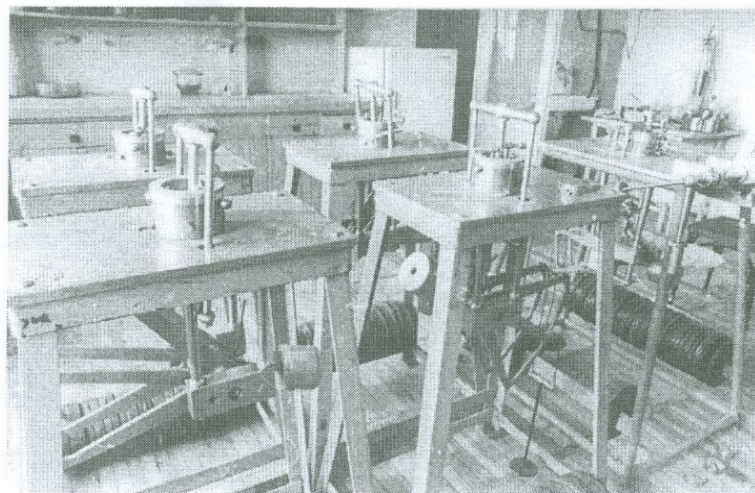


Рис 4.2. Прибор УТПС

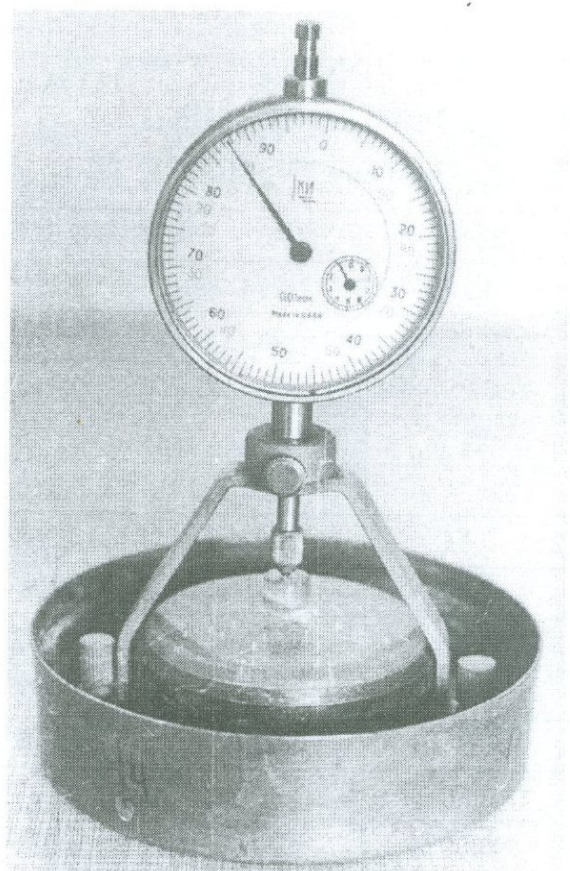


Рис 4.3. Прибор Васильева для определения набухаемости

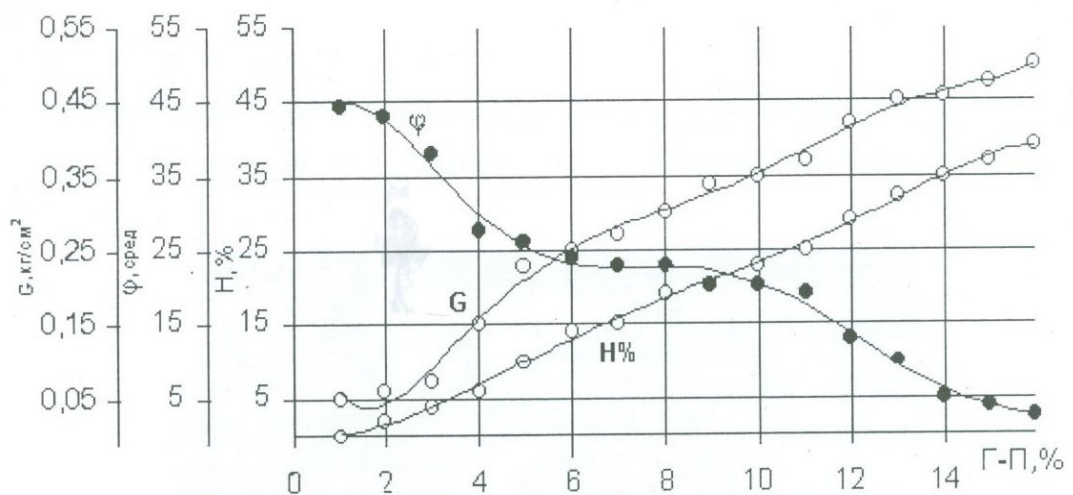


Рис.4.4. Изменение прочностных свойств и набухаемости в зависимости от процентного соотношения фракции глины-песок в смеси ($\Gamma-\Pi$, %)

Таблица 4.4

Корреляционная связь между физико-механическими свойствами и изменением соотношения глины и песка в составе смеси

Состав смеси, %		Сцепление, kg/cm^2	Угол трения,	Коэффициент угла трения	Набухаемость, %
Песок	Глина				
100	0	0,02	45	1,000	0,0
95	5	0,05	43	0,933	0,2
90	10	0,12	38	0,781	3,0
85	15	0,16	30	0,577	7,0
80	20	0,24	27	0,510	10,0
75	25	0,27	26	0,488	13,0
70	30	0,28	24	0,445	15,0
65	35	0,30	24	0,445	18,0
60	40	0,34	20	0,364	20,0
55	45	0,35	20	0,364	24,0
50	50	0,37	18	0,325	25,0
40	60	0,42	12	0,213	30,0
30	70	0,45	10	0,176	32,0
20	80	0,47	50	0,087	40,0
10	90	0,50	30	0,052	43,0
0	100	0,50	20	0,035	45,0

В рамках данной закономерности важным является установление тех экстремальных значений изучаемых параметров (набухаемости, силы сцепления и угла трения), при которых масса теряет сыпучесть, приобретает свойство слеживаемости. Это стало возможным с помощью изучения и анализа величин указанных параметров для заведомо известных по слеживаемости руд разрабатываемых месторождений цветных металлов, с последующим сопоставлением их с данными экспериментальных работ. С этой целью изучены руды Сотского золоторудного, Капанского, Шамлугского медных и Ахтальского барит-полиметаллического месторождений. В процессе разработки указанных месторождений зафиксировано, что определенная часть Сотских руд, приуроченная к метасоматитам тальк-карбонатового, серпентин-тальк-карбонатового и кварц-карбонатового (лиственитов) составов, характеризуется повышенной слеживаемостью. Руда того же месторождения, приуроченная к дайке кварцевых плагиопорфиров, не слеживается. Не слеживаются также медные и полиметаллические руды выше указанных месторождений при их магазинировании и выпуске (табл. 4.5).

Сравнения показали, что по физико-механическим параметрам слеживаемые руды Сотского месторождения сопоставимы со смесью, в составе которой глинистая фракция больше 20%. Параметры сыпучих руд указанных месторождений сопоставимы со смесью, в составе которой глинистая фракция занимает меньше 10%.

Содержание глинистой фракции в составе от 10 до 15% соответствует началу потери сыпучести и переходу к слеживанию с соответствующими им петрофизическими показателями. (сцеплением, углом трения и коэффициентом угла трения).

Анализ фактического материала, полученного в результате экспериментальных исследований на смеси с переменным составом сыпучей и слеживаемой фракции и по рудам известных по характеру слеживаемости или сыпучести руд месторождений, позволил составить шкалу физико-механических параметров, дифференцирующую свойство сыпучести и оценки степени слеживаемости насыпной рудной массы (табл.4.6).

Таблица 4.5

Физико-механические показатели сыпучих и слеживаемых руд месторождений цветных металлов

№ пп	Месторождения, типы руд	Сцепление кг/см ²	Угол трения,	Коэффи-циент внутр. трения,	Навуха- емость, %	Водонасы- щие, %	Содержание глинистой фракции, %	Характерис- тика руд
I. Сотк								
1.	Рудоносная зона кварц-карбо- натовых метасоматитов	0,28-0,34	20-25	0,364-0,466	14-18	1,2-4,2	25	Слеживаемая
2.	Рудоносная зона тальк-карбо- натовых метасоматитов	0,30-0,35	20-26	0,364-0,488	10-14	0,64-2,67	25	Слеживаемая
3.	Рудоносная зона серпентин-тальк- карбонатовых метасоматитов	0,27-0,35	20-24	0,364-0,445	8-12	1,20-3,31	25	Слеживаемая
4.	Жилы кварцевых плагиопорфиров	0,18-0,24	30-38	0,577-0,781	3-5	0,8-2,0	2-3	Сыпучая
II. Капан								
1.	Кварц-сульфидные жилы	0,10-0,20	29-37	0,554-0,754	2,0	0,1-0,64	2-8	Сыпучая
2.	Штокверк	0,15-0,24	27-32	0,510-0,625	0,5-2,5	0,5-1,20	До 5	Сыпучая
III. Шамлуг								
1.	Штоки	0,5-1,0	30-35	0,577-0,700	0,5	0,1-0,45	0,01-1,5	Сыпучая
2.	Кварц-сульфидные жилы	0,15-0,22	26-35	0,488-0,700	0,05	0,08-0,45	0,5-2,0	Сыпучая
IV. Ахтала								
1.	Линзы и жилы	0,12-0,20	25-35	0,466-0,700	0,05	0,1-0,35	0,1-2,5	Сыпучая

Таблица 4.6

Шкала оценки слеживаемости руд цветных металлов

Характеристика руд	Сцепление кг/см ²	Угол трения	Коэффициент внутрен. трения,	Набухаемость, %	Водонасыщение %
Слеживаемая	>0, 27	<24	<0,466	>15	>3,0
Переходная (начало слеживания)	0,24-0,27	24-27	0,466-0,510	10-15	2-3
Неслеживаемая	<0,24	>27	>0,510	<10	<2,0

Данную шкалу можно использовать при оценке и прогнозировании степени слеживаемости руд цветных металлов путем замеров физико-механических параметров изучаемых руд и сопоставления их значений.

Апробация указанной методики степени слеживаемости руд по предлагаемой шкале проведена на золото-полиметаллических месторождениях – Азатек и Арманиц. При анализе параметров физико-механических показателей изучаемых руд и сопоставлении их с приведенной шкалой получается, что руда Правобережного участка Азатекского месторождения, размещенная в монцонитах, относится к слеживаемой. Руда Левобережного участка, размещенная в вулканогенной толще андезитов, андезитодиабазов, относится к степени неслеживания. Неслеживаемыми являются также руды Арманинского месторождения.

Наличие глинистых компонентов (монтмориллонита, галлуазита) в рудах Правобережья Азатекского месторождения обуславливает всучивание их под влиянием продолжительного сильного набухания. Вследствие набухания и всучивания почвы штолен при проходке горных выработок часто имеют место подвижки рельсовых путей откаточных вагонеток.

Подобные глинистые материалы в рудах Левобережного участка Азатекского, а также Арманинского месторождений присутствуют в незначительном количестве и практически не могут влиять на их сыпучесть.

Таким образом, опережающая оценка и прогноз степени слеживаемости руд цветных металлов при научно обоснованном выборе систем разработки руд в период подготовки месторождения к освоению сводится к определению их сдвигающих физико-механических свойств – силы сцепления, трения, набухания, влагоемкости с последующим сопоставлением с предложенной шкалой. По сопоставимости их величин оценивается степень слеживаемости руд месторождений.

Показатели петрофизических параметров могут быть использованы также при определении геолого-технологических типов руд и оптимизации технологических показателей флотации. (С. Вартанян 1986).

Оценка качественных и технологических показателей, более достоверное управление качеством руд, подаваемых на фабрику, и стабилизация технологических показателей флотации могут быть более достоверно обеспечены при сочетании минерало-технологических исследований с петрофизическими. При этом должны изучаться петрофизическая характеристика как рудной массы, так и вмещающих пород, входящих в составную часть выемочной мощности товарных руд при их добыче. Объем вмещающих пород в отрабатываемой руде возрастает при сложном морфологическом и внутреннем строении рудных тел, с повышением степени разубоживания.

Вмещающие породы в пространстве вокруг рудных тел часто меняются как по составу, так и по степени и характеру метасоматического изменения.

Геологическая неоднородность месторождения, интенсивность процессов метасоматоза и гипергенеза предопределяют количество геолого-технологических типов руд (П.Алоян, 2001).

В соответствии с этим меняется и петрофизическая характеристика. Это приводит к тому, что идентичные по минеральной ассоциации, полезным компонентам и текстурно-структурным особенностям руды имеют различные технологические показатели при флотации.

Исследование петрофизических характеристик руд и рудовмещающих пород Азатекского, Соткского и Агаракского месторождений показало, что гидротермально сильно измененные, в особенности каолинизированные, серицитизированные, хлорит-сериицит-оталькованные, кварц-карбонатовые (листвениты) и лимонитизированные метасоматиты резко отличаются от их мало измененных окварцованных карбонат-биотит-амфиболовых разностей. В гидротермально интенсивно измененных разностях возрастает количество глинистых компонентов. Они характеризуются пониженными показателями объемной массы ($2,25-2,58 \text{ г}/\text{см}^3$), упругости (модуль Юнга – $2,20-3,20 \times 10^5 \text{ кг}/\text{см}^2$) и, наоборот, повышенными показателями поглотительной способности (водонасыщение – 1,3-2,2%, эффективная пористость – 2,4-9,2%), пластичности (коэффициент Пуассона – 0,26-0,30), набухаемости (12-26%) и сцепления при срезе ($0,35-0,55 \text{ кг}/\text{см}^3$). Они сильно меняют вязкость пульпы. Это приводит к коагуляции полезных компонентов в шламе, т.е. их поверхность покрывается частицами нерудных шламов, что отрицательно сказывается на процессе флотации. В результате снижается извлечение металлов в концентраты. Указанные типы по комплексу петрофизических особенностей отрицательно влияют на режим флотации. Менее измененные граносиениты, гранодиорит-порфиры (Агарак), габбро, перидотиты (Сотк), андезито-дациты, андезиты (Азатек), в силу своих физических характеристик – низкие показатели набухаемости (2-7%), пластичности (0,08-0,20), сцепления частиц при срезе ($0,2 \text{ г}/\text{см}^3$) – положительно влияют на режим флотации.

Одним из важных факторов оптимизации технологических показателей флотации руд на месторождениях является периодическое проведение петрофизического картирования по всем отрабатываемым рудным телам. С этой целью нами были составлены петрофизические паспорта отдельных эксплуатационных блоков подземной добычи Сотского месторождения. На Агаракском карьере выделялись разнохарактерные петрофизические зоны, простирации которых совпадали с разрывными структурами месторождения.

Руководствуясь схемой расположения петрофизических зон, были достигнуты заметная оптимизация и повышение технологических показателей флотации.

II. Петрофизический справочник (кадастр)
горных пород рудных формаций Армении

ВВЕДЕНИЕ

При петрографических исследованиях в последние десятилетия физические и физико-механические свойства пород и руд почти не привлекаются как дополнительные критерии, хотя они с успехом использовались ранее Левинсоном-Лессингом и другими крупными петрографами. В то же время физико-механические параметры, являясь разномерными, могут быть использованы при диагностике пород, в особенности для количественной характеристики таких процессов, которые определяются обычно только как качественные, например – степень серпентинизации, амфиболитизации, хлоритизации, серицитизации, окварцевание и т.д. При этом весьма необходима количественная оценка степени диагенеза эффузивных и осадочных пород, так как в термины (слабоизмененный, интенсивно измененный, слабосцементированный, плотный и т.д.) вносится большой субъективизм. Физические и физико-механические характеристики для петрологии являются дополнительным источником информации, характеризующим условия образования и последующие изменения пород (В. Жданов, 1964).

Накопленный нами обширный фактический материал в аспекте изучения физических и физико-механических свойств горных пород цветных и благородных металлов РА не всегда может быть полноценно использован в связи с тем, что он приведен в разных источниках (статьях, научных отчетах).

Предлагаемый СПРАВОЧНИК-КАДАСТР в систематизированном виде по месторождениям составлен по материалам, включающим петрофизические параметры (прочность, упругость, пластичность, плотность, акустичность, проницаемость), минеральные – петрографические и химические составы, как исходных, так и разноэтапно постмагматически высокотемпературных, дорудно гидротермально–метасоматических и околорудно–измененных разностей пород.

Данный справочник может служить пособием по физико-механическим свойствам горных пород и руд основным промышленным типам месторождений Армении с тем, чтобы использовать обобщенные в нем сведения в самых широких сферах деятельности горнорудного производства.

Справочник является лишь первой попыткой в области рудной геологии и не может претендовать на совершенство.

Автор надеется, что настоящее пособие послужит основой для составления кадастра, в котором будут включены вновь выявленные месторождения, типов пород и руд рудных районов РА.

Условные обозначения петрофизических параметров

	Параметры	единицы измерения
ρ	объемная масса (плотность)	г/см ³
W	водонасыщение	%
N	эффективная пористость	%
v_p v_r v_s	скорость прохождения ультразвуковых волн (продольных, поверхностных, поперечных)	км/с
E	модуль Юнга	$n \cdot 10^{-5}$ кг/см ²
G	модуль сдвига	$n \cdot 10^{-5}$ кг/см ²
μ	коэффициент Пуассона	
R_{ck}	Предел прочности	МПа(0,1 кг/см ²)

I. Медно-колчеданная формация

1.1. Вулканогенно-осадочные породы Алавердского рудного поля

Базальты									Верхняя юра (келловей)				
Статистич.Параметры по 20 опр.		ρ	W	n	V_p	E	G	μ	$R_{cж}$	Место отбора проб			
X(min-max)		2,68-2,70	0,16-0,24	0,3-0,8	4,7-5,5	6,5-7,8	3,10-4,1	0,22-0,20	130-160	Склон г.Лалвар, C-3 часть рудного района			
S		2,69	0,20	0,5	5,09	6,98	3,76	0,27	145				
Петрофизическая характеристика													
Макроскоп. описание		Минеральный состав в%							Структура				
		вкрапленники		основная масса			вторичные		породы		основной массы		
Зеленовато-серо-филолетовый		Плагиоклаз-дезит-10-15, пироксен-3-7, кварц-3-4		Кальцит – 7 клинопироксен – 25-32			Хлорит, кальцит, рудные минералы		Массивная порфировая		Интерсертальная		
SiO_2	TiO_2	Al_2O_3	Fe_2O_3	FeO	MnO	MgO	CaO	Na_2O	K_2O	H_2O	ППП		
54,5	0,64	17,8	4,14	3,10	0,27	7,13	2,81	6,14	2,38	0,21	1,01		
сумма													
100,72													

Туфопесчаники полимиктовые									Верхняя юра (келловей)				
Петрофизическая характеристика													
Статистич. параметры по 20 опр.		ρ	W	n	V_p	E	G	μ	$R_{cж}$	Место отбора проб			
X(min-max)		2,56-2,64	0,2-0,7	0,55-1,45	4,5-5,5	5,8-6,3	2,3-3,4	0,14-0,22	145-190	Западная часть Алавердского района г. Лалвар			
S		2,59	0,45	1,03	5,0	6,08	2,78	0,18	164				
Петрографическая характеристика													
Макроскоп. описание		Минеральный состав в%							Структура				
		вкрапленники		основная масса			вторичные		породы		основной массы		
Темно-серый		Окатанные зерна пла- гиоклаза, а ндезин-5-15, уралит- 5-15		Кальцит-5-25, кварц-3-5, роговая обманка-3-5			Глинистый материал, эпидот, чешуйки хлорита		Литокластическая псамитовая		Алевролитовая		
SiO_2	TiO_2	Al_2O_3	Fe_2O_3	FeO	MnO	MgO	CaO	Na_2O	K_2O	H_2O	ППП		
49,3	1,01	14,86	8,81	3,94	0,131	8,81	4,13	5,0	0,91	1,28	1,37		
сумма													
99,73													

Андезитовазальты (Шульверджурская свита)									Средняя-верхняя юра (оксфорд-кимеридж)			
Петрофизическая характеристика												
Статистич.параметры по 28 опр.	ρ	W	n	V_p	E	G	μ	$R_{cж}$	Место отбора проб			
X(min-max)	2,64-2,70	0,8-1,2	1,3-3,0	4,2-5,7	4,7-6,25	2,1-3,0	0,18-0,23	125-172	Западная часть Алавердского рудного поля			
S	2,68	1,0	1,88	5,14	5,42	2,46	0,20	150				
Петрографическая характеристика												
Макроскоп. описание	Минеральный состав в%									Структура		
	вкрапленники			основная масса			вторичные		породы		основной массы	
Темно-зеленый	Пироксен – авгит – 15-20, андезин–5-20			Лейсты плагиоклаза андезина-12-20, кварц3,5			Серицит, хлорит, биотит		Порфировая		Интерсергальная	
SiO ₂	TiO ₂	Al ₂ O ₃	Fe ₂ O ₃	FeO	MnO	MgO	CaO	Na ₂ O	K ₂ O	H ₂ O	ППП	сумма
53,21	0,88	19,21	5,88	3,74	0,20	5,85	4,10	3,78	0,78	0,31	1,28	100,36

Туфопесчаники грубообломочные (Алавердская свита)									Верхняя юра (оксфорд-кимеридж)			
Петрофизическая характеристика												
Статистич.пара метры по 48 опр.	ρ	W	n	V_p	E	G	μ	$R_{cж}$	Место отбора проб			
X(min-max)	2,68-2,74	0,37-0,63	0,9-2,0	4,2-5,7	6,2-6,7	3,0-3,31	0,19-0,21	120-158	С-3 часть Алавердского месторождения			
S	2,71	0,48	1,42	5,37	6,39	3,14	0,20	142				
Петрографическая характеристика												
Макроскоп. описание	Минеральный состав в%									Структура		
	вкрапленники			основная масса			вторичные		породы		основной массы	
Зеленовато-бурый, зеленоватый	Обломки андезина 5, кварц 25-30, вулканическое стекло 8-15, кальцит 3-5			Цементирующая масса – хлоритовый, 20-27			Хлорит, кварц		Литокластическая псамитовая		Алевролитовая	
SiO ₂	TiO ₂	Al ₂ O ₃	Fe ₂ O ₃	FeO	MnO	MgO	CaO	Na ₂ O	K ₂ O	H ₂ O	ППП	сумма
48,14	1,21	12,64	10,21	3,84	0,28	7,82	3,48	5,9	1,88	0,81	4,91	100,23

Ангитовые андезиты									Средняя юра (байос-бат)			
Петрофизическая характеристика												
Статистич. параметры по 70 опр.	ρ	W	n	V_p	E	G	μ	$R_{сж}$	Место отбора проб			
X(min-max)	2,68-2,78	0,33-0,80	0,9-2,0	4,11-5,12	6,0-6,7	3,1-4,2	0,19-0,26	90-110	Шахтахская свита, Южный склон г.Шахтахт, склон Джейран г.Дарк			
S	2,72	0,59	1,56	4,25	6,37	3,72	0,22	100				
Петрографическая характеристика												
Макроскоп. описание	Минеральный состав в%								Структура			
	вкрапленники			основная масса			вторичные		породы		основной массы	
Серый темно-серый или зеленоватый	Олагиоклаз -андезин-5-10, пироксен-6-8 кварц			Микролиты плагиоклаза 50-60 аугит-10-18			Кварц хлорит кальцит гематит магнетит		Порфировая		Андезитовая микролитовая	
SiO ₂	TiO ₂	Al ₂ O ₃	Fe ₂ O ₃	FeO	MnO	MgO	CaO	Na ₂ O	K ₂ O	H ₂ O	ППП	сумма
57,34	0,79	16,13	4,87	5,37	0,15	3,15	4,31	4,50	1,5	0,36	1,54	100,01

Агломератовые туфы андезитов									Средняя (байос-бат)			
Петрофизическая характеристика												
Статистич. параметры по 32 опр.	ρ	W	n	V_p	E	G	μ	$R_{сж}$	Место отбора проб			
X(min-max)	2,68-2,78	0,33-0,8	0,9-2,0	4,11-5,12	6,0-6,7	2,6-3,2	0,19-0,21	95-140	Южный склон Джейран, г.Дарк			
S	2,72	0,59	1,56	4,25	6,36	2,89	0,20	131,4				
Петрографическая характеристика												
Макроскоп. описание	Минеральный состав в%								Структура			
	вкрапленники			основная масса			вторичные		породы		основной массы	
Серый, темно-серый или зеленоватый	Плагиоклаз-андезин-5-10, пироксен-6-8, кварц-3-4			Микролиты плагиоклаза-40-48, Аугит-12-15			Кварц, хлорит, кальцит, гематит магнетит		Агломератовая		Андезитовая	
SiO ₂	TiO ₂	Al ₂ O ₃	Fe ₂ O ₃	FeO	MnO	MgO	CaO	Na ₂ O	K ₂ O	H ₂ O	ППП	сумма
57,34	0,79	16,13	4,87	5,37	0,15	3,15	4,31	4,50	1,5	0,36	1,56	100,01

Средняя юра (байос-бат)

Петрофизическая характеристика									Место отбора проб			
Статистич.параметры по 70 опр.	ρ	W	n	V_p	E	G	μ	$R_{cж}$				
X(min-max)	2,66-2,74	0,56-1,0	0,38-2,0	4,4-5,2	5,7-7,2	2,3-3,1	0,20-0,24	160-180	Западная часть Алавердского рудного поля			
S	2,70	0,65	1,75	4,7	6,2	2,79	0,22	170				
Петрографическая характеристика												
Макроскоп. описание	Минеральный состав в%									Структура		
	вкрапленники	основная масса			вторичные			породы		основной массы		
Зеленовато-серый	Плагиоклаз-андезит-12-15, авгит-5-12	Микролиты андезита-40-50, пироксен-5-10			Хлорит серицит кварц			Брекчиявая		Миндалекаменная, микролитовая		
SiO_2	TiO_2	Al_2O_3	Fe_2O_3	FeO	MnO	MgO	CaO	Na ₂ O	K ₂ O	H ₂ O	ППП	сумма
56,1	0,30	15,26	8,12	3,14	0,10	2,88	4,10	3,67	0,52	2,12	3,46	99,97

Средняя юра (байос-бат)

Петрофизическая характеристика									Место отбора проб			
Статистич.параметры по 100 опр.	ρ	W	n	V_p	E	G	μ	$R_{cж}$				
X(min-max)	2,54-2,62	1,2-2,00	2,56-5,3	3,0-4,3	3,6-4,1	1,4-1,9	0,05-0,14	85-125	Рудоносный горизонт Шамлугского место - рождения, гор. +11,+17.			
S	2,57	1,48	3,91	3,90	3,81	1,60	0,12	100				
Петрографическая характеристика												
Макроскоп. описание	Минеральный состав в%									Структура		
	вкрапленники	основная масса			вторичные			породы		основной массы		
Светло-серый, реже розовый до фиолетового	Шелочной полевой шпат-15-25, кварц-5-10	Аллотроморфные зерна полевого шпата-15-20, кварц-5-8, альбит-5-6			Карбонаты, кварц			Флюидально-тонко-слоистая, порфировая		Микролитовая, фельзитовая		
SiO_2	TiO_2	Al_2O_3	Fe_2O_3	FeO	MnO	MgO	CaO	Na ₂ O	K ₂ O	H ₂ O	ППП	сумма
73,82	0,17	13,48	2,42	0,70	0,14	0,84	0,90	4,55	1,65	0,14	2,29	100,15

Риодакиты (кератофиры) слабо измененные									Средняя юра (байос-бат)			
Статистич.параметры по 95 опр.		Петрофизическая характеристика							Место отбора проб			
X(min-max)	ρ	W	n	V _p	E	G	μ	R _{сж}				
S	2,53	3,24	6,0	3,55	3,42	1,59	0,15	80	Алаверди-Шамлугская рудоносная толща (гор. +11, +17, +32)			
Петрографическая характеристика												
Макроскоп. описание		Минеральный состав в%							Структура			
		вкрапленники		основная масса			вторичные		породы			
Светло-серый, белый		Остатки плагиоклаза-3-5, кварц-3-5		Плагиоклаз- альбит-5-10, кварц-8-12			Серицит, каолин, хлорит, кварц, карбонаты		Обломочная, порфировая			
SiO ₂	TiO ₂	Al ₂ O ₃	Fe ₂ O ₃	FeO	MnO	MgO	CaO	Na ₂ O	K ₂ O	H ₂ O	ППП	сумма
70,1	0,12	16,87	2,10	1,01	0,17	0,33	0,76	4,71	2,36	0,31	1,14	100,7

Риодакит (кварц-серицитовая фация)									Средняя юра (байос-бат)			
Статистич. параметры по 124 опр.		Петрофизическая характеристика							Место отбора проб			
X(min-max)	ρ	W	n	V _p	E	G	μ	R _{сж}				
S	2,38	3,60	9,34	3,27	2,65	1,31	0,10	70	Алаверди-Шамлугская рудоносная толща (гор. +11, +17)			
Петрографическая характеристика												
Макроскоп. описание		Минеральный состав в%							Структура			
		вкрапленники		основная масса			вторичные		породы			
Светло-серый, белый		Микролиты альбита-3-5, кварц-7-10		Калишпат-30-40, кварц-2-5			Кварц, серицит, хлорит, гипс		Массивная порфировая			
SiO ₂	TiO ₂	Al ₂ O ₃	Fe ₂ O ₃	FeO	MnO	MgO	CaO	Na ₂ O	K ₂ O	H ₂ O	ППП	сумма
78,2	0,18	12,9	2,23	0,86	0,14	0,46	0,36	0,86	0,36	1,65	1,36	99,56

Риодатиты (кератофиры, кварц-серицит-хлоритовая фация)									Средняя юра (байос-бат)		
Петрофизическая характеристика									Место отбора проб		
Статистич.параметры по 77 опр.		ρ	W	n	V_p	E	G	μ	$R_{сж}$		
X(min-max)		2,38-2,46	2,7-4,3	6,1-9,8	3,0-4,5	2,1-2,8	1,0-1,18	0,12-0,20	75-95	Алаверди-Шамлугская рудоносная толща	
S		2,42	3,70	7,38	3,62	2,43	1,14	0,16	87		
Петрографическая характеристика (гидротермально измененные)											
Макроскоп. описание	Минеральный состав в%								Структура		
	вкрапленники		основная масса			вторичные		породы		основной массы	
Светло-зеленый	Плагиоклаз-альбит-5-15, кварц-4-8	Плагиоклаз- альбит-10-20, Кварц-2-5				Кварц, хлорит, серицит карбонаты	Массивная порфировая		Микрозернистая		
SiO ₂	TiO ₂	Al ₂ O ₃	Fe ₂ O ₃	FeO	MnO	MgO	CaO	Na ₂ O	K ₂ O	H ₂ O	
69,0	0,14	17,21	2,0	1,11	0,15	0,30	0,48	3,79	2,65	2,10	1,10
											сумма
100,03											

Риодатит (кварц-хлорит-серицитовая фация)									Средняя юра (байос-бат)		
Петрофизическая характеристика											
Статистич.параметры по 36 опр.		ρ	W	n	V_p	E	G	μ	$R_{сж}$	Место отбора проб	
X(min-max)		2,42-2,58	2,0-2,2	4,8-6,8	3,5-4,6	2,1-3,0	1,0-1,3	0,12-0,20	50-75	Алаверди-Шамлугская рудоносная толща (гор. +11, +17, +32)	
S		2,51	2,10	5,38	4,07	2,55	1,16	0,18	64,0		
Петрографическая характеристика (гидротермально измененные)											
Макроскоп. описание	Минеральный состав в%								Структура		
	вкрапленники		основная масса			вторичные		породы		основной массы	
Серый, зеленовато-серый	Остатки первичного кварца-5-10, альбит-7-12	Альбит-5-6, кварц-4-10				Кварц, хлорит, серицит, карбонаты	Реликтовая порфировая		Грановластовая микрозернистая		
SiO ₂	TiO ₂	Al ₂ O ₃	Fe ₂ O ₃	FeO	MnO	MgO	CaO	Na ₂ O	K ₂ O	H ₂ O	
70,0	0,17	17,0	2,05	1,61	0,12	0,46	0,51	3,69	2,11	1,01	1,18
											сумма
99,86											

Риодакиты окоруднно-измененные, окварцеванные									Средняя юра (байос-бат)			
Статистич. параметры по 41 опр.		Петрофизическая характеристика							Место отбора проб			
X(min-max)	ρ	W	n	V _p	E	G	μ	R _{сж}				
S	2,48-2,57	0,8-2,4	2,7-5,6	3,5-5,0	2,18-4,81	1,11-2,30	0,07-0,12	58-80	Алаверди-Шамлугская рудоносная толща			
	2,50	1,80	4,2	4,33	3,86	1,84	0,09	72				
Петрографическая характеристика (гидротермально измененные)												
Макроскоп. описание		Минеральный состав в%						Структура				
		вкрапленники		основная масса		вторичные		породы		основной массы		
Светло-серый, розоватый		Плагиоклаз-альбит-15-20, кварц-10-15		альбит-5-8, кварц-5-10		Кварц серпентит карбонаты		Массивная		Микрозернистая гранобластовая		
SiO ₂	TiO ₂	Al ₂ O ₃	Fe ₂ O ₃	FeO	MnO	MgO	CaO	Na ₂ O	K ₂ O	H ₂ O	ППП	сумма
71,8	0,16	15,21	2,76	1,48	0,14	0,52	0,28	4,18	0,01	0,82	0,45	99,94

56

Туфоврекции андезитов (Кошавердаская свита)									Средняя юра (байос-бат)			
Петрофизическая характеристика												
Статистич. параметры по 91 опр.		ρ	W	n	V _p	E	G	μ	R _{сж}	Место отбора проб		
X(min-max)	2,57-2,64	0,94-1,36	2,8-3,5	2,15-4,0	3,58-4,16	1,5-2,1	0,24-0,29	115-135	Южная часть с. Манас, урочище Кошаверд г.Кармир Кар			
S	2,61	1,26	3,28	3,75	3,86	1,74	0,27	125				
Петрографическая характеристика												
Макроскоп. описание		Минеральный состав в%						Структура				
		вкрапленники		основная масса		вторичные		породы		основной массы		
Зеленовато-серый		Андезин-10-12, кварц-7-8		Туфы из лагиоклаза-10-15, биотит-3-5		Хлорит, серпентит, кварц		Брекчневая		Псамитовая тонкообломочная связующей массы		
SiO ₂	TiO ₂	Al ₂ O ₃	Fe ₂ O ₃	FeO	MnO	MgO	CaO	Na ₂ O	K ₂ O	H ₂ O	ППП	сумма
54,8	0,26	15,3	1,28	6,30	0,48	8,08	9,13	3,13	0,51	0,88	0,72	100,3

Туфоврекции андезитов Кошавердская свита (кварц-серицитовая фазия)									Средняя юра (байос-бат)	
Петрофизическая характеристика									Место отбора проб	
Статистич.параметры по 73 опр.	ρ	W	n	V_p	E	G	μ	$R_{сж}$		
X(min-max)	2,48-2,57	1,86-2,3	4,0-5,7	3,0-4,0	1,8-2,3	0,8-1,1	0,23-0,3	95-120	Урочища Кошаверд.Шамлугское месторождение, гор. -90, -115, -140	
S	2,51	2,12	5,32	3,35	2,0	1,39	0,26	107		

Петрографическая характеристика (гидротермально измененные)												
Макроскоп. описание	Минеральный состав в%								Структура			
	вкрапленники		основная масса			вторичные			породы	основной массы		
Светло-зеленоватый	Нацело серицитизированный плагиоклаз-5-15, кварц-5-8			Плагиоклаз-андезин-5-16, кварц-3-5			Серицит, кварц, Хлорит, карбонаты, гипс		Обломочная	Флюидальная, миндалекаменная		
SiO ₂	TiO ₂	Al ₂ O ₃	Fe ₂ O ₃	FeO	MnO	MgO	CaO	Na ₂ O	K ₂ O	H ₂ O	ППП	сумма
56,42	0,54	12,74	1,73	5,12	0,42	6,03	8,24	2,31	0,52	0,24	1,61	99,98

Туфоврекции андезитов Кошавердская свита (хлорит-кварц-серицитовая фазия)									Средняя юра (байос-бат)		
Петрофизическая характеристика											
Статистич.параметры по 76 опр.	ρ	W	n	V_p	E	G	μ	$R_{сж}$	Место отбора проб		
X(min-max)	2,46-2,58	0,7-2,0	2,0-4,0	2,8-3,6	2,7-3,3	1,0-1,4	0,29-0,31	65-85	Алаверди-Шамлугская рудоносная толща гор. -60, -90		
S	2,52	1,35	3,40	3,24	3,02	1,30	0,30	75,5			

Петрографическая характеристика (гидротермально измененные)												
Макроскоп. описание	Минеральный состав в%								Структура			
	вкрапленники		основная масса			вторичные			породы	основной массы		
Зеленовато-серый	Плагиоклаз-андезин-5-12, кварц-3-8			Туфы из плагиоклаза-10-12, Кварц-5-8			Хлорит, кварц, Каронаты, серицит		Брекчевая		Порфировая, тонкообломочная, псамитовая	
SiO ₂	TiO ₂	Al ₂ O ₃	Fe ₂ O ₃	FeO	MnO	MgO	CaO	Na ₂ O	K ₂ O	H ₂ O	ППП	сумма
56,30	0,49	13,67	4,56	2,66	0,25	2,21	2,39	2,86	3,12	1,06	9,9	100,0

Туфобрекчии андезитов (кварц-серицитовая фация)									Средняя юра (байос-бат)		
Петрофизическая характеристика									Место отбора проб		
Статистич.параметры по 32 опр.		ρ	W	n	V_p	E	G	μ	$R_{cж}$		
X(min-max)		2,54-2,62	1,5-1,9	3,7-5,0	3,5-4,1	2,2-3,1	1,0-1,3	0,23-0,3	40-100	Алаверди-Шамлугская рудоносная толща (гор. -90, -140)	
S		2,58	1,70	4,25	3,71	2,68	1,19	0,25	75,8		

Петрографическая характеристика (гидротермально измененные)												
Макроскоп. описание		Минеральный состав в%								Структура		
		вкрапленники		основная масса		вторичные		породы		основной массы		
Зеленовато-серый	Плагиоклаз-андезин-10-25, кварц-7-10		Плагиоклаз-5-15, кварц-5-7, биотит-3-5		Хлорит, кварц, серицит		Брекчиявая		Порфировая обломков, тонкообломочная связующей массы			
SiO ₂	TiO ₂	Al ₂ O ₃	Fe ₂ O ₃	FeO	MnO	MgO	CaO	Na ₂ O	K ₂ O	H ₂ O	ППП	сумма
59,51	0,05	15,72	4,78	4,79	0,21	5,52	2,05	0,96	1,57	0,61	4,0	99,97

Туфобрекчии андезитов Кошавердская свита									Средняя юра (байос-бат)		
Петрофизическая характеристика									Место отбора проб		
Статистич.параметры по 53 опр.		ρ	W	n	V_p	E	G	μ	$R_{cж}$		
X(min-max)		2,52-2,66	0,6-1,0	1,14-2,8	3,8-4,8	3,0-3,8	1,2-2,1	0,18-0,24	80-135	Центральная часть Алаверди-Шамлугская рудоносная толща (гор. -60, -140)	
S		2,60	0,88	1,82	3,43	3,40	1,58	0,20	115		

Петрографическая характеристика												
Макроскоп. описание		Минеральный состав в%								Структура		
		вкрапленники		основная масса		вторичные		породы		основной массы		
Светло-серый	Плагиоклаз-андезин-10-12, кварц-7-10, ильменит-3-5, рутил-2-3		Плагиоклаз-5-10, карбонат-5-15		Кварц, серицит, хлорит		Брекчиявая		Тонкообломочная псамитовая связующей массы			
SiO ₂	TiO ₂	Al ₂ O ₃	Fe ₂ O ₃	FeO	MnO	MgO	CaO	Na ₂ O	K ₂ O	H ₂ O	ППП	сумма
56,2	0,7	14,52	9,06	5,04	0,14	3,82	2,13	0,13	2,43	0,18	3,72	99,07

Андезиты эпидотизированные (Деветская свита)									Средняя юра (аален-байос)			
Петрофизическая характеристика									Место отбора проб			
Статистич. параметры по 34 опр.	ρ	W	n	V_p	E	G	μ	$R_{сж}$				
X(min-max)	2,68-2,74	0,16-0,88	0,5-2,07	4,8-5,6	5,2-6,2	2,62-3,05	0,22-0,26	150-200	Долина р.Дебет, нижний горизонт Шамлугского месторождения, р.уч. Килиса			
S	2,70	0,64	1,38	5,3	5,7	2,73	0,24	180				
Петрографическая характеристика Автометаморфизованные												
Макроскоп. описание	Минеральный состав в %									Структура		
	вкрапленники			основная масса			вторичные		породы		основной массы	
Темно-серый с зеленоватой окраской	Плагиоклаз (андезин)-20-25,уралитовая рогов. обманка-5-7,моноклин. Пироксен-7,авгит-5			Микролиты плагиоклаза-10-15,миндалины с актинолитом, хлоритом, пиритом-15-25			Эпидот,сернцит Хлорит,кварц		Брекчевая		Интерсертальная, порфировая	
SiO ₂	TiO ₂	Al ₂ O ₃	Fe ₂ O ₃	FeO	MnO	MgO	CaO	Na ₂ O	K ₂ O	H ₂ O	ППП	сумма
54,12	0,5	15,10	4,80	6,10	0,16	5,50	4,18	3,41	1,46	1,10	3,64	100,07

1.2. Жильные породы Алавердского рудного поля

Кварцевые плагиопорфиры (жильные)									Средняя юра (верхний байос)			
Петрофизическая характеристика									Место отбора проб			
Статистич. параметры по 48 опр.	ρ	W	n	V_p	E	G	μ	$R_{сж}$				
X(min-max)	2,65-2,68	0,5-0,98	1,3-2,65	5,0-5,8	4,7-5,11	2,1-2,75	0,10-0,12	160-190	Ахтальское месторождение, гор. шт. 16, пр. берег р. Девед			
S	2,67	0,73	1,99	5,43	4,9	2,65	0,11	170				
Петрографическая характеристика												
Макроскоп. описание	Минеральный состав в %									Структура		
	Главные					вторичные				породы		
Светло-серый до фиолетового	Кварц-20-30,плагиоклаз-альбит-15-20,акцесс. Сфен, апатит					Сернцит,каолин, карбонаты		Порфировая структура микролегматитовой и фельзитовой основной массы				
SiO ₂	TiO ₂	Al ₂ O ₃	Fe ₂ O ₃	FeO	MnO	MgO	CaO	Na ₂ O	K ₂ O	H ₂ O	ППП	сумма
68,2	0,30	12,80	4,31	4,01	0,03	1,64	3,40	1,36	2,46	0,8	0,72	100,03

Альбитизированные риолиты (альбитафиры) жильные

Верхняя юра-нижний мел (титон-неоком)

Петрофизическая характеристика									Место отбора проб			
Статистич.параметры по 90 опр.	ρ	W	n	V_p	E	G	μ	$R_{cж}$				
X(min-max)	2,64-2,71	0,33-0,44	0,9-1,31	5,3-6,0	5,5-6,0	2,19-3,62	0,1-0,16	170-190	Шамлугское месторождение на своде антиклинали, около села Бугакяр			
S	2,67	0,38	1,03	5,63	5,84	3,15	0,13	180				
Петрографическая характеристика												
Макроскоп. описание	Минеральный состав в %							Структура породы				
	Главные				вторичные							
Розовато-фиолетовый оттенок	Кварц-20-25, плагиоклаз-альбит-45-60, акцес-апатит					Карбонаты Квац		Фельзитовая сферолитовая				
SiO ₂	TiO ₂	Al ₂ O ₃	Fe ₂ O ₃	FeO	MnO	MgO	CaO	Na ₂ O	K ₂ O	H ₂ O	ППП	сумма
72,12	0,18	14,21	4,01	0,44	0,10	0,12	0,88	3,33	3,01	0,27	1,28	99,95

Кварцевые диориты

Средняя юра (байос-бат)

Петрофизическая характеристика									Место отбора проб			
Статистич.параметры по 21 опр.	ρ	W	n	V_p	E	G	μ	$R_{cж}$				
X(min-max)	2,69-2,74	0,5-0,6	1,34-1,64	4,8-5,8	5,1-5,4	2,3-3,0	0,18-0,20	180-210	Шамлугское месторождение (гор. - 60, -180)			
S	2,71	0,55	1,49	5,3	5,2	2,71	0,19	195				
Петрографическая характеристика												
Макроскоп. описание	Минеральный состав в %							Структура породы				
	Главные				вторичные							
Розовато-серые, зеленоватые	Плагиоклаз-40-60, биотит-3-5, роговая обманка-25-30, кварц-5-10, акцесор магнетит, апатит, циркон					Апатит, кальцит хлорит		Порфировидная с гипидноморфозернистой структурой основная массы				
SiO ₂	TiO ₂	Al ₂ O ₃	Fe ₂ O ₃	FeO	MnO	MgO	CaO	Na ₂ O	K ₂ O	H ₂ O	ППП	сумма
61,87	0,48	16,08	1,88	2,60	0,24	3,26	1,52	6,22	1,02	0,28	3,18	99,63

Кварцевые микродиориты									Средняя юра (байос-бат)				
Петрофизическая характеристика													
Статистич.параметры по 8 опр.		ρ	W	n	V_p	E	G	μ	$R_{cж}$	Место отбора проб			
X(min-max)		2,68-2,72	0,5-1,0	1,34-2,70	4,8-5,6	2,8-3,4	0,18-0,21	155-200	180-210	Алавердское месторождение скв. 54, 63, Шамлугское месторождение (гир. -90, -240)			
S		2,7	0,77	1,98	5,3	6,0	3,1	0,19	185				
Петрографическая характеристика													
Макроскоп. описание	Минеральный состав в %								Структура				
	Главные				вторичные				породы				
Светло-серый	Плагиоклаз-50, кварц-20, к.п.ш.-12, биотит-15, акцесс. апатит, циркон				Хлорит, карбонаты, серицит				Микропорфировая, гипидноморфнозернистая				
SiO ₂	TiO ₂	Al ₂ O ₃	Fe ₂ O ₃	FeO	MnO	MgO	CaO	Na ₂ O	K ₂ O	H ₂ O	ППП	сумма	
61,77	0,48	18,10	1,86	2,60	0,24	2,86	1,52	6,22	1,02	0,38	3,10	100,15	

Диабазы (жильные)									Верхняя юра-нижний мел (неоком)				
Петрофизическая характеристика													
Статистич. параметры по 24 опр.		ρ	W	n	V_p	E	G	μ	$R_{cж}$	Место отбора проб			
X(min-max)		2,64-2,70	0,49-0,77	1,3-2,1	5,4-5,8	5,1-5,4	3,1-3,6	0,16-0,20	165-185	Алавердское месторождение			
S		2,67	0,68	1,82	5,6	5,2	3,35	0,18	171,5				
Петрографическая характеристика													
Макроскоп. описание	Минеральный состав в %								Структура				
	Главные				вторичные				породы				
Темно-зеленый до свело-зеленого	Плагиоклаз-лабрадор-40-45, авгит-30-35, оливин-5-10, акцесс. титаномагнетит, пирит				Хлорит, уралит, карбонаты				Диабазовая пойкилитовая				
SiO ₂	TiO ₂	Al ₂ O ₃	Fe ₂ O ₃	FeO	MnO	MgO	CaO	Na ₂ O	K ₂ O	H ₂ O	ППП	сумма	
50,01	0,68	17,24	3,20	6,80	0,13	4,01	9,83	4,28	1,52	1,88	0,63	99,71	

1.3. Интрузивные породы Алавердского рудного поля

Лейкократовые граниты									Нижний мел (неоком)			
Петрофизическая характеристика									Место отбора проб Шнох-Кохбский массив, фазы дополнит. интрузии			
Статистич. параметры по 12 опр.	ρ	W	n	V_p	E	G	μ	$R_{cж}$				
X(min-max)	2,66-2,70	0,56-0,74	1,5-2,0	4,4-5,6	4,6-4,9	2,5-2,7	0,16-0,18	160-200				
S	2,68	0,67	1,79	4,95	4,72	2,62	0,17	185				
Петрографическая характеристика												
Макроскоп. описание	Минеральный состав в %								Структура			
	Главные				вторичные				породы			
Розовый	Плагиоклаз-30-35, к.п.ш.-25-35, кварц-30-35, роговая обманка-0,5-1,5, биотит-1,5-4,5, акцес. магнетит, апатит, циркон				Эпидот, серицит Хлорит, карбонаты				Гипидноморфно-зернистая			
SiO ₂	TiO ₂	Al ₂ O ₃	Fe ₂ O ₃	FeO	MnO	MgO	CaO	Na ₂ O	K ₂ O	H ₂ O	ППП	сумма
71,80	0,14	12,88	2,01	2,12	0,07	0,02	1,0	2,88	3,96	0,74	2,12	99,84

Кварцевые диориты									Нижний мел (неоком)			
Петрофизическая характеристика									Место отбора проб Шнох-Кохбский массив, Папакарский хребет			
Статистич. параметры по 25 опр.	ρ	W	n	V_p	E	G	μ	$R_{cж}$				
X(min-max)	2,60-2,66	0,7-0,9	1,7-2,25	4,3-5,2	4,5-6,7	1,5-3,0	0,08-0,1	120-158				
S	2,62	0,8	1,9	4,7	5,1	2,2	0,09	145				
Петрографическая характеристика												
Макроскоп. Описание	Минеральный состав в %								Структура			
	Главные				вторичные				породы			
Светло-серый, серовато-зеленый	Кварц-20, роговая обманка-3-5, биотит-7-10, ортоклаз-5, андезин-40, акцес. апатит, сферен.				Серицит, хлорит клиноцизит				Гипидноморфнозернистая			
SiO ₂	TiO ₂	Al ₂ O ₃	Fe ₂ O ₃	FeO	MnO	MgO	CaO	Na ₂ O	K ₂ O	H ₂ O	ППП	сумма
62,75	0,8	17,25	2,8	3,65	0,03	2,1	5,20	2,59	1,27	1,10	0,58	100,12

Гранодиориты (эндоконтактовая фация)									Бижний мел (неоком)			
Петрофизическая характеристика									Место отбора проб Шнох-Кохбский массив			
Статистич. параметры по 18 опр.	ρ	W	n	V_p	E	G	μ	$R_{cж}$				
X(min-max)	2,76-2,80	0,3-0,51	0,8-1,40	5,3-5,8	5,1-5,3	3,1-3,8	0,14-0,16	160-180				
S	2,79	0,45	1,21	5,55	5,2	3,60	0,15	170				
Петрографическая характеристика												
Макроскоп. описание	Минеральный состав в %							Структура				
	Главные				вторичные			породы				
Темновато-серый с желтоватым, зеленоватым оттенками	Плагиоклаз-48, кварц-20, к.п.ш.-19-20, биотит-6, роговая обманка-5, акцесс. магнетит, сфен, циркон				Хлорит, карбонаты			Гипидноморфнозернистая, микропорфировидная				
SiO ₂	TiO ₂	Al ₂ O ₃	Fe ₂ O ₃	FeO	MnO	MgO	CaO	Na ₂ O	K ₂ O	H ₂ O	ППП	сумма
65,12	0,33	16,09	1,52	2,21	0,81	1,15	3,92	3,82	1,52	0,45	1,82	99,64

Гранодиориты (главная фаза)									Нижний мел (неоком)			
Петрофизическая характеристика												
Статистич. параметры по 11 опр.	ρ	W	n	V_p	E	G	μ	$R_{cж}$	Место отбора проб			
X(min-max)	2,68-2,72	0,28-0,31	0,75-0,84	5,8-6,2	5,9-6,8	3,1-3,8	0,12-0,14	180-210	Шнох-Кохбский массив, главная интрузивная фаза			
S	2,70	0,29	0,79	6,0	6,4	3,5	0,13	195				
Петрографическая характеристика												
Макроскоп. описание	Минеральный состав в %							Структура				
	Главные				вторичные			породы				
Светло-серый	Плагиоклаз-55-60, К.п.ш.-10-15, кварц-15-20, роговая обманка-5-7, биотит-3-4, акцесс. апатит, циркон, сфен, ортит				Эпидот, серицит хлорит			Гипидноморфнозернистая				
SiO ₂	TiO ₂	Al ₂ O ₃	Fe ₂ O ₃	FeO	MnO	MgO	CaO	Na ₂ O	K ₂ O	H ₂ O	ППП	сумма
63,16	0,70	15,15	3,01	2,75	0,75	2,59	5,00	3,78	1,72	0,18	1,10	99,89

Петрофизическая характеристика									Место отбора проб			
Статистич. параметры по 10 опр.	ρ	W	n	V_p	E	G	μ	$R_{cж}$	Шнох-Кохбский массив, Восточный эндоконтакт Папакарский хр.			
X(min-max)	2,68-2,72	0,33-0,45	0,9-1,25	4,8-5,6	5,6-6,0	2,8-3,4	0,15-0,18	170-210				
S	2,70	0,40	1,08	5,24	5,75	3,1	0,16	196				
Петрографическая характеристика												
Макроскоп. описание	Минеральный состав в %							Структура				
	Главные			вторичные				породы				
Зеленовато-серый	Плагиоклаз-25-30, пироксен-8-10, кварц-15-20,биотит 20, роговая обманка-25, акцесс. апатит, сфен, магнетит			Серицит хлорит				Гипидиоморфнозернистая				
SiO ₂	TiO ₂	Al ₂ O ₃	Fe ₂ O ₃	FeO	MnO	MgO	CaO	Na ₂ O	K ₂ O	H ₂ O	ППП	сумма
61,82	0,70	15,54	4,85	3,43	0,09	2,29	5,33	3,90	1,80	0,02	0,76	100,53

Кварцевые диориты (роговообманково-биотитовые)

Нижний мел (неоком)

Петрофизическая характеристика									Нижний мел (исоком)			
Статистич. параметры по 18 опр.	ρ	W	n	V_p	E	G	μ	$R_{cж}$	Место отбора проб			
X(min-max)	2,65-2,72	0,31-0,40	0,80-1,40	5,1-5,6	5,9-6,8	3,1-3,8	0,20-0,22	200-240	Чоцканский массив (северо-западная часть Кохсбского массива)			
S	2,67	0,36	1,12	5,38	6,41	3,51	0,21	220				
Петрографическая характеристика												
Макроскоп. описание	Минеральный состав %							Структура				
	Главные				вторичные			породы				
Темновато-серый, с розоватым, желтоватым оттенками	Плагиоклаз-20-25, кварц-13-15, роговая обманка-20-24,биотит-15-20,акцесс. магнетит, циркон, апатит, сфен				Хлорит, серицит		Гипидиоморфнозернистая					
						Каолин,карбонат						
SiO_2	TiO_2	Al_2O_3	Fe_2O_3	FeO	MnO	MgO	CaO	Na_2O	K_2O	H_2O	ППП	сумма
63,6	0,19	14,27	2,34	2,12	0,10	2,20	5,13	3,68	2,38	1,56	2,68	100,25

Порфировидные плагиограниты									Средняя юра			
Петрофизическая характеристика									Место отбора проб			
Статистич. параметры по 15 опр.	ρ	W	n	V_p	E	G	μ	$R_{сж}$				
X(min-max)	2,65-2,73	0,49-0,58	1,3-1,56	4,6-5,20	4,18-4,72	2,1-2,65	0,16-0,19	170-185				
S	2,68	0,53	1,42	4,95	4,36	2,38	0,175	180				
Петрографическая характеристика												
Макроскоп. описание	Минеральный состав в %							Структура				
	Главные				вторичные			породы				
Темно-зеленый, розовато-серый	Плагиоклаз-50-65, кварц-20-25, цветные минералы-20-25, акцесс. апатит, сфен, циркон				Хлорит карбонат		Аллотриоморфнозернистая					
SiO ₂	TiO ₂	Al ₂ O ₃	Fe ₂ O ₃	FeO	MnO	MgO	CaO	Na ₂ O	K ₂ O	H ₂ O	ППП	сумма
69,1	0,28	11,21	4,06	5,13	0,12	0,80	3,28	3,61	0,68	0,47	1,10	99,65

Диориты									Средняя юра				
Петрофизическая характеристика													
Статистич. параметры по 18 опр.	ρ	W	n	V_p	E	G	μ	$R_{сж}$	Место отбора проб				
X(min-max)	2,66-2,74	0,88-1,43	2,0-3,7	4,8-5,1	5,5-6,0	2,1-2,8	0,10-0,15	130-165	Ахпатский массив				
S	2,69	1,14	2,99	4,98	5,7	2,52	0,12	150					
Петрографическая характеристика													
Макроскоп. Описание	Минеральный состав в %							Структура					
	Главные				вторичные			породы					
Серый	Плагиоклаз-50-61, роговая обманка-20-25, биотит-1-2, аугит-1-2, кварц-1-2, акцесс. Магнетит, апатит, сфен				Хлорит, серпентит		Гипидноморфнозернистая						
SiO ₂	TiO ₂	Al ₂ O ₃	Fe ₂ O ₃	FeO	MnO	MgO	CaO	Na ₂ O	K ₂ O	H ₂ O	ППП	сумма	
55,38	1,24	15,8	4,20	3,36	0,01	4,12	8,1	2,54	1,0	2,1	0,35	98,2	

Петрофизическая характеристика									Средняя юра					
Статистич.параметры по 31 опр.	ρ	W	n	V_p	E	G	μ	$R_{сж}$	Место отбора проб					
X(min-max)	2,66-2,72	0,15-0,31	0,4-0,85	5,6-6,3	5,4-6,0	3,1-3,9	0,1-0,15	200-240	Ахпатский массив, северный и восточный эндоконтакт массива					
S	2,69	0,24	0,67	5,85	5,7	3,5	0,13	220						
Петрографическая характеристика														
Макроскоп. Описание	Минеральный состав в %							Структура породы						
	Главные				вторичные									
Темно-еленовато-серый	Плагиоклаз-50-60, к.п.ш.-45, кварц-4-5, биотит-0,5, роговая обманка-3-5, акцесс. Апатит, циркон, магнетит				Хлорит, эпидот лимонит			Гипидноморфнозернистая						
SiO ₂	TiO ₂	Al ₂ O ₃	Fe ₂ O ₃	FeO	MnO	MgO	CaO	Na ₂ O	K ₂ O	H ₂ O	ППП	сумма		
63,4	0,80	18,25	2,32	3,40	0,12	1,21	4,31	3,48	0,95	0,8	0,11	99,92		

Петрофизическая характеристика									Средняя юра					
Статистич. Параметры по 12 опр.	ρ	W	n	V_p	E	G	μ	$R_{сж}$	Место отбора проб					
X(min-max)	2,66-2,76	0,4-0,5	1,06-1,38	4,5-6,1	4,31-4,84	2,5-3,0	0,09-0,14	180-200	Ахпатский массив, центральная зона массива					
S	2,71	0,46	1,24	5,24	4,63	2,75	0,12	190						
Петрографическая характеристика														
Макроскоп. Описание	Минеральный состав в %							Структура породы						
	Главные				вторичные									
Светло-зеленый, свело-серый, розоватый	Плагиоклаз-55-62, кварц-20-30, роговая обманка-1,5-5,5, биотит-1, акцесс. Апатит, магнетит, циркон, сфен				Хлорит, эпидот лимонит			Гипидноморфнозернистая, аллотриоморфнозернистая						
SiO ₂	TiO ₂	Al ₂ O ₃	Fe ₂ O ₃	FeO	MnO	MgO	CaO	Na ₂ O	K ₂ O	H ₂ O	ППП	сумма		
68,1	0,31	12,23	3,08	4,78	0,10	1,08	3,03	3,41	0,63	0,74	2,34	99,83		

Петрофизическая характеристика									Нижний мел (неоком)			
Статистич. Параметры по 18 опр.		ρ	W	n	V_p	E	G	μ	$R_{cж}$	Место отбора проб		
X(min-max)		2,68-2,71	0,32-0,98	0,85-2,30	5,18-6,20	5,6-6,1	3,10-3,91	0,09-0,14	190-240	Цахкашатский массив		
S		2,69	0,73	1,51	5,57	5,81	3,56	0,10	220			
Петрографическая характеристика												
Макроскоп. Описание		Минеральный состав в %						Структура				
		Главные			вторичные			породы				
Светло-зеленовато-серый		Плагиоклаз-55-65, роговая обманка-8-10, кварь-10-20, биотит-5-6, акцесс. Сфен, апатит				Альбит, серицит Карбонаты, хлорит		Гипидноморфнозернистая				
SiO ₂	TiO ₂	Al ₂ O ₃	Fe ₂ O ₃	FeO	MnO	MgO	CaO	Na ₂ O	K ₂ O	H ₂ O	ППП	сумма
62,21	0,19	16,10	2,31	4,86	0,06	3,78	4,93	3,18	1,28	0,12	1,06	100,08

Петрофизическая характеристика									Верхний эоцен			
Статистич.параметры по 22 пр.		ρ	W	n	V_p	E	G	μ	$R_{cж}$	Место отбора проб		
X(min-max)		2,67-2,71	0,33-0,47	0,9-1,30	5,0-5,9	5,5-6,1	3,1-3,6	0,10-0,14	160-210	Банушский массив (главная интрузивная фаза)		
S		2,69	0,40	1,15	5,45	5,98	3,42	0,12	186			
Петрографическая характеристика												
Макроскоп. Описание		Минеральный состав в %						Структура				
		Главные			вторичные			породы				
Светло-серый, розоватый		Плагиоклаз-40-50, к.п.ш.-10-12, роговая обманка-10-14, биотит-5-7, кварц-20-25, акцесс. апатит, циркон, рутил, пирит, сфен, ортит, лимонит				Серицит, хлорит Карбонаты, эпилод		Порфировидная, гипидноморфнозернистая				
SiO ₂	TiO ₂	Al ₂ O ₃	Fe ₂ O ₃	FeO	MnO	MgO	CaO	Na ₂ O	K ₂ O	H ₂ O	ППП	сумма
69,73	0,48	13,41	2,13	1,23	0,10	1,01	2,91	3,26	1,73	0,5	1,74	99,73

Гранодиорит-порфиры									Верхний эоцен			
Петрофизическая характеристика									Место отбора проб			
Статистич. параметры по 20 опр.	ρ	W	n	V_p	E	G	μ	$R_{cж}$				
X(min-max)	2,62-2,68	0,5-1,2	1,3-3,10	4,1-4,6	5,4-6,2	2,8-3,6	0,12-0,17	160-200	Банушский массив, породы фации эндоконтакта			
S	2,65	0,88	2,35	4,32	5,81	3,21	0,148	174				
Петрографическая характеристика												
Макроскоп. описание	Минеральный состав в %								Структура			
	Главные				вторичные				породы			
Темно-зеленовато-серый	Плагиоклаз-45-55, К.п.ш.-20-25, кварц-10-15, пироксен-0,1-0,5, амфибол-7-10,биотит-1-2, акцесс., апатит, циркон, магнетит				Серицит хлорит				Порфировая, гипидиоморфнозернистая			
SiO ₂	TiO ₂	Al ₂ O ₃	Fe ₂ O ₃	FeO	MnO	MgO	CaO	Na ₂ O	K ₂ O	H ₂ O	ППП	сумма
66,3	0,21	16,88	0,16	2,01	0,04	0,23	2,30	4,01	2,31	2,11	3,36	99,92

Гранит-порфиры лейкократовые									Верхний эоцен			
Петрофизическая характеристика									Место отбора проб			
Статистич. параметры по 12 пр.	ρ	W	n	V_p	E	G	μ	$R_{cж}$				
X(min-max)	2,68-2,72	0,52-1,10	1,40-3,0	5,4-5,8	5,2-5,8	2,18-3,10	0,18-0,23	150-200	Банушский массив, центральная часть			
S	2,69	0,81	2,32	5,6	5,4	2,68	0,21	185				
Петрографическая характеристика												
Макроскоп. описание	Минеральный состав в %								Структура			
	Главные				вторичные				породы			
Розовый, светло-серый	Плагиоклаз-25-32, К.п.ш.-40-45, кварц-20-25, биотит-1,5-2,0				Серицит, гидроокиси железа				Гипидиоморфнозернистая, порфировая			
SiO ₂	TiO ₂	Al ₂ O ₃	Fe ₂ O ₃	FeO	MnO	MgO	CaO	Na ₂ O	K ₂ O	H ₂ O	ППП	сумма
70,2	0,07	15,13	4,01	0,34	0,04	0,36	0,31	3,71	3,94	0,12	1,49	99,72

1.4. Вулканогенно-осадочные породы Капанского рудного поля

Туфоконгломерат									Верхняя юра (оксфорд-кимеридж)		
Статистич. параметры по 20 опр.	Петрофизическая характеристика								Место отбора проб		
	ρ	W	n	V_p	E	G	μ	R_{cjk}			
X(min-max)	2,67-2,75	0,26-0,40	0,58-1,0	4,5-5,2	5,1-6,3	2,5-3,1	0,11-0,16	130-165	Левый борт р.Халадж р-н Шаумянского месторождения		
S	2,72	0,32	0,86	4,86	5,79	2,76	0,14	150			
Петрографическая характеристика											
Макроскоп. Описание	Минеральный состав в %								Структура		
	вкрапленники		основная масса			вторичные		породы		основной массы	
Темно-зеленый	Обломки андезито-базальтов-35-50, кварц-10-12		Вулканическое стекло-15-25 чешуйки мусковита-7-8			Кальцит, мусковит хлорит		Обломочная		Псамитовая (связующей массы)	
SiO_2	TiO_2	Al_2O_3	Fe_2O_3	FeO	MnO	MgO	CaO	Na_2O	K_2O	H_2O	ППП
53,13	1,0	14,6	6,18	4,78	0,21	3,13	5,05	3,14	2,0	0,46	2,20
											сумма
99,88											

Туфопесчаники Верхняя юра									(оксфорд-кимеридж)		
Статистич. параметры по 46 опр.	Петрофизическая характеристика								Место отбора проб		
	ρ	W	n	V_p	E	G	μ	R_{cjk}			
X(min-max)	2,64-2,70	1,7-1,8	4,7-5,1	4,8-6,0	2,46-4,81	1,1-2,48	0,11-0,18	120-145	с. Каварт Левобережье р.Халадж		
S	2,68	1,75	4,90	5,46	3,60	2,0	0,15	135			
Петрографическая характеристика											
Макроскоп. описание	Минеральный состав в %								Структура		
	вкрапленники		основная масса			вторичные		породы		основной массы	
Темно-серый с фиолетовым оттенком	Литокласти андезитобазальтов-70-80		Известковый материал-10-15, вулканическое стекло-5-15			Хлорит гидроокись железа лимонит		Литокластическая		Псамитовая	
SiO_2	TiO_2	Al_2O_3	Fe_2O_3	FeO	MnO	MgO	CaO	Na_2O	K_2O	H_2O	ППП
50,4	1,11	12,36	10,2	3,4	0,19	5,87	6,38	3,81	2,16	1,76	2,29
											сумма
99,93											

Анdezito-базальты (Хуступ-Чимянская свита)									Верхняя юра (титон-нижний валанжин)			
Петрофизическая характеристика												
Статистич.параметры по 77 опр.	ρ	W	n	V_p	E	G	μ	$R_{cж}$	Место отбора проб			
X(min-max)	2,67-2,70	0,61-0,91	1,6-2,4	5,0-6,0	5,1-6,2	2,1-3,8	0,20-0,28	120-155	Юго-западное крыло Капанской антиклинали			
S	2,68	0,70	1,87	5,5	5,8	2,51	0,24	145				
Петрографическая характеристика												
Макроскоп. Описание	Минеральный состав в%								Структура			
	вкрапленники			основная масса			вторичные		породы		основной массы	
Темно-серый, зеленовато-бурый	Плагиокла-андезин-30-40, кварц-5-8, лабрадор-5-10			Плагиоклаз-10-20, биотит-3-5			Хлорит, кварц карбонаты эпидот		Порфировая		Микролитовая, гиалопилитовая	
SiO ₂	TiO ₂	Al ₂ O ₃	Fe ₂ O ₃	FeO	MnO	MgO	CaO	Na ₂ O	K ₂ O	H ₂ O	ППП	сумма
53,5	2,74	16,18	4,10	5,5	0,18	2,79	9,0	3,1	1,16	0,8	1,54	99,99

Анdezito-базальты (Тапасар-Кармракарская свита)									Верхняя юра-нижний мел (титон-нижн.валанжин)			
Петрофизическая характеристика												
Статистич.параметры по 80 опр.	ρ	W	n	V_p	E	G	μ	$R_{cж}$	Место отбора проб			
X(min-max)	2,63-2,71	0,8-1,2	1,8-2,4	4,9-5,6	5,4-6,4	2,6-3,2	0,22-0,27	125-168	С-В крыло Капанской антиклинали			
S	2,69	1,0	2,6	5,2	5,9	2,87	0,25	155				
Петрографическая характеристика												
Макроскоп. описание	Минеральный состав в%								Структура			
	вкрапленники			основная масса			вторичные		породы		основной массы	
Серовато-зеленый	Плагиоклаз-40-45, лабрадор-10-15, кварц-3-9			Плагиоклаз-15-20, биотит-5			Хлорит, кварц карбонаты эпидот, пренит		Порфировая		Микролитовая, гиалопилитовая	
SiO ₂	TiO ₂	Al ₂ O ₃	Fe ₂ O ₃	FeO	MnO	MgO	CaO	Na ₂ O	K ₂ O	H ₂ O	ППП	сумма
52,48	0,84	17,18	4,28	5,8	0,15	2,87	8,78	2,79	1,14	0,89	2,6	100,14

Известняки (Кармракарская свита)									Нижний мел (неоком, варем)		
Петрофизическая характеристика											
Статистич. параметры по 21 опр.	ρ	W	n	V_p	E	G	μ	$R_{cж}$	Место отбора проб		
X(min-max)	2,58-2,62	0,3-0,5	0,8-1,30	5,1-6,2	4,7-5,2	2,3-3,3	0,10-0,14	60-75	Северо-восточная часть Капанского рудного района		
S	2,60	0,4	1,04	5,7	5,0	2,7	0,12	68			
Петрографическая характеристика											
Макроскоп. Описание	Минеральный состав в%								Структура		
	вкрапленники			основная масса			вторичные		породы		основной массы
Серый, грязно-серый, желтовато-серый	Окислы железа-15-25			Кальцит-60-70, примеси глинистого материала вещества-5-8			Хлорит		Тонкоплитчатая		Криптомикрозернистая
SiO ₂	TiO ₂	Al ₂ O ₃	Fe ₂ O ₃	FeO	MnO	MgO	CaO	Na ₂ O	K ₂ O	H ₂ O	ППП
6,78	0,18	3,11	5,7	1,02	0,02	2,67	54,86	0,18	0,21	1,7	23,60
											сумма
											100,03

Известняк									Нижний мел (верхний валажин-готерив)		
Петрофизическая характеристика											
Статистич. Пара метры по 28 опр.	ρ	W	n	V_p	E	G	μ	$R_{cж}$	Место отбора проб		
X(min-max)	2,64-2,68	0,8-1,5	2,5-3,3	4,5-5,2	4,2-5,0	2,2-3,8	0,1-0,13	50-75	Район с.Гехануш, Антарашат, Бех, Каварт, Н.Хотанан, Шагарджик, Гиратах		
S	2,66	1,3	2,78	4,96	4,6	3,01	0,11	65			
Петрографическая характеристика											
Макроскоп. Описание	Минеральный состав в%								Структура		
	вкрапленники			основная масса			вторичные		породы		основной массы
Молочно-белый	Сгустки кремнезема-15-20, окатанные карбонатные зерна- 15-20			Кальцит-50-55			Хлорит		Тонко-плитчатая		Крипто-микрозернистая
SiO ₂	TiO ₂	Al ₂ O ₃	Fe ₂ O ₃	FeO	MnO	MgO	CaO	Na ₂ O	K ₂ O	H ₂ O	ППП
6,6	0,14	2,82	8,82	1,21	0,05	3,18	52,76	0,23	0,17	2,40	20,7
											сумма
											99,08

Туфопесчаники									Средняя юра (верхний байос)			
Петрофизическая характеристика												
Статистич. параметры по 32 опр.	ρ	W	n	V_p	E	G	μ	$R_{cж}$	Место отбора проб			
X(min-max)	2,64-2,70	0,8-1,2	2,32-3,0	4,5-6,0	4,2-5,2	2,8-3,1	0,27-0,30	110-135	Северо-восточная часть Капанского рудного поля			
S	2,67	1,0	2,67	5,4	4,7	3,0	0,29	122				
Петрографическая характеристика												
Макроскоп. описание	Минеральный состав в%								Структура			
	вкрапленники			основная масса			вторичные		породы		основной массы	
Бурый, зеленовато-серый	Литокласты, андезитов-10-15, кристаллокласты кварца-15-20, плагиоклаз-10-12			Вулканическое стекло-20-25, чешуйки мусковита и серицита-5-10			Хлорит, кварц		Литокластическая		Псамитовая	
SiO ₂	TiO ₂	Al ₂ O ₃	Fe ₂ O ₃	FeO	MnO	MgO	CaO	Na ₂ O	K ₂ O	H ₂ O	ППП	сумма
52,4	1,12	12,7	7,24	4,72	0,36	5,70	5,88	3,81	1,56	0,81	3,70	100,0

Кварцевые андезиты (Бараватумская свита)									Средняя юра (байос-ват)			
Петрофизическая характеристика												
Статистич. параметры по 114 опр.	ρ	W	n	V_p	E	G	μ	$R_{cж}$	Место отбора проб			
X(min-max)	2,50-2,60	1,01-2,4	4,0-4,3	3,0-4,3	3,85-4,27	1,67-2,10	0,15-0,23	88-100	Центральная часть Капанского рудного поля, рудники Халадж, Шаумян			
S	2,56	1,62	4,16	3,71	4,02	1,87	0,20	95				
Петрографическая характеристика												
Макроскоп. описание	Минеральный состав в%								Структура			
	вкрапленники			основная масса			вторичные		породы		основной массы	
Зеленовато-серый	Кристаллы випирамид. кварца-5-10, плагиоклаз-20-25,рог. обманка-3-5			Кварц-5-10, андезин-15-25, амфибол-5-8			Хлорит карбонаты		Порфировая		Андезитовая	
SiO ₂	TiO ₂	Al ₂ O ₃	Fe ₂ O ₃	FeO	MnO	MgO	CaO	Na ₂ O	K ₂ O	H ₂ O	ППП	сумма
62,07	0,27	17,84	5,20	1,29	0,29	3,24	4,45	2,87	1,49	0,16	1,86	100,04

Кварцевые андезиты (серицит-хлоритовая фация)									Средняя юра (байос-бат)			
Петрофизическая характеристика												
Статистич. параметры по 39 опр.	ρ	W	n	V_p	E	G	μ	$R_{cж}$	Место отбора проб			
X(min-max)	2,48-2,54	1,5-2,3	4,0-5,8	3,0-4,6	3,25-3,4	1,7-2,1	0,22-0,24	60-92	Верхний горизонт Капанского месторождения			
S	2,53	1,89	4,78	3,43	3,31	1,95	0,23	87				
Петрографическая характеристика (гидротермально измененные)												
Макроскоп. Описание	Минеральный состав в%									Структура		
	вкрапленники			основная масса			вторичные		породы		основной массы	
Темно-зеленоватый	Плагиоклаз-андезин-20-35, альбит-5-10, кварц-10-20, пироксен-3-5			Андезин-5-15, кварц-4-10			Серицит, хлорит мусковит		Порфировая		Гиалопилитовая, микролитовая	
SiO ₂	TiO ₂	Al ₂ O ₃	Fe ₂ O ₃	FeO	MnO	MgO	CaO	Na ₂ O	K ₂ O	H ₂ O	ППП	сумма
60,0	0,78	17,21	5,33	1,65	0,22	2,0	4,85	2,80	1,8	0,80	2,58	100,10

Андезитодиабазы									Средняя юра (байос-бат)			
Петрофизическая характеристика												
Статистич. параметры по 100 опр.	ρ	W	n	V_p	E	G	μ	$R_{cж}$	Место отбора проб			
X(min-max)	2,6-2,64	0,8-1,21	1,84-3,81	3,5-4,4	3,1-4,5	1,5-2,4	0,18-0,21	80-125	Центральная часть Капанского рудного поля			
S	2,66	0,95	2,54	4,11	3,91	1,92	0,16	115				
Петрографическая характеристика												
Макроскоп. описание	Минеральный состав в%									Структура		
	вкрапленники			основная масса			вторичные		породы		основной массы	
Серо-зеленоватый	Плагиоклаз-25-30, кварц-8-12 амфибол			Кварц-5-8, плагиоклаз-10-25			Хлорит, альбит магнетит		Порфировая		микролитовая	
SiO ₂	TiO ₂	Al ₂ O ₃	Fe ₂ O ₃	FeO	MnO	MgO	CaO	Na ₂ O	K ₂ O	H ₂ O	ППП	сумма
68,08	0,70	10,21	5,33	2,68	0,30	4,70	0,88	2,82	0,51	1,6	1,3	99,11

Андезито-дациты (кварц-хлорит-серицитовая фация)									Средняя юра (байос-ват)			
Статистич. Параметры по 24 опр.	Петрофизическая характеристика								Место отбора проб			
	ρ	W	n	V_p	E	G	μ	$R_{cж}$				
X(min-max)	2,54-2,62	1,9-2,80	5,1-7,30	3,2-4,50	3,2-3,80	1,2-2,10	0,2-0,12	65-80	Капанское месторождение, участок Катар			
S	2,57	2,24	6,72	3,74	3,4	1,62	0,8	72				
Петрографическая характеристика (гидротермально измененные)												
Макроскоп. Описание	Минеральный состав в%								Структура			
	вкрашенники		основная масса			вторичные		породы		основной массы		
Зеленовато-серый	Плагиоклаз-15-25, пироксен-8-10, кварц-8-10, биотит-0,5-1, магнетит		Андезин-20-30, пироксен-10-12, вулканическое стекло-5-10, кварц-4-8			Кварц, серицит биотит		Порфировая		Микрофельзитовая		
SiO ₂	TiO ₂	Al ₂ O ₃	Fe ₂ O ₃	FeO	MnO	MgO	CaO	Na ₂ O	K ₂ O	H ₂ O	ППП	сумма
60,01	0,80	15,21	6,73	1,84	0,10	2,13	1,36	3,03	0,44	0,48	2,70	99,82

Андезито-базальты (миндалекаменные)									Средняя юра (байос)			
Статистич. параметры по 110 опр.	Петрофизическая характеристика								Место отбора проб			
	ρ	W	n	V_p	E	G	μ	$R_{cж}$				
X(min-max)	2,62-2,67	0,7-1,21	1,84-3,2	3,8-4,8	3,5-4,2	1,8-2,2	0,22-0,3	90-120	Юго-западная часть Капанского рудного поля. Ущелье р. Каварт и Гладзор. Отрог Каварт, Халадж			
S	2,64	0,92	2,64	4,01	3,91	1,96	0,27	100				
Петрографическая характеристика												
Макроскоп. Описание	Минеральный состав в%								Структура			
	вкрашенники		основная масса			вторичные		породы		основной массы		
Зеленовато-серый	Фенокристаллы, андезина-20-45, миндалевидны с хлоритом, кварцем, карбонатом, эпидотом-25		Альбит-олигоклаз-андезин-20-25			Кварц, хлорит пренит		Порфировая, миндалекаменная		Микролитовая, гиалопилитовая, флюидальная		
SiO ₂	TiO ₂	Al ₂ O ₃	Fe ₂ O ₃	FeO	MnO	MgO	CaO	Na ₂ O	K ₂ O	H ₂ O	ППП	сумма
53,20	2,27	15,33	2,88	5,41	0,13	4,89	3,87	5,18	0,60	1,11	5,18	99,83

Петрофизическая характеристика									Средняя юра (байос-ват)			
Статистич. параметры по 62 опр.	ρ	W	n	V_p	E	G	μ	$R_{cж}$	Место отбора проб			
X(min-max)	2,46-2,58	2,02-2,4	3,8-6,5	3,5-4,5	2,85-3,15	1,10-1,8	0,18-0,22	50-85	Капан рудники 7-10 им. Комсомола			
S	2,52	2,30	5,22	4,0	3,0	1,55	0,20	70				
Петрографическая характеристика												
Макроскоп. Описание	Минеральный состав в%							Структура				
	вкрапленники			основная масса		вторичные		породы		основной массы		
Зеленый, зеленовато-серый	Плагиоклаз-25-30, карбонаты-3-4	Кварц-5-10, плагиоклаз-20- 25	Сернцит, кварц хлорит, карбо-наты, пренит	Порфировая			Гиалопилитовая					
SiO ₂	TiO ₂	Al ₂ O ₃	Fe ₂ O ₃	FeO	MnO	MgO	CaO	Na ₂ O	K ₂ O	H ₂ O	ППП	сумма
54,4	1,87	15,28	4,36	7,12	0,29	5,41	3,88	4,56	0,71	1,01	1,21	100,09

Петрофизическая характеристика									Место отбора проб
Статистич.параметры по 64 опр.	ρ	W	n	V_p	E	G	μ	$R_{cж}$	
X(min-max)	2,68-2,70	0,25-0,49	0,5-1,4	5,0-7,5	5,6-6,3	2,3-3,0	0,24-0,28	145-160	Долина среднего течения р.Вохчи и реч.Каварт. Южн. Склон Куртамякского отрога
S	2,70	0,38	1,05	6,23	5,96	2,62	0,27	150	

Петрографическая характеристика Автометаморфизованные												
Макроскоп. описание		Минеральный состав в%					Структура					
		вкрапленники		основная масса		вторичные		породы				
Серо-зеленоватый		Плагиоклаз-25-35, моноклин. Пироксен-10-17		Лейсты-микролиты плагиоклаза-25, вулканическое стекло-до 25		Эпидот,серицит, карбонаты,магнетит		Миндаль-каменная, брекчиявая				
SiO ₂	TiO ₂	Al ₂ O ₃	Fe ₂ O ₃	FeO	MnO	MgO	CaO	Na ₂ O	K ₂ O	H ₂ O	ППП	сумма
53,7	0,91	16,76	5,30	3,43	0,67	4,94	6,22	4,15	0,36	0,67	2,91	100,11

1.5. Жильные породы Капанского рудного поля

Плагиопорфирь (жильные)									Посленеоком				
Статистич.параметры по 12 опр.		Петрофизическая характеристика							Место отбора проб				
X(min-max)	ρ	W	n	V _p	E	G	μ	R _{сж}					
S	2,69	0,52	1,41	4,5	4,9	3,0	0,14	98	Район г.Саял-Кар				
Петрографическая характеристика													
Макроскоп. описание		Минеральный состав в %						Структура					
		Главные				вторичные		породы					
Зеленовато-серый		Плагиоклаз-35, кварц-40, биотит-5, к.п.ш.-15, рудные минералы				Хлорит карбонаты		Порфировая с микрофельзитовой основной массы					
SiO ₂	TiO ₂	Al ₂ O ₃	Fe ₂ O ₃	FeO	MnO	MgO	CaO	Na ₂ O	K ₂ O	H ₂ O	ППП		
71,18	0,48	11,62	1,38	1,94	0,12	1,34	4,68	2,22	1,70	1,38	2,0		
сумма													

Диабазовые порфиры (жильные)									Нижний мел (неоком)				
Статистич. параметры по 22 опр.		Петрофизическая характеристика							Место отбора проб				
X(min-max)	ρ	W	n	V _p	E	G	μ	R _{сж}					
S	2,73	0,31	0,71	5,5	6,95	3,56	0,19	122	Капанское и Шаумянское месторождение с. Гегануш у Аэропорта				
Петрографическая характеристика													
Макроскоп. Описание		Минеральный состав в %						Структура					
		Главные				вторичные		породы					
Темно-зеленый, зеленовато-серый		Плагиоклаз-45, клинопироксн-20, роговая обманка-15, акцесс. апатит, магнетит				Хлорит,карбонат эпидот		Порфировая, офитовая					
SiO ₂	TiO ₂	Al ₂ O ₃	Fe ₂ O ₃	FeO	MnO	MgO	CaO	Na ₂ O	K ₂ O	H ₂ O	ППП		
48,5	0,82	17,40	3,65	6,21	0,02	5,13	7,88	3,11	1,21	3,87	2,66		
сумма													

Габбро-диабазы (жильные)									Посленеоком			
Петрофизическая характеристика												
Статистич. параметры по 12 опр.		ρ	W	n	V_p	E	G	μ	$R_{cж}$	Место отбора проб		
X(min-max)		2,76-2,80	0,18-0,45	0,5-1,25	5,6-6,2	6,0-6,4	3,2-4,23	0,20-0,22	135-170	уч.Каварт		
S		2,78	0,31	0,89	5,9	6,19	3,81	0,21	154			

Петрографическая характеристика												
Макроскоп. описание		Минеральный состав в %								Структура		
		Главные				вторичные				породы		
Серый		Плагиоклаз-45, пироксен-3, кварц-10, к.п.ш., акцесс. титаномагнетит, пирит								Порфировая, габбровая		
SiO_2	TiO_2	Al_2O_3	Fe_2O_3	FeO	MnO	MgO	CaO	Na_2O	K_2O	H_2O	ППП	сумма
47,66	1,20	17,50	2,26	5,43	0,20	4,43	10,87	3,82	0,13	1,08	5,24	99,73

Габбро-диориты (жильные)									Нижний мел (неоком)		
Петрофизическая характеристика									Место отбора проб		
Статистич. параметры по 16 опр.		ρ	W	n	V_p	E	G	μ			
X(min-max)		2,74-2,82	0,17-0,35	0,5-1,0	4,5-6,0	6,2-7,0	3,20-4,22	0,2-0,24	120-160		
S		2,78	0,29	0,82	5,3	6,7	3,82	0,22	140		

Петрографическая характеристика												
Макроскоп. Описание		Минеральный состав в %								Структура		
		Главные				вторичные				породы		
Светло-серый, серо-зленоватый		Плагиоклаз-30, гиперстен-8, клинопироксен-20, биотит-10, роговая обманка-5, акцесс агнетит, апатит								Габбровая, аллотриоморфнозернистая		
SiO_2	TiO_2	Al_2O_3	Fe_2O_3	FeO	MnO	MgO	CaO	Na_2O	K_2O	H_2O	ППП	сумма
55,38	1,03	17,28	4,56	4,78	0,25	3,87	7,13	3,73	2,13	1,89	1,01	99,31

Каврцевый альбитофир (жильный)									Посленеоком			
Петрофизическая характеристика												
Статистич. параметры по 14 опр.	ρ	W	n	V_p	E	G	μ	$R_{cж}$	Место отбора проб			
X(min-max)	2,67-2,72	0,45-1,0	1,2-2,7	4,8-5,3	5,2-6,0	2,4-3,3	0,13-0,16	80-120	к югу г.Саял-Карского штока, Левый берег бассейна р.Вохчи			
S	2,69	0,62	2,0	5,0	5,6	2,8	0,15	100				
Петрографическая характеристика												
Макроскоп. описание	Минеральный состав в %								Структура породы			
	Главные				вторичные							
Фиолетовый	Кварц-45, плагиоклаз-30, олигоклаз-альбит-18, апатит				Серицит, хлорит ярозит, каолинит				Порфировая с гиалопилитовой и микрофельзитовой структурой основной массы			
SiO ₂	TiO ₂	Al ₂ O ₃	Fe ₂ O ₃	FeO	MnO	MgO	CaO	Na ₂ O	K ₂ O	H ₂ O	ППП	сумма
72,97	0,77	13,23	2,91	0,43	0,07	0,91	1,11	5,39	0,29	1,87	-	99,95

11

Габбро-диориты (жильные)									Средняя юра (Верхний байос)			
Петрофизическая характеристика									Место отбора проб			
Статистич. параметры по 18 опр.	ρ	W	n	V_p	E	G	μ	$R_{cж}$				
X(min-max)	2,72-2,80	0,13-0,30	0,35-0,90	6,1-6,6	7,1-8,3	3,18-4,01	0,20-0,29	160-200	Шаумянское месторождение			
S	2,78	0,22	0,63	6,38	7,68	3,62	0,24	180				
Петрографическая характеристика												
Макроскоп. описание	Минеральный состав в %								Структура породы			
	Главные				вторичные							
Темно-серый, зеленовато-серый	Плагиоклаз-50, авгит, роговая обманка-5				Хлорит, альбит карбонаты				Порфировая с диабазовой основной массы			
SiO ₂	TiO ₂	Al ₂ O ₃	Fe ₂ O ₃	FeO	MnO	MgO	CaO	Na ₂ O	K ₂ O	H ₂ O	ППП	сумма
48,2	0,53	18,21	4,31	6,32	0,28	7,13	10,0	2,12	0,38	0,41	1,51	99,48

Гранодиорит-порфирь (жильные)									Средняя юра (верхний байос)				
Петрофизическая характеристика													
Статистич.параметры по 10 опр.		ρ	W	n	V_p	E	G	μ	$R_{c,k}$	Место отбора проб			
X(min-max)		2,64-2,67	0,6-1,0	1,58-2,6	4,4-4,7	5,3-5,7	2,6-3,8	0,18-0,2	150-175	Шаумянское месторождение			
S		2,66	0,8	1,78	4,58	5,53	3,10	0,19	160				
Петрографическая характеристика													
Макроскоп. описание		Минеральный состав в %							Структура породы				
		Главные				вторичные							
Светло-зеленовато-серый		Альбит-45, к.п.ш.-20, биотит-12, роговая обманка -7, кварц-15, акцесс. сфен, апатит				Хлорит,анкерит Эпидот,альбит			Порфировая аллотриоморфнозернистая				
SiO ₂	TiO ₂	Al ₂ O ₃	Fe ₂ O ₃	FeO	MnO	MgO	CaO	Na ₂ O	K ₂ O	H ₂ O	ППП	сумма	
64,13	0,21	12,21	3,25	2,51	0,12	2,62	3,81	3,83	3,40	0,22	0,72	100,0	

1.6. Интрузивные породы Капанского рудного поля

Кварцевый диорит									Верхний эоцен-нижний олигоцен			
Петрофизическая характеристика									Место отбора проб			
Статистич.параметры по 8 опр.		ρ	W	n	V_p	E	G	μ	$R_{c,k}$			
X(min-max)		2,68-2,76	0,23-0,46	0,60-1,25	5,4-5,8	5,0-5,8	2,1-3,4	0,16-0,2	200-260			
S		2,72	0,37	0,92	5,59	5,35	2,81	0,18	230			
Петрографическая характеристика												
Макроскоп. Описание		Минеральный состав в %							Структура породы			
		Главные				вторичные						
Серый, светло-зеле-новато-серый		Плагиоклаз-олигоклаз-андезин-50-55,амфибол-5-25, пироксен-3-6,кварц-10-20, к.п.ш.-1-5,роговая обманка-3-5, биотит-2-3,акцесс-апатит, магнетит				Хлорит,эпидот, серицит,кальцит			Гипидиоморфнозернистая			
SiO ₂	TiO ₂	Al ₂ O ₃	Fe ₂ O ₃	FeO	MnO	MgO	CaO	Na ₂ O	K ₂ O	H ₂ O	ППП	сумма
60,2	0,95	20,26	3,48	1,38	0,13	4,13	7,43	2,31	1,22	0,88	1,18	100,05

Габбро-диорит									Верхний эоцен-нижний олигоцен			
Петрофизическая характеристика												
Статистич. Параметры по 12 опр.	ρ	W	n	V_p	E	G	μ	$R_{cж}$	Место отбора проб			
X(min-max)	2,76-2,80	0,81-0,9	2,0-2,75	5,8-6,6	6,8-7,6	3,1-3,8	0,17-0,22	160-240	Цавский массив			
S	2,78	0,86	2,42	6,20	7,19	3,51	0,19	200				
Петрографическая характеристика												
Макроскоп. Описание	Минеральный состав в %								Структура породы			
	Главные				вторичные							
Темно-зеленовато-серый	Плагиоклаз -45-60, амфибол-15-20, пироксен-5-15, к.п.ш.-1-2, акцесс-апатит, магнетит, сфен				Хлорит, серицит карбонат				Габбровая, офитовая			
SiO ₂	TiO ₂	Al ₂ O ₃	Fe ₂ O ₃	FeO	MnO	MgO	CaO	Na ₂ O	K ₂ O	H ₂ O	ППП	сумма
49,18	0,98	18,88	4,14	5,36	0,18	4,86	7,17	4,01	2,10	0,88	0,77	100,51

Граниты									Верхний эоцен-нижний олигоцен			
Петрофизическая характеристика									Место отбора проб			
Статистич. параметры по 20 опр.	ρ	W	n	V_p	E	G	μ	$R_{cж}$				
X(min-max)	2,64-2,68	0,28-0,62	0,75-1,65	5,6-6,4	5,8-6,1	2,1-3,0	0,18-0,23	170-220				
S	2,65	0,49	1,31	6,0	5,91	2,6	0,20	192				
Петрографическая характеристика												
Макроскоп. описание	Минеральный состав в %								Структура породы			
	Главные				вторичные							
Розовый	Плагиоклаз-40-45, к.п.ш.-30-35, амфибол-5-7, кварц-20-25, акцесс-апатит, циркон, сфен, магнетит				Серицит, хлорит				Гипидиоморфнозернистая, гранитовая микропегматитовая			
SiO ₂	TiO ₂	Al ₂ O ₃	Fe ₂ O ₃	FeO	MnO	MgO	CaO	Na ₂ O	K ₂ O	H ₂ O	ППП	сумма
71,92	0,29	14,3	1,58	2,04	0,03	0,24	0,56	4,44	3,92	0,21	0,45	100,0

Гранодиорит									Верхний эоцен-нижний олигоцен			
Петрофизическая характеристика												
Статистич. параметры по 28 опр.	ρ	W	N	V_p	E	G	μ	$R_{cж}$	Место отбора проб			
X(min-max)	2,68-2,73	0,22-0,5	0,6-1,4	4,6-5,4	4,2-5,1	2,5-3,6	0,2-0,25	200-250	Цавский массив			
S	2,71	0,31	1,10	5,15	4,66	3,01	0,22	230				
Петрографическая характеристика												
Макроскоп. описание	Минеральный состав в %							Структура				
	Главные				вторичные			породы				
Розовато-серый	Плагиоклаз-40-45, кварц-10-15, к.п.ш.-15-20, роговая обманка-8-13, акцесс-апатит, сфен, магнетит, циркон				Серицит, эпидот карбонат			Гипидиоморфнозернистая				
SiO ₂	TiO ₂	Al ₂ O ₃	Fe ₂ O ₃	FeO	MnO	MgO	CaO	Na ₂ O	K ₂ O	H ₂ O	ППП	сумма
64,26	1,00	15,16	2,06	4,52	0,11	1,21	2,69	5,87	2,35	0,10	0,17	99,70

2. Медно-молибденовая формация.

2.1. Вулканогенно-осадочные породы Каджаранского рудного поля

Базальты									Средний эоцен			
Петрофизическая характеристика									Место отбора проб			
Статистич. параметры 20 опр.	ρ	W	n	V_p	E	G	μ	$R_{cж}$				
X(min-max)	2,60-2,64	0,58-1,46	2,45-3,95	2,8-3,5	3,4-4,0	1,5-2,1	0,20-0,24	76-84				
S	2,62	1,14	2,98	3,2	3,8	1,72	0,22	80				
Петрографическая характеристика												
Макроскоп. описание	Минеральный состав в%							Структура				
	вкрапленники			основная масса		вторичные		породы		основной массы		
Серый	Плагиоклаз-25-35, роговая обманка -2-3			Плагиоклаз-40-45, роговая обманка 5-12, пироксен-5-8, акцесс-пирит, магнетит		Хлорит, эпидот карбонаты		Порфировая полифирировая		Толентовая интерсертальная		
SiO ₂	TiO ₂	Al ₂ O ₃	Fe ₂ O ₃	FeO	MnO	MgO	CaO	Na ₂ O	K ₂ O	H ₂ O	ППП	сумма
46,6	0,54	23,01	4,55	5,84	0,12	5,18	10,02	3,83	0,8	0,11	0,10	100,70

Роговики роговообманковые									Верхний эоцен-нижний олигоцен		
Петрофизическая характеристика											
Статистич. параметры по 20 опр.	ρ	W	n	V_p	E	G	μ	$R_{cж}$	Место отбора проб		
X(min-max)	2,78-2,82	0,43-0,49	1,2-1,4	5,8-6,0	6,1-7,8	3,1-3,8	0,16-0,19	132-187	Левобережье Каджаранского месторождения		
S	2,80	0,45	1,3	5,9	7,01	3,58	0,18	152			
Петрографическая характеристика											
Макроскоп. описание	Минеральный состав в%									Структура	
	вкрашенники			основная масса			вторичные			породы	
Темно-зеленоватый до черного	Плагиоклаз-5-10, актинолитовая роговая обманка-5-8			Роговая обманка-25-35, плагиоклаз-40-45, биотит-5- 8			Биотит, хлорит			Порфиро-бластовая мозаичная	
SiO_2	TiO_2	Al_2O_3	Fe_2O_3	FeO	MnO	MgO	CaO	Na_2O	K_2O	H_2O	ППП
59,0	1,08	17,21	9,45	3,28	2,54	2,08	2,68	1,36	2,01	-	сумма
											100,69

Андезиты роговообманковые									Средний эоцен		
Петрофизическая характеристика											
Статистич.параметры по 26 опр.	ρ	W	n	V_p	E	G	μ	$R_{cж}$	Место отбора проб		
X(min-max)	2,60-2,64	0,7-1,8	1,5-2,35	3,9-4,5	4,2-4,8	2,0-2,9	0,17-0,22	70-85	Северный склон Пирамсарского хребта		
S	2,62	1,5	2,06	4,2	4,45	2,63	0,19	78			
Петрографическая характеристика											
Макроскоп. описание	Минеральный состав в%									Структура	
	вкрашенники			основная масса			вторичные			породы	
Зеленовато-серый	Роговая обманка-25-30, полевой шпат-2-3			Плагиоклаз-лабрадор, роговая обманка, кварц,биотит			Хлорит			Порфировая полифировая	
SiO_2	TiO_2	Al_2O_3	Fe_2O_3	FeO	MnO	MgO	CaO	Na_2O	K_2O	H_2O	ППП
53,14	0,26	18,14	5,28	4,48	0,19	4,73	6,78	2,39	2,08	0,24	сумма
											100,11

2.2. Жильные породы Каджаранского рудного поля

Габбро-ортоклазовые									Верхний эоцен-нижний олигоцен			
Петрофизическая характеристика												
Статистич. Параметры по 21 опр.	ρ	W	n	V_p	E	G	μ	$R_{cж}$	Место отбора проб			
X(min-max)	2,76-2,8	0,5-0,8	1,4-2,4	6,1-6,8	5,5-5,9	2,3-3,8	0,10-0,14	110-145	Каджаранское месторождение			
S	2,78	0,68	1,89	6,47	5,71	3,0	0,12	121				
Петрографическая характеристика												
Макроскоп. Описание	Минеральный состав в %								Структура породы			
	Главные				вторичные							
Темно-серый	Плагиоклаз-30-45, монокл. Пироксен-10-15, роговая обманка-5-10, биотит-5-8, к.п.ш.-8-12, кварц-3-5, акцесс-апатит				Хлорит, кварц				Гипидиоморфнозернистая, монционитовая			
SiO ₂	TiO ₂	Al ₂ O ₃	Fe ₂ O ₃	FeO	MnO	MgO	CaO	Na ₂ O	K ₂ O	H ₂ O	ППП	сумма
48,9	0,35	19,94	6,84	5,26	0,18	4,28	10,3	0,77	1,28	-	1,06	99,72

122

Диорит-порфирыты (жильные)									Верхний эоцен-нижний олигоцен			
Петрофизическая характеристика												
Статистич. параметры по 22 опр.	ρ	W	n	V_p	E	G	μ	$R_{cж}$	Место отбора проб			
X(min-max)	2,66-2,72	0,37-0,5	1,0-1,35	4,2-4,6	3,2-3,8	1,4-1,6	0,18-0,22	100-135	Северная часть Мегринского го плутона, Каджаран			
S	2,69	0,42	1,12	4,4	3,55	1,5	0,20	122				
Петрографическая характеристика												
Макроскоп. Описание	Минеральный состав в %								Структура породы			
	Главные				вторичные							
Темно-серый, зеленоватый	Плагиоклаз-10-18, роговая обманка-5-15, ионит-3-5, к.п.ш.-5-8, кварц-3-5, акцесс-апатит, сфеен, пирит				Хлорит, карбонаты Эпидот, серицит				Порфировая, гипидиоморфнозернистая			
SiO ₂	TiO ₂	Al ₂ O ₃	Fe ₂ O ₃	FeO	MnO	MgO	CaO	Na ₂ O	K ₂ O	H ₂ O	ППП	сумма
56,05	0,41	20,08	0,85	4,08	0,18	4,28	4,85	5,13	2,87	1,6	1,7	99,9

Сиенито-диориты (жильные)									Верхний эоцен-нижний олигоцен			
Петрофизическая характеристика												
Статистич. параметры по 20 опр.	ρ	W	n	V_p	E	G	μ	$R_{cж}$	Место отбора проб			
X(min-max)	2,64-2,7	0,37-0,6	1,0-1,6	5,8-6,3	5,7-6,1	2,1-3,2	0,19-0,23	95-120	Северная часть Мегринского plutона			
S	2,67	0,48	1,25	6,0	5,93	2,63	0,20	110				
Петрографическая характеристика												
Макроскоп. описание	Минеральный состав в %								Структура породы			
	Главные				вторичные							
Темно-серый, розоватый	Плагиоклаз-25-40, ортоклаз-30-40, роговая обманка-3-8, биотит-57, акцесс-апатит, сфен, циркон								Гипидиоморфнозернистая, монцонитовая			
SiO ₂	TiO ₂	Al ₂ O ₃	Fe ₂ O ₃	FeO	MnO	MgO	CaO	Na ₂ O	K ₂ O	H ₂ O	ППП	сумма
56,64	0,55	20,39	2,57	2,33	0,05	1,53	5,71	5,46	3,75	-	0,71	100,69

123

Габбро-диорит ортоклазовый (жильные)									Верхний эоцен-нижний плиоцен			
Петрофизическая характеристика												
Статистич. параметры по 28 опр.	ρ	W	n	V_p	E	G	μ	$R_{cж}$	Место отбора проб			
X(min-max)	2,70-2,72	0,4-0,6	1.1-1,4	5,7-6,4	5,8-6,7	2,7-3,1	0,17-0,20	90-125	Левобережье р.Вохчи, Каджаранское месторождение			
S	2,71	0,49	1,24	6,0	6,41	2,95	0,19	105				
Петрографическая характеристика												
Макроскоп. описание	Минеральный состав в %								Структура породы			
	Главные				вторичные							
Темно-серый	Плагиоклаз-35-50, ортоклаз-15-20, роговая обманка-510, биотит-3-10, кварц-2-3, акцесс-магнетит, титанит, апатит								Гипидиоморфнозернистая			
SiO ₂	TiO ₂	Al ₂ O ₃	Fe ₂ O ₃	FeO	MnO	MgO	CaO	Na ₂ O	K ₂ O	H ₂ O	ППП	сумма
57,85	0,72	18,13	4,21	3,66	0,08	2,76	6,24	3,81	1,96	-	0,35	99,77

Керсантиты (жильные)									Верхний эоцен-нижний олигоцен			
Петрофизическая характеристика												
Статистич. параметры по 10 опр.	ρ	W	n	V_p	E	G	μ	$R_{cж}$	Место отбора проб			
X(min-max)	2,67-2,72	0,45-0,77	1,2-2,1	3,4-4,0	4,40-5,0	2,3-3,0	0,17-0,20	100-135	Левобережье р.Охчи			
S	2,69	0,66	1,79	3,76	4,66	2,75	0,19	115,6				
Петрографическая характеристика												
Макроскоп. описание	Минеральный состав в %								Структура			
	Главные				вторичные				Породы			
Темно-серый	Плагиоклаз-15020, биотит-10-15, амфибол-5-10, к.п.ш.-2-3, кварц-5-8, пироксен-7-10, акцесс-сфен, апатит, редко, циркон				Серицит,хлорит карбонаты биотит				Криптовая, микрозернистая			
SiO ₂	TiO ₂	Al ₂ O ₃	Fe ₂ O ₃	FeO	MnO	MgO	CaO	Na ₂ O	K ₂ O	H ₂ O	ППП	Сумма
45,45	1,07	21,27	3,88	4,84	0,18	5,15	7,84	4,08	1,70	0,80	4,00	100,26

Аплиты (жильные)									Верхний эоцен-нижний олигоцен			
Петрофизическая характеристика												
Статистич. параметры по 12 опр.	ρ	W	n	V_p	E	G	μ	$R_{cж}$	Место отбора проб			
X(min-max)	2,64-2,68	0,51-0,91	1,35-2,45	3,9-4,2	4,8-5,2	2,8-3,0	0,16-0,23	120-150	Каджаранско месторождение, Левобережье р.Охчи			
S	2,65	0,74	1,97	4,0	5,0	2,92	0,18	132				
Петрографическая характеристика												
Макроскоп. описание	Минеральный состав в %								Структура			
	Главные				вторичные				породы			
Розовато-серый	К.п.ш.-25-30, альбит-20-30, кварц-25-30, биотит-5-10, акцесс-сфен, рудный минерал, апатит				Хлорит				Панидноморфнозернистая, аплитовая			
SiO ₂	TiO ₂	Al ₂ O ₃	Fe ₂ O ₃	FeO	MnO	MgO	CaO	Na ₂ O	K ₂ O	H ₂ O	ППП	сумма
77,50	0,18	10,86	0,80	1,16	0,02	0,70	1,24	1,28	6,44	0,10	0,58	100,86

Габбро-диориты (кварцевые, ортоклазовые, жильные)									Верхний эоцен-нижний олигоцен			
Петрофизическая характеристика												
Статистич.параметры по 31 опр.	ρ	W	n	V_p	E	G	μ	$R_{cж}$	Место отбора проб			
X(min-max)	2,62-2,65	0,30-0,59	0,8-1,6	4,2-5,6	5,2-5,7	2,7-3,1	0,14-0,18	95-135	Краевая фация гранодиоритов в Левобережье Каджаранского месторождения			
S	2,63	0,44	1,29	4,9	5,45	2,95	0,16	110				
Петрографическая характеристика												
Макроскоп. описание	Минеральный состав в %								Структура			
	Главные				вторичные				породы			
Темно-серый	Роговая обманка-25, пироксен-5, биотит-10, андезин-35, ортоклаз-10, кварц-5, акцесс-апатит, магнетит								Гипидиоморфнозернистая			
SiO ₂	TiO ₂	Al ₂ O ₃	Fe ₂ O ₃	FeO	MnO	MgO	CaO	Na ₂ O	K ₂ O	H ₂ O	ППП	сумма
55,4	0,62	19,40	3,81	3,92	0,04	3,40	7,88	3,81	2,88	0,61	-	99,49

2.3. Интрузивные породы Каджаранского рудного поля

Кварцевые монцониты									Верхний эоцен-нижний олигоцен			
Петрофизическая характеристика												
Статистич.параметры по 31 опр.	ρ	W	n	V_p	E	G	μ	$R_{cж}$	Место отбора проб			
X(min-max)	2,62-2,65	0,40-0,67	0,8-1,6	4,2-5,6	5,0-5,4	2,3-3,0	0,14-0,18	110-135	Район с.Охчи			
S	2,63	0,58	1,29	4,9	5,25	2,48	0,16	128				
Петрографическая характеристика												
Макроскоп. описание	Минеральный состав в %								Структура			
	Главные				вторичные				породы			
Темно-серый	Плагиоклаз-40-45, кварц-8-10, к.п.ш.-30-40, роговая обманка-5-10, биотит, акцесс-апатит, рудный минерал								Монцонитовая			
SiO ₂	TiO ₂	Al ₂ O ₃	Fe ₂ O ₃	FeO	MnO	MgO	CaO	Na ₂ O	K ₂ O	H ₂ O	ППП	сумма
56,62	0,72	17,63	3,02	3,72	0,10	3,37	6,42	2,72	4,58	0,42	0,35	99,67

Монцониты									Верхний эоцен-олигоцен			
Петрофизическая характеристика												
Статистич. параметры по 46 опр.	ρ	W	n	V_p	E	G	μ	$R_{cж}$	Место отбора проб			
X(min-max)	2,62-2,67	0,89-1,21	2,01-2,41	5,1-6,1	5,87-6,48	2,56-3,41	0,18-0,22	125-145	Каджаранское месторождение			
S	2,65	1,08	2,26	5,85	6,36	3,18	0,21	132				
Петрографическая характеристика												
Макроскоп. описание	Минеральный состав в %								Структура породы			
	Главные				вторичные							
Темно-серый	Плагиоклаз-30-35, к.п.ш.-20-30, роговая обманка-8-10, биотит-15-18, кварц-5-8, пироксен-2-3, акцесс-апатит, сфен, оортит								Монцонитовая			
SiO ₂	TiO ₂	Al ₂ O ₃	Fe ₂ O ₃	FeO	MnO	MgO	CaO	Na ₂ O	K ₂ O	H ₂ O	ППП	сумма
51,1	1,10	18,7	5,8	5,12	0,17	2,83	5,19	4,02	3,90	0,69	1,7	100,32

Монцониты сильно каолизированные									Верхний эоцен-нижний олигоцен			
Петрофизическая характеристика												
Статистич. параметры по 37 опр.	ρ	W	n	V_p	E	G	μ	$R_{cж}$	Место отбора проб			
X(min-max)	2,38-2,56	1,25-2,10	4,3-5,2	3,0-4,0	2,8-3,3	1,28-1,81	0,15-0,19	68-74	Центральный участок Каджаранского месторождения			
S	2,46	1,90	4,81	3,46	3,0	1,52	0,17	70				
Петрографическая характеристика (гидротермально измененные)												
Макроскоп. описание	Минеральный состав в %								Структура породы			
	Главные				вторичные							
Серый	Плагиоклаз-20-25, роговая обманка-10-15, пироксен-3-7, биотит-10-12, калишпат-15-20, акцесс-апатит, сфен, рудный минерал								Реликтовая, монцонитовая			
SiO ₂	TiO ₂	Al ₂ O ₃	Fe ₂ O ₃	FeO	MnO	MgO	CaO	Na ₂ O	K ₂ O	H ₂ O	ППП	сумма
53,46	1,20	18,50	6,04	4,54	0,13	3,38	6,85	4,76	3,92	-	0,5	99,94

Петрофизическая характеристика									Место отбора проб			
Статистич.параметры по 38 опр.	ρ	W	n	V_p	E	G	μ	$R_{c\kappa}$				
X(min-max)	2,47-2,54	2,0-2,3	5,0-6,0	3,75-4,3	2,7-3,0	1,5-1,8	0,21-0,24	85-100	Калжаранско месторождение			
S	2,51	2,2	5,58	4,0	2,97	1,65	0,23	92				
Петрографическая характеристика (гидротермально измененные)												
Макроскоп. описание	Минеральный состав в %						Структура					
	Главные			вторичные			породы					
Светло-серый	Плагиоклаз-29, к.п.ш.-25, пироксен-10, биотит-5, кварц-18, рудный минерал	Biotit, кварц серрицит	Аллотриоморфнозернистая									
SiO ₂	TiO ₂	Al ₂ O ₃	Fe ₂ O ₃	FeO	MnO	MgO	CaO	Na ₂ O	K ₂ O	H ₂ O	ППП	сумма
54,50	1,00	16,21	5,01	5,80	0,10	5,45	3,80	3,13	2,60	0,78	2,80	100,88

Монцониты (кварц-андалузит-каолинизированные)								Верхний эоцен-нижний олигоцен				
Петрофизическая характеристика												
Статистич.параметры по 48 опр.		ρ	W	n	V_p	E	G	μ	$R_{сж}$	Место отбора проб		
X(min-max)		2,28-2,56	2,0-2,5	5,0-5,84	2,98-3,25	2,13-2,43	1,10-1,32	0,16-0,20	70-81	Центральный участок Каджаранского месторождения		
S		2,48	2,27	5,59	3,15	2,30	1,21	0,18	75			

Монцонит (кварц-биотитизированные)									Верхний эоцен-нижний олигоцен			
Петрофизическая характеристика												
Статистич. параметры по 29 опр.	ρ	W	n	V_p	E	G	μ	$R_{cж}$	Место отбора проб			
X(min-max)	2,52-2,64	1,12-1,85	3,6-4,28	3,0-3,9	3,1-4,0	1,40-1,70	0,18-0,29	65-75	Центральный участок Каджаранского месторождения			
S	2,58	1,65	4,10	3,5	3,7	1,52	0,24	70				
Петрографическая характеристика (гидротермально измененные)												
Макроскоп. описание	Минеральный состав в %								Структура			
	Главные				вторичные				породы			
Темно-серый	Плагиоклаз-30-35, кварц-7-12, биотит-20-30, роговая обманка-5-8, калишпат-20-25, акцесс-апатит, сфен, рудный минерал				Биотит, кварц хлорит				Монцонитовая, аллотриоморфнозернистая			
SiO ₂	TiO ₂	Al ₂ O ₃	Fe ₂ O ₃	FeO	MnO	MgO	CaO	Na ₂ O	K ₂ O	H ₂ O	ППП	сумма
52,62	1,20	17,81	6,29	3,34	0,14	2,40	7,17	3,55	4,26	-	0,9	100,68

128

Монцонит (амфибол-эпидот-биотитовый)									Верхний эоцен-нижний олигоцен			
Петрофизическая характеристика												
Статистич. параметры по 28 опр.	ρ	W	n	V_p	E	G	μ	$R_{cж}$	Место отбора проб			
X(min-max)	2,62-2,77	0,42-0,57	1,6-2,4	4,8-5,4	6,15-7,25	3,0-3,51	0,22-0,26	130-165	С-В крыло Каджаранского месторождения			
S	2,72	0,48	1,84	5,2	6,79	3,31	0,24	150				
Петрографическая характеристика (гидротермально измененные)												
Макроскоп. описание	Минеральный состав в %								Структура			
	Главные				вторичные				породы			
Беловато-серый	Амфибол-25-35, роговая обманка-8-10, пертит-3-5, биотит-8-12, пироксен-2-3, акцесс-апатит, сфен, циркон				Кварц, эпидот биотит				Монцонитовая			
SiO ₂	TiO ₂	Al ₂ O ₃	Fe ₂ O ₃	FeO	MnO	MgO	CaO	Na ₂ O	K ₂ O	H ₂ O	ППП	сумма
51,16	0,76	20,15	6,36	5,13	0,12	3,72	5,28	4,80	2,24	-	0,48	100,30

Порфировидные гранодиориты									Нижний миоцен			
Петрофизическая характеристика												
Статистич. параметры по 42 опр.	ρ	W	n	V_p	E	G	μ	$R_{cж}$	Место отбора проб			
X(min-max)	2,66-2,72	0,70-0,88	1,8-2,5	5,2-6,4	5,7-6,8	2,5-3,6	0,10-0,14	120-138	Западная часть Каджаранского месторождения			
S	2,70	0,84	2,00	5,9	6,3	3,1	0,12	135				
Петрографическая характеристика												
Макроскоп. Описание	Минеральный состав в %								Структура породы			
	Главные				вторичные							
Серый, светло-серый	Плагиоклаз-35-40, кварц-15-25, ортоклаз-15-25, биотит-1-6, амфибол-3-5, акцесс-сфен				Эпидот, хлорит кварц				Порфировидная гранитовая структура основной массы			
SiO ₂	TiO ₂	Al ₂ O ₃	Fe ₂ O ₃	FeO	MnO	MgO	CaO	Na ₂ O	K ₂ O	H ₂ O	ППП	сумма
68,5	0,28	15,80	2,78	2,48	0,14	0,86	2,31	3,18	2,20	0,48	1,06	100,07

2.4. Интрузивные породы Агаракского месторождения

Граносиениты									Нижний миоцен			
Петрофизическая характеристика												
Статистич. параметры по 52 опр.	ρ	W	n	V_p	E	G	μ	$R_{cж}$	Место отбора проб			
X(min-max)	2,58-2,64	0,86-1,21	2,38-3,0	4,5-5,2	3,9-4,38	2,0-2,5	0,19-0,22	129-158	Агаракское месторождение, уступ 1045			
S	2,62	0,95	2,65	4,5	4,16	2,17	0,21	142				
Петрографическая характеристика												
Макроскоп. Описание	Минеральный состав в %								Структура породы			
	Главные				вторичные							
Серый	Олигоклаз-20-30, роговая обманка-3-5, биотит-0,5-1,2, кварц-8-10, аортоклаз-25-35, акцесс-апатит, сферен				Эпидот, хлорит пеллит				Гипидноморфнозернистая			
SiO ₂	TiO ₂	Al ₂ O ₃	Fe ₂ O ₃	FeO	MnO	MgO	CaO	Na ₂ O	K ₂ O	H ₂ O	ППП	сумма
68,20	0,46	12,5	1,80	2,40	0,08	0,40	2,12	3,90	4,2	0,8	1,0	99,46

Сиенито-диориты

Нижний миоцен

Петрофизическая характеристика									Место отбора проб			
Статистич.параметры по 37 опр.	ρ	W	n	V_p	E	G	μ	$R_{cж}$				
X(min-max)	2,66-2,68	0,78-1,25	2,0-3,35	4,8-5,2	5,3-6,0	2,1-3,4	0,14-0,18	101-135	Агаракское месторождение, уступ 1015			
S	2,67	1,01	2,68	5,0	5,7	2,85	0,16	126				
Петрографическая характеристика												
Макроскоп. описание	Минеральный состав в %							Структура породы				
	Главные				вторичные							
Темно-серый	Плагиоклаз-30-50, ортоклаз-35-40, роговая обманка-7-15, биотит-3-5, пироксен-5-7, акцесс-апатит, сфен, циркон				Хлорит, эпидот карбонаты		Монцонитовая гипидноморфозернистая					
SiO ₂	TiO ₂	Al ₂ O ₃	Fe ₂ O ₃	FeO	MnO	MgO	CaO	Na ₂ O	K ₂ O	H ₂ O	ППП	сумма
54,2	0,48	20,2	3,14	3,38	0,07	2,13	6,13	4,71	4,14	0,50	0,72	99,80

Петрофизическая характеристика									Верхний эоцен-нижний олигоцен							
Статистич. Параметры по 28 опр.	ρ	W	n	V_p	E	G	μ	$R_{cж}$	Место отбора проб							
X(min-max)	2,56-2,60	1,2-1,5	3,2-4,9	4,0-5,3	3,8-4,6	1,8-2,7	0,15-0,17	55-68	Агаракское месторождение, уступ 1090,1165							
S	2,59	1,3	4,2	4,6	4,3	2,25	0,12	60								
Петрографическая характеристика (гидротермально измененные)																
Макроскоп. Описание	Минеральный состав в %							Структура породы								
	Главные				вторичные											
Серый	Плагиоклаз-35-40, ортоклаз-40-45, роговая обманка-5-8, пироксен-5-7, акцесс-апатит, циркон, рудный минерал				Каолин, серицит Хлорит, кварц биотит		Монцонитовая									
SiO ₂	TiO ₂	Al ₂ O ₃	Fe ₂ O ₃	FeO	MnO	MgO	CaO	Na ₂ O	K ₂ O	H ₂ O	ППП	сумма				
56,6	0,27	14,00	2,71	2,73	0,10	1,88	4,87	3,76	3,60	1,41	4,18	100,11				

Гранодиориты									Верхний эоцен-нижний олигоцен			
Петрофизическая характеристика												
Статистич.параметры по 26 опр.		ρ	W	n	V_p	E	G	μ	$R_{cж}$	Место отбора проб		
X(min-max)	2,58-2,65	0,5-1,0	1,8-2,12	5,0-6,8	5,1-5,58	2,13-3,08	0,19-0,21	129-146	Агаракское месторождение, уступ 1045,1160			
S	2,62	0,90	2,0	5,55	5,36	2,48	0,20	140				
Петрографическая характеристика												
Макроскоп. описание		Минеральный состав в %							Структура			
		Главные				вторичные			породы			
Серый		Плагиоклаз-25-35, К.п.ш.-20-22, биотит-5-8, кварц-20-25, амфибол-5-15, акцесс-рудный минерал, сфен, апатит				Хлорит, эпидот			Гранитовая, Гипидиоморфнозернистая			
SiO ₂	TiO ₂	Al ₂ O ₃	Fe ₂ O ₃	FeO	MnO	MgO	CaO	Na ₂ O	K ₂ O	H ₂ O	ППП	сумма
65,15	0,28	16,36	1,18	2,0	1,10	2,12	4,21	4,23	3,18	-	0,5	100,31

131

Гранодиориты (биотит-кварц-карбонат-каолинизированные)									Верхний эоцен-нижний олигоцен			
Петрофизическая характеристика												
Статистич.параметры по 42 опр.		ρ	W	n	V_p	E	G	μ	$R_{cж}$	Место отбора проб		
X(min-max)	2,48-2,54	1,2-1,9	3,75-4,2	3,1-3,95	4,2-4,5	2,8-3,1	0,24-0,28	80-105	Агаракское месторождение			
S	2,56	1,7	4,09	3,68	4,3	3,0	0,26	98				
Петрографическая характеристика (гидротермально измененные)												
Макроскоп. описание		Минеральный состав в %							Структура			
		Главные				вторичные			породы			
Светло-серый		Плагиоклаз-20-30, К.п.ш.-10-12, биотит-5-8, кварц-3-5, роговая обманка-5-7, акцесс-сфен, апатит				Карбонаты,биотит Каолин,кварц			Гипидиоморфнозернистая микропегматитовая			
SiO ₂	TiO ₂	Al ₂ O ₃	Fe ₂ O ₃	FeO	MnO	MgO	CaO	Na ₂ O	K ₂ O	H ₂ O	ППП	сумма
63,8	14,8	4,25	2,18	2,21	0,12	4,21	2,8	3,21	1,28	0,9	0,42	100,18

Гранодиориты (каолин-карбонатизированные)									Верхний эоцен-нижний олигоцен			
Петрофизическая характеристика												
Статистич.параметры по 48 опр.	ρ	W	n	V_p	E	G	μ	$R_{cж}$	Место отбора проб			
X(min-max)	2,56-259	0,62-1,20	1,6-3,10	3,9-4,8	3,2-4,0	1,8-2,6	0,18-0,22	78-95	Агаракское месторождение, уступ 1145,1045			
S	2,57	0,99	2,47	4,2	3,6	2,1	0,2	87,5				
Петрографическая характеристика (гидротермально измененные)												
Макроскоп. описание	Минеральный состав в %								Структура			
	Главные				вторичные				породы			
Светло-серый	Плагиоклаз-25-30, биотит-5-10, кварц-10-12, акцесс-сфен, апатит				Каолин карбонаты кварц				Гипидноморфнозернистая			
SiO ₂	TiO ₂	Al ₂ O ₃	Fe ₂ O ₃	FeO	MnO	MgO	CaO	Na ₂ O	K ₂ O	H ₂ O	ППП	сумма
63,2	0,40	15,7	4,81	2,30	0,12	3,13	5,81	3,20	1,08	1,01	1,02	99,78

2.5. Интрузивные породы Личкского месторождения

Кварцевые диориты									Верхний эоцен-нижний олигоцен			
Петрофизическая характеристика												
Статистич. параметры по 20 опр.	ρ	W	n	V_p	E	G	μ	$R_{cж}$	Место отбора проб			
X(min-max)	2,60-2,68	0,40-0,82	1,2-2,0	5,1-6,2	6,2-8,1	3,8-4,64	0,14-0,19	100-132	Личкское месторождение, шт.30,шт.11,скв.111			
S	2,64	0,64	1,68	5,85	7,96	4,32	0,16	121				
Петрографическая характеристика												
Макроскоп. Описание	Минеральный состав в %								Структура			
	Главные				вторичные				породы			
Темно-серый	Плгиноклаз-40-50, кварц-10-15, роговая обманка-7-12, биотит-8-10, пироксен-3-5, акцесс-апатит, сфен, циркон				Хлорит,эпидот карбонат				Гипидноморфнозернистая			
SiO ₂	TiO ₂	Al ₂ O ₃	Fe ₂ O ₃	FeO	MnO	MgO	CaO	Na ₂ O	K ₂ O	H ₂ O	ППП	сумма
59,4	0,62	19,40	3,81	3,92	0,04	3,40	7,88	3,81	2,88	0,61	-	99,49

Диориты (окварцованные, карбонатизированные)

Верхний эоцен-нижний олигоцен

Петрофизическая характеристика									Место отбора проб			
Статистич.параметры по 10 опр.	ρ	W	n	V_p	E	G	μ	$R_{cж}$				
X(min-max)	2,50-2,68	0,5-1,0	1,80-2,12	5,2-6,3	6,0-6,8	2,95-3,4	0,17-0,28	100-130	Личкское месторождение, скв.103, шт.30			
S	2,60	0,71	2,01	5,60	6,36	3,18	0,20	120				
Петрографическая характеристика									Структура породы			
Макроскоп. описание	Минеральный состав в %											
Темно-серый	Главные вторичные											
	Плагиоклаз-30-35, ортоклаз-8-10, роговая обманка-15-20, Хлорит, эпидот пироксен-5-7, биотит-8-12, кварц-5, акцесс-апатит, магнетит								Гипидноморфнозернистая			
SiO ₂	TiO ₂	Al ₂ O ₃	Fe ₂ O ₃	FeO	MnO	MgO	CaO	Na ₂ O	K ₂ O	H ₂ O	ППП	сумма
55,40	0,75	18,62	3,72	3,93	0,02	3,89	7,20	3,80	2,70	1,2	2,10	99,4

Гранодиорит-порфиры

Нижний миоцен

Петрофизическая характеристика									Место отбора проб			
Статистич. Параметры по 32 опр.	ρ	W	n	V_p	E	G	μ	$R_{cж}$	Личкское месторождение, скв.103			
X(min-max)	2,60-2,66	0,2-0,51	0,67-1,14	6,4-7,1	6,0-6,8	2,92-3,28	0,5-0,18	100-130				
S	2,62	0,31	0,81	6,92	6,36	3,0	0,16	110				
Петрографическая характеристика									Структура породы			
Макроскоп. Описание	Минеральный состав в %											
Зеленовато-серый	Главные вторичные											
	К.п.ш.-30-40, плагиоклаз-25-35, кварц-15-20, Кварц,серцицит биотит-5-6, роговая обманка-4-5, акцесс-рудный минерал, Карбонат,хлорит сфен								Порфировая, микрогранитовая			
SiO ₂	TiO ₂	Al ₂ O ₃	Fe ₂ O ₃	FeO	MnO	MgO	CaO	Na ₂ O	K ₂ O	H ₂ O	ППП	сумма
66,38	0,72	15,1	3,08	1,84	0,03	2,60	3,80	2,10	4,0	0,50	-	100,15

Гранодиорит-порфиры окварцеванные									Нижний миоцен			
Петрофизическая характеристика												
Статистич.параметры по 18 опр.	ρ	W	n	V_p	E	G	μ	$R_{cж}$	Место отбора проб			
X(min-max)	2,56-2,64	0,7-1,0	2,0-2,60	4,5-5,3	4,10-5,0	2,0-2,3	0,12-0,16	85-115	Личкское месторождение, скв.101,104, 108			
S	2,60	0,90	2,34	4,88	4,52	2,1	0,14	100				
Петрографическая характеристика												
Макроскоп. описание	Минеральный состав в %								Структура			
	Главные				вторичные				породы			
Розовато-серый	К.п.ш.-5-20, плагиоклаз-25-30, роговая обманка-10-15, кварц-20, биотит-5-8, акцесс-апатит, магнетит				Кварц,серицит				Микрогранитовая, порфировая			
SiO ₂	TiO ₂	Al ₂ O ₃	Fe ₂ O ₃	FeO	MnO	MgO	CaO	Na ₂ O	K ₂ O	H ₂ O	ППП	сумма
68,15	0,70	14,3	3,12	1,53	0,05	2,40	3,10	2,82	2,10	1,2	-	99,47

134

Гранодиорит-порфиры (окварцеванные, карбонатизированные)									Нижний-миоцен			
Петрофизическая характеристика												
Статистич.параметры по 26 опр.	ρ	W	n	V_p	E	G	μ	$R_{cж}$	Место отбора проб			
X(min-max)	2,54-2,60	1,05-1,34	2,98-3,26	4,5-5,1	4,9-5,3	2,0-2,32	0,21-0,26	75-84	Личкское месторождение, скв.103, шт.11			
S	2,58	1,21	3,12	4,88	5,10	2,20	0,20	80				
Петрографическая характеристика (гидротермально измененные)												
Макроскоп. описание	Минеральный состав в %								Структура			
	Главные				вторичные				породы			
Светло-серый	К.п.ш.-15-20, плагиоклаз-20-25, кварц-15-20, роговая обманка-8-12, пироксен-5-8, акцесс-рудный минерал, апатит				Кварц,карбонат Хлорит,эпидот				Порфировая, реликтовая,микрогранитовая			
SiO ₂	TiO ₂	Al ₂ O ₃	Fe ₂ O ₃	FeO	MnO	MgO	CaO	Na ₂ O	K ₂ O	H ₂ O	ППП	сумма
66,71	0,17	14,68	1,11	2,05	0,15	2,31	5,36	3,83	3,60	-	-	99,97

Гранодиорит-порфиры (кварц-карбонат-хлоритизированные)									Нижний-миоцен			
Петрофизическая характеристика												
Статистич.параметры по 34 опр.	ρ	W	n	V_p	E	G	μ	$R_{cж}$	Место отбора проб			
X(min-max)	2,47-2,57	1,1-1,5	3,25-4,0	3,4-5,3	4,5-5,1	1,8-2,7	0,22-0,3	90-115	Личкское месторождение, шт.30, штр.2			
S	2,52	1,3	3,70	4,52	4,80	2,45	0,26	95,0				
Петрографическая характеристика												
Макроскоп. Описание	Минеральный состав в %								Структура породы			
	Главные				вторичные							
Светло-серый	К.п.ш.-20, плагиоклаз-30, кварц-20, роговая обманка-10, пироксен-12, акцесс-апатит, удный минерал				Кварц, хлорит карбонат				Порфировая			
SiO ₂	TiO ₂	Al ₂ O ₃	Fe ₂ O ₃	FeO	MnO	MgO	CaO	Na ₂ O	K ₂ O	H ₂ O	ППП	сумма
67,2	0,21	13,6	1,21	3,0	0,12	3,0	3,6	2,6	3,2	1,2	0,9	99,84

Порфировидные гранодиориты									Нижний миоцен			
Петрофизическая характеристика												
Статистич. параметры по 24 опр.	ρ	W	n	V_p	E	G	μ	$R_{cж}$	Место отбора проб			
X(min-max)	2,69-2,73	0,81-1,2	2,2-2,6	5,9-6,3	6,1-7,2	3,0-3,9	0,12-0,16	120-140	Личкское месторождение, скв.108, штр.11			
S	2,71	0,90	2,43	6,2	6,5	3,28	0,14	135				
Петрографическая характеристика												
Макроскоп. описание	Минеральный состав в %								Структура породы			
	Главные				вторичные							
Светло-розовый	К.п.ш.-35-45, плагиоклаз-10-12, амфибол-5-7, биотит-10-12, акцесс-сфен, магнетит				Кварц				Порфировая с гипидиоморфнозернистой, аллотриоморфнозернистой структурой основной массы			
SiO ₂	TiO ₂	Al ₂ O ₃	Fe ₂ O ₃	FeO	MnO	MgO	CaO	Na ₂ O	K ₂ O	H ₂ O	ППП	сумма
61,2	0,42	16,9	1,80	3,82	0,07	2,98	4,00	3,8	3,18	0,8	2,2	100,17

2.6. Вулканогенно-осадочные породы Дастанкертского рудного поля

Андезитобазальты плагиоклаз-пироксеновые									Нижний эоцен			
Петрофизическая характеристика												
Статистич.параметры по 52 опр.	ρ	W	n	V_p	E	G	μ	$R_{c\kappa}$	Место отбора проб			
X(min-max)	2,64-2,70	0,40-0,60	1,40-1,90	4,68-5,10	4,8-5,2	2,14-3,5	0,21-0,27	100-124	Дастанкертское месторождение, гор. Шт. 30 капитальная			
S	2,67	0,52	1,68	4,96	5,0	2,71	0,24	110				
Петрографическая характеристика												
Макроскоп. Описание	Минеральный состав в%								Структура			
	вкрапленники			основная масса			вторичные		породы		основной массы	
Зеленовато-серый, мелкозернистый, плотный	Микролиты плагиоклаза-15-25, призматические кристаллы пироксена-5-8			Плагиоклаз-25-30, пироксен-15-25			Каолин,хлорит серицит		Порфировая		Базальтовая интерсерталльная	
SiO_2	TiO_2	Al_2O_3	Fe_2O_3	FeO	MnO	MgO	CaO	Na_2O	K_2O	H_2O	ППП	сумма
53,32	1,30	15,53	3,58	6,38	0,18	5,32	6,45	3,30	2,0	0,22	1,98	99,55

136

Андезитодакиты									Средний эоцен			
Петрофизическая характеристика												
Статистич.параметры по 32 опр.	ρ	W	n	V_p	E	G	μ	$R_{c\kappa}$	Место отбора проб			
X(min-max)	2,64-2,70	0,15-0,24	0,48-0,6	5,0-6,0	6,16-7,1	2,98-3,5	0,10-0,16	90-132	Верховье р.Айри			
S	2,68	0,20	0,54	5,5	6,63	3,27	0,13	120				
Петрографическая характеристика												
Макроскоп. Описание	Минеральный состав в%								Структура			
	вкрапленники			основная масса			вторичные		породы		основной массы	
Зеленовато-черный	Амфибол-18, кварц-8			Плагиоклаз-50,карбонаты-2, Акцесс-рутил, апатит, магнетит, сферен			Эпидот, хлорит мусковит		Порфировая		Микрокристаллическая	
SiO_2	TiO_2	Al_2O_3	Fe_2O_3	FeO	MnO	MgO	CaO	Na_2O	K_2O	H_2O	ППП	сумма
62,01	0,5	12,48	4,13	2,24	0,14	3,62	4,36	3,41	1,38	1,01	3,83	100,11

Пропилитизированные андезиты									Средний эоцен			
Петрофизическая характеристика												
Статистич.параметры по 70 опр.	ρ	W	n	V_p	E	G	μ	$R_{cж}$	Место отбора проб			
X(min-max)	2,65-2,70	0,38-0,45	1,8-2,28	5,0-5,65	5,16-6,10	2,70-3,01	0,23-0,27	95-120	Дастакертское месторождение, участок Новый, горизонт 2250			
S	2,69	0,42	2,21	5,26	5,86	2,89	0,26	105				
Петрографическая характеристика												
Макроскоп. описание	Минеральный состав в%								Структура			
	вкрапленники			основная масса			вторичные		породы		основной массы	
Зеленоватый	К.п.ш.-15			Плагиоклаз-10, кварц-20			Эпидот, хлорит магнетит		Порфировая		Микрозернистая реликтовая микролитовая	
SiO ₂	TiO ₂	Al ₂ O ₃	Fe ₂ O ₃	FeO	MnO	MgO	CaO	Na ₂ O	K ₂ O	H ₂ O	ППП	сумма
60,20	0,80	16,31	5,3	4,20	0,09	1,81	3,57	3,09	2,64	0,21	0,77	100,0

137

Андезито-дациты (кварц-серицитовая фация)									Средний эоцен			
Петрофизическая характеристика												
Статистич.параметры по 42 опр.	ρ	W	n	V_p	E	G	μ	$R_{cж}$	Место отбора проб			
X(min-max)	2,25-2,50	1,7-2,2	4,0-4,63	3,0-3,5	3,21-3,37	1,18-1,48	0,17-0,24	75-90	Дастакертское месторождение, шт. 16			
S	2,46	1,92	4,33	3,1	3,29	1,21	0,20	82				
Петрографическая характеристика (гидротермально измененные)												
Макроскоп. Описание	Минеральный состав в%								Структура			
	вкрапленники			основная масса			вторичные		породы		основной массы	
Светло-зеленовато-серый	Плагиоклаз-10,			Кварц-41			Серицит, Мусковит, кварц		Порфировая		Микролитовая реликтовая	
SiO ₂	TiO ₂	Al ₂ O ₃	Fe ₂ O ₃	FeO	MnO	MgO	CaO	Na ₂ O	K ₂ O	H ₂ O	ППП	сумма
64,0	0,27	16,25	2,59	0,84	0,40	2,50	2,09	1,28	4,19	1,87	3,30	99,60

Андезито-базальты пропилитизированные (хлорит-кварц-серицитовой фации)									Средний эоцен					
Петрофизическая характеристика														
Статистич.параметры по 36 опр.	ρ	W	n	V_p	E	G	μ	$R_{c\kappa}$	Место отбора проб					
X(min-max)	2,62-2,69	0,38-0,92	3,0-4,50	4,5-5,6	4,8-5,6	2,7-3,5	0,19-0,24	96-112	Дастакертское месторождение шт. 16					
S	2,65	0,73	3,71	5,1	5,0	3,2	0,21	105						
Петрографическая характеристика (гидротермально измененные)														
Макроскоп. Описание	Минеральный состав в %							Структура породы						
	Основная масса				вторичные									
Зеленовато-серый	Плагиоклаз-25-30, роговая обманка-5-12,, пироксен-5-8, кварц-2-7,акцесс-апатит, титаномагнетит				Эпидот,хлорит, Альбит, биотит, серицит				Порфировая, микролепидобластовая					
SiO_2	TiO_2	Al_2O_3	Fe_2O_3	FeO	MnO	MgO	CaO	Na_2O	K_2O	H_2O	ППП	сумма		
54,8	0,52	19,21	5,43	3,18	-	3,76	5,0	3,98	2,89	-	1,24	100,1		

138

Роговики биотит-плагиоклазовые									Верхний эоцен-нижний олигоцен					
Петрофизическая характеристика														
Статистич. Параметры по 20 опр.	ρ	W	n	V_p	E	G	μ	$R_{c\kappa}$	Место отбора проб					
X(min-max)	2,68-2,76	0,15-0,24	0,31-0,67	4,9-5,24	5,78-7,77	3,01-3,41	0,25-0,29	100-130	Дастакертское месторождение, шт. 30					
S	2,72	0,19	0,52	5,12	6,88	3,17	0,27	120						
Петрографическая характеристика														
Макроскоп. Описание	Минеральный состав в%							Структура породы						
	вкрапленники				основная масса			вторичные						
Темно-серый до черного	К.п.ш.-10, кварц-18				Биотит-27, плагиоклаз-28,акцесс-магнетит, апатит, сфеен				Микролепидогранобластовая мозаичная					
SiO_2	TiO_2	Al_2O_3	Fe_2O_3	FeO	MnO	MgO	CaO	Na_2O	K_2O	H_2O	ППП	сумма		
3,10	0,89	17,35	2,39	2,62	0,10	2,04	3,15	4,0	3,20	0,20	1,60	100,1		

Роговики амфибол-биотитовые									Верхний эоцен-нижний олигоцен			
Петрофизическая характеристика												
Статистич.параметры по 32 опр.	ρ	W	n	V_p	E	G	μ	$R_{cж}$	Место отбора проб			
X(min-max)	2,72-2,77	0,15-0,20	0,38-0,44	5,0-6,0	6,1-7,4	2,95-3,37	0,22-0,27	90-140	Дастакертское месторождение, шт. Капитальная, г.1970			
S	2,74	0,17	0,41	5,5	6,8	3,17	0,25	125				
Петрографическая характеристика												
Макроскоп. Описание	Минеральный состав в %								Структура породы			
	Главные				вторичные							
Темно-черный до черного цвета	Плагиоклаз-10-45, амфибол-10-23, биотит-10-25, кварц-5-10, акцесс-магнетит, апатит, рудный минерал								Бластопорфировая, гранолепидобластовая роговиковая			
SiO ₂	TiO ₂	Al ₂ O ₃	Fe ₂ O ₃	FeO	MnO	MgO	CaO	Na ₂ O	K ₂ O	H ₂ O	ППП	сумма
53,03	1,35	16,86	3,35	5,82	0,23	3,78	6,31	3,80	1,46	0,5	2,43	98,91

139

Роговики кварц-серицит-карбонатизированные									Верхний эоцен-нижний олигоцен			
Петрофизическая характеристика												
Статистич.параметры по 34 опр.	ρ	W	n	V_p	E	G	μ	$R_{cж}$	Место отбора проб			
X(min-max)	2,48-2,60	2,51-2,74	6,3-7,0	4,2-5,8	4,0-5,3	2,0-2,7	0,12-0,17	60-88	Дастакертское месторождение шт. 30 Центральный участок			
S	2,54	2,60	6,60	4,5	4,8	2,4	0,14	79				
Петрографическая характеристика (гидротермально измененные)												
Макроскоп. Описание	Минеральный состав в %								Структура породы			
	Главные				вторичные							
Зеленовато-серый	Анделезин-5-10, кварц-30-35, роговая обманка-5-8								Микролепидогранобластовая			
SiO ₂	TiO ₂	Al ₂ O ₃	Fe ₂ O ₃	FeO	MnO	MgO	CaO	Na ₂ O	K ₂ O	H ₂ O	ППП	сумма
64,02	0,27	16,25	2,59	0,84	0,40	2,50	2,09	1,28	4,19	1,87	3,3	99,60

Петрофизическая характеристика									Верхний эоцен-нижний олигоцен			
Статистич. Параметры по 15 опр.	ρ	W	n	V_p	E	G	μ	$R_{c\cdot k}$	Место отбора проб			
X(min-max)	2,68-2,74	0,7-1,21	1,56-3,4	4,8-6,9	5,13-5,76	2,13-2,76	0,20-0,24	105-122	Дастакертское месторождение, шт. Капитальная			
S	2,71	0,84	2,28	5,83	5,33	2,52	0,22	115				
Петрографическая характеристика												
Макроскоп. описание	Минеральный состав в %							Структура				
	Главные							породы				
Серый	Кварц-30, серицит-20, хлорит-10, кальцит-40, акцесс-рутит, пирит, магнетит, апатит							Гранобластовая лепитобластовая				
SiO ₂	TiO ₂	Al ₂ O ₃	Fe ₂ O ₃	FeO	MnO	MgO	CaO	Na ₂ O	K ₂ O	H ₂ O	ППП	сумма
53,85	1,30	14,36	7,63	2,93	0,12	2,59	4,25	1,86	1,33	1,24	6,0	99,86

2.7. Жильные породы Дастакертского рудного поля

Петрофизическая характеристика									Верхний эоцен-нижний олигоцен			
Статистич. Параметры по 12 опр.	ρ	W	n	V _p	E	G	μ	R _{cж}	Место отбора проб			
X(min-max)	2,72-2,88	0,2-0,5	0,77-1,13	5,6-6,3	6,2-6,8	2,6-3,2	0,2-0,24	130-165	Дастакертское месторождение, гор. Шт. 16			
S	2,79	0,3	0,82	5,85	6,47	2,7	0,22	155				
Петрографическая характеристика												
Макроскоп. Описание	Минеральный состав в %							Структура породы				
	Главные				вторичные							
Темно-серый	Плагиоклаз-лаврадор-45-50, пироксен-33, роговая обманка-7, кварц-2,5, акцесс-сфен, апатит, рудный минерал				Амфибол, эпидот, Хлорит, пренит		Габбро-офитовая					
SiO ₂	TiO ₂	Al ₂ O ₃	Fe ₂ O ₃	FeO	MnO	MgO	CaO	Na ₂ O	K ₂ O	H ₂ O	ППП	сумма
49,6	0,77	23,12	3,47	6,26	0,25	3,14	7,18	3,13	2,40	0,8	1,0	100,42

Габбро-порфировые (жильные)									Верхний эоцен-нижний олигоцен			
Петрофизическая характеристика												
Статистич. Параметры по 12 опр.	ρ	W	n	V_p	E	G	μ	$R_{cж}$	Место отбора проб			
X(min-max)	2,67-2,73	0,14-0,20	0,41-0,54	6,0-6,8	5,9-6,4	2,7-3,0	0,17-0,22	110-135	Дастакертское месторождение, штолня 16			
S	2,70	0,17	0,47	6,3	6,15	2,85	0,20	125				
Петрографическая характеристика												
Макроскоп. Описание	Минеральный состав в %								Структура породы			
	Главные				вторичные							
Серый	Кварц-25, кальцит-30, акцесс-пирит, магнетит, апатит, рутил				Серицит, хлорит				Гранобластовая, реликтовая, микрогаббровая			
SiO ₂	TiO ₂	Al ₂ O ₃	Fe ₂ O ₃	FeO	MnO	MgO	CaO	Na ₂ O	K ₂ O	H ₂ O	ППП	сумма
53,85	1,30	14,36	7,63	2,93	0,12	2,59	4,25	1,86	1,33	1,24	6,0	99,86

14

Габбро (жильные)									Верхний эоцен-нижний олигоцен			
Петрофизическая характеристика												
Статистич. Параметры по 22 опр.	ρ	W	n	V_p	E	G	μ	$R_{cж}$	Место отбора проб			
X(min-max)	2,90-2,98	0,41-0,62	1,18-1,8	6,3-6,8	6,8-7,4	3,1-4,2	0,19-0,21	136-164	Дастакертский интрузив			
S	2,94	0,51	1,51	6,5	7,0	3,78	0,20	153				
Петрографическая характеристика												
Макроскоп. Описание	Минеральный состав в %								Структура породы			
	Главные				вторичные							
Темно-серый	Плагиоклаз-45-50, пироксен-25-40, роговая обманка-5-7, акцесс-апатит, сфен, рудный минерал				Альбит, амфибол				Габбровая флюитриоморфнозернистая			
SiO ₂	TiO ₂	Al ₂ O ₃	Fe ₂ O ₃	FeO	MnO	MgO	CaO	Na ₂ O	K ₂ O	H ₂ O	ППП	сумма
49,70	0,68	20,94	6,00	5,88	0,10	4,88	9,06	1,97	0,86	-	-	100,07

2.9. Интрузивные породы Дастанкерского рудного поля

Гранодиориты									Верхний эоцен-нижний олигоцен			
Петрофизическая характеристика												
Статистич.параметры по 24 опр.	ρ	W	n	V_p	E	G	μ	$R_{cж}$	Место отбора проб			
X(min-max)	2,68-2,74	0,15-0,22	0,42-0,51	5,7-6,4	7,2-7,42	2,94-3,17	0,21-0,24	110-165	Дастанкерское месторождение, участок Новый			
S	2,71	0,18	0,49	6,0	7,38	3,10	0,22	140				
Петрографическая характеристика												
Макроскоп. Описание	Минеральный состав в %								Структура			
	Главные				вторичные				породы			
Светло-серый	Плагиоклаз-40-50, амфибол-10, кварц-18, к.п.ш.-24, роговая обманка-10, акцесс-магнетит, сфен, апатит				Эпидот, хлорит, серицит				Гипидиоморфнозернистая			
SiO ₂	TiO ₂	Al ₂ O ₃	Fe ₂ O ₃	FeO	MnO	MgO	CaO	Na ₂ O	K ₂ O	H ₂ O	ППП	сумма
61,1	0,48	17,21	2,80	3,0	0,77	2,01	4,80	3,10	2,80	0,68	1,86	100,0

Кварцевые диориты									Верхний эоцен-нижний олигоцен			
Петрофизическая характеристика												
Статистич. Параметры по 28 опр.	ρ	W	n	V_p	E	G	μ	$R_{cж}$	Место отбора проб			
X(min-max)	2,60-2,70	0,55-0,74	1,17-1,80	5,7-6,6	6,4-6,9	3,1-3,6	0,19-0,23	140-175	Северный склон Баргушского хребта, Дастанкерский массив			
S	2,66	0,64	1,70	6,12	6,82	3,4	0,20	165				
Петрографическая характеристика												
Макроскоп. Описание	Минеральный состав в %								Структура			
	Главные				вторичные				породы			
Темно-серый	Плагиоклаз-60, роговая обманка-30-35, кварц-10, акцесс-рудный минерал, сфен, апатит				Эпидот, альбит, хлорит				Гипидиоморфнозернистая			
SiO ₂	TiO ₂	Al ₂ O ₃	Fe ₂ O ₃	FeO	MnO	MgO	CaO	Na ₂ O	K ₂ O	H ₂ O	ППП	сумма
56,16	0,26	20,0	4,70	4,0	0,10	2,40	7,60	3,71	0,24	0,55	0,29	100,02

Порфировидные гранодиориты									Нижний миоцен			
Петрофизическая характеристика												
Статистич.параметры по 22 опр.	ρ	W	n	V_p	E	G	μ	$R_{cж}$	Место отбора проб			
X(min-max)	2,66-2,70	0,55-0,70	0,93-1,9	4,8-5,1	6,3-6,8	3,5-4,1	0,10-0,18	100-145	Мелкие интрузивные тела, Левый приток р.Дастакерт			
S	2,68	0,62	1,34	4,96	6,52	3,75	0,14	125				
Петрографическая характеристика												
Макроскоп. Описание	Минеральный состав в %								Структура породы			
	Главные				вторичные							
Серый	Плагиоклаз-андезин-30-35, к.п.ш.-30,50, кварц-20, роговая обманка-8-10, биотит-5-7, акцесс-апатит, сферен, рудный минерал				Эпидот, хлорит, карбонаты				Порфировая с микрогранитовой основной массы			
SiO ₂	TiO ₂	Al ₂ O ₃	Fe ₂ O ₃	FeO	MnO	MgO	CaO	Na ₂ O	K ₂ O	H ₂ O	ППП	сумма
66,56	0,22	17,71	1,24	9,23	0,04	1,90	3,41	37,2	1,86	0,38	0,30	99,57

Граносиениты									Послесреднезооцен			
Петрофизическая характеристика									Место отбора проб			
Статистич.параметры по 12 опр.	ρ	W	n	V_p	E	G	μ	$R_{cж}$				
X(min-max)	2,70-2,76	0,28-0,31	0,75-0,85	5,2-6,1	5,4-5,8	3,1-3,8	0,13-0,16	132-164				
S	2,73	0,30	0,80	5,52	5,6	3,52	0,15	152				
Петрографическая характеристика												
Макроскоп. Описание	Минеральный состав в %								Структура породы			
	Главные				вторичные							
Серый с розоватым оттенком	К.п.ш.-30-40, плагиоклаз-30, роговая обманка-10, биотит-5, пироксен-5, кварц-10, акцесс апатит, рудный минерал				Эпидот, хлорит				Гранитовая			
SiO ₂	TiO ₂	Al ₂ O ₃	Fe ₂ O ₃	FeO	MnO	MgO	CaO	Na ₂ O	K ₂ O	H ₂ O	ППП	сумма
64,02	0,47	18,62	1,58	1,74	0,10	1,05	3,55	4,16	3,78	0,24	1,20	100,51

3. Золоторудная формация

3.1. Вулканогенно-осадочные породы Сотского рудного поля

Туфобрекции андезитов									Эоцен				
Петрофизическая характеристика													
Статистич. Параметры по 21 опр.	ρ	W	n	V_p	E	G	μ	$R_{cж}$	Место отбора проб				
X(min-max)	2,68-2,69	0,8-1,1	2,12-2,95	3,9-4,3	4,1-4,6	2,8-3,0	0,20-0,25	78-105	Район с.Мазра				
S	2,67	0,95	2,53	4,1	4,45	2,92	0,23	92					
Петрографическая характеристика													
Макроскоп. Описание	Минеральный состав в%								Структура				
	вкрапленники			основная масса			вторичные		породы				
Зеленовато-серый, темно-серый	Пироксен-35-45, плагиоклаз-10-15, роговая обманка-5-7			Микролиты плагиоклаза-15-20, пироксен-5-10, кварц-2-5			Хлорит, эпидот, карбонат		Брекчиявая				
SiO ₂		TiO ₂	Al ₂ O ₃	Fe ₂ O ₃	FeO	MnO	MgO	CaO	Na ₂ O	K ₂ O	H ₂ O	ППП	сумма
52,51		0,43	14,80	3,87	5,81	0,12	4,11	9,38	4,86	2,18	0,87	1,81	100,75

Андезито-базальты пропилитизированные (хлорит-карбонат-эпидотовая фация)									Нижний сенон				
Петрофизическая характеристика													
Статистич. параметры по 38 опр.	ρ	W	n	V_p	E	G	μ	$R_{cж}$	Место отбора проб				
X(min-max)	2,64-2,68	0,5-0,9	1,30-3,0	3,20-5,10	4,2-5,1	2,1-2,7	0,22-5,1	125-152	Район с.Мазра				
S	2,66	0,75	1,98	4,22	4,74	2,4	0,24	140					
Петрографическая характеристика													
Макроскоп. Описание	Минеральный состав в%								Структура				
	вкрапленники			основная масса			вторичные		породы		основной массы		
Зеленоватый	Андезин-лаврадор-25, авгит-40, биотит-3-5			Биотит, хлорит, микролиты андезина			Хлорит, карбонаты цинозит, эпидот		Порфировая		Интерсертальная реликтовая		
SiO ₂		TiO ₂	Al ₂ O ₃	Fe ₂ O ₃	FeO	MnO	MgO	CaO	Na ₂ O	K ₂ O	H ₂ O	ППП	сумма
49,65		0,30	15,40	8,75	0,92	0,54	5,72	5,06	2,49	0,48	5,38	1,19	97,78

Известковистые песчаники									Нижний Сенон	
Петрофизическая характеристика										
Статистич. параметры по 21 опр.	ρ	W	n	V_p	E	G	μ	$R_{cж}$	Место отбора проб	
X(min-max)	2,64-2,68	1,06-1,75	2,8-4,7	2,8-3,2	3,3-4,8	1,8-2,6	0,25-0,30	72-90	Район с.Мазра	
S	2,65	1,40	3,61	3,01	4,25	2,25	0,28	81,8		
Петрографическая характеристика										
Макроскоп. описание	Минеральный состав в%								Структура	
	вкрапленники			основная масса			вторичные		породы	
Темно-серый, зеленовато-серый	Мелкие обломки эффи- зивных пород-15-20, карбонат-40, остатки полев. шпата, рудн. минерал			Цемент-глинисто- известковые вещества			Хлорит, серицит		Псамитовая	
SiO_2	TiO_2	Al_2O_3	Fe_2O_3	FeO	MnO	MgO	CaO	Na_2O	K_2O	H_2O
50,40	0,75	11,91	7,19	0,74	0,05	1,72	14,0	3,02	5,42	3,20
									ППП	сумма
									1,8	100,2

145

Диабазы окварцеванные									Нижний сенон	
Петрофизическая характеристика										
Статистич. параметры по 42 опр.	ρ	W	n	V_p	E	G	μ	$R_{cж}$	Место отбора проб	
X(min-max)	2,65-2,68	0,9-1,0	1,3-2,7	3,8-4,7	4,2-4,8	2,7-3,1	0,20-0,24	55-72	Соткское месторождение, юго- западное крыло антиклинальной складки	
S	2,66	0,95	2,1	4,23	4,5	2,92	0,22	68		
Петрографическая характеристика										
Макроскоп. описание	Минеральный состав в%								Структура	
	вкрапленники			основная масса			вторичные		породы	
Зеленовато-серый	Плагиоклаз-15-20, пироксен-5-15			Плагиоклаз-15-25, кварц-5-10,биотит-3-7			Хлорит, пелит, Эпидот,карбонаты		Офитовая	
SiO_2	TiO_2	Al_2O_3	Fe_2O_3	FeO	MnO	MgO	CaO	Na_2O	K_2O	H_2O
50,00	0,90	16,80	7,61	6,0	0,11	4,48	7,56	3,88	0,98	0,52
									ППП	сумма
									1,48	100,32

Туфобрекции диабазов									Нижний эоцен			
Петрофизическая характеристика												
Статистич.параметры по 52 опр.	ρ	W	n	V_p	E	G	μ	$R_{cж}$	Место отбора проб			
X(min-max)	2,60-2,64	1,22-2,0	3,12-5,28	3,2-4,6	3,9-4,1	1,2-2,6	0,24-0,28	60-95	Сотский рудный район, с.Шишская			
S	2,62	1,6	4,19	3,96	4,0	1,95	0,26	78				
Петрографическая характеристика												
Макроскоп. описание	Минеральный состав в%									Структура		
	вкрапленники			основная масса			вторичные		породы		основной массы	
Грязно-еленоватый, бурый	Зерна хлоритизированных полевых шпатов-15-20, кварц-5-8,рудные минералы	Хлоритизированная связующая масса-20-25, кальцит-4-5	Хлорит, кальцит	Брекчиявая				Мелкозернистая				
SiO ₂	TiO ₂	Al ₂ O ₃	Fe ₂ O ₃	FeO	MnO	MgO	CaO	Na ₂ O	K ₂ O	H ₂ O	ППП	сумма
53,77	0,80	19,8	6,91	1,80	0,21	3,18	3,09	5,71	3,20	0,26	1,20	99,93

146

Андезитовазальты									Нижний сенон				
Петрофизическая характеристика													
Статистич.параметры по 10 опр.	ρ	W	n	V_p	E	G	μ	$R_{cж}$	Место отбора проб				
X(min-max)	2,60-2,67	0,59-0,7	1,18-2,1	4,7-5,4	2,48-5,30	2,48-3,0	0,16-0,24	100-140	Район с.Каранман				
S	2,63	0,67	1,76	5,0	5,13	2,71	0,20	120					
Петрографическая характеристика													
Макроскоп. описание	Минеральный состав в%									Структура			
	вкрапленники			основная масса			вторичные		породы		основной массы		
Черно-серый	Плагиоклаз-1,5-2,0, роговая обманка-2-2,5, авгит-5-6,биотит-3-8	Плагиоклаз-5-15, клинопироксен-2-3, стекло-30-35, магнетит-10-12	Хлорит,серийт биотит	Порфировая				Интерсертальная					
SiO ₂	TiO ₂	Al ₂ O ₃	Fe ₂ O ₃	FeO	MnO	MgO	CaO	Na ₂ O	K ₂ O	H ₂ O	ППП	сумма	
54,3	0,71	16,5	5,6	3,27	0,07	4,68	7,49	4,18	2,31	0,78	-	99,89	

Риолит									Олигоцен			
Петрофизическая характеристика												
Статистич. параметры по 36 опр.		ρ	W	n	V_p	E	G	μ	$R_{cж}$	Место отбора проб		
X(min-max)		2,64-2,68	0,95-1,25	2,3-3,2	4,3-4,7	5,8-6,1	2,8-3,6	0,11-0,15	75-90	Сев. Побережье оз. Севан, долина р.Дзкнагет		
S		2,66	1,0	2,65	4,5	5,94	3,2	0,13	81,2			
Петрографическая характеристика												
Макроскоп. описание		Минеральный состав в %						Структура				
		Главные				вторичные		породы				
Светло-серый, голубой		Плагиоклаз-30,35, роговая обманка-15-18, биотит-5-8, кварц-5-10, акцесс-магнетит				Кальцит, хлорит		Микропорфировая с трахитовой структурой основной массы				
SiO ₂	TiO ₂	Al ₂ O ₃	Fe ₂ O ₃	FeO	MnO	MgO	CaO	Na ₂ O	K ₂ O	H ₂ O	ППП	сумма
70,21	0,40	14,21	1,35	1,02	0,10	0,81	1,65	4,81	4,12	0,26	1,18	100,12

3.2. Жильные породы Сотского рудного поля

Микродиорит-порфирит									Верхний эоцен			
Петрофизическая характеристика												
Статистич.параметры по 15 опр.		ρ	W	n	V_p	E	G	μ	$R_{cж}$	Место отбора проб		
X(min-max)		2,72-2,76	0,4-0,51	1,10-1,40	6,0-6,3	7,8-8,8	3,8-4,9	0,13-0,17	120-135	Сотский рудник, гор. шт.40		
S		2,74	0,45	1,18	6,1	8,3	4,45	0,15	131			
Петрографическая характеристика												
Макроскоп. описание		Минеральный состав в %						Структура				
		Главные				вторичные		породы				
Темно-зеленовато-серый		Плагиоклаз-андезин-10-15, роговая обманка-5-8, диопсид-8-12, акцесс-титан, магнетит, апатит				Хлорит, кальцит, Серицит, пренит		Микрозернистая гипидноморфнозернистая				
SiO ₂	TiO ₂	Al ₂ O ₃	Fe ₂ O ₃	FeO	MnO	MgO	CaO	Na ₂ O	K ₂ O	H ₂ O	ППП	сумма
58,11	0,59	16,31	5,01	3,12	0,03	3,14	2,20	5,60	2,81	1,8	1,2	99,91

Кварцевый-плагиопорфир									Верхний эоцен				
Петрофизическая характеристика													
Статистич.параметры по 64 опр.		ρ	W	n	V_p	E	G	μ	$R_{cж}$	Место отбора проб			
X(min-max)		2,52-2,62	1,33-1,72	3,11-4,80	4,9-5,4	5,6-6,4	3,1-3,7	0,10-0,12	70-112	Соткский рудник шт.25			
S		2,57	1,45	4,32	5,1	6,2	3,4	0,11	103				
Петрографическая характеристика													
Макроскоп. описание		Минеральный состав в %							Структура				
		Главные				вторичные			породы				
Беловато-серый		Мусковит-5-8, кварц-10-12, плагиоклаз-25-35, акцесс-апатит, рудный минерал				Серицит, хлорит			Порфировая, микрозернистая				
SiO ₂	TiO ₂	Al ₂ O ₃	Fe ₂ O ₃	FeO	MnO	MgO	CaO	Na ₂ O	K ₂ O	H ₂ O	ППП	сумма	
68,80	0,32	16,28	5,31	1,28	0,03	0,88	1,31	2,01	2,71	0,12	1,2	100,25	

Плагогранит									Верхний эоцен-олигоцен				
Петрофизическая характеристика													
Статистич. параметры по 15 опр.		ρ	W	n	V_p	E	G	μ	$R_{cж}$	Место отбора проб			
X(min-max)		2,80-2,86	0,2-0,4	0,56-1,14	6,3-7,1	7,2-8,1	3,9-4,28	0,09-0,12	120-150	Каранман-Соткский массив, с.Сотк			
S		2,84	0,32	0,88	6,7	7,81	4,12	0,10	133,5				
Петрографическая характеристика													
Макроскоп. описание		Минеральный состав в %							Структура				
		Главные				вторичные			породы				
Светло-серый с розоватой оттенкой		Кварц-25-30, к.п.ш.-25-35, роговая обманка-12-20, акцесс-апатит				Серицит, хлорит, Эпидот, пеллит			Гипидноморфнозернистая				
SiO ₂	TiO ₂	Al ₂ O ₃	Fe ₂ O ₃	FeO	MnO	MgO	CaO	Na ₂ O	K ₂ O	H ₂ O	ППП	сумма	
74,50	0,19	15,06	2,05	0,70	0,15	0,39	1,27	4,70	0,84	-	0,80	100,65	

Плагогранит ожелезненный

Верхний эоцен-нижний олигоцен

Петрофизическая характеристика									Место отбора проб			
Статистич. параметры по 14 опр.	ρ	W	n	V_p	E	G	μ	$R_{c\kappa}$				
X(min-max)	2,52-2,64	0,8-1,12	1,95-2,9	4,3-4,7	3,9-4,2	2,5-3,0	0,14-0,2	58-80	Караиман-Соткский массив, к С-В от с.Сотк			
S	2,56	0,93	2,36	4,5	4,02	2,72	0,16	62				
Петрографическая характеристика												
Макроскоп. описание	Минеральный состав в %							Структура породы				
	Главные				вторичные							
Светло-серый, розоватый	Кварц-28-30, плагиоклаз-25-35, роговая обманка-10-15, акцесс-апатит				Серицит,пелитовое вещество, хлорит, Эпидот,окислы железа				Гипидиоморфнозернистая			
SiO ₂	TiO ₂	Al ₂ O ₃	Fe ₂ O ₃	FeO	MnO	MgO	CaO	Na ₂ O	K ₂ O	H ₂ O	ППП	сумма
74,5	0,19	15,06	2,05	0,70	0,15	0,30	1,27	4,70	0,84	-	0,80	100,65

3.3. Интрузивные породы Соткского рудного поля

Габброиды

Петрофизическая характеристика									Верхний эоцен							
Статистич.параметры по 40 опр.	ρ	W	n	V_p	E	G	μ	$R_{c\kappa}$	Место отбора проб							
X(min-max)	2,84-3,12	0,2-0,3	0,45-1,0	5,8-6,8	6,4-7,6	3,8-5,1	0,18-0,23	120-160	Габброидный массив Соткского месторождения							
S	3,0	0,24	0,69	6,17	7,15	4,65	0,20	140								
Петрографическая характеристика																
Макроскоп. описание	Минеральный состав в %							Структура породы								
	Главные				вторичные											
Зеленовато-серый, темно-серый	Плагиоклаз (битовнит, лаврадор) -55-65, моноклинный пироксен-35-45, акцесс-ильменит, магнетит				Серицит,эпидот, Ционит,клиноцинзит				Аллотриоморфнозернистая, габровая							
SiO ₂	TiO ₂	Al ₂ O ₃	Fe ₂ O ₃	FeO	MnO	MgO	CaO	Na ₂ O	K ₂ O	H ₂ O	ППП	сумма				
49,8	0,33	17,31	4,19	3,31	0,11	5,6	9,81	2,31	1,11	1,12	3,01	100,10				

Габбро-нориты									Верхний эоцен			
Петрофизическая характеристика												
Статистич. параметры по 24 опр.	ρ	W	n	V_p	E	G	μ	$R_{cж}$	Место отбора проб			
X(min-max)	2,86-3,01	0,28-0,68	0,68-1,58	5,28-7,32	6,31-10,1	3,33-5,0	0,18-0,22	110-200	Караниман-Сотский габбро-перидотитовый массив			
S	2,92	0,44	1,28	6,18	8,12	4,0	0,20	170				
Петрографическая характеристика												
Макроскоп. описание	Минеральный состав в %							Структура породы				
	Главные				вторичные							
Темно-зеленый	Плагиоклаз (лаврадор)-40-45, ортопироксен, клинопироксен-40-45, акцесс-апатит, магнетит, ильменит				Эпидот, серицит, роговая обманка			габбровая				
SiO ₂	TiO ₂	Al ₂ O ₃	Fe ₂ O ₃	FeO	MnO	MgO	CaO	Na ₂ O	K ₂ O	H ₂ O	ППП	сумма
47,7	0,44	18,3	4,77	5,22	0,18	5,73	10,02	3,41	1,28	1,71	3,1	99,86

Габбро роговообманковое									Верхний эоцен			
Петрофизическая характеристика												
Статистич. параметры по 22 опр.	ρ	W	n	V_p	E	G	μ	$R_{cж}$	Место отбора проб			
X(min-max)	2,90-3,03	0,5-0,6	1,45-1,8	5,2-5,8	4,8-5,3	2,9-3,1	0,20-0,23	101-161	Караниман-Сотский габбро-перидотитовый массив			
S	2,96	0,55	1,54	5,5	5,15	3,0	0,21	145				
Петрографическая характеристика												
Макроскоп. описание	Минеральный состав в %							Структура породы				
	Главные				вторичные							
Зеленовато-серый	Плагиоклаз-40-50, роговая обманка-30-40, пироксен 10-20, акцесс-магнетит, редко апатит				Серицит, роговая обманка, эпидот хлорит			габбровая				
SiO ₂	TiO ₂	Al ₂ O ₃	Fe ₂ O ₃	FeO	MnO	MgO	CaO	Na ₂ O	K ₂ O	H ₂ O	ППП	сумма
50,1	0,30	19,43	3,10	5,88	0,11	6,12	12,1	3,08	0,41	-	-	100,63

Габбро (амфибол-эпидотизированный)									Верхний эоцен			
Петрофизическая характеристика												
Статистич.параметры по 28 опр.		ρ	W	n	V_p	E	G	μ	$R_{cж}$	Место отбора проб		
X(min-max)		2,88-3,15	0,14-0,20	0,40-0,54	7,0-8,4	7,5-8,5	3,92-4,87	0,16-0,24	140-185	Соткское месторождение, гор. шт. 40		
S		3,12	0,16	0,49	7,9	8,03	4,16	0,20	165			
Петрографическая характеристика												
Макроскоп. описание		Минеральный состав в %						Структура породы				
		Главные			вторичные							
Зеленовато-серый		Плагиоклаз-40-45, роговая обманка-30-35, клинопироксен-10-12, акцесс-магнетит, апатит			Эпидот, хлорит			габбровая				
SiO ₂	TiO ₂	Al ₂ O ₃	Fe ₂ O ₃	FeO	MnO	MgO	CaO	Na ₂ O	K ₂ O	H ₂ O	ППП	сумма
50,1	0,30	18,43	3,10	5,88	0,11	6,12	12,1	2,28	0,41	0,5	0,5	100,43

Габбро-автометаморфизованный (актинолит-эпидот-пренитизированный)									Верхний эоцен			
Петрофизическая характеристика												
Статистич.параметры по 32 опр.		ρ	W	n	V_p	E	G	μ	$R_{cж}$	Место отбора проб		
X(min-max)		2,98-3,12	0,20-0,31	0,70-0,88	6,1-7,0	7,1-8,1	3,5-4,8	0,18-0,21	138-180	Соткское месторождение гор. 7, шт. 40		
S		3,06	0,26	0,79	6,7	7,6	4,3	0,19	160			
Петрографическая характеристика												
Макроскоп. описание		Минеральный состав в %						Структура породы				
		Главные			вторичные							
Серый, зеленовато-серый		Плагиоклаз-лаурадор -25-30, пироксен-5-8, оливин-7-12,акцесс-магнетит			Пренит,эпидот, актинолит			Габбровая, реликтовая, гранобластовая				
SiO ₂	TiO ₂	Al ₂ O ₃	Fe ₂ O ₃	FeO	MnO	MgO	CaO	Na ₂ O	K ₂ O	H ₂ O	ППП	сумма
48,1	0,27	19,26	3,38	4,02	0,18	8,18	13,83	1,67	0,18	0,36	1,01	100,35

Габбро (актинолит-клиноцизит-пренитизированный)									Верхний эоцен			
Петрофизическая характеристика												
Статистич. параметры по 23 опр.	ρ	W	n	V_p	E	G	μ	$R_{cж}$	Место отбора проб			
X(min-max)	2,65-2,7	1,09-1,75	2,9-4,25	3,63-4,2	4,4-5,0	2,0-2,6	0,2-0,22	90-110	Соткское месторождение, гор.6, штолня промежуточная			
S	2,68	1,40	3,75	3,95	4,6	2,2	0,21	102				
Петрографическая характеристика (гидротермально измененная)												
Макроскоп. описание	Минеральный состав в %								Структура			
	Главные				вторичные				породы			
Серовато-зеленый	Лейсты плагиоклаза-5-10, пироксен-5-10, акцесс-магнетит				Актинолит, эпидот Клиноцизит, пренит			Реликтовая, габбровая, петельчатая				
SiO ₂	TiO ₂	Al ₂ O ₃	Fe ₂ O ₃	FeO	MnO	MgO	CaO	Na ₂ O	K ₂ O	H ₂ O	ППП	сумма
42,1	1,05	17,31	3,11	6,73	0,08	9,65	18,2	0,41	0,24	0,3	1,18	100,09

Габбропренит-хлоритовые									Верхний эоцен			
Петрофизическая характеристика												
Статистич. параметры по 12 опр.	ρ	W	n	V_p	E	G	μ	$R_{cж}$	Место отбора проб			
X(min-max)	2,63-2,71	0,9-1,61	2,60-3,0	4,1-5,1	4,8-5,3	1,9-2,7	0,20-0,27	75-102	Соткское месторождение, гор.4, шт.122			
S	2,67	1,08	2,88	4,50	5,00	2,30	0,26	90				
Петрографическая характеристика (гидротермально измененная)												
Макроскоп. описание	Минеральный состав в %								Структура			
	Главные				вторичные				породы			
Темно-зеленый, серый	Пренит-10-20, кальцит-15025, хлорит-8-15, магнетит				Хлорит, пренит, Кальцит			Гетеробластовая				
SiO ₂	TiO ₂	Al ₂ O ₃	Fe ₂ O ₃	FeO	MnO	MgO	CaO	Na ₂ O	K ₂ O	H ₂ O	ППП	сумма
41,1	0,74	18,28	4,13	5,15	0,18	8,18	14,16	4,11	0,61	0,81	2,61	99,98

Габбро-хлорит-карбонатизированный									Верхний эоцен		
Петрофизическая характеристика											
Статистич. параметры по 28 опр.	ρ	W	n	V_p	E	G	μ	$R_{cж}$	Место отбора проб		
X(min-max)	2,60-2,68	0,9-1,2	2,45-3,25	3,25-4,0	5,2-5,8	2,7-3,6	0,18-0,24	78-90	Соткское месторождение, гор.шт. 5, шт.25		
S	2,64	1,05	2,77	3,65	5,55	3,0	0,20	86			

Петрографическая характеристика (гидротермально измененная)												
Макроскоп. описание	Минеральный состав в %								Структура			
	Главные				вторичные				породы			
Зеленовато-серый	Лаврадор-15, клинопироксен-5-15, оливин-7-8, акцесс-апатит, магнетит				Хлорит, арбонаты				Габбровая, реликтовая			
SiO ₂	TiO ₂	Al ₂ O ₃	Fe ₂ O ₃	FeO	MnO	MgO	CaO	Na ₂ O	K ₂ O	H ₂ O	ППП	сумма
45,28	0,27	13,0	8,46	3,01	0,06	10,19	15,87	1,70	0,65	0,52	1,20	100,20

153

Габбро-околорудно-измененный гидрослюдистые аргиллизиты									Верхний эоцен		
Петрофизическая характеристика											
Статистич. параметры по 30 опр.	ρ	W	n	V_p	E	G	μ	$R_{cж}$	Место отбора проб		
X(min-max)	2,60-2,67	0,29-1,28	2,05-3,0	2,4-3,6	3,0-4,01	1,4-1,8	0,22-0,3	69-85	Соткское месторождение, гор.5, шт.13		
S	2,64	,96	2,66	3,0	3,47	1,6	0,28	80			

Петрографическая характеристика												
Макроскоп. описание	Минеральный состав в %								Структура			
	Главные				вторичные				породы			
Светло-серый	Глинистые минералы-2,5-4,0, Диккит-5-15, Кварц-2-3, Рутил-7-12, хлорит				Аргиллизит				Пелитовая			
SiO ₂	TiO ₂	Al ₂ O ₃	Fe ₂ O ₃	FeO	MnO	MgO	CaO	Na ₂ O	K ₂ O	H ₂ O	ППП	сумма
48,41	0,28	18,94	4,45	5,27	-	8,67	9,0	2,29	1,2	0,41	1,05	100,05

Ультрабазиты

Перидотиты									Верхний эоцен			
Петрофизическая характеристика												
Статистич. параметры по 45 опр.	ρ	W	n	V_p	E	G	μ	$R_{cж}$	Место отбора проб			
X(min-max)	2,88-2,94	0,3-0,63	0,83-1,53	6,4-7,2	5,72-10,9	2,28-4,22	0,26-0,28	160-180	Караиман-Соткий габбро-перидотовый массив			
S	2,90	0,42	1,22	6,8	7,63	3,91	0,27	165				
Петрографическая характеристика												
Макроскоп. описание	Минеральный состав в %								Структура			
	Главные				вторичные				породы			
Серовато-черный, серый, зеленовато-синий	Ортопироксен-45, оливин-50, клинопироксен-4-5, акцессорон-хромшпинелид, магнетит				Серпентин,(хризотил, антигорит)				Гипидиоморфнозернистая			
SiO ₂	TiO ₂	Al ₂ O ₃	Fe ₂ O ₃	FeO	MnO	MgO	CaO	Na ₂ O	K ₂ O	H ₂ O	ППП	сумма
39,55	0,02	1,18	6,68	2,86	0,12	32,45	2,92	0,24	0,11	0,28	9,13	99,17

154

Перидотит (гарцбургит)									Верхний эоцен			
Петрофизическая характеристика												
Статистич. параметры по 14 опр.	ρ	W	n	V_p	E	G	μ	$R_{cж}$	Место отбора проб			
X(min-max)	2,83-2,86	0,23-0,41	0,36-1,20	5,5-6,0	6,5-6,8	3,18-3,49	0,27-0,32	95-165	С-В побережье Севана, Шоржинский массив			
S	2,84	0,35	0,99	5,7	6,65	3,24	0,30	125				
Петрографическая характеристика												
Макроскоп. Описание	Минеральный состав в %								Структура			
	Главные				вторичные				породы			
Зеленовато-серый	Оливин-40-55, ортопироксен-25-35, карбонат-5-7,рудный минерал				Серпентин (хризотил, антигорит)				Гипидиоморфнозернистая, Петельчатая			
SiO ₂	TiO ₂	Al ₂ O ₃	Fe ₂ O ₃	FeO	MnO	MgO	CaO	Na ₂ O	K ₂ O	H ₂ O	ППП	сумма
39,20	Сл.	1,19	6,02	2,04	0,10	37,50	0,12	0,52	0,12	0,12	13,40	100,33

Перидотит (лерцолит)									Верхний эоцен	
Петрофизическая характеристика										
Статистич. параметры по 18 опр.	ρ	W	n	V_p	E	G	μ	$R_{cж}$	Место отбора проб	
X(min-max)	2,88-2,91	0,18-0,31	0,51-0,83	5,9-6,3	5,4-6,9	2,8-3,4	0,25-0,30	120-142	С-В побережье оз. Севан, Джиль-Сатанахачский массив	
S	2,89	0,24	0,69	6,15	5,61	3,1	0,27	130		

Петрографическая характеристика												
Макроскоп. описание		Минеральный состав в %							Структура породы			
		Главные				вторичные						
Серовато-черный		Оливин-75-80, бронзит и авгит-15-20, акцесс-хромшпинелид, магнетит							Гипидиоморфнозернистая			
SiO ₂	TiO ₂	Al ₂ O ₃	Fe ₂ O ₃	FeO	MnO	MgO	CaO	Na ₂ O	K ₂ O	H ₂ O	ППП	сумма
40,68	0,04	1,51	5,31	2,92	0,14	35,18	0,38	0,13	0,05	0,22	13,41	99,85

Петрофизическая характеристика гидротермально измененных пород									Верхний эоцен			
Перидотит-хризотил эпидотовой		Петрофизическая характеристика										
		Статистич. параметры по 30 опр.	ρ	W	n	V_p	E	G	μ	$R_{cж}$	Место отбора проб	
X(min-max)	2,68-2,76	1,2-2,6	1,2-3,0	3,0-4,7	5,4-6,0	2,1-2,6	0,25-0,30	110-135	Сотк гор.шт. 25,40			
S	2,70	1,9	2,15	4,0	5,8	2,4	0,27	120				
Петрографическая характеристика (автоматизированные)												
Макроскоп. описание		Минеральный состав в %							Структура породы			
		Главные				вторичные						
Черный, зеленовато-серый		Хризотил-22-28, карбонаты-20-22, серпентин-35-45, рудные минералы, магнетит							Петельчатая, решетчатая			
SiO ₂	TiO ₂	Al ₂ O ₃	Fe ₂ O ₃	FeO	MnO	MgO	CaO	Na ₂ O	K ₂ O	H ₂ O	ППП	сумма
40,13	-	3,18	6,31	2,12	0,11	37,81	0,13	0,12	0,04	1,01	8,74	99,70

Перидотиты (тальк-карбонатизированный)									Верхний эоцен	
Петрофизическая характеристика										
Статистич. параметры по 28 опр.	ρ	W	n	V_p	E	G	μ	$R_{cж}$	Место отбора проб	
X(min-max)	2,1-2,8	0,8-1,4	2,3-3,1	2,1-2,6	1,98-2,3	0,9-1,2	0,27-0,09	45-58	Соткское месторождение, гор.шт.25	
S	2,48	1,20	2,97	2,4	2,1	1,0	0,28	51		

Петрографическая характеристика (гидротермально измененная)

Макроскоп. описание	Минеральный состав в %								Структура		
	Главные				вторичные				породы		
Серовато-зеленый	Оливин-32, тальк-20, карбонат-18, гиперстен-5, доломит-5-6, рудный минерал								Сланцеватая, параллельная		
SiO_2	TiO_2	Al_2O_3	Fe_2O_3	FeO	MnO	MgO	CaO	Na_2O	K_2O	H_2O	ППП
40,1	0,03	1,2	8,61	3,14	0,01	36,16	2,8	0,20	0,16	1,7	3,86
											сумма
											99,50

Серпентинит-хризотиловый									Верхний эоцен	
Петрофизическая характеристика										
Статистич. Параметры по 28 опр.	ρ	W	n	V_p	E	G	μ	$R_{cж}$	Место отбора проб	
X(min-max)	2,55-2,64	1,5-2,3	4,71-5,0	3,3-4,3	3,2-4,3	1,9-2,3	0,24-0,29	85-105	Соткское месторождение, гор.шт. 5	
S	2,59	1,9	4,94	3,9	3,8	2,1	0,27	95		

Петрографическая характеристика (гидротермально измененная)

Макроскоп. описание	Минеральный состав в %								Структура		
	Главные				вторичные				породы		
Зеленовато-серый	Оливин-15, хромшпинелид-12, доломит-8-12								Петельчатая		
SiO_2	TiO_2	Al_2O_3	Fe_2O_3	FeO	MnO	MgO	CaO	Na_2O	K_2O	H_2O	ППП
40,49	-	1,80	6,77	2,89	0,14	38,1	0,97	0,10	0,08	0,3	8,84
											сумма
											100,48

Серпентинит оталькованный									Верхний эоцен			
Петрофизическая характеристика												
Статистич. параметры по 18 опр.	ρ	W	n	V_p	E	G	μ	$R_{cж}$	Место отбора проб			
X(min-max)	2,52-2,58	2,0-2,7	5,9-7,2	3,6-5,0	3,6-5,3	2,0-2,27	0,24-0,30	70-110	Соткское месторождение, гор.5			
S	2,56	2,4	6,8	4,2	4,0	2,4	0,28	95				
Петрографическая характеристика (гидротермально измененная)												
Макроскоп. описание	Минеральный состав в %							Структура породы				
	Главные				вторичные							
Голубовато-зеленоватый	Доломит-20-25, тальк-50-55, акцесс-хромит, магнетит				Хлорит, опал Хризотил, тальк актинол			Колломорфная, сланцеватая, параллельная				
SiO ₂	TiO ₂	Al ₂ O ₃	Fe ₂ O ₃	FeO	MnO	MgO	CaO	Na ₂ O	K ₂ O	H ₂ O	ППП	сумма
39,5	-	2,59	6,05	3,59	0,17	38,6	0,52	0,08	0,07	1,0	8,3	100,4

157

Перидотиты околоврудно-измененные кварц-карбонатизированные (листвениты)									Верхний эоцен			
Петрофизическая характеристика												
Статистич. параметры по 25 опр.	ρ	W	n	V_p	E	G	μ	$R_{cж}$	Место отбора проб			
X(min-max)	2,48-2,56	2,0-3,2	5,8-7,2	3,65-4,72	3,43-3,50	1,40-2,0	0,15-2,0	70-82	Соткское месторождение, гор.5, шт.25			
S	2,52	2,8	6,55	4,37	3,47	1,62	1,18	75				
Петрографическая характеристика												
Макроскоп. описание	Минеральный состав в %							Структура породы				
	Главные				вторичные							
Серый	Келтовато-магнезиальный карбонат (брейнерит, доломит, кальцит) -30-50, кварц-2-3, тальк-5-7, акцесс-магнетит, хрошишинелид				Хлорит, кальцит кварц			Неравномернозернистая, петельчатая				
SiO ₂	TiO ₂	Al ₂ O ₃	Fe ₂ O ₃	FeO	MnO	MgO	CaO	Na ₂ O	K ₂ O	H ₂ O	ППП	сумма
29,42	0,15	2,58	5,66	3,59	0,15	38,89	3,15	0,11	0,04	1,33	14,89	99,96

Дуниты									Верхний эоцен			
Петрофизическая характеристика												
Статистич.параметры по 24 опр.	ρ	W	n	V_p	E	G	μ	$R_{cж}$	Место отбора проб			
X(min-max)	3,08-3,16	0,31-0,60	1,0-1,75	3,5-5,6	4,8-5,4	2,1-2,7	0,24-0,28	120-150	С-В побережье оз. Севан			
S	3,12	0,44	1,38	4,3	5,1	2,52	0,26	132				
Петрографическая характеристика												
Макроскоп. описание	Минеральный состав в %								Структура породы			
	Главные				вторичные							
Темно-синевато-зеленый, черный	Оливин-85-95, гиперстен и авгит-10-12, акцесс-хромшпинелид				Серпентин хризотил антигорит				Неравномернозернистая			
SiO ₂	TiO ₂	Al ₂ O ₃	Fe ₂ O ₃	FeO	MnO	MgO	CaO	Na ₂ O	K ₂ O	H ₂ O	ППП	сумма
33,01	0,04	2,18	7,73	3,18	0,17	37,1	3,13	0,28	0,12	-	12,8	99,74

Пироксенит									Верхний эоцен			
Петрофизическая характеристика												
Статистич. параметры по 20 опр.	ρ	W	n	V_p	E	G	μ	$R_{cж}$	Место отбора проб			
X(min-max)	3,16-3,30	0,12-0,37	0,40-1,25	4,9-5,8	6,2-7,2	2,8-3,4	0,22-0,26	180-245	Севернее Сотского месторождения, с. Джанахмед			
S	3,2	0,29	0,93	5,2	6,8	3,1	0,23	200				
Петрографическая характеристика												
Макроскоп. описание	Минеральный состав в %								Структура породы			
	Главные				вторичные							
Зеленовато-серый, до черного цвета	Пироксен и энстатит-80-90, оливин-4-5, акцесс-хромшпинелид, магнетит				Серпентин, хризотил антигорит				Гипидиоморфнозернистая			
SiO ₂	TiO ₂	Al ₂ O ₃	Fe ₂ O ₃	FeO	MnO	MgO	CaO	Na ₂ O	K ₂ O	H ₂ O	ППП	сумма
46,01	0,10	5,49	4,13	7,86	0,09	21,3	12,10	0,81	0,31	1,01	1,18	100,40

3.4. Вулканогенно-осадочные породы Мегралзорского рудного поля

Андезитобазальты (Кироваканская свита)									Средний эоцен	
Петрофизическая характеристика										
Статистич.Параметры по 48 опр.	ρ	W	n	V_p	E	G	μ	$R_{cж}$	Место отбора проб	
X(min-max)	2,60-2,66	0,9-1,31	1,34-3,47	3,6-4,0	3,5-4,2	1,6-2,7	0,19-0,20	110-130	Бассейн левого притока р.Мармариk уч.Аджаридзорский	
S	2,64	1,18	2,90	3,83	3,94	2,09	0,16	122		
Петрографическая характеристика										
Макроскоп. описание	Минеральный состав в%								Структура	
	вкрапленники			основная масса			вторичные		породы	
Светло-серый	Плагиоклаз-20-35,монокл. пироксен-20, аглит-12,рог. обманка-5-10	Плагиоклаз-20-25,Пирокс- ен-10,кварц-15, акцесс-апатит, магнетит	Карбонаты, Хлорит,серицит	Порфировая				Пилотакситовая, гиалопилитовая		
SiO ₂	TiO ₂	Al ₂ O ₃	Fe ₂ O ₃	FeO	MnO	MgO	CaO	Na ₂ O	K ₂ O	H ₂ O
60,12	0,88	19,21	5,86	3,12	0,28	3,88	0,78	3,18	0,62	0,45
									ППП	сумма
									1,2	99,58

159

Андезитодиориты (кварц-серицитовая фация)									Средний эоцен	
Петрофизическая характеристика										
Статистич.Параметры по 22 опр.	ρ	W	n	V_p	E	G	μ	$R_{cж}$	Место отбора проб	
X(min-max)	2,52-2,56	1,56-2,12	4,0-5,57	3,0-4,0	3,1-3,4	1,2-2,1	0,14-0,18	100-232	Юго-Западная часть рудного поля уч. Алжаридзорский	
S	2,55	1,78	4,74	3,44	3,21	1,70	0,16	120		
Петрографическая характеристика (гидротермально измененные)										
Макроскоп. описание	Минеральный состав в%								Структура	
	вкрапленники			основная масса			вторичные		породы	
Светло-зеленый	Андезин-30-35,кварц-5-10	Плагиоклаз-5-12 кварц-3-10	Серицит,хлорит, Кварц,карбонаты магнетит	Порфировая				Мелкозернистая		
SiO ₂	TiO ₂	Al ₂ O ₃	Fe ₂ O ₃	FeO	MnO	MgO	CaO	Na ₂ O	K ₂ O	H ₂ O
63,1	0,73	12,98	3,71	4,92	0,15	3,88	4,56	3,13	0,48	1,23
									ППП	сумма
									1,09	99,96

Андезитовазальты (серицит-хлорит-карбонатовая фация)									Средний эоцен			
Петрофизическая характеристика												
Статистич. параметры по 82 опр.	ρ	W	n	V_p	E	G	μ	$R_{cж}$	Место отбора проб			
X(min-max)	2,54-2,62	1,5-1,9	3,9-5,0	3,5-4,1	2,2-3,0	1,3-2,0	0,23-0,3	98-110	Центральная часть Аджаридзорского и Шакардзурского участков			
S	2,58	1,72	4,4	3,71	2,68	1,66	0,25	100				
Петрографическая характеристика (гидротермально измененные-пропилитизированные)												
Макроскоп. описание	Минеральный состав в%							Структура				
	вкрапленники			основная масса		вторичные		породы		основной массы		
Зеленовато-серый	Плагиоклаз-10-25, кварц-7-10		Плагиоклаз-5-15, кварц-5-7, биотит		Хлорит, кварц серицит		Порфировая		Микрозернистая			
SiO ₂	TiO ₂	Al ₂ O ₃	Fe ₂ O ₃	FeO	MnO	MgO	CaO	Na ₂ O	K ₂ O	H ₂ O	ППП	сумма
57,51	0,05	16,72	4,78	4,79	0,21	5,52	2,05	0,96	1,57	0,61	14,0	99,97

160

Андезитовазальты (кварц-карбонатовая фация)									Средний эоцен			
Петрофизическая характеристика												
Статистич. параметры по 62 опр.	ρ	W	n	V_p	E	G	μ	$R_{cж}$	Место отбора проб			
X(min-max)	2,46-2,58	2,01-2,4	3,8-6,5	3,5-4,5	2,85-3,15	1,10-1,80	0,18-0,22	80-117	Центральный и восточный участки			
S	2,52	2,32	5,06	4,0	3,0	1,55	0,20	90				
Петрографическая характеристика (гидротермально измененные)												
Макроскоп. описание	Минеральный состав в%							Структура				
	вкрапленники			основная масса		вторичные		породы		основной массы		
Зеленый, зеленовато-серый	Плагиоклаз-25-30, карбонаты-10		Кварц-5-10, альбит-10-12		Серицит, кварц Хлорит, карбонаты		Порфировая		Микролитовая, гиалопилитовая			
SiO ₂	TiO ₂	Al ₂ O ₃	Fe ₂ O ₃	FeO	MnO	MgO	CaO	Na ₂ O	K ₂ O	H ₂ O	ППП	сумма
54,4	1,87	15,28	4,36	7,12	0,29	5,41	3,88	4,56	0,71	1,01	1,21	100,09

Туфобрекчии андезитовазальтов (Кироваканская свита)

Средний эоцен

Петрофизическая характеристика									Место отбора проб					
Статистич. параметры по 38 опр.	ρ	W	n	V_p	E	G	μ	$R_{cж}$	Место отбора проб					
X(min-max)	2,56-2,64	1,8-2,4	4,9-5,4	4,0-4,6	3,5-4,1	1,35-1,68	0,20-0,27	100-125	Уч. Шакарджурский					
S	2,60	2,0	5,20	4,2	3,8	1,54	0,24	110						
Петрографическая характеристика														
Макроскоп. описание	Минеральный состав в%							Структура						
	вкрапленники			основная масса		вторичные		породы		основной массы				
Темно-серый	Плагиоклаз-10-20, кварц-5-8, акцесс-рудный минерал			Роговая обманка		Хлорит, эпидот кальцит		Брекчиевая		Псамитовая				
SiO ₂	TiO ₂	Al ₂ O ₃	Fe ₂ O ₃	FeO	MnO	MgO	CaO	Na ₂ O	K ₂ O	H ₂ O	ППП	сумма		
54,1	0,76	18,0	5,4	1,52	0,15	2,48	4,80	5,60	4,6	0,7	1,85	100,6		

161

Туфы агломератовые (Кироваканская свита)

Средний эоцен

Петрофизическая характеристика									Место отбора проб					
Статистич. параметры по 30 опр.	ρ	W	n	V_p	E	G	μ	$R_{cж}$	Бассейн левого притока р. Мармарик уч. Ближний					
X(min-max)	2,50-2,54	1,2-2,0	3,0-5,0	3,3-3,7	3,0-3,3	1,2-1,6	0,08-0,10	75-90						
S	2,52	1,68	4,0	3,55	3,15	1,42	0,09	85						
Петрографическая характеристика														
Макроскоп. описание	Минеральный состав в%							Структура						
	вкрапленники			основная масса		вторичные		породы		основной массы				
Серый	Литокласти, андезитовазальтового состава-30			Мелкообломочный вулканический материал, кристалло-кластическая плагиоклаза-30		Хлорит, эпидот карбонаты		Агломератовая обломочная		Микрокристаллическая цементирующей массы				
SiO ₂	TiO ₂	Al ₂ O ₃	Fe ₂ O ₃	FeO	MnO	MgO	CaO	Na ₂ O	K ₂ O	H ₂ O	ППП	сумма		
54,1	0,42	15,13	3,66	6,46	0,41	2,38	7,73	4,00	2,13	1,12	2,13	99,71		

Туфопесчаники									Средний эоцен			
Петрофизическая характеристика												
Статистич.параметры по 28 опр.	ρ	W	n	V_p	E	G	μ	$R_{cж}$	Место отбора проб			
X(min-max)	2,54-2,56	0,71-1,01	1,8-2,6	2,10-2,7	3,4-3,8	1,5-2,0	0,18-0,22	130-160	Бассейн Левого притока р.Мармарик			
S	2,55	0,86	2,2	2,36	3,57	1,75	0,20	150				
Петрографическая характеристика												
Макроскоп. описание	Минеральный состав в%								Структура			
	вкрапленники			основная масса			вторичные		породы		основной массы	
Светло-бронзовый	Хлорит, кристаллокласты плагиоклаза-10-15, кварц-8- 10, биотит-50-55			Хлорит-глинистый цемент- 35-40			Кварц, плагиоклаз, хлорит		Микрообломочная псамитовая			
SiO ₂	TiO ₂	Al ₂ O ₃	Fe ₂ O ₃	FeO	MnO	MgO	CaO	Na ₂ O	K ₂ O	H ₂ O	ППП	сумма
58,1	0,80	19,2	8,7	3,2	0,28	4,38	0,81	2,31	0,72	1,2	0,8	100,5

162

Туфоалевролиты (Кироваканская свита)									Средний эоцен			
Петрофизическая характеристика												
Статистич. параметры по 20 опр.	ρ	W	n	V_p	E	G	μ	$R_{cж}$	Место отбора проб			
X(min-max)	2,48-2,52	1,12-3,17	2,8-8,0	2,1-2,7	3,4-3,8	1,7-2,0	0,12-0,20	40-55	Бассейн Левого притока р.Мармарик			
S	2,50	2,14	5,21	2,36	3,57	1,85	0,15	50				
Петрографическая характеристика												
Макроскоп. описание	Минеральный состав в %								Структура			
	Основная масса				вторичные				породы			
Зеленовато-серый	Мелкий витрокластический материал-50,70, Кристаллокласты плагиоклаза (андезин) и пироксен								Витрокристаллическая алевролитовая			
SiO ₂	TiO ₂	Al ₂ O ₃	Fe ₂ O ₃	FeO	MnO	MgO	CaO	Na ₂ O	K ₂ O	H ₂ O	ППП	сумма
63,2	0,31	16,08	4,81	6,38	0,80	3,43	7,24	4,32	2,60	-	2,0	100,17

Слюдистый метаморфический сланец

Верхний протерозой

Петрофизическая характеристика									Место отбора проб			
Статистич. параметры по 10 опр.	ρ	W	n	V_p	E	G	μ	$R_{cж}$				
X(min-max)	2,63-2,70	0,66-1,9	3,0-2,45	5,00-6,13	4,5-5,2	2,0-2,3	0,20-0,25	105-145	Правобережье, уч. Зарский			
S	2,68	1,10	2,90	5,60	4,8	2,10	0,22	120				
Петрографическая характеристика												
Макроскоп. описание	Минеральный состав в %							Структура породы				
	Главные				вторичные							
Серый	Биотит-10-12, кварц-8, хлорит				Хлорит, тальк карбонаты			Гранобластовая				
SiO ₂	TiO ₂	Al ₂ O ₃	Fe ₂ O ₃	FeO	MnO	MgO	CaO	Na ₂ O	K ₂ O	H ₂ O	ППП	сумма
42,1	2,03	18,8	6,2	5,5	0,19	7,68	12,8	3,32	1,0	-	0,86	100,48

Кварц-слюдистые метаморфические сланцы

Верхний протерозой

Петрофизическая характеристика									Место отбора проб			
Статистич. параметры по 12 опр.	ρ	W	n	V_p	E	G	μ	$R_{cж}$				
X(min-max)	2,63-2,68	0,8-1,1	2,12-2,56	4,5-5,3	5,2-5,6	2,90-3,32	0,20-0,30	158-190	Правобережье, уч. Зарский			
S	2,66	1,0	2,42	5,0	5,25	3,18	0,27	180				
Петрографическая характеристика												
Макроскоп. описание	Минеральный состав в %							Структура породы				
	Главные				вторичные							
Зеленовато-серый	Карбонат-25-28, кварц-5-8, биотит-12				Хлорит, тальк			Лепидобластовая, сланцеватая, параллельная				
SiO ₂	TiO ₂	Al ₂ O ₃	Fe ₂ O ₃	FeO	MnO	MgO	CaO	Na ₂ O	K ₂ O	H ₂ O	ППП	сумма
46,84	2,13	16,6	4,84	4,36	0,20	8,13	12,26	3,13	1,10	-	-	99,69

Амфиболовый метаморфический сланец									Верхний протерозой			
Петрофизическая характеристика												
Статистич.параметры по 22 опр.	ρ	W	n	V_p	E	G	μ	$R_{cж}$	Место отбора проб			
X(min-max)	2,63-2,70	0,66-0,91	2,0-2,43	2,90-3,24	5,8-6,8	2,8-3,9	0,20-0,26	115-135	Правобережье, уч. Арчасарский			
S	2,68	0,83	2,22	3,1	6,1	3,6	0,23	125				
Петрографическая характеристика												
Макроскоп. описание	Минеральный состав в %								Структура			
	Главные				вторичные				породы			
Серый	Кварц-7-8, плагиоклаз-10-15, биотит-6-8, роговая обманка-15-20				Хлорит мусковит				Гранобластовая Текстура параллельная			
SiO ₂	TiO ₂	Al ₂ O ₃	Fe ₂ O ₃	FeO	MnO	MgO	CaO	Na ₂ O	K ₂ O	H ₂ O	ППП	сумма
47,64	0,12	20,1	6,3	5,4	0,11	1,64	14,20	3,33	1,86	-	-	100,7

164

Аплиты (жильные)									Верхний эоцен-нижний олигоцен			
Петрофизическая характеристика												
Статистич. параметры по 10 опр.	ρ	W	n	V_p	E	G	μ	$R_{cж}$	Место отбора проб			
X(min-max)	2,70-2,76	0,24-0,41	0,4-1,40	3,8-4,60	4,80-5,20	2,1-2,70	0,18-0,22	130-150	Уч. Шакарджукр Меградзорское месторождение			
S	2,73	0,36	0,99	4,27	5,0	2,41	0,19	138,3				
Петрографическая характеристика												
Макроскоп. описание	Минеральный состав в %								Структура			
	Главные				вторичные				породы			
Светло-серый	К.п.ш.-30, плагиоклаз-альбит-25-30, биотит-5-8, кварц-25,30, акцесс-рудный минерал, сфен, циркон				Хлорит				Микропорфированная			
SiO ₂	TiO ₂	Al ₂ O ₃	Fe ₂ O ₃	FeO	MnO	MgO	CaO	Na ₂ O	K ₂ O	H ₂ O	ППП	сумма
68,5	0,20	12,25	5,5	0,55	0,07	0,55	0,75	4,48	5,46	1,2	0,50	99,51

Монцосиениты									Верхний эоцен-нижний олигоцен			
Петрофизическая характеристика												
Статистич. параметры по 11 опр.	ρ	W	n	V_p	E	G	μ	$R_{cж}$	Место отбора проб			
X(min-max)	2,65-2,70	0,43-1,08	2,0-2,1	4,7-5,35	5,8-6,8	2,56-3,13	0,16-0,20	120-172	Участок Аджаридзор, Левобережье			
S	2,68	0,75	2,07	5,05	6,3	2,82	0,18	140				
Петрографическая характеристика												
Макроскоп. описание	Минеральный состав в %									Структура		
	Главные				вторичные				породы		основной массы	
Розоватый	Лаврадор-48,5, анортоклаз-20-30, роговая обманка-5-10, кварц-3-5, акцесс-апатит, рудный минерал				Хлорит, эпидот				Массивная		Монцонитовая	
SiO ₂	TiO ₂	Al ₂ O ₃	Fe ₂ O ₃	FeO	MnO	MgO	CaO	Na ₂ O	K ₂ O	H ₂ O	ППП	сумма
54,1	0,5	20,48	5,1	2,63	0,07	3,13	7,31	1,28	5,05	-	0,7	100,35

3.5. Интрузивные породы Меградзорского рудного поля

Гранодиориты-порфиры									Нижний мел-дотурун (неоком)			
Петрофизическая характеристика												
Статистич. параметры по 24 опр.	ρ	W	n	V_p	E	G	μ	$R_{cж}$	Место отбора проб			
X(min-max)	2,68-2,70	0,6-0,9	1,5-2,28	3,8-4,5	5,8-6,4	2,4-3,9	0,20-0,24	120-180	Центральный участок Меградзорского месторождения			
S	2,69	0,7	1,80	4,33	6,15	3,10	0,22	160				
Петрографическая характеристика												
Макроскоп. описание	Минеральный состав в %									Структура		
	Главные				вторичные				породы		основной массы	
Серый	К.п.ш.-50, плагиоклаз (альбит)-35, кварц-20, роговая обманка-5, биотит-5, акцесс-сфен, апатит, магнетит				Хлорит				Порфировая		Гипидиоморфно-зернистая	
SiO ₂	TiO ₂	Al ₂ O ₃	Fe ₂ O ₃	FeO	MnO	MgO	CaO	Na ₂ O	K ₂ O	H ₂ O	ППП	сумма
64,3	0,67	16,23	0,81	3,03	0,08	2,13	3,65	4,81	3,42	-	0,60	100,23

Кварцевые диориты									Нижний мел-дотуруон (неоком)			
Петрофизическая характеристика												
Статистич. параметры по 28 опр.	ρ	W	n	V_p	E	G	μ	$R_{cж}$	Место отбора проб			
X(min-max)	2,64-2,70	0,30-0,55	0,8-1,5	4,2-5,3	5,4-6,0	2,7-3,2	0,12-0,15	155-220	Южная часть Мармарицкого массива, средн. часть бассейна р.Мармариц Правобережье			
S	2,66	0,42	1,16	4,75	5,79	2,95	0,13	180				
Петрографическая характеристика												
Макроскоп. описание	Минеральный состав в %							Структура				
	Главные				вторичные			породы		основной массы		
Серый	Плагиоклаз-андезин-45, к.п.ш.-15, кварц-25, биотит-4, роговая обманка-12, акцесс-рудные минералы, апатит, циркон, магнетит				Серицит, пирит			Массивная		Гипидиоморфно-зернистая		
SiO ₂	TiO ₂	Al ₂ O ₃	Fe ₂ O ₃	FeO	MnO	MgO	CaO	Na ₂ O	K ₂ O	H ₂ O	ППП	сумма
63,36	0,52	18,80	1,56	2,44	0,12	0,92	3,11	3,01	5,81	-	1,01	99,65

Гранодиориты									Нижний мел-дотуруон (неоком)			
Петрофизическая характеристика												
Статистич. параметры по 12 опр.	ρ	W	n	V_p	E	G	μ	$R_{cж}$	Место отбора проб			
X(min-max)	2,66-2,73	0,38-0,48	1,0-1,26	5,9-6,4	6,4-7,0	3,13-4,1	0,10-0,14	135-165	Южная часть Мармарицкого массива, средн. Теч. Бассейна р.Мармариц, Правобережье			
S	2,70	0,44	1,18	6,28	6,8	3,91	0,12	150				
Петрографическая характеристика												
Макроскоп. описание	Минеральный состав в %							Структура				
	Главные				вторичные			породы		основной массы		
Серый	Плагиоклаз-андезин-40, к.п.ш.-15-20, кварц-15-20, биотит-3-5, роговая обманка-8, пироксен-3-5, акцесс-магнетит, апатит, сферен				Эпилот, серицит			Массивная		Гипидиоморфно-зернистая		
SiO ₂	TiO ₂	Al ₂ O ₃	Fe ₂ O ₃	FeO	MnO	MgO	CaO	Na ₂ O	K ₂ O	H ₂ O	ППП	сумма
64,28	0,59	15,70	2,10	1,88	0,05	2,60	3,97	3,77	1,90	0,10	1,01	100,08

Диабазы									Нижний мел-дотурон (неоком)			
Петрофизическая характеристика												
Статистич. параметры по 25 опр.	ρ	W	n	V_p	E	G	μ	$R_{cж}$	Место отбора проб			
X(min-max)	2,67-2,72	0,8-0,9	2,13-2,44	4,8-5,17	4,14-5,21	2,18-3,0	0,22-0,24	130-161	Центральный участок Меградзорского месторождения			
S	2,70	0,85	2,28	5,02	4,87	2,53	0,23	152				
Петрографическая характеристика												
Макроскоп. описание	Минеральный состав в %								Структура			
	Главные				вторичные				породы			
Темно-серый	Плагиоклаз-25-40, пироксен-10-12, авгит-5-15, акцесс-рудный минерал, апатит				Серицит, карбонаты хлорит				Порфировая			
SiO ₂	TiO ₂	Al ₂ O ₃	Fe ₂ O ₃	FeO	MnO	MgO	CaO	Na ₂ O	K ₂ O	H ₂ O	ППП	сумма
53,38	0,61	18,75	3,36	5,40	0,08	3,78	6,93	3,24	1,15	1,0	1,9	99,58

Плагиограниты									Нижний мел-дотурон (неоком)			
Петрофизическая характеристика												
Статистич. параметры по 14 опр.	ρ	W	n	V_p	E	G	μ	$R_{cж}$	Место отбора проб			
X(min-max)	2,60-2,64	0,51-0,72	1,32-1,84	4,5-5,2	5,1-5,8	2,8-3,0	0,18-0,22	168-172	с.Меградзор, Правобережье			
S	2,62	0,63	1,56	4,9	5,52	2,9	0,20	170				
Петрографическая характеристика												
Макроскоп. описание	Минеральный состав в %								Структура			
	Главные				вторичные				породы			
Светло-серый до белого цвета	Плагиоклаз (олигоклаз-андезин)-40-50,биотит-10-12, кварц-35, акцесс-апатит				Пеллит, хлорит Серицит, эпидот				Массивная			
SiO ₂	TiO ₂	Al ₂ O ₃	Fe ₂ O ₃	FeO	MnO	MgO	CaO	Na ₂ O	K ₂ O	H ₂ O	ППП	сумма
71,94	0,12	16,39	0,83	0,43	0,02	0,38	3,07	5,82	0,50	0,18	0,43	100,11

Диорит									Верхний эоцен-нижний олигоцен			
Петрофизическая характеристика												
Статистич. параметры по 18 опр.	ρ	W	n	V_p	E	G	μ	$R_{cж}$	Место отбора проб			
X(min-max)	2,66-2,68	0,6-0,7	1,60-1,87	4,7-5,2	6,1-6,3	3,0-3,16	0,17-0,20	140-160	Южный склон Памбанско го хребта, левый берег р.Мармарик			
S	2,67	0,65	1,73	4,92	6,22	3,1	0,19	150				
Петрографическая характеристика												
Макроскоп. описание	Минеральный состав в %								Структура			
	Главные				вторичные			породы		основной массы		
Светло-серый, зеленоватый	Плагиоклаз (андезин)-35-45, роговая обманка-12, пироксен-1-3, кварц-15-20, акцесс-сфен				Хлорит, каолин			Массивная		Призматически- зернистая, гипидиоморф-но- зернистая		
SiO ₂	TiO ₂	Al ₂ O ₃	Fe ₂ O ₃	FeO	MnO	MgO	CaO	Na ₂ O	K ₂ O	H ₂ O	ППП	сумма
62,3	0,60	14,5	4,5	3,20	0,05	2,8	3,5	4,2	2,7	-	1,25	99,6

Золото-свинцово-сурьмяная руда

3.6. Вулканогенно-осадочные породы Азатекского рудного поля

Андезито-базальты									Средний эоцен			
Петрофизическая характеристика												
Статистич. параметры по 22 опр.	ρ	W	n	V_p	E	G	μ	$R_{cж}$	Место отбора проб			
X(min-max)	2,60-2,63	1,5-1,8	3,9-5,0	3,5-4,0	4,0-4,8	2,1-3,0	0,18-0,20	95-110	Азатекское месторождение, Левобережье, шт. 63, 56			
S	2,62	1,7	4,5	3,75	4,4	2,6	0,19	105				
Петрографическая характеристика												
Макроскоп. описание	Минеральный состав в %								Структура			
	вкрапленники				основная масса		вторичные		породы			
Серовато-зеленый	Плагиоклаз-30-45, кварц-5-10				Роговая обманка-5-15, биотит-15, лаврадор-15-20		Хлорит,карбонаты пренит		Порфировая			
SiO ₂	TiO ₂	Al ₂ O ₃	Fe ₂ O ₃	FeO	MnO	MgO	CaO	Na ₂ O	K ₂ O	H ₂ O	ППП	сумма
57,6	0,5	12,01	4,59	5,8	0,16	5,20	8,8	3,78	0,75	0,12	0,5	99,81

Диориты

Верхний эоцен-нижний олигоцен

Петрофизическая характеристика									Место отбора проб Азатекское месторождение, Правобережье, шт. 56			
Статистич.параметры по 40 опр.	ρ	W	n	V_p	E	G	μ	$R_{cж}$				
X(min-max)	262-270	1,18-1,42	3,0-4,0	5,0-5,7	5,6-6,3	2,3-2,95	0,18-0,21	110-122				
S	2,67	1,39	3,71	5,3	6,0	2,65	0,20	115				
Петрографическая характеристика												
Макроскоп. описание	Минеральный состав в %							Структура				
	Главные				вторичные			Породы				
Темно-серый	Плагиоклаз-50-55, к.п.ш.-3-5, роговая обманка-5-8, биотит-8-10, акцесс-апатит, сфен, рудные минералы				Эпидот,биотит,кварц			Гипидиомаорфнозернистая				
SiO ₂	TiO ₂	Al ₂ O ₃	Fe ₂ O ₃	FeO	MnO	MgO	CaO	Na ₂ O	K ₂ O	H ₂ O	ППП	сумма
58,81	0,64	16,97	3,27	3,62	0,15	3,12	5,21	3,26	2,18	0,63	1,88	99,74

Роговики

Верхний эоцен

Петрофизическая характеристика									Место отбора проб Азатекское месторождение, Правобережье, шт. 61, 66			
Статистич. параметры по 29 опр.	ρ	W	n	V_p	E	G	μ	$R_{cж}$				
X(min-max)	2,69-2,72	0,38-0,50	0,90-1,40	4,7-5,0	6,01-7,8	2,95-3,40	0,12-0,17	150-190				
S	2,70	0,45	1,21	4,9	6,75	3,23	0,15	165				
Петрографическая характеристика												
Макроскоп. описание	Минеральный состав в%							Структура				
	вкрашенники			основная масса		вторичные		породы				
Зеленовато-серый	К.п.ш.-30-45,амфибол-10-12,акцесс-апатит, сфен, рудный минерал			Плагиоклаз-25-30, кварц-5		Биотит, хлорит		Массивная, роговиковая				
SiO ₂	TiO ₂	Al ₂ O ₃	Fe ₂ O ₃	FeO	MnO	MgO	CaO	Na ₂ O	K ₂ O	H ₂ O	ППП	сумма
57,6	0,28	24,12	1,88	1,64	0,24	1,24	3,18	2,81	4,18	0,20	2,12	99,50

Туфопесчаники									Средний эоцен	
Петрофизическая характеристика										
Статистич. параметры по 44 опр.	ρ	W	n	V_p	E	G	μ	$R_{cж}$	Место отбора проб	
X(min-max)	2,6-2,68	0,8-2,7	2,6-3,6	4,0-5,1	3,8-4,25	1,2-2,7	0,14-0,16	90-105	Азатекское месторождение, Левобережье, Скв.566,567,571	
S	2,65	1,25	3,31	4,50	4,10	1,95	0,15	95		

Петрографическая характеристика										
Макроскоп. описание		Минеральный состав в%						Структура		
		вкрапленники		основная масса		вторичные		породы		основной массы
Темно-серый		Литокласты андезита-10-15		К.п.ш.-25-40, слюдистая и хлоритовая масса-40-45		Хлорит		Неравномерно- зернистая		Псамитовая
SiO_2	TiO_2	Al_2O_3	Fe_2O_3	FeO	MnO	MgO	CaO	Na_2O	K_2O	H_2O
51,10	1,20	12,0	11,2	4,4	0,23	5,96	6,02	4,81	3,16	1,75
									ППП	сумма
									2,77	99,90

Диорит-порфирит									Верхний эоцен-олигоцен	
Петрофизическая характеристика										
Статистич. параметры по 12 опр.	ρ	W	n	V_p	E	G	μ	$R_{cж}$	Место отбора проб	
X(min-max)	2,62-2,69	0,5-0,64	1,48-1,60	5,0-5,6	5,7-6,3	2,56-2,70	0,12-0,20	85-112	Азатекское месторождение, Левобережье,Шт.40	
S	2,66	0,59	1,55	5,3	6,0	2,65	0,16	105		

Петрографическая характеристика										
Макроскоп. описание		Минеральный состав в%						Структура		
		вкрапленники		основная масса		вторичные		породы		основной массы
Темно-серый, зеленоватый		Кварц-5-10,биотит-10- 12,акцесс-сфен, рудный минерал		Плагиоклаз-45-50, к.п.ш.-12-15		Эпидот,хлорит серницит		Порфировая		Гипилеоморфно-зернистая
SiO_2	TiO_2	Al_2O_3	Fe_2O_3	FeO	MnO	MgO	CaO	Na_2O	K_2O	H_2O
53,88	0,88	16,22	6,13	5,01	0,03	4,18	5,31	2,88	2,13	1,10
									ППП	сумма
									1,85	99,60

Туфы трахивазальтов

Верхний эоцен

Статистич. параметры по 18 опр.	Петрофизическая характеристика								Место отбора проб			
	ρ	W	n	V_p	E	G	μ	$R_{cж}$				
X(min-max)	2,58-2,64	0,6-1,2	1,8-2,8	4,2-5,0	4,7-5,6	2,0-2,5	0,18-0,22	86-105	Левобережье Азатекского месторождения			
S	2,62	0,83	2,17	4,75	5,0	2,2	0,20	98				
Петрографическая характеристика												
Макроскоп. описание	Минеральный состав в %								Структура			
	вкрапленники			основная масса			вторичные		породы		основной массы	
Темно-серый до черного	Андезин-10, карбонат- 12, пироксен-10, акцесс-рудный минерал			Плагиоклаз-5, кварц-8, роговая обманка-12			Хлорит, карбонаты		Витрокластическая псамитовая		Микролитовая	
SiO ₂	TiO ₂	Al ₂ O ₃	Fe ₂ O ₃	FeO	MnO	MgO	CaO	Na ₂ O	K ₂ O	H ₂ O	ППП	сумма
52,12	0,78	21,87	5,13	3,18	0,18	1,78	5,3	3,18	5,2	0,64	0,9	100,26

Туффиты

Средний эоцен

Статистич. параметры по 29 опр.	ρ	Петрофизическая характеристика								Место отбора проб		
		W	n	V_p	E	G	μ	$R_{cж}$				
X(min-max)	2,42-2,54	1,6-3,6	4,0-8,5	3,1-3,6	3,0-4,10	1,2-2,0	0,05-0,16	45-58	Азатекское месторождение Левобережье скв. 575, 550, шт.40			
S	2,46	2,42	6,27	3,3	3,91	1,56	0,08	55				
Петрографическая характеристика												
Макроскоп. описание	Минеральный состав в %								Структура			
	Главные				вторичные				Породы			
Темно-серый до черного	Плагиоклаз-45-50, кварц-15-20, роговая обманка-9-10, акцесс-рудные минералы				Хлорит, кальцит глинистые минералы				Псамитовая с пепловой структурой связующей массы			
SiO ₂	TiO ₂	Al ₂ O ₃	Fe ₂ O ₃	FeO	MnO	MgO	CaO	Na ₂ O	K ₂ O	H ₂ O	ППП	сумма
52,80	0,41	22,50	4,03	5,50	0,19	1,80	4,71	2,80	1,86	3,10	-	99,70

3.7. Интрузивные породы Азатекского рудного поля

Монцониты									Верхний эоцен-олигоцен
Петрофизическая характеристика									
Статистич.параметры по 50 опр.	ρ	W	n	V_p	E	G	μ	$R_{cж}$	Место отбора проб
X(min-max)	2,62-2,70	0,3-0,68	0,9-2,0	4,7-6,4	5,3-7,4	2,7-3,2	0,16-0,23	125-156	Kаялинский массив, Азатекское месторождениеуч.Правобережье,шт. 67, 68, 61
S	2,65	0,55	1,34	5,74	6,45	3,05	0,20	142	

Петрографическая характеристика												
Макроскоп. описание		Минеральный состав в %							Структура			
		Главные				вторичные			Породы			
Светло-серый, розоватый		Плагиоклаз-35-45, к.п.ш.-25-35, кварц-2-10, биотит-5-10, акцесс-сфен, апатит, циркон							Монцонитовая, пойкилитовая			
SiO_2	TiO_2	Al_2O_3	Fe_2O_3	FeO	MnO	MgO	CaO	Na_2O	K_2O	H_2O	ППП	сумма
57,16	0,52	17,11	2,53	1,97	0,32	1,39	3,26	3,21	3,75	1,14	4,48	99,77

Монцодиориты									Верхний эоцен-олигоцен
Петрофизическая характеристика									
Статистич.параметры по 24 опр.	ρ	W	n	V_p	E	G	μ	$R_{cж}$	Место отбора проб
X(min-max)	2,66-2,70	0,28-0,56	1,0-1,5	5,1-6,0	5,1-7,2	1,9-3,0	0,18-0,22	140-162	Азатекское месторождение, Правобережье,Шт.66,67, скв.631
S	2,68	0,43	1,2	5,5	6,85	2,82	0,20	150	

Петрографическая характеристика												
Макроскоп. описание		Минеральный состав в %							Структура			
		Главные				вторичные			Породы			
Темно-серый		Плагиоклаз (An)-35-45, к.п.ш.-10-15,пироксен-5-8, роговая обманка-5-12,акцесс-магнетит, апатит, сфен							Монцонитовая, пойкилитовая			
SiO_2	TiO_2	Al_2O_3	Fe_2O_3	FeO	MnO	MgO	CaO	Na_2O	K_2O	H_2O	ППП	сумма
57,61	0,70	16,12	2,42	6,71	0,13	3,54	6,81	3,82	1,28	0,2	1,0	100,16

Петрофизическая характеристика									Место отбора проб			
Статистич. параметры по 28 опр.	ρ	W	n	V_p	E	G	μ	$R_{сж}$				
X(min-max)	2,56-2,60	1,2-2,2	3,0-3,6	5,2-6,1	4,4-5,6	1,85-2,8	0,20-0,26	105-135	Азатекское месторождение, Правобережье, шт. 61, 66			
S	2,58	1,86	3,20	5,8	4,8	2,60	0,23	125				
Петрографическая характеристика												
Макроскоп. описание	Минеральный состав в %							Структура				
	Главные				вторичные			Породы				
Светло-серый	Плагиоклаз-30-35, к.п.ш.-10-12, кварц-30-35, цветные минералы-30-35, кацесс-сфен, апатит, циркон				Серицит, карбонаты кварц			Монцонитовая				
SiO ₂	TiO ₂	Al ₂ O ₃	Fe ₂ O ₃	FeO	MnO	MgO	CaO	Na ₂ O	K ₂ O	H ₂ O	ППП	сумма
54,16	0,52	16,11	8,53	8,65	0,37	1,39	1,26	0,21	2,61	1,14	4,83	99,78

Петрофизическая характеристика									Верхний эоцен-олигоцен			
Статистич.параметры по 60 опр.		ρ	W	n	V_p	E	G	μ	$R_{cж}$	Место отбора проб		
X(min-max)		2,40-2,52	2,0-3,6	4,9-6,3	2,98-3,20	2,9-3,49	1,21-2,0	0,25-0,30	75-105	Азатекское месторождение, Правобережье, шт. 67 (ж. 45, 48а, р.т. 1)		
S		2,47	2,9	5,68	3,01	3,38	1,80	0,27	87			
Петрографическая характеристика (гидротермально измененные)												
Макроскоп. описание		Минеральный состав в %						Структура				
		Главные				вторичные		Породы				
Светло-серый		Плагиоклаз-25-35, к.п.ш.-10-12, биотит-12-20, кварц-5-10, акцесс-сфен, апатит, магнетит				Серицит, хлорит, Кальцит, кварц		Катахластическая				
SiO ₂	TiO ₂	Al ₂ O ₃	Fe ₂ O ₃	FeO	MnO	MgO	CaO	Na ₂ O	K ₂ O	H ₂ O	ППП	сумма
51,90	1,01	17,81	8,65	1,31	0,10	2,87	6,11	4,36	3,87	1,20	1,62	99,01

Гранодиориты									Верхний эоцен-нижний олигоцен			
Петрофизическая характеристика												
Статистич. параметры по 30 опр.	ρ	W	n	V_p	E	G	μ	$R_{cж}$	Место отбора проб			
X(min-max)	2,64-2,76	0,42-0,51	1,12-1,56	5,6-6,12	5,0-5,76	2,12-3,0	0,12-0,26	115-156	Каялинский массив			
S	2,70	0,48	1,34	6,04	5,51	2,84	0,30	140				
Петрографическая характеристика												
Макроскоп. описание	Минеральный состав в %								Структура			
	Главные				вторичные				Породы			
Розовато-серый	Анортоклаз-30-35, олигоклаз-25-30, кварц—8-12, биотит-8-10, амфибол-30, пироксен-2-3, акцесс-магнетит, циркон				Хлорит, эпидот				Гипидиоморфнозернистая			
SiO ₂	TiO ₂	Al ₂ O ₃	Fe ₂ O ₃	FeO	MnO	MgO	CaO	Na ₂ O	K ₂ O	H ₂ O	ППП	сумма
62,52	0,52	17,72	3,06	1,85	0,12	1,58	4,58	3,75	3,0	0,86	0,5	100,06

Золото-сульфидно-полиметаллическая руда

3.8. Вулканогенно-осадочные породы Шаумянского месторождения

Туфоконгломераты									Верхняя юра (оксфирд-кимеридж)			
Петрофизическая характеристика												
Статистич. параметры по 24 опр.	ρ	W	n	V_p	E	G	μ	$R_{cж}$	Место отбора проб			
X(min-max)	2,66-2,72	0,31-1,0	0,7-2,75	5,0-5,8	6,1-7,2	3,18-3,60	0,12-0,20	120-160	Район Шаумянского месторождения, Левый борт р.Халадж			
S	2,68	0,48	1,28	4,68	6,66	3,30	0,16	145				
Петрографическая характеристика												
Макроскоп. описание	Минеральный состав в%								Структура			
	вкрапленники			основная масса			вторичные		породы		основной массы	
Темно-зеленый	Обломки андезитобазальтов-35-50, кварц-10-12			Вулканическое стекло-15-25, чешуйки мусковита-5-10			Хлорит, кальцит, Мусковит, серцицит		Обломочная		Псамитовая связующей массы	
SiO ₂	TiO ₂	Al ₂ O ₃	Fe ₂ O ₃	FeO	MnO	MgO	CaO	Na ₂ O	K ₂ O	H ₂ O	ППП	сумма
53,13	1,0	14,6	8,18	3,78	0,21	6,13	5,05	3,13	2,0	0,41	2,24	99,86

Риодатиты

Средняя юра (байос-бат)

Петрофизическая характеристика												
Статистич.параметры по 35 опр.	ρ	W	n	V_p	E	G	μ	$R_{cж}$	Место отбора проб			
X(min-max)	2,62-2,7	0,5-1,0	1,9-2,15	4,1-5,3	5,2-5,8	2,56-3,0	0,09-0,14	125-175	Шаумянское месторождение Шахта I, западный штрек гор. 700			
S	2,67	0,8	2,12	4,8	5,42	2,97	0,12	150				
Петрографическая характеристика												
Макроскоп. описание	Минеральный состав в%							Структура				
	вкрапленники			основная масса			вторичные		породы			
Зеленовато-серый	Плагиоклаз-андезин-5-10, альбит-25-30, кварц-10-15, амфибол-3-7			Кварц-15-25, плагиоклаз-андезин-10-15			Серицит, хлорит Каолин, магнетит		Порфировая			
SiO ₂	TiO ₂	Al ₂ O ₃	Fe ₂ O ₃	FeO	MnO	MgO	CaO	Na ₂ O	K ₂ O	H ₂ O	ППП	сумма
68,08	0,41	16,1	1,15	1,44	0,15	0,98	3,40	2,78	0,63	0,72	4,16	100,09

Риодатиты гидротермально измененные (кварц-серицитовая фация)

Средняя юра

Петрофизическая характеристика												
Статистич.параметры по 26 опр.	ρ	W	n	V_p	E	G	μ	$R_{cж}$	Место отбора проб			
X(min-max)	2,42-2,58	2,8-3,6	5,2-8,8	2,8-3,5	2,4-3,15	1,1-1,9	0,14-0,20	60-95	Шаумянское месторождение			
S	2,51	3,2	7,47	3,2	2,71	1,65	0,16	85				
Петрографическая характеристика (гидротермально измененные)												
Макроскоп. описание	Минеральный состав в%							Структура				
	вкрапленники			основная масса			вторичные		породы			
Зеленовато-серый	Андезин-45-50, пироксен-10-12, биотит-0,5-1			Андезин-5-10, пироксен			Серицит, хлорит кварц		Порфировая			
SiO ₂	TiO ₂	Al ₂ O ₃	Fe ₂ O ₃	FeO	MnO	MgO	CaO	Na ₂ O	K ₂ O	H ₂ O	ППП	сумма
69,4	0,28	19,3	1,21	2,38	0,09	2,79	3,13	3,41	1,28	0,35	2,87	99,49

Кварцевые андезиты (Бараватумская свита)									Средняя юра (байос-бат)	
Петрофизическая характеристика										
Статистич. параметры по 39 опр.	ρ	W	n	V_p	E	G	μ	$R_{cж}$	Место отбора проб	
X(min-max)	2,50-2,61	1,50-1,92	4,0-4,7	3,18-4,25	3,56-4,18	1,60-2,15	0,12-0,20	90-105	Ущ. р.Чинар, с.Арфик	
S	2,56	1,70	4,3	3,80	3,98	1,90	0,17	95		
Петрографическая характеристика										
Макроскоп. описание	Минеральный состав в%								Структура	
	вкрапленники			основная масса			вторичные		породы	
Темно-зеленоватый	Лаврадор-10-20, кварц-5-15, акцесс-апатит, пирит, магнетит			Андезин-20-25, кварц-5-10, альбит			Хлорит, серицит, Мусковит, пренит		Порфировая	
SiO ₂	TiO ₂	Al ₂ O ₃	Fe ₂ O ₃	FeO	MnO	MgO	CaO	Na ₂ O	K ₂ O	H ₂ O
63,0	0,78	16,21	5,33	1,55	0,22	2,0	4,85	2,83	1,33	0,30
									ППП	сумма
									2,0	100,41

176

Кварцевые андезиты (кварц-серицитовая фация)									Средняя юра (байос-бат)	
Петрофизическая характеристика										
Статистич. параметры по 40 опр.	ρ	W	n	V_p	E	G	μ	$R_{cж}$	Место отбора проб	
X(min-max)	2,48-2,54	1,6-2,0	2,61-5,18	3,1-4,2	3,5-3,9	1,8-2,0	0,18-0,24	82-110	Шаумянское месторождение гор. 730	
S	2,48	1,81	4,52	3,71	3,7	1,95	0,20	98		
Петрографическая характеристика (гидротермально измененные)										
Макроскоп. описание	Минеральный состав в%								Структура	
	вкрапленники			основная масса			вторичные		породы	
Светло-серый, зеленоватый	Андезин-25-35, кварц-10			Андезин-15-20			Хлорит, серицит, кварц, карбонаты		Порфировая	
SiO ₂	TiO ₂	Al ₂ O ₃	Fe ₂ O ₃	FeO	MnO	MgO	CaO	Na ₂ O	K ₂ O	H ₂ O
60,2	0,44	14,11	7,73	1,38	0,24	2,62	4,86	2,26	1,18	0,48
									ППП	сумма
									3,92	99,62

Кварцевые андезиты (кварц-серицит-хлоритовая фация)									Средняя юра (байос-бат)	
Петрофизическая характеристика										
Статистич. параметры по 28 опр.	ρ	W	n	V_p	E	G	μ	$R_{cж}$	Место отбора проб	
X(min-max)	2,44-2,57	1,5-2,01	4,05-4,56	3,1-3,8	3,0-3,23	1,64-2,0	0,22-0,27	80-92	Шаумянское месторождение, гор. 820, 730	
S	2,52	1,74	4,44	3,5	3,17	1,86	0,24	85		

Макроскоп, описание	Минеральный состав в%						Структура			
	вкрапленники		основная масса		вторичные		породы		основной массы	
Светло-серый, с зеленоватым оттенком	Андезин-15-25, кварц-7-10			плагиоклаз-5-15, кварц-5-8	Серицит, кварц, Биотит, хлорит пирит			Порфировая		Пилотакситовая
SiO ₂	TiO ₂	Al ₂ O ₃	Fe ₂ O ₃	FeO	MnO	MgO	CaO	Na ₂ O	K ₂ O	H ₂ O
61,11	0,42	17,81	5,23	2,40	0,11	3,28	0,81	2,32	0,58	1,11
									ППП	сумма
									4,41	100,58

Кварцевые андезиты (хлорит-карбонатовая фация)									Средняя юра байос-бат	
Петрофизическая характеристика										
Статистич. параметры по 18 опр.	ρ	W	n	V_p	E	G	μ	$R_{cж}$	Место отбора проб	
X(min-max)	2,49-2,54	1,7-2,5	4,1-4,7	3,0-3,8	2,1-3,5	1,21-2,0	0,14-0,18	82-90	Шаумянское месторождение, гор. 820	
S	2,50	1,92	4,5	3,33	3,2	1,62	0,20	85		

Петрографическая характеристика (гидротермально измененные)										
Макроскоп. описание	Минеральный состав в%						Структура			
	вкрапленники		основная масса		вторичные		породы		основной массы	
Зеленовато-серый	Андезин-12, биотит-6-10, кварц-8-12			Плагиоклаз-10, клино- пироксен-5, магнетит-6, стекло	Хлорит, карбонаты			Порфировая		Микролитовая
SiO ₂	TiO ₂	Al ₂ O ₃	Fe ₂ O ₃	FeO	MnO	MgO	CaO	Na ₂ O	K ₂ O	H ₂ O
59,7	0,51	13,28	8,73	1,29	0,30	2,72	5,0	2,72	1,20	1,1
									ППП	сумма
									2,42	99,47

Инъекционные вулканические эксплозивные брекчии андезитов									Средняя юра (байос-бат)			
Петрофизическая характеристика												
Статистич. параметры по 24 опр.	ρ	W	n	V_p	E	G	μ	$R_{c\kappa}$	Место отбора проб			
X(min-max)	2,49-2,66	1,0-1,48	3,05-3,36	2,9-3,7	3,3-3,8	1,5-2,1	0,27-0,30	80-102	Шаумянское месторождение, гор. 700,820			
S	2,60	1,28	3,20	3,3	3,5	1,7	0,29	96				
Петрографическая характеристика												
Макроскоп. описание	Минеральный состав в%							Структура				
	вкрапленники			основная масса			вторичные		породы			
Зеленовато-серый	Андезин-15-20, пироксен-8-10, редко биотит			Андезин-20-30, пироксен-10-12, вулканическое стекло-5-10, кварц-1-3			Серцицит, кварц Биотит, хлорит		Порфировая Брекчневая			
SiO ₂	TiO ₂	Al ₂ O ₃	Fe ₂ O ₃	FeO	MnO	MgO	CaO	Na ₂ O	K ₂ O	H ₂ O	ППП	сумма
56,01	0,89	16,21	7,73	2,84	0,46	3,43	1,68	4,63	0,47	1,78	2,70	99,99

3.9. Вулканогенно-осадочные породы Арманинского месторождения

Риодаситы									Верхний эоцен			
Петрофизическая характеристика												
Статистич. параметры по 10 опр.	ρ	W	n	V_p	E	G	μ	$R_{c\kappa}$	Место отбора проб			
X(min-max)	2,57-2,63	0,50-0,71	1,28-1,86	4,13-4,56	3,93-4,24	1,98-2,22	0,08-0,13	115-142	Арманинское месторождение, гор. шт. 6, штр. 12			
S	2,60	0,62	1,61	4,38	4,10	2,12	0,10	130				
Петрографическая характеристика												
Макроскоп. описание	Минеральный состав в%							Структура				
	вкрапленники			основная масса			вторичные		породы			
Светло-серый, розовато-серый	Альбит-7-8, кварц-15-20, акцесс-рудный минерал			Плагиоклаз-12-15, кварц-олевошпатовая масса-20-25			Хлорит		Порфировая			
SiO ₂	TiO ₂	Al ₂ O ₃	Fe ₂ O ₃	FeO	MnO	MgO	CaO	Na ₂ O	K ₂ O	H ₂ O	ППП	сумма
69,71	0,42	15,5	1,22	2,10	0,08	0,77	2,8	3,08	2,09	1,33	1,0	100,1

Андезиты									Нижний эоцен	
Статистич. параметры по 15 опр.	Петрофизическая характеристика								Место отбора проб Арманисское месторождение штр. 5,12, шт. 6	
	ρ	W	n	V_p	E	G	μ	$R_{cж}$		
	X(min-max)	2,64-2,71	0,50-0,81	1,32-2,19	4,9-6,7	4,15-5,3	2,07-3,0	0,27-0,3	110-151	
S	2,68	0,74	1,98	5,88	4,68	2,60	0,29	142		

Петрографическая характеристика										
Макроскоп. описание		Минеральный состав в%						Структура		
		вкрапленники		основная масса		вторичные		породы		основной массы
Темно-серый		Плагиоклаз-15-20, акцесс-апатит, магнетит		Плагиоклаз-5, ромб. пироксен-5		Хлорит эпидот		Порфировая		Микрозернистая
SiO ₂	TiO ₂	Al ₂ O ₃	Fe ₂ O ₃	FeO	MnO	MgO	CaO	Na ₂ O	K ₂ O	H ₂ O
57,20	0,23	11,6	6,5	1,57	0,05	5,3	6,18	4,46	3,3	1,40
PПП										сумма
										100,24

Андезитодиабазы (кварц-серицитовая фация)									Средняя юра (байос-бат)	
Статистич. параметры по 20 опр.	Петрофизическая характеристика								Место отбора проб Центральная часть Араминского месторождения шт. 6	
	ρ	W	n	V_p	E	G	μ	$R_{cж}$		
	X(min-max)	2,48-2,60	1,1-2,0	2,61-5,18	3,1-4,2	3,57-4,32	1,4-2,6	0,10-0,21	85-120	
S	2,55	1,51	3,51	3,72	3,98	1,60	0,15	100		
Петрографическая характеристика (гидротермально измененные)										
Макроскоп. описание		Минеральный состав в%						Структура		
		вкрапленники		основная масса		вторичные		породы		основной массы
Светло-серый, зеленоватый		Плагиоклаз-андезин-25- 35, кварц-10-12		Андезин-15-20, кварц-3- 5, вулканическое стекло		Кварц, серицит Хлорит, карбонаты		Порфировая		Крипто-криSTALLлическая
SiO ₂	TiO ₂	Al ₂ O ₃	Fe ₂ O ₃	FeO	MnO	MgO	CaO	Na ₂ O	K ₂ O	H ₂ O
69,2	0,44	12,11	5,73	1,38	0,24	1,62	3,86	1,46	1,18	0,48
PПП										сумма
										99,62

Андезитобазальты									Верхний эоцен			
Петрофизическая характеристика												
Статистич.параметры по 15 опр.	ρ	W	n	V_p	E	G	μ	$R_{cж}$	Место отбора проб			
X(min-max)	2,60-2,67	0,48-0,71	1,20-2,1	4,8-5,7	4,91-5,16	1,9-2,56	0,24-0,28	102-131	Арманис, центральная часть шт. 6			
S	2,64	0,62	1,63	5,31	5,08	2,10	0,26	120				
Петрографическая характеристика												
Макроскоп. описание	Минеральный состав в%									Структура		
	вкрапленники			основная масса			вторичные		породы		основной массы	
Сероватый	Плагиоклаз-15,авгит-10, акцесс-апатит			Вулк. стекло-20, плагиоклаз-8,авгит-5			Хлорит карбонаты		Порфировая		Микрокристаллическая, гиалопилитовая	
SiO ₂	TiO ₂	Al ₂ O ₃	Fe ₂ O ₃	FeO	MnO	MgO	CaO	Na ₂ O	K ₂ O	H ₂ O	ППП	сумма
53,22	0,8	18,78	6,34	2,83	0,08	6,13	5,31	3,77	2,14	0,61	0,13	100,24

Трахиандезиты (хлорит-карбонатовые пропилиты)									Средний эоцен			
Петрофизическая характеристика												
Статистич. Параметры по 10 опр.	ρ	W	n	V_p	E	G	μ	$R_{cж}$	Место отбора проб			
X(min-max)	2,60-2,66	1,0-1,2	1,9-3,2	2,15-4,3	3,65-4,0	1,8-2,1	0,29-0,31	100-140	Арманисское месторождение			
S	2,64	1,12	3,0	3,70	3,80	1,54	0,30	122				
Петрографическая характеристика												
Макроскоп. описание	Минеральный состав в%									Структура		
	вкрапленники			основная масса			вторичные		породы		основной массы	
Зеленовато-серый	Плагиоклаз-андезин-45			К.п.ш.-25,пироксен-18, оливон-5			Хлорит,карбонаты серпентит		Порфировая		Микролитовая	
SiO ₂	TiO ₂	Al ₂ O ₃	Fe ₂ O ₃	FeO	MnO	MgO	CaO	Na ₂ O	K ₂ O	H ₂ O	ППП	сумма
54,12	0,18	15,7	6,4	1,80	0,08	5,06	5,8	4,2	5,3	1,2	1,0	100,84

Трахиандезиты (хлорит-эпидотовые пропилиты)

Средний эоцен

Петрофизическая характеристика									Место отвора проб			
Статистич. параметры по 12 опр.	ρ	W	n	V_p	E	G	μ	$R_{cж}$				
X(min-max)	2,62-2,67	0,68-0,75	1,6-2,10	3,9-5,0	3,6-4,8	2,0-2,6	0,19-0,24	110-142	Центральная часть Арманинского месторождения			
S	2,65	0,72	1,90	4,28	4,0	2,20	0,22	122				
Петрографическая характеристика												
Макроскоп. описание	Минеральный состав в%						Структура					
	вкрапленники			основная масса		вторичные		породы				
Зеленовато-серый	Плагиоклаз-40, кварц-3, акцесс-магнетит			К.п.ш.-30, оливин-6		Хлорит, эпидот карбонат		Порфировая				
SiO ₂	TiO ₂	Al ₂ O ₃	Fe ₂ O ₃	FeO	MnO	MgO	CaO	Na ₂ O	K ₂ O	H ₂ O	ППП	сумма
55,6	0,17	14,2	5,8	2,2	1,0	6,31	5,41	4,3	6,1	1,8	2,3	100,08

ЗАКЛЮЧЕНИЕ

Исследование структурно-петрофизических условий рудоотложения показало, что оно охватывает широкий круг вопросов, характеризующих взаимосвязь комплекса петрофизических особенностей (упругость, прочность, плотность, проницаемость, характер деформации) пород с развитием разнотипных тектонических структур при формировании гидротермальных месторождений.

Структурно-петрофизические условия рудоотложения по рудным формациям проявляются в самых различных масштабах с разной интенсивностью. Они связаны с многообразием ряда существенных факторов: сочетанием петрофизически разнородных пород по разрезу, степенью их контрастности, напряженным состоянием, типом деформации, метасоматическими изменениями и др.

Контрастность петрофизических показателей, особенно по упругости и прочности, во многом обусловливает разрядку тектонических напряжений. Сводовая часть антиклинальной складки с сочетанием пород с разнородными петрофизическими особенностями рассматривается как область концентрации деформирующих усилий, создающих зональный ряд разной степени проницаемости и интенсивности рудоотложения. Этот ряд проявляется как по вертикали, так и по горизонтали от центра к крыльям. Отчетливо проявленная структурная и соответствующая ей петрофизическая зональность создают структурно-петрофизические этажи. Совокупность этажей по всему разрезу месторождений составляет модель структурно-петрофизических условий рудоотложения.

Под структурно-петрофизическим этажом нами подразумевается отчетливо выраженная совокупность в единном плане комплекса толщ:

1. С определенными петрофизическими показателями,
2. Степенью и характером их деформации,
3. Соответствующими структурными элементами,
4. Особенностями метасоматического преобразования пород внутри толщ.

Структурно-петрофизический этаж характеризующийся повышенными показателями упругости (модулей Юнга, сдвига или коэффициента Пуассона), прочности, плотности и низкой фильтрации пород, создает опорно-экранирующую среду над восходящими гидротермальными и рудоносными растворами.

Непосредственно под экранирующей средой разрядка тектонических напряжений происходит за счет разуплотнения, понижения упругости, хрупкой деформации, повышения фильтрационной активности пород. В подобной структурно-петрофизически благоприятной для рудоотложения среде формируются рудные тела в виде штоков, линз, залежей неправильной формы (Алавердское рудное поле), жилы прожилково-вкрапленных штокверков (Капанское рудное поле); сплошные скопления с неравномерным характером распределения оруденения и жилы-золотополиметаллические месторождения (Шаумянское), жилы и жильные зоны (Арманисское, Азатекское, Соткское, Меградзорское месторождения).

В среде нижнего этажа в породах более основного состава с повышенной пластичностью (коэффициент Пуассона >0.30) преобладают большей частью выдержаные по падению и простирации тектонические трещины скола, вмещающие в основном рудные жилы.

Структурно-петрофизические условия отложения золотосодержащих руд в области развития основных и ультраосновных руд (Сотк), определяются контрастностью петрофизических особенностей приконтактовых частей гидрослюдистых габброидов и лиственитовых, тальк-карбонат-серпентинитовых ультрабазитов.

Условия штокверкового типа рудоотложения медно-молибденовых руд более простые. Они связаны с более однородными петрофизическими особенностями рудовмещающих пород. Измененные интрузивные образования, обладая умеренными показателями упругости, прочности и большей фильтрационной способностью, более податливы к хрупкой деформации и к развитию сетчато-мелкотрещинной структуры. Они создают благоприятную среду для замещения и формирования рудных штокверков (Каджаран, Агарак, Личк и др.).

Выявленная взаимосвязь физико-механических особенностей пород с тектоническими структурами позволила выяснить характер формирования морфо-структурных типов рудных образований. Она может иметь существенную роль в решении физико-геологической проблемы образования месторождений.

Сочетание в переделах геологического разреза дифференцированных по контрастности зональных структурно-петрофизических этажей может служить важным поисковым критерием многоярусного рудоотложения.

По комплексу определенных петрофизических показателей пород и руд и разработанной методике по ним устанавливается количественная оценка степени сложности горнотехнических условий в разработке месторождений.

В составленном впервые петрофизическому справочнику-кадастре для рудных месторождений РА установлена корреляционная связь между физико-механическими параметрами, петрографо-минеральными и химическими составами исходных и разноэтапно метасоматически измененных разностей пород.

В целом, наши исследования показали, что проблема анализа структурно-петрофизических условий рудоотложения находится на начальном этапе разработки и требует дальнейшего развития.

Подводя итоги исследований, отметим, что петрофизическая характеристика пород и руд в горно-рудной промышленности является неотъемлемой областью геолого- горнорудной отрасли – начиная от этапа поисково-разведочных работ вплоть до добычи и переработки руд.

Հանքանստման ստրուկտուրա-պետրոֆիզիկական պայմանների ուսումնասիրությունը ցույց է տալիս, որ այն ընդգրկում է հարցերի լայն շրջան՝ բնութագրելով ապարների համալիր պետրոֆիզիկական առանձնահատկությունների (առաձգականության, պլաստիկության, ամրության, խտության, դեֆորմացիայի ենթարկման բնույթի, ֆիլտրացիայի աստիճանի) և տեկտոնական ստրուկտուրաների առաջացման փոխկապակցվածությունը հիդրոքերմալ հանքավայրերի ձևավորման ընթացքում:

Հանքագոյացման ստրուկտուրա-պետրոֆիզիկական պայմանները հանքային ֆորմացիաներում բացահայտվում են ամենատարբեր մասշտաբներով և ինտենսիվությամբ: Այն պայմանավորվում է մի շարք ակնառու գործոնների բազմաբնույթությամբ, արտահայտված տարարժեք պետրոֆիզիկական առանձնահատկություններով բնորոշվող ապարների տեղաբաշխմամբ, երկրաբանական կտրվածքի տարրեր հորիզոններում լարվածության վիճակով, դեֆորմացիայի ձևով մետասոմատիտային փոփոխություններով և այլն:

Ապարների պետրոֆիզիկական առանձնահատկությունների՝ հատկապես առաձգականությամբ) միմյանց նկատմամբ կոնտրաստ աստիճաններով որոշակիորեն պայմանավորվում է տեկտոնական լարվածության լիցքաթափումը ըստ հարկերի:

Անտիկլինալային ծալքերի կամարային մասը արտահայտված ապարների տարաբնույթ պետրոֆիզիկական առաձնահատկություններով, դիտվում է որպես դեֆորմացնող ուժերի կենտրոնացման շրջան՝ հանդիսանալով ֆիլտրացիայի և հանքագոյացման զոնալական շարք: Այդ շարքը ձգվում է ինչպես ուղղաձիգ, այնպես և հորիզոնական՝ կենտրոնից դեպի թենը:

Ստրուկտուրապետրոֆիզիկական հարկերը մեր կողմից հասկացվում է ակնհայտորեն արտահայտված համալիր շերտախումբը.

1. Որոշակի պետրոֆիզիկական ցուցանիշներով,
2. Դեֆորմացման կարգով և բնույթով,
3. Համապատասխան ստրուկտուրային տարրերով,
4. Շերտախումբի մեջ ապարի մետասոմատիկ փոփոխվածության առանձնահատկություններով:

Հարկերի համալիր միասնական համադրումը հանքավայրի ամբողջ կտրվածքով արտահայտվում է հանքագոյացման պայմանների ֆիզիկական մոդելը:

Ստրուկտուրա-պետրոֆիզիկական հարկը բնորոշվող առաձգականության (Յունգի, սահքի մոդուլները կամ Պուասսոնի գործակիցը), խտության, ամրության առավելքարձր արժեքներով և ֆիլտրացիայի նվազագույն աստիճանով հանդիսանում է դի-

մակայուն-էկրանային միջավայր, հիդրոթերմալ և հանքաբեր լուծույթների միզրացիայի համար:

Նման դիմակայուն միջավայրից ցածր հարկերում տեղաբաշխված ապարներում տեկտոնական լարվածության լիցքաբափումը տեղի է ունենում ի հաշիվ նրանց խտության, առաձգականության, ամրության կտրուկ նվազման, փխրուն դեֆորմացիայի ենթարկման և ֆիլտրացիայի աստիճանի աճման: Ստեղծված հանքագոյացման նպաստավոր պայմաններում ձևավորվում են հանքային շտոկներ, ոսպնյակային և անձև կուտակումներ, որոնք բնորոշ են պղինձ-կոլչետանային ֆորմացիայի (Ալավերդու հանքային դաշտ), նաև երականերփակումային շտոկվերկեր (Կապանի հանքային դաշտ); անհավասարաչափ սուլֆիդային կուտակումներ ոսկի-բազմամետաղային ֆորմացիայի (Շահումյան), երակային գոտիներ (Արմանիս, Ազատեկ); ոսկի (Սոտկ, Մեղրաձոր):

Հանքային ֆորմացիայի խորը հորիզոններում գերակշռող միջին հիմնայնության և բարձր պլաստիկության (Պուաստոնի գործակիցը >0.30) ապարների տարածման ոլորտներում ձևավորված տեկտոնական սղման ճեղքային ձգվող ստրուկտուրաներում տեղակայվում են առավելապես երակային հանքային մարմիններ:

Ուլտրահիմնային և հիմնային ապարներում ոսկու ֆորմացիայի (Սոտկ) ստրուկտուրապետրոֆիզիկական պայմանները ներկայացվում են պետրոֆիզիկապես կոնտրաստ արգիլիզացված հիդրոփայլարային գաբրոիդների և լիստվենիտային տալկ-կարբոնատային սերպենտինիտների ուլտրաբազիտների կոնտակտներով ոսկերեր սուլֆիդային գոտիների տեղաբաշխմանք:

Պղինձ-մոլիբդենային շտոկվերկային հանքագոյացման ստրուկտուրա-պետրոֆիզիկական պայմանները առավել պարզ են: Այն պայմանավորված է հանք պարունակող ապարների պետրոֆիզիկական հատկանիշների միատարրությամբ անիզոտրոպությամբ: Հանքայնացվող մոնցոնիտա-դիորիտային ինտրուզիաները բնորոշվում են առաձգականության, ամրության, ֆիլտրացիայի չափավոր արժեքներով, առավել դյուրին փխրուն դեֆորմացիայի և ցանցանման, մանրաճեղքավոր ստրուկտուրաների զարգացմանբ: Նման ստրուկտուրապետրոֆիզիկական պայմանները նպաստավոր են շտոկվերկային հանքագոյացման համար (Քաջարան, Ազարակ, Լիճկ):

Ապարների պետրոֆիզիկական առանձնահատկությունների զոնալական կառուցվածքի դիֆերենցիացիան ըստ հարկերի կարող է հանդիսանալ բազմահարկային էնդոգեն հանքագոյացման որոնողական կարևորագույն նախադրյալ:

Հանքային դաշտերի տեկտոնական ստրուկտուրաների և ապարների պետրոֆիզիկական առանձնահատկությունների փոխկապակցության մանրամասն ուսումնասիրությունները վկայում են էնդոգեն հանքավայրերի հանքագոյացման պայմանների առավել լրիվ և բազմակողմանի անալիզի նոր ուղղության զարգացման կարևորություն

նը: Այն կարող է էական նշանակություն ունենալ հանքանստման ֆիզիկական պրոբլեմի լուծման համար:

Հայաստանի գունավոր և ազնիվ մետաղների հանքային ֆորմացիաների հանքագոյացման ստրուկտուրապետրոֆիզիկական պայմանների ուսումնասիրությունը և անալիզը ցույց տվեց պրոբլեմի օարգացման անհրաժեշտությունը:

Եթոնային ապարների և հանքաքարի պետրոֆիզիկական հատկանիշների ուսումնասիրությամբ և նրանցով մշակված մեթոդիկան հնարավորություն է ընձեռում հանքավայրի հանքահանման և մշակման երկրաբանալեռնատեխնիկական պայմանների բարդության աստիճանի քանակական գնահատմանը:

Կազմված պետրոֆիզիկական տեղեկատու-կադաստրը բացահայտում է 33 գունավոր և ազնիվ մետաղների հանքային ֆորմացիաների հրային ապարների և նրանց մետասոմատիկ փոփոխված տարատեսակների ֆիզիկա-մեխանիկական պարամետրերի, պետրոգրաֆա-միներալային և քիմիական կազմերի կորելացիային կապը:

Իմի բերելով ամբողջ ներկայացված նյութերը, նշենք որ ապարների և հանքաքարների պետրոֆիզիկական համալիր ուսումնասիրությունները լեռնահանքային արդյունաբերության անբաժան մասն են կազմում ներառյալ հանքավայրերի ուսումնասիրնան սկզբնական որոնողահետախուզական ըղիուած հանքաքարի հանման և մշակման փուլերը:

Resum e

Study of structural-and-petrophysical conditions of ore deposition includes a wide range of problems that characterize the interrelation of petrophysical peculiarities and structural elements of geological medium in the process of deposit formation.

In the first part comparison of combinations of petrophysical parameters with types of deformation structural elements, with the character and degree of metasomatic rock alteration on cut of deposits enable us to single out the structural petrophysical levels. And that in total is the deposit structural petrophysical model proper.

Different stages of hydrothermal metasomatic rock alteration promote the dynamic changes of petrophysical parameter indices becoming zonal as to the structural elements and ore bodies. Varied petrophysical parameters of the levels stipulate in many respects inhomogeneous reduction of tectonic stress.

Structural petrophysical levels in arch part of anticlines are considered as being the concentration stress areas going from the center to the wings thus forming a natural zonal number of ores of various degree of permeability and intensity of ore deposition.

The favorable degree of structural-and-petrophysical conditions of ore deposition for individual formations becomes apparent in various ranges and intensity. It is connected with a variety of structural petrophysical factors such as petrophysical inhomogeneous medium, filtration and deformation power, and strain state of ores. General analysis of the state of investigations concerning structural-and-petrophysical conditions of hydrothermal ore formation has shown that the present problem in RA is on its initial stage of development.

In the second part study of petrophysical parameters of rocks and ores is accepted to be rather important when one takes into account the process of mining work (mining system selection, excavation support, discharge of ore and stopes, etc.). To this end the methodics, involving estimation of the total data varied on the basis of parameters effecting mining specifications of deposit exploitation, has been worked out, positive effects being simplifying, negative ones being complicative.

On the basis of theoretical and experimental studies and analysis of factors the generalized petrophysical index has been derived. The comparison of petrophysical data obtained according to the deposits with the detailed classes given in a table enable us to evaluate the quantitative criterion of complicity of mining specifications for mining work. In the third part petrophysical hand book-cadastre was developed on complex indexes for physical mechanical parameters of the mineralogical-petrographical and chemical analysis of the RA ore formation rocks.

Л И Т Е Р А Т У Р А

1. Абовян С.Б., Багдасарян Г.П., Казарян Г.А. и др. Химические составы изверженных и метаморфических горных пород Армянской ССР. Изд. АН Арм. ССР, 1961, с. 137-141.
2. Агошков М.М., Малахов Г.М. Влияние физических свойств обрушенной руды в процессе выпуска. Подземная разработка рудных месторождений. М., Недра, 1966, с. 12-18.
3. Агошков М.М., Борисов С.С., Боярский В.А. Разработка рудных и нерудных месторождений. М., Недра, 1977, с. 17-28.
4. Акопян В.Т., Казарян А.Г., Шехян Г.Г. Особенности геологии и структуры Кафанского месторождения. Изв. АН Арм. ССР. Науки о Земле, 1969, 15, с. 29-39.
5. Алоян П.Г., Геология горнорудных регионов Армении. Ереван, Геоид, 2001, с. 243.
6. Амирян Ш.О. Золоторудные формации Армянской ССР. Изд. АН Арм. ССР, 1984, с 303.
7. Ананян Э.В. Некоторые черты трещиноватости пород Кафанского месторождения. Изв. АН Арм. ССР, Науки о Земле, 16, том XIX, 1966, с. 21-31.
8. Ачикгезян С.О. Об окологильных измененияхrudовмещающих кварцевых андезито-дацитов на Шаумянском золотополиметаллическом месторождении. Изд. АН Арм. ССР, Ереван, 1987, с. 199.
9. Ачикгезян С.О., Зограбян С.А., Карапетян А.И. и др. Кафандский рудный район (геологическое строение и рудоносность). Изв. АН Арм. ССР, Науки о Земле,
10. Басанин А.К. О тектонофизическом контроле приповерхностного гидротермального оруденения. Изв. АН СССР, "Геология", 1988, М., с. 84-92.
11. Беликов Б.П. Упругие и прочностные свойства горных пород. Труды АН СССР, вып. 43, 1961, с.47-111.
12. Беликов Б.П., Гудаев Н.Н., Залесский Б.В., Розанов Ю.А. Методы исследований физико-механических свойств скальных пород. М., Гидропроект, 1960, с. 38.
13. Белицкий А.А. Механизм образования трещиноватости и тектонических разрывов. В кн. "Проблемы тектонофизики". Материалы первого все-союзного тектонофизического совещания. М., 1960, с. 201-216
14. Беляев Н.Б. Сопротивление материалов. М., Недра, 1965, с. 365.
15. Богацкий В.В. Интрузивная и вулканическая тектоника периода кристаллизации магматических растворов и охлаждения массивов. Геологические структуры эндогенных рудных месторождений. М., Наука, 1978, с 153-166.
16. Бошенятов Е. Влияние метаморфизма на свойства горных пород. Горный журнал 9. 2006М.

17. Вардапетян Б.С. Закономерности распределения медного оруденения на территории Арм. ССР. Изд АН Арм.ССР, 1965, с. 307.
18. Вартанян С.У. Некоторые данные о поисковом значении ореолов рассеяния и физико-механических свойств пород медно-колчеданных месторождений Северной Армении. Изв. ВУЗ “Геология и разведка”, М.,1961, ¹1, с 68-77.
19. Вартанян С.У. Роль физико-механических свойств пород в локализации слепых рудных тел и обоснование их поисков (на примере колчеданных месторождений Северной Армении). Изв. ВУЗ, Геология и разведка. М.,1961, ¹2, с. 75-84.
20. Вартанян С.У. Некоторые вопросы условий образования слепых рудных тел колчеданных месторождений Северной Армении. Научные труды МГРИ, 1963, том XXXIX, с. 86-91.
21. Вартанян С.У. Связь разнотипных рудоконтролирующих структур с физико-механическими свойствами Алавердского рудного поля. Тез. докл. Закавказской конференции научных институтов горнорудных предприятий, Ереван, 1963, с.14-15.
22. Вартанян С.У. О влиянии вмещающих пород на образование слепых рудных тел колчеданного типа Алавердской группы месторождений. Изд. АН СССР, Геология рудных месторождений. М.,1965, с.104-107.
23. Вартанян С.У. петрофизическая модель медных и медно-молибденовых месторождение Армении Науяние труди ЗАО инст. Горнометалурги Ереван 2006-2007 с. 56-58
24. Вартанян С.У. Прослеживание Дебаклинского разлома на Каджаранском месторождении. Научные труды НИГМИ, вып.6. Ереван, 1967, с.396-400.
25. Вартанян С.У. Сейсмологические условия Кафанского рудного поля. Научные труды НИГМИ, вып.8. Ереван, 1969, с.431-439.
26. Вартанян С.У. Роль петрофизических особенностей пород при рудообразовании (на примере колчеданных месторождений). Наука и техника, 1969, ¹2, с.40-45.
27. Вартанян С.У. Петрофизические особенности пород Кафанскоого рудного поля и их роль в рудообразовании. Изв. АН СССР, сер. геол. М.,1969, ¹6, с.62-68.
28. Вартанян С.У., Мелконян Р.Л. Некоторые аспекты взаимосвязи петрохимических и петрофизических исследований пород колчеданных месторождений Северной Армении. В кн. “Вопросы петрохимии”. Материалы к совещанию. Л., 1969, с. 197-198.
29. Вартанян С.У., Корчагина Н.С. Петрофизические особенности пород Дастанертского медно-молибденового месторождения. Научн. тр. НИГМИ, вып.9, 1971, с. 397-399.

30. Вартанян С.У., Корчагина Н.С. Изменение физико-механических свойств пород Дастакертского медно-молибденового месторождения в связи с процессами метасоматического преобразования. Уч. зап. ЕрГУ, 1973, 11, с. 99-105.
31. Вартанян С.У., Бояджян М.Т., Саркисян Г.В. Влияние петрофизических особенностей пород на локализацию гидротермального оруденения в ультраосновных породах. Изв. АН СССР. М., 1978, том XX, 15, с. 49-59.
32. Вартанян С.У., Ишханян А.Р. Петрофизические критерии локализации эндогенного оруденения. Научн. тр. Армнипроцветмета, 1979, вып. 24, с. 30-35.
33. Вартанян С.У., Аракелян Г.Б., Кургинян Т.Н. К вопросу применения геофизических и гидрогеологических методов поиска медно-молибденового оруденения юга Арм. ССР. Мат. к совещанию “Геологические методы поисков рудных месторождений”, Томск, 1982, с. 11.
34. Вартанян С.У., Ишханян А.Р. и др. Петрофизические карты прогнозирования эндогенного оруденения. Научн. тр. Армнипроцветмета, 1983, с. 41-49.
35. Вартанян С.У. Физико-механические свойства горных пород и руд цветных и благородных металлов Арм. ССР. Тезисы докладов УП Всесоюзного совещ. по вопросам механических свойств. Ереван, 1985.
36. Вартанян С.У. Петрофизические исследования руд и рудовмещающих пород с целью оптимизации технологических показателей флотации. Информ. листок АрмНИИНТИ “Горное дело”, 1986, №5217.
37. Вартанян С.У., Аладжян К.П. Обобщенный петрофизический показатель для количественной оценки горнотехнических условий месторождений. Изв. ВУЗ, Горный журнал, Свердловск, 1990, 18, с. 5-8.
38. Вартанян С.У. Методы оценки степени слеживаемости насыпной руды. Изв. ВУЗ, Горный журнал. Свердловск, 1991, №2, с. 32-36.
39. Вартанян С.У., Вартанян Н.С. О взаимосвязи степени метасоматоза и петрофизических особенностей рудных формаций Армении. Научн. тр. Армнипроцветмета, 1993, с. 82-88.
40. Вартанян С.У. Сравнительная характеристика петрофизических особенностей рудных формаций Армении. Научн. тр. Армнипроцветмета, 1992, с. 39-47.
41. Вартанян С.У., Вартанян Н.С. Сравнительная оценка структурно-петрофизических особенностей месторождений медно-молибденовой формации Зангезурской рудной области. Научн. тр. Армнипроцветмета, 2000, с. 101-111.
42. Вартанян С.У., Вартанян Н.С. Зональность петрофизических показателей метасоматитов в качестве критерия поискового прогноза эндогенного оруденения.

Научн. тр., посвященные 50-летию основания ЗАО “Горно-металлургический институт”. Ереван, 2002, с. 47-56.

43. Вольфсон Ф.И., Лукин Л.И., Залесский Б.В., Розанов Ю.А. Роль изучения структур рудных месторождений и физико-механических свойств горных пород в выяснении условий локализации эндогенного оруденения. Сб. “Вопросы изучения структур рудных полей и месторождений”. Труды ИГЕМ АН СССР, вып. 41, 1961, с. 5-15.
44. Вольфсон Ф.И., Лукин Л.И. Значение структурных и литологических критериев при поисках скрытых рудных тел гидротермальных месторождений. В сб. “Вопросы изучения и методы поисков скрытого оруденения”. М., Госгеолтехиздат, 1960, с. 165-181.
45. Вольфсон Ф.И., Лукин Л.И. Особенности локализации оруденения в различных структурных этажах и ярусах. Изв. АН СССР, Геология, 1965, 110.
46. Гамбурцев Г.А. О некоторых новых методах сейсмологического исследования. Тезисы докладов на Генеральной ассамблее геодез. и геофиз. Союза. М., 1954, с. 18-24.
47. Гзовский М.В. Основы тектонофизики. М., Наука, 1975, с. 536.
48. Гзовский М.В. Проблемы тектонофизики. М., Госгеолтехиздат, 1960, с. 45-50.
49. Григорян Г.О. Об условиях образования Кафанского полиметаллического-медного месторождения. Уч. записки ЕрГУ, 13, 1975, с. 21-24.
50. Гулян Э.Х. Главные рудоконтролирующие факторы эндогенного оруденения северного склона Баргузинского хребта (Арм ССР). Уч. записки ЕрГУ, 1967, 11, с. 18-23.
51. Дахнов В.Н., Кобранова В.Н. Петрофизика, ее значение для настоящего и будущего геологии. Советская геология, 1965, 19. М., с. 118-123.
52. Дортман Н.Б., Жданов В.В. Петрофизические изменения в процессе метаморфизма горных пород. В кн.: “Связь поверхностных структур земной коры с глубинными”. Киев, “Наукова думка”, 1971, с. 33-38.
53. Дергаев А.Л., Старостин В.И. Структурно-петрофизический анализ Николаевского колчедано-полиметаллического рудного поля (Рудный Алтай). Изв. АН СССР, Геология рудных месторождений, 1965, 19, с. 118-123.
54. Залесский Б.В., Розанов Ю.А. Методы изучения физико-механических свойств горных пород. В кн.: “Проблемы тектонофизики”. М., Госгеолтехиздат, 1960, с. 38-50.
55. Звягинцев Л.И. Деформации горных пород и эндогенное рудообразование. М., Наука, 1978, с. 177.

56. Звягинцев Л.И. Значение пористости горных пород в локализации сульфидного оруденения на Рудном Алтае. В кн.: “Физико-механические свойства горных пород верхней части земной коры”. М., Наука, 1968, с. 248-251.
57. Звягинцев Л.И. Влияние условий формирования на физико-механические свойства гранитоидов. Изв. АН СССР, “Геология”, 15, 1972, с. 18-27.
58. Звягинцев Л.И., Короткова О.Н. Исследование упругих свойств горных пород в локализации эндогенных месторождений. М., Наука, 1973, с. 78-76.
59. Зограбян С.А. Положение Шаумянского месторождения в юрском вулканогенном комплексе Южной Армении. Изв. АН Арм. ССР, Наука о Земле, 1979, 3, с. 38-46.
60. Казарян А.Г., Шехян Г.Г. К вопросу о взаимоотношениях диабазовых порфириотов гидротермально измененных пород и оруденения на главных колчеданных месторождениях Арм. ССР. В кн.: “Метасоматические изменения боковых пород и их роль в рудообразовании”. М., Недра, 1966, с. 31-34.
61. Калинин Э.А. О связи упругих характеристик и плотности пород Норильского района с геологическими факторами. В кн.: “Методы разведочной геофизики”. М., Недра, вып. 18, 1972, с. 56-63.
62. Карапетян К.А. Структура и условия образования Дастанертского медно-молибденового месторождения. Изд. АН Арм. ССР, 1962, с. 185.
63. Карапетян А.И., Амирян Ш.О., Мелконян Р.Л., Гуюмджян О.П. и др. Метаморфические и метасоматические изменения пород как поисково-прогнозные критерии рудоносности. В кн.: “Рудный узел Алаверди-Шамлуг-Ахтала”. Изд. АН Арм. ССР, 1987, с. 8-79.
64. Кобранова В.Н. Физические свойства горных пород (петрофизика). Госнаучтехиздат, 1962, с. 490.
65. Королев А.В., Тулегенов Л.В. Пористость горных пород как фактор рудоотложения. Изв. АН СССР, Геология рудных месторождений, 1960, 6, с. 73-79.
66. Королев А.В., Шехтман П.А. Структурные условия размещения постмагматических руд. М., Недра, 1965.
67. Королев А.В. Зависимость зональности оруденения от последовательности развития структур рудных месторождений. Изв. АН СССР, Геология, 1949, № 1. с. 66-78
68. Королев А.В. Зависимость структур рудных полей и месторождений от сочетания вмещающих толщ. В кн.: “Роль физико-механических свойств горных пород в локализации месторождений”. М., 1973, с. 139-145.
69. Кравченко Г.Г. Об относительной пластичности пород как факторе контроля оруденения. Тр. Ин-та геологии рудных месторождений, петрографии, минералогии и геохимии, вып. 41, 1961, с. 158-170.

70. Константинов М.М., Грушин В.А. Структурные условия локализации Зодского золоторудного месторождения. Изв. ВУЗов “Геология и разведка”, 1975, № 5, с. 60-67.
71. Лебедев А.П., Малхасян Э.Г. Постмагматический, метаморфизм в юрских вулканических образованиях Армении. В кн.: “Геология Арм ССР”, Т. IV, 1958, с. 117-122.
72. Лукин Л.И. Сфера гидротермального рудоотложения. В кн: “Геологическая среда и структурные условия гидротермального рудоотложения”. М., Наука, 1985, с. 11-27.
73. Mkrtchyan C.C., Karamyan K.A., Arevshatyan T.A. Kadzaran'skoye medno-molibdenovoye mestorozhdenie. Izd. AN Ar'm. CCP, 1969, s. 327.
74. Movsesyan S.A. Zakhonomernosti razmeshcheniya rudnykh mestorozhdenii. M., Nedra, 1979, c. 216.
75. Movsesyan R.S. Geologicheskoye stroenie i strukturnye usloviya obrazovaniya i lokalizatsii rud Ar'manisskogo zoloto-polimetallicheskogo mestorozhdeniya. Fondy IGH Ar'm. CCP, 1980.
76. Melikyan L.S. Fiziko-mekhanicheskiye svyazi rudozmeyashchikh porod i nekotorye voprosy lokalizatsii gidrотermal'nogo orudeneniya na Zodskom zolotorudnom mestorozhdenii (Ar'm. CCP). V kn.: “Rоль физико-механических свойств горных пород в локализации эндогенных месторождений”. M., Nauka, 1973, s. 183-195.
77. Melikyan L.S. Geologicheskiye osobennosti lokalizatsii i strukturnye tipy rudnykh tel na Zodskom mestorozhdenii. Doklady AN Ar'm. CCP. T. LXIV, 1977, s. 108-110.
78. Nevskiy V.A., Osipov M.A. “Intruzivnaya i vulkanicheskaya tektonika. Struktura endogennykh rudnykh polei i mestorozhdenii”. M., Nauka, 1979, s. 129-152.
79. Nikolskiy K.I., Milay T.A., Kogan L.Z. Geologo-geofizicheskiye issledovaniya tektoniki, magmatizma i metallogenii Kavkaza. Leningrad, Nedra, 1975, s. 215.
80. Osipov M.A. Kontraktsiya granitoидov i endogennykh rudnykh mestorozhdenii. M., Nauka, 1974. s. 158
81. Paaffenholz K.H. Zakhonomernosti raspredeleniya orudeneniya (rudnye poysa, rayony), vliyanie zmeyashchikh porod. V kn.: “Ocherk magmatizma i metallogenii Kavkaza”. Izd. AN Ar'm. CCP, 1970, s. 381-384.
82. Petkevich G.M. Faktory, opredеляющие скорости сейсмических волн в геологическом разрезе. Izd. AN UCCP. Kiev, 1963, s. 116.
83. Pek A.V., Volfszon F.I., Lukin L.I. Ob izuchenii struktur endogennykh rudnykh mestorozhdenii. Izv. AN CCCP, Geologiya rudnykh mestorozhdenii, № 4, 1961, s. 17-20.
84. Pidgjan G.O. Medno-molibdenovaya formaciya rud Ar'm. CCP. Izd. AN Ar'm. CCP, 1975, s. 309.

85. Попов И.В. Очередные задачи в области физического и механического изучения тектонически деформированных пород, важные для инженерной геологии. М., Госгеолтехиздат, Проблемы тектонофизики, 1960, с. 55-58.
86. Розанов Ю.А. Роль физико-механических свойств горных пород в формировании структур месторождений и локализации оруденения. В кн.: "Физико-механические свойства пород верхней части земной коры". М., Недра, 1968, с. 220-226.
87. Розанова Ю.А. Принципы и возможности геологической интерпретации данных по исследованиям физико-механических свойств горных пород верхней части земной коры. М., Наука, 1968, с. 45-49.
88. Саркисян Г.А. Роль вмещающих пород при метасоматизме и зональности его продуктов на примере Зодского золоторудного месторождения. М., Недра, 1966, с. 291-303.
89. Саркисян Г.А., Налбандян Э.М. К вопросу о соотношении процессов пропилитизации и региональных зеленокаменных изменений в юрской вулканогенной формации Кафанского рудного поля. Изв. АН Арм. ССР, Науки о Земле, № 4, 1967, с 69-76.
90. Саркисян Р.А. К вопросу о структуре и особенностям локализации оруденения Кафанского месторождения. Изв. АН Арм. ССР, Науки о Земле, №3, 1973, с. 39-45.
91. Сафонов Ю.Г., Пэк А.А., Лукин Л.И., Милановский Е.П. Геологическая среда и структурные условия гидротермального рудообразования. М., 1982, с. 213.
92. Силаева О.И. Исследование с помощью ультразвука скоростей распространения упругих волн и упругих параметров в образцах горных пород при одноосном сжатии. Тр. Ин-та физики Земли АН СССР, №27, 1965, с. 105.
93. Сопко П.Ф. Структура Шамлугского месторождения в Северной Армении. В кн.: "Структуры рудных полей и месторождений". М., Госнаучнотехиздат., 1960, с. 504-513.
94. Срапионян М.Г., Вартанян С.У. Физико-механические свойства горных пород и структурно-литологические условия локализации оруденения медно-молибденовых месторождений Арм. ССР. Изв. ВУЗ, Геология и разведка, М.1978, с. 61-67.
95. Ставрогин А.И. Деформация и прочность горных пород. Труды Вссоюзного научно-исслед. маркшейдерского ин-та, № 70, 1968, с. 156-161.
96. Станкевич И.И., Хаймов М.Д., Баргатин В.А. Причины слеживания руд в очистном пространстве на Саралыхском руднике. Науч. труды СредазНИИ цветной металлургии, №23, 1979, с. 18-24.
97. Старостин В.И. Влияние физико-механических свойств горных пород на локализацию медно-колчеданного оруденения. Изв. АН СССР, Геология рудных месторождений, №4, 1965, с. 203.

98. Старостин В.И. Структурно-петрофизический анализ эндогенных рудных полей. М., Недра, 1984, с. 240.
99. Старостин В.И. Геодинамика и петрофизика рудных полей и месторождений. М., Недра, 1973, с. 120-141.
100. Таян Р.Н. Особенности развития разрывных структур Каджаранского рудного поля. Изв. АН Арм. ССР, вып. XXXУП, №3, 1984, с. 21-29.
101. Толстой М.И., Ширинян К.Г. и др. Состав, физические свойства и вопросы петрогенезиса новейших вулканических образований Армении. Изд. АН. Арм.ССР, 1980, с. 322.
102. Яковлев П.Д. Структура Анкаванского (Мисханского) медно-молибденового штокверкового месторождения. Советская геология, 1960, №12, с. 76-85.
103. Физические свойства минералов. Справочник (кадастр) физических свойств горных пород. М., Недра, 1975, с. 33-59.
104. Тимошенко С.П. Упругость. Сопротивление материалов. М., Физматгиз, 1960, с. 11-18.
- 105 .Шамцян Ф.Г., Вартанян С.У., Арутюнян Р.А. Геолого-структурная модель формирования Сотского золоторудного месторождения. Уч. Записки ЕрГУ, вып. 1, 2003, с. 121-126
106. Knopoff L. On payleight wave velocities Bull seicmol. Soc. America 42, №4, 1952.

СОДЕРЖАНИЕ

I Часть

СТРУКТУРНО-ПЕТРОФИЗИЧЕСКИЕ УСЛОВИЯ РУДООТЛОЖЕНИЯ РУДНЫХ ФОРМАЦИИ АРМЕНИИ

ПРЕДИСЛОВИЕ	3
1. ОСНОВНЫЕ ПОЛОЖЕНИЯ МЕТОДОВ ОПРЕДЕЛЕНИЯ ПЕТРОФИЗИЧЕСКИХ ПАРАМЕТРОВ	8
2. СТРУКТУРНО-ПЕТРОФИЗИЧЕСКИЕ ОСОБЕННОСТИ РУДНЫХ ФОРМАЦИИ АРМЕНИИ	14
2.1. МЕДНО-КОЛЧЕДАННАЯ ФОРМАЦИЯ	14
2.1.1. АЛАВЕРДСКОЕ РУДНОЕ ПОЛЕ	14
2.1.2. КАПАНСКОЕ РУДНОЕ ПОЛЕ	21
2.2. МЕДНО-МОЛИБДЕНОВАЯ ФОРМАЦИЯ	28
2.2.1. КАЛЖАРАНСКОЕ МЕСТОРОЖДЕНИЕ	29
2.2.2. АГАРАКСКОЕ МЕСТОРОЖДЕНИЕ	29
2.2.3. ЛИЧКСКОЕ МЕСТОРОЖДЕНИЕ	29
2.2.4. ДАСТАКАРТСКОЕ МЕСТОРОЖДЕНИЕ	34
2.3 ЗОЛОТОРУДНАЯ ФОРМАЦИЯ	39
А. ЗОЛОТО-ТЕЛЛУРОВАЯ РУДА	40
2.3.1. СОТКСКОЕ МЕСТОРОЖДЕНИЕ	40
2.3.2. МЕГРАДЗОРСКОЕ МЕСТОРОЖДЕНИЕ	45
Б. ЗОЛОТО-СВИНЦОВО-СУРЬМЯНАЯ РУДА	49
2.3.3. АЗАТЕКСКОЕ МЕСТОРОЖДЕНИЕ	49
В. ЗОЛОТО-СУЛЬФИДНО-ПОЛИМЕТАЛЛИЧЕСКАЯ РУДА	54
2.3.4. ШАУМЯНСКОЕ МЕСТОРОЖДЕНИЕ	54
2.3.5. АРМАНИССКОЕ МЕСТОРОЖДЕНИЕ	58
3. НЕКОТОРЫЕ АСПЕКТЫ ВЗАИМОСВЯЗИ ПЕТРОФИЗИЧЕСКИХ ОСОБЕННОСТЕЙ И МЕТАСОМАТИЧЕСКИ ПРЕОБРАЗОВАННЫХ ПОРОД РУДНЫХ ФОРМАЦИЙ АРМЕНИИ	61

УЧЕТ ПЕТРОФИЗИЧЕСКИХ ПАРАМЕТРОВ ПРИ ОЦЕНКЕ ГОРНОТЕХНИЧЕСКИХ УСЛОВИЙ РАЗРАБОТКИ МЕСТОРОЖДЕНИЙ И ОПТИМИЗАЦИИ ТЕХНО-ЛОГИЧЕСКИХ ПОКАЗАТЕЛЕЙ. (МЕТОДИЧЕСКИЕ РАЗРАБОТКИ)	74
--	----

II Часть

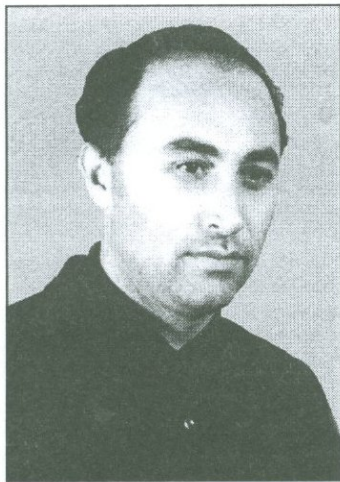
II. Петрофизический справочник (кадастр) горных пород рудных формаций Армении

ВВЕДЕНИЕ	87
1. МЕДНО-КОЛЧЕДАННАЯ ФОРМАЦИЯ	89
1.1. ВУЛКАНОГЕННО-ОСАДОЧНЫЕ ПОРОДЫ АЛАВЕРДСКОГО РУДНОГО ПОЛЯ	89

<i>1.2. ЖИЛЬНЫЕ ПОРОДЫ АЛАВЕРДСКОГО РУДНОГО ПОЛЯ.....</i>	98
<i>1.3. ИНТРУЗИВНЫЕ ПОРОДЫ АЛАВЕРДСКОГО РУДНОГО ПОЛЯ.....</i>	101
<i>1.4. ВУЛКАНОГЕННО-ОСАДОЧНЫЕ ПОРОДЫ КАПАНСКОГО РУДНОГО ПОЛЯ.....</i>	108
<i>1.5. ЖИЛЬНЫЕ ПОРОДЫ КАПАНСКОГО РУДНОГО ПОЛЯ.....</i>	115
<i>1.6. ИНТРУЗИВНЫЕ ПОРОДЫ КАПАНСКОГО РУДНОГО ПОЛЯ.....</i>	118
<i>2. МЕДНО-МОЛИБДЕНОВАЯ ФОРМАЦИЯ</i>	120
<i>2.1. ВУЛКАНОГЕННО-ОСАДОЧНЫЕ ПОРОДЫ КАЛЖАРАНСКОГО РУДНОГО ПОЛЯ.....</i>	120
<i>2.2. ЖИЛЬНЫЕ ПОРОДЫ КАЛЖАРАНСКОГО РУДНОГО ПОЛЯ</i>	122
<i>2.3. ИНТРУЗИВНЫЕ ПОРОДЫ КАЛЖАРАНСКОГО РУДНОГО ПОЛЯ.....</i>	125
<i>2.4. ИНТРУЗИВНЫЕ ПОРОДЫ АГАРАКСКОГО МЕСТОРОЖДЕНИЯ.....</i>	129
<i>2.5. ИНТРУЗИВНЫЕ ПОРОДЫ ЛИЧСКОГО МЕСТОРОЖДЕНИЯ.....</i>	132
<i>2.6 ВУЛКАНОГЕННО-ОСАДОЧНЫЕ ПОРОДЫ ДАСТАКЕРТСКОГО РУДНОГО ПОЛЯ.....</i>	136
<i>2.7. ЖИЛЬНЫЕ ПОРОДЫ ДАСТАКЕРТСКОГО РУДНОГО ПОЛЯ.....</i>	140
<i>3. ЗОЛОТОРУДНАЯ ФОРМАЦИЯ.....</i>	144
<i>3.1. ВУЛКАНОГЕННО-ОСАДОЧНЫЕ ПОРОДЫ СОТСКОГО РУДНОГО ПОЛЯ.....</i>	144
<i>3.2. ЖИЛЬНЫЕ ПОРОДЫ СОТСКОГО РУДНОГО ПОЛЯ.....</i>	147
<i>3.3. ИНТРУЗИВНЫЕ ПОРОДЫ СОТСКОГО РУДНОГО ПОЛЯ.....</i>	149
<i>3.4. ВУЛКАНОГЕННО-ОСАДОЧНЫЕ ПОРОДЫ МЕГРАДЗОРСКОГО РУДНОГО ПОЛЯ.....</i>	159
<i>3.5. ИНТРУЗИВНЫЕ ПОРОДЫ МЕГРАДЗОРСКОГО РУДНОГО ПОЛЯ</i>	165
ЗОЛОТО-СВИНЦОВО-СУРЬМЯНАЯ РУДА.....	168
<i>3.6. ВУЛКАНОГЕННО-ОСАДОЧНЫЕ ПОРОДЫ АЗАТЕКСКОГО РУДНОГО ПОЛЯ.....</i>	168
<i>3.7. ИНТРУЗИВНЫЕ ПОРОДЫ АЗАТЕКСКОГО РУДНОГО ПОЛЯ.....</i>	172
ЗОЛОТО-СУЛЬФИДНО-ПОЛИМЕТАЛЛИЧЕСКАЯ РУДА	174
<i>3.8. ВУЛКАНОГЕННО-ОСАДОЧНЫЕ ПОРОДЫ ШАУМЯНСКОГО МЕСТОРОЖДЕНИЯ.....</i>	174
<i>3.9. БУЛКАНОГЕННО-ОСАДОЧНЫЕ ПОРОДЫ АРМАНИССКОГО МЕСТОРОЖДЕНИЯ.....</i>	178
 ЗАКЛЮЧЕНИЕ.....	182
 ЛИТЕРАТУРА.....	189
 СОДЕРЖАНИЕ.....	197

Сурик Усикович Вартанян

Кандидат геолого-минералогических наук
старший научный сотрудник



Родился в 1928г. в г. Эчмиадзине. В 1954г. окончил геофизическое отделение геологического факультета Ереванского государственного университета. В годы учебы в университете совмещал работу оператора в Московской геофизической экспедиции. В период с 1954 по 1958гг. работал на кафедре геофизики геологического факультета Ереванского госуниверситета в должности преподавателя. Вел курс разведочной геофизики. С 1958 по 1962гг. являлся аспирантом Московского геологоразведочного института (МГРИ) и в 1962г. в Москве защитил диссертацию на соискание ученой степени кандидата геолого-минералогических наук. С 1962 года по настоящее время работает в горно-металлургическом институте (ныне ЗАО «Горнometallurgical institute»), в 1968 году им был организован сектор петрофизики, которым он заведует. В 1968г. ему было присвоено звание старшего научного сотрудника.

Основным направлением научно-исследовательских и научно-производственных исследований С.У.Вартаняна является комплекс петрофизических исследований горных пород и руд месторождений различных рудных формаций Армении с оценкой их роли в развитии рудоконтролирующих, тектонических структур и формировании морфоструктурных типов рудообразования.

Им разработаны методические руководства по составлению петрофизических карт рудных месторождений и научно обосновано их использование в геологоразведочных работах, а также количественной оценке степени сложности горно-технических условий разработки рудных месторождений.

Результаты научно-исследовательских работ были приняты Производственным геологоразведочным трестом Управления цветной металлургии Армении и использованы в процессе геологоразведочных работ на различных его объектах. Результаты научно-исследовательских и научно-производственных работ обобщены в 78 научных трудах, из которых 48 опубликованы в центральных изданиях Академии наук бывшего СССР, Армении, ученых записках Ереванского госуниверситета и в научных трудах Армнипроцветмета.

За большие заслуги в научно-исследовательской и научно-производственной деятельности С.У.Вартанян неоднократно был награжден Почетными Грамотами Министерства цветной металлургии СССР и Совета Министров Арм. ССР.

ВАРТАНЯН С.У.

**СТРУКТУРНО-ПЕТРОФИЗИЧЕСКИЕ УСЛОВИЯ
РУДУОЛОЖЕНИЯ
РУДНЫХ ФОРМАЦИИ ЦВЕТНЫХ И БЛАГОРОДНЫХ
МЕТАЛЛОВ АРМЕНИИ**

**ПЕТРОФИЗИЧЕСКИЙ СПРАВОЧНИК (КАДАСТР)
ГОРНЫХ ПОРОД РУДНЫХ ФОРМАЦИЙ**

Редактор: Эмма Сагателян

Компьютерная верстка: Астхик Апресян

Дизайн обложки: Эдгар Мхитарян

Подписано к печати 08.02.2008.

Формат 60Х84 1/8.

Тираж: 100. Объем 25 печ. листов

Цена: договорная

Напечатано в типографии “Егей” 2008г.

Издательство “Егей” Ереван, Баграмяна 3.

5668